



**ELABORAT ENERGETSKE EFIKASNOSTI
DOMA ZDRAVLJA MLADENOVAC – OBJEKAT BR.1,2,3
ADAPTACIJA, SANACIJA I INVESTICIONO ODRŽAVANJE
u Mladenovcu ul. Kraljice Marije br.15
na K.P. br.1865, K.O.Mladenovac Varoš**

INVESTITOR : DOM ZDRAVLJA MLADENOVAC
ul.Kraljice Marije br.15,Mladenovac,

**PROJEKTNA
ORGANIZACIJA** Projektni Biro „ARHITEKT M“
ul.Nikole Tesle br.60,Mladenovac

PROJEKTNI BIRO
ARHITEKT M
MLADEN VOJINOVIC PR

**ODGOVORNI
PROJEKTANT:** MILORAD OSTOJIĆ



Broj tehničke dokumentacije:
Mesto i datum:

43/17
Mladenovac, decembar 2017 godine

S A D R Ž A J:

- 1. OPŠTI PODACI O ZGRADI :**
 - 1.1 Tehnički opis zgrade
 - 1.2 Osnovni podaci o zgradici
- 2. LOKACIJA I KLIMATSKI PODACI :**
 - 2.1 Klimatski podaci i položaj zgrade
 - 2.2 Uslovi komfora
- 3. GRAĐEVINSKA FIZIKA :**
 - 3.1 Proračun relevantnih pozicija
 - 3.1.1 Spoljni zidovi
 - 3.1.1.1 Sastav, ilustracija
 - 3.1.1.2 Prolaz toplote i polje temperature
 - 3.1.1.3 Letnja stabilnost
 - 4. PODACI O TERMOTEHNIČKIM SISTEMIMA :**
 - 4.1 Izvod iz tehničkog opisa
 - 4.1.1 Sistem grejanja
 - 4.1.2 Sistem klimatizacije
 - 4.1.3 Sistem za pripremu STV
 - 4.2 Gubici toplote
 - 4.2.1 Faktor oblika zgrade i udeo transparentnih površina
 - 4.2.2 Transmisioni gubici toplote zgrade H_T [W/K]
 - 4.2.2.1 Površinski transmisioni gubici H_{TS} [W/K]
 - 4.2.2.2 Linijski transmisioni gubici H_{TB} [W/K]
 - 4.2.2.3 Ukupni transmisioni gubici H_T [W/K]
 - 4.2.2.4 Specifični transmisioni gubitak toplote zgrade H'_T [W/(m²K)]
 - 4.2.3 Ventilacioni gubici toplote zgrade H_V [W/K]
 - 4.2.4. Ukupni gubici toplote
 - 4.3 Ulagani podaci za proračun dobitaka toplote
 - 4.3.1 Orientacija i površina pozicija
 - 4.3.2 Ulagani podaci za proračun dobitaka od sunčevog zračenja
 - 4.3.3 Ulagani podaci za proračun dobitaka toplote od unutrašnjih izvora
 - 5. PODACI O SISTEMU GREJANJA I NAČINU REGULACIJE**
 - 6. ENERGETSKE POTREBE ZGRADE :**
 - 6.1 Proračun godišnje potrebne finalne energije za grejanje

REŠENJE O ODREĐIVANJU ODGOVORNOG PROJEKTANTA

Na osnovu člana 128.Zakona o planiranju i izgradnji ("Službeni glasnik RS", br. 72/09, 81/09-ispravka, 64/10 odluka US, 24/11 i 121/12, 42/13–odлука US, 50/2013–odлука US, 98/2013–odлука US, 132/14 i 145/14) odredbi Pravilnika o sadržini, načinu i postupku izrade i način vršenja kontrole tehničke dokumentacije prema klasi i nameni objekata ("Službeni glasnik RS", br. 23/2015.) kao:

ODGOVORNI PROJEKTANT

za izradu Elaborata energetske efikasnosti zgrade koji se prilaže Idejnom projektu IDP za **adaptaciju sanaciju i investiciono održavanje** Doma zdravlja Mladenovac – Objekat br.1,2 i 3 u ulici Kraljice Marije br.15 u Mladenovcu, na K.P.br.1865, K.O.Mladenovac Varoš određuje se:

Milorad Ostojić dipl.ing.maš. br. licence 381 0634 13

Projektant: Projektni Biro „ARHITEKT M“
ul.Nikole Tesle 60,Mladenovac

Odgovorno lice/zastupnik: Mladen Vojinović, dipl inž arh

Pečat: Potpis:

PROJEKTNI BIRO
ARHITEKT M
MLAĐEN VOJINOVIĆ PR



Broj tehničke dokumentacije: 43/17
Mesto i datum: Mladenovac, decembar 2017 godine

IZJAVA OVLAŠĆENOG LICA

Kao ovlašćeno lice koje je izradilo Elaborat energetske efikasnosti zgrade koji se prilaže Idejnom projektu IDP za **adaptaciju sanaciju i investiciono održavanje** Doma zdravlja Mladenovac – Objekat br.1,2 i 3 u ulici Kraljice Marije br.15 u Mladenovcu, na K.P.br.1865, K.O.Mladenovac Varoš

Milorad Ostojić dipl.inž.maš

IZJAVLJUJEM

1. da je elaborat izrađen u svemu u skladu sa Zakonom o planiranju i izgradnji, Pravilnikom o energetskoj efikasnosti zgrada, propisima, standardima i normativima iz oblasti energetske efikasnosti zgrada i pravilima struke;
2. da elaborat sadrži propisane i utvrđene mere i preporuke za ispunjenje osnovnog zahteva za objekat-Pravilnik o energetskoj efikasnosti zgrada

Ovlašćeno lice:

Milorad Ostojić dipl.inž.maš

Broj ovlašćenja:

381 0634 13

Pečat:

Potpis:



Broj tehničke dokumentacije:

43/17

Mesto i datum:

Mladenovac, decembar 2017 godine



**PROJEKTNI ZADATAK ZA IZRADU ELABORATA O ENERGETSKOJ
EFIKASNOSTI DOMA ZDRAVLJA U MLADENOVCU – OBJEKAT BR.1,2 i 3
ADAPTACIJA ,SANACIJA I INVESTICIONO ODRŽAVANJE U ULICI KRALJICE
MARIJE BR.15 U MLADENOVCU NA K.P. 1865, K.O. MLADENOVAC VAROŠ**

Za adaptaciju, sanaciju i investiciono održavanje Doma zdravlja u Mladenovcu – Objekat br.1,2 i 3 na katastarskoj parceli br.1865,K.O.Mladenovac Varoš, izraditi ELABORAT O ENERGETSKOJ EFKASNOSTI u skladu sa članovima 22. i 23. Pravilnika o energetskoj efikasnosti zgrada, a na osnovu sledećih podataka:

1. Klimatskih karakteristika lokacije
 - Spojnih projektovanih temperature gradova u Republici Srbiji sadržanih u tabelama Pravilnika o energetskoj efikasnosti zgrada - Spojne projektovane temperature za mesta u Republici Srbiji
 - Broj stepen dana i srednje temperature grejnog perioda za gradove u Republici Srbiji sadržanih u tabelama Pravilnika o energetskoj efikasnosti zgrada - Broj stepen dana za grejanje i srednja temperatura grejnog perioda za mesta u Republici Srbiji
 - Srednjih mesečnih suma zračenja i srednje mesečne temperature sadržane u Pravilnika o energetskoj efikasnosti zgrada – Srednje sume Sunčevog zračenja i srednje mesečne temperature spoljnog vazduha
2. Podataka o lokaciji
3. Podataka o gradjevinskim materijalima
4. Podataka o instalacijama i uredjajima

Broj tehničke dokumentacije:

43/17

Mesto i datum:

Mladenovac, decembar 2017 godine

INVESTITOR

1.0 OPŠTI PODACI O ZGRADI

TEHNIČKI OPIS

Predmet ovog elaborata je objekat br.1, Doma zdravlja u Mladenovcu u ulici Kraljice Marije br.15 na KP 1865, K.O. Mladenovac Varoš, čije je Investitor Dom zdravlja Mladenovac

Objekat br. 1 Doma zdravnja u Mladenovcu (zgrada ginekologije, laboratorije i medicine rada) je sagrađen šezdesetih godina prošlog veka. Sastoji se od suterena, prizemlja i sprata sa ravnim krovom.

Objekat je zidan od pune opeke debljine zida 36cm (24+12cm), sa spoljne strane omalterisan u dva sloja (3cm), a sa unutrašnje strane zidna obloga je uglavnom od keramičkih pločica (1cm). To daje ukupnu debljinu spoljnih zidova od 40cm, izuzev parapetnih koji su debljine 27cm (1cm keramičke pločice, 24cm puna opeka i 3cm malter). Međuspratna konstrukcija je tipa „Avramenko“ debljine 50cm (ker. pločice 1cm, cementna košiljica 3cm, MK „Avramenko“ i vazdušni prostor ukupno 41cm i trščani plafon sa slojem maltera 5cm.

Ravan krov će biti dodatno hidro i termički izolovan PVC vodonepropusnom membranom debljine 1,5mm i pločama od tvrdo presovane mineralne vune d=20cm (u dva sloja po 10cm složenih na preklop), preko postojećeg sloja za pad od perlita. Ispod je MK tipa „Avramenko“ sa vazdušnim prostorom i trščanim plafonom omalterisanim sa donje strane. Ukupna debljina završne ploče se ovim uvećava sa 50 na 70cm. Postojeća građevinska stolarija je izvedena od kvalitetne aluminijumske bravarije sa prekidom termomosta, zastakljena duplim stakлом (4+12+4mm). Spoljna vrata su takođe od kvalitetne aluminijumske bravarije sa prekidom termomosta.

INFRASTRUKTURA:

Priklučak na elektroenergetsku mrežu je izведен prema uslovima EDB-a.

Priklučak na vodvodnu i kanalizacionu mrežu je izведен prema uslovima JKP Mladenovac.

Za nadoknadu topotnih gubitaka izvedeno je daljinsko grejanje.

Za sistem grejanja projektovan je dvocevni redijatorski sistem grejanja. Temperaturski režim grejanja je 90-70 °C. Cevna mreža u topotnoj podstanici izrađena je od čelični bešavnih cevi prema SRPS EN10 220: 2005. Sistem grejanja je preko topotne podstanice povezan na sistem daljinskog grejanja.

Unutar objekta cevna mreža je izrađena od bešavnih čeličnih cevi. Cevi se vode vidno neposredno uz zidove. Kao grejna tela postavljeni su člankasti aluminijumski radijatori.

Hidrauličko uravnoteživanje vrši se postavljanjem kosih regulacionih ventila na povratne vodove na sabirniku i njihovim postavljanjem u određeni položaj.

Grejana tela se na cevnu mrežu povezuju pomoću radijatorskih ventila i radijatirskih navijaka.

Na svakom grejnom telu ugrađena je odzračna slavina kako bi se radijatori mogli odzračiti pri pojavi vazduha u instalaciji.

Projektom je predviđena klimatizacija lokalnim klimatizacionim uređajima..Spoljna jedinica se postavlja na fasadi objekta. Unutrašnja jedinica je zidnog tipa. Odvod kondenzata predviđen je plastičnim cevima koje su utopljene u zid do oluka.

Upravljanje sistemom klimatizacije se vrši preko daljinskih upravljača koji se isporučuju sa klima uređajima.

Projektom je za pripremu STV predviđen lokalni sistem – ugradnja električnih bojlera .Bojleri kao energet za zagrevanje sanitarnе tople vode koriste električnu energiju.

Odgovorni projektant



Milorad Ostojević dipl.maš.ing.
Licenca br.381 0634 13

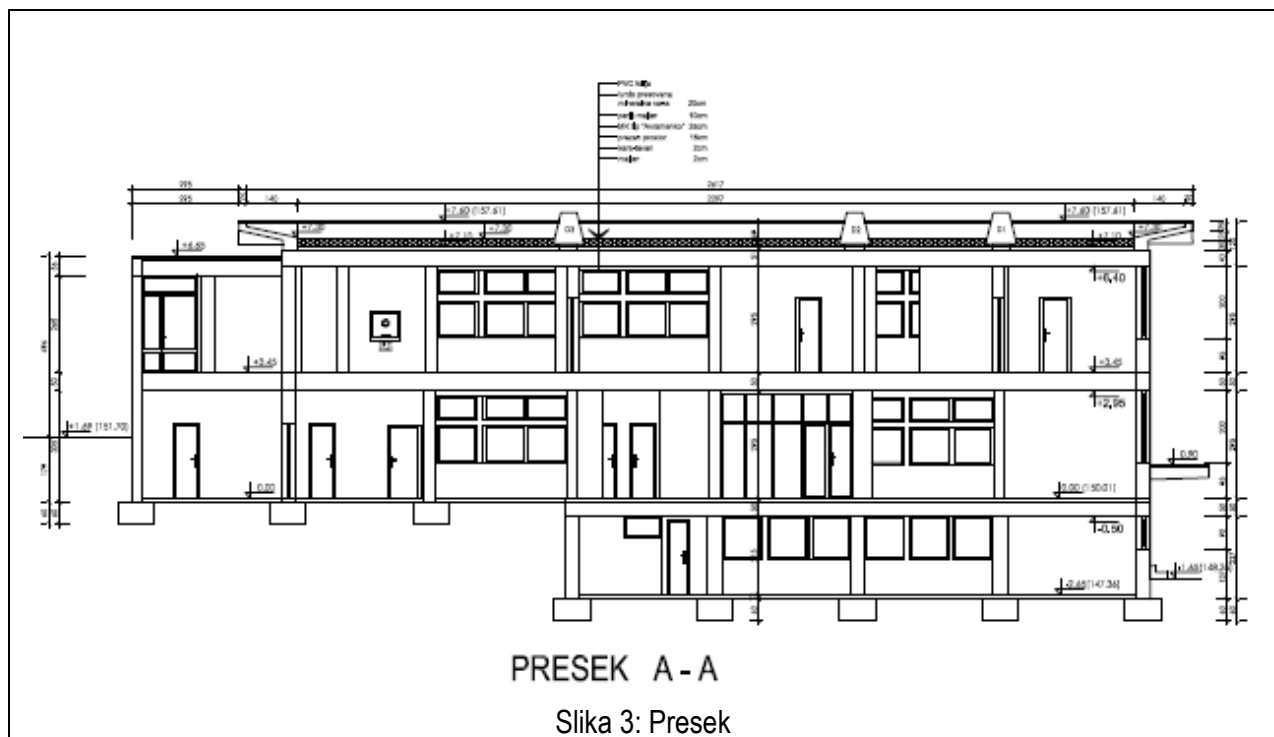
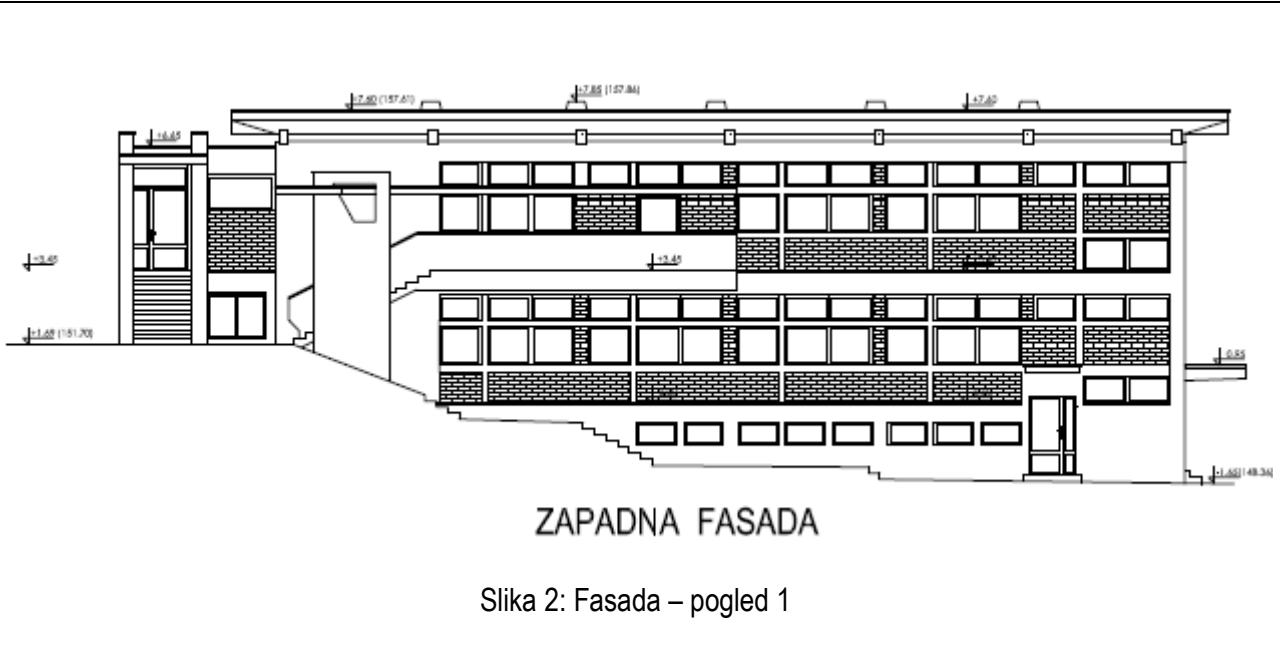
REPUBLIKA SRBIJA
GO MLAĐENOVAC
K.O. MLAĐENOVAC VAROŠ

K.P. BR. 1865



Slika 1: Situacija¹

¹ Situacija je potrebna zbog orijentacije prema stranama sveta i odnosa ka susedima



1.2 Osnovni podaci o zgradи

ZGRADA	<input type="checkbox"/> nova*	<input checked="" type="checkbox"/> postojećа*
Namena zgrade ²	Dom zdravlja – objekat br.3	
Vrsta zgrade ³	Zgrade namenjene zdravstvu i socijalnoj zaštiti	
Mesto (lokacija):	Mladenovac	
Vlasnik (investitori):	Dom zdravlja Mladenovac	
Izvođač:	-	
Godina izgradnje:	-	
Godina rekonstrukcije/ energetske sanacije:	2016	
Neto korisna površina grejanog dela zgrade [m ²]:	673,80 m ²	

2.0 LOKACIJA I KLIMATSKI PODACI

2.1 Klimatski podaci i položaj zgrade

Klimatski podaci ⁴	
Lokacija	Mladenovac
Broj stepen dana grejanja HDD	2520
Broj dana grejne sezone HD	175
Srednja temperatura grejnog perioda $\theta_{H,mn}$ [°C]	5,6
Unutrašnja projektna temperatura za zimski period $\theta_{H,i}$ [°C]	20
Uticaj veta ⁵	
Položaj (izloženost vetru)	Umereno zaklonjen
Broj fasada izloženih vetrui	Više od jedne fasade

2.2 Uslovi komfora⁶

Objekat ima zidove koji nisu termički izolovani i nisu u skladu sa propisima i standardima važećim za tu vrstu objekta. Ravan krov nema izolaciju pa je predviđeno da se ista izvede prilikom sanacije krova.

Transparentne pregrade prozori i spoljna vrata su od Aluminijuma sa termičkim prekidom, zastakljenje je termo stakлом 4+12+4 mm punjemo vazduhom. Ventilacija je prirodna putem prozora i vrata i iznosi 0,5 izmena na čas, što odgovara nameni objekta, odnosno stanovanju.

Lokacija na kojoj se nalazi objekat nema posebnih izvora buke, koji bi zahtevao poseban aspekt razmatranja stepena zaštite od buke.

² U odnosu na podelu iz tabele 3.4.2.3.1 Pravilnika o energetskoj efikasnosti zgrada

³ U odnosu na podelu iz čl. 4, kao i tabele 6.5, 6.11a, 6.11b Pravilnika o energetskoj efikasnosti zgrada i čl.14 Pravilnika o uslovima, sadržini i načinu izdavanja sertifikata o energetskim svojstvima zgrada

⁴ Prema tabeli 6.3 i 6.9 Pravilnika o energetskoj efikasnosti zgrada

⁵ Prema tabeli 3.4.2.1 Pravilnika o energetskoj efikasnosti zgrada

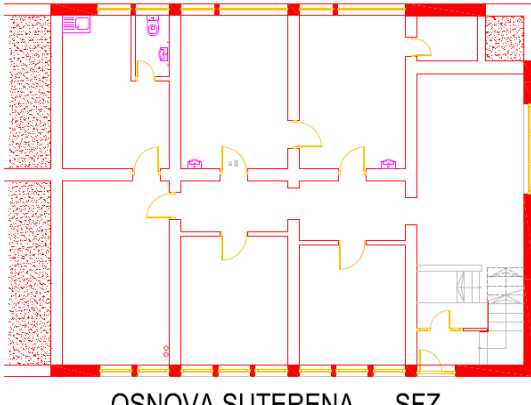
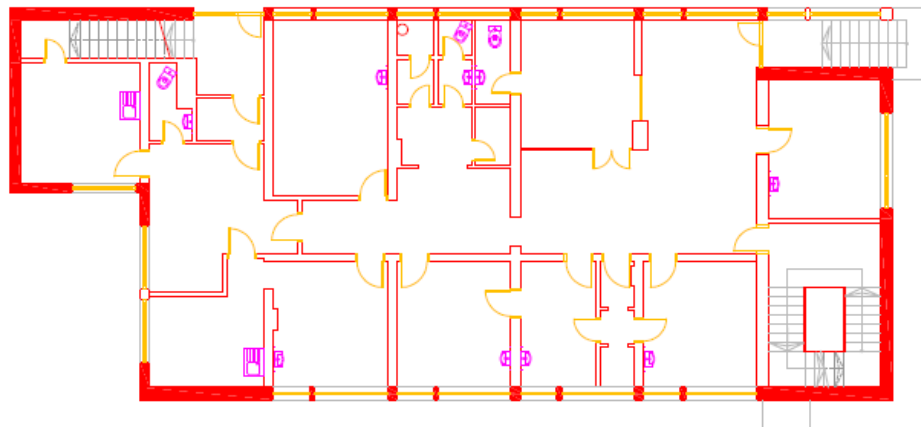
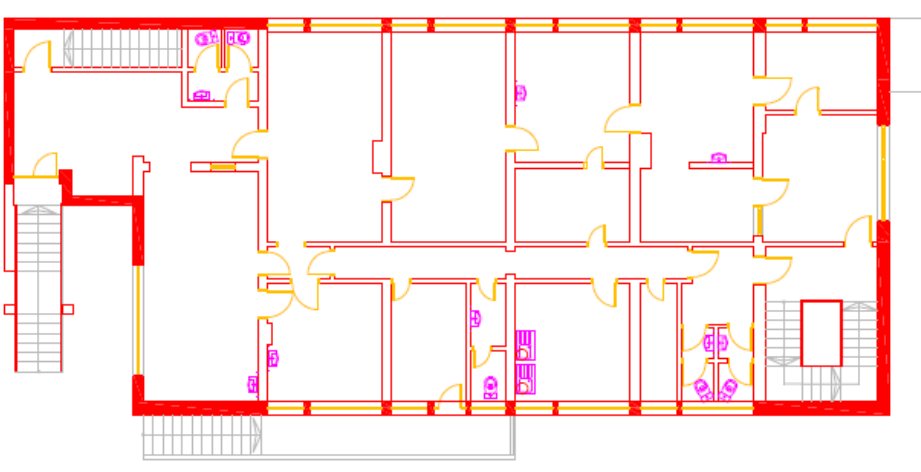
⁶ Prema prilogu 5 Pravilnika o energetskoj efikasnosti zgrada

3.0 GRAĐEVINSKA FIZIKA

3.1 Proračun relevantnih pozicija⁷

3.1.1 SPOLJNI ZID

3.1.1.1. Sastav, ilustracija Spoljni zidovi⁸

Broj	1
Oznaka	SFZ-1
	 <p>OSNOVA SUTERENA SFZ</p>
	 <p>OSNOVA PRIZEMLJA SFZ</p>
	 <p>OSNOVA SPRATA SFZ</p>
Površina [m ²]	605,95 m ²

⁷ Ovde su date samo pozicije koje su relevantne za prikazani primer

⁸ Ukoliko ima više od jedne pozicije u okviru grupacije, u ovom slučaju „Spoljni zidovi“, potrebno ih je **sve** prikazati i obraditi

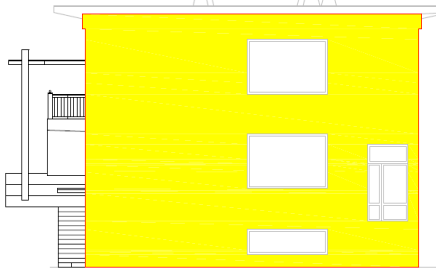
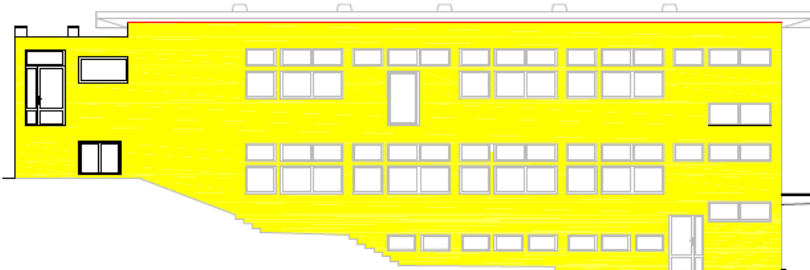
Sastav sklopa	<table border="1"> <thead> <tr> <th>Naziv građevinskog sloja</th><th>δ [cm]</th><th>λ [W/mK]</th><th>ρ [kg/m³]</th><th>μ [-]</th></tr> </thead> <tbody> <tr> <td>1.KERAMIČKE PLOČICE</td><td>1,00</td><td>0,870</td><td>1700</td><td>200</td></tr> <tr> <td>2.CEMENTNI MALTER</td><td>1,00</td><td>1,400</td><td>2100</td><td>30</td></tr> <tr> <td>3.PUNA OPEKA</td><td>36,0</td><td>0,640</td><td>1600</td><td>9</td></tr> <tr> <td>4.PRODUŽENI KREČNI MALTER</td><td>2,00</td><td>0,870</td><td>1800</td><td>20</td></tr> </tbody> </table>	Naziv građevinskog sloja	δ [cm]	λ [W/mK]	ρ [kg/m ³]	μ [-]	1.KERAMIČKE PLOČICE	1,00	0,870	1700	200	2.CEMENTNI MALTER	1,00	1,400	2100	30	3.PUNA OPEKA	36,0	0,640	1600	9	4.PRODUŽENI KREČNI MALTER	2,00	0,870	1800	20
Naziv građevinskog sloja	δ [cm]	λ [W/mK]	ρ [kg/m ³]	μ [-]																						
1.KERAMIČKE PLOČICE	1,00	0,870	1700	200																						
2.CEMENTNI MALTER	1,00	1,400	2100	30																						
3.PUNA OPEKA	36,0	0,640	1600	9																						
4.PRODUŽENI KREČNI MALTER	2,00	0,870	1800	20																						
Skica sklopa ⁹	<p>i e</p> <p>1 KERAMIČKE PLOČICE-ZIDNE 2 CEMENTNI MALTER 3 PUNA OPEKA 1600 4 PRODUŽNI KREČNI MALTER</p>																									
Ventilisanost sklopa	NIJE VENTILISAN																									
Parametri ventilisanosti	-																									

Segmenti pozicije u odnosu na orientaciju prema stranama sveta ¹⁰		
	Površina [m ²]	Ilustracija ¹¹
Ka severu	72,25	<p>SEVERNA FASADA</p>
Ka istoku	230,00	<p>ISTOČNA FASADA</p>

⁹ Ovde je prikazana ilustracija (veličina, orijentacija i oprema crteža se može razlikovati)

¹⁰ Podela izvršena zbog izračunavanja solarnih dobitaka

¹¹ Ova opcija nije obavezna

Ka jugu	106,00	 JUŽNA FASADA
Ka zapadu	197,70	 ZAPADNA FASADA

3.1.1.2 Prolaz topote i polje temperature

Tabelarni prikaz	Opis	λ [W/mK]	R [(m ² .K)/W]	$\Delta\theta$ [°C]	θ [°C]
Unutra					22,00
Prelaženje			0,1300	5,73	16,27
1.KERAMIČKE PLOČICE	0,870	0,0115	0,50	15,77	
2.CEMENTNI MALTER	1,400	0,0071	0,32	15,45	
3.PUNA OPEKA	0,640	0,5625	24,78	-9,33	
4.PRODUŽENI KREČNI MALTER	0,870	0,0230	1,01	-10,34	
Prelaženje topote			0,0400	1,76	-10,34
Spolja					-12,10
Ukupni otpor			0,774		

Grafik temperatura ¹²	<p>A graph showing the temperature profile across a wall of thickness 40 cm. The vertical axis is labeled t ($^{\circ}\text{C}$) with values 22,0 at the top and -12,1 at the bottom. The horizontal axis is labeled d (cm) with values 0,0 and 40,00. A straight line starts at approximately (-12,1, 0,0) and ends at (40,00, 22,0).</p>
Površinski koeficijenat prolaza topline U [$\text{W}/(\text{m}^2\text{K})$]	1,292

3.1.1.3 Difuzija vodene pare i isušenje

Tabelarni prikaz

Opis	μ [-]	$\Delta\theta$ $^{\circ}\text{C}$	θ $^{\circ}\text{C}$	p' [Pa]	ps [Pa]
Unutra			22,00	2640	
Prelaženje		4,53	17,47	1993	1452
1.KERAMIČKE PLOČICE	200	0,41	17,06	1943	1085
2.CEMENTNI MALTER	30	0,24	16,82	1913	1030
3.PUNA OPEKA	9	19,62	-2,80	483	435
4.PRODUŽENI KREČNI MALTER	20	0,80	-3,60	452	361
Prelaženje topline		1,40	-3,60	532	361
Spolja			-5,00	401	

¹² Ovde je prikazana ilustracija (veličina, orientacija i oprema crteža se može razlikovati)

Grafik ¹³	
Proračun kondenzacije ¹⁴	U KONSTRUKCIJI NE DOLAAZI DO KONDENZACIJE
Vreme isušenja	-

3.1.1.4 Letnja stabilnost¹⁵

	Vrednost	Minimum	Zadovoljava
Faktor prigušenja amplitude oscilacije temperature v [-]	48,296	15	Da
Faktor kašnjenja oscilacije temperature η [h]	$v > 35$	7	Da

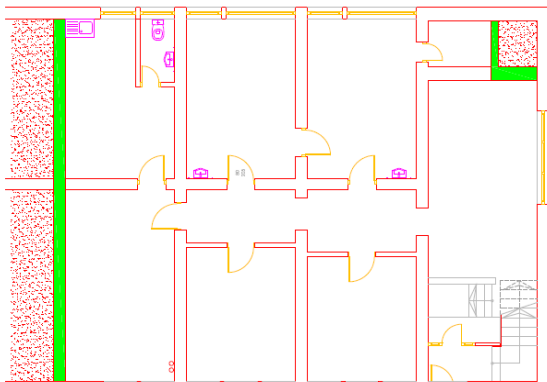
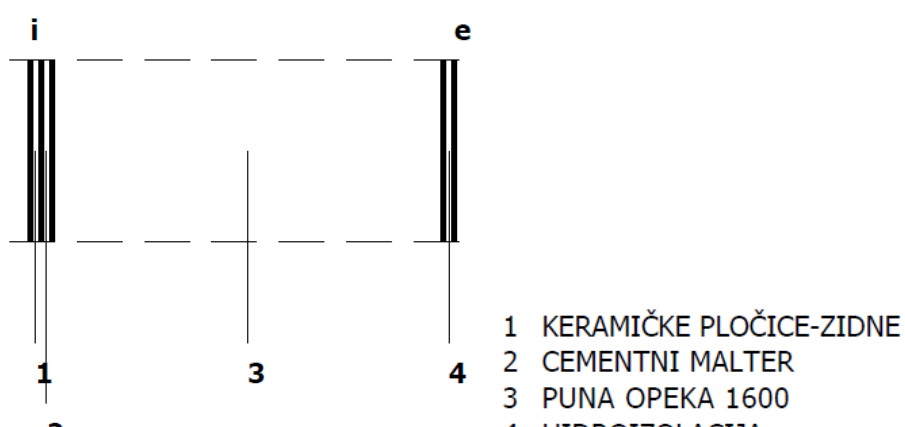
¹³ Ovde je prikazana ilustracija (veličina, orientacija i oprema crteža se može razlikovati)

¹⁴ U skladu sa poglavljem 3.3 Pravilnika o energetskoj efikasnosti zgrada

¹⁵ Prema poglavljju 3.2 Pravilnika o energetskoj efikasnosti zgrada

3.1.2 ZID U TLU ZUT

3.1.11.1 Sastav, ilustracija

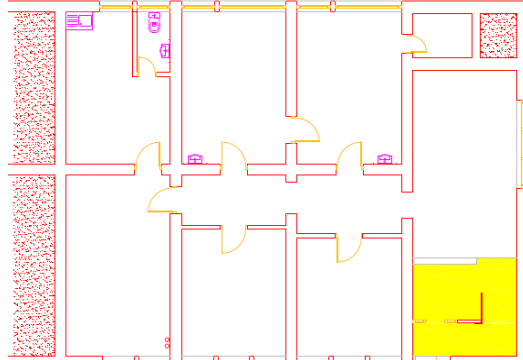
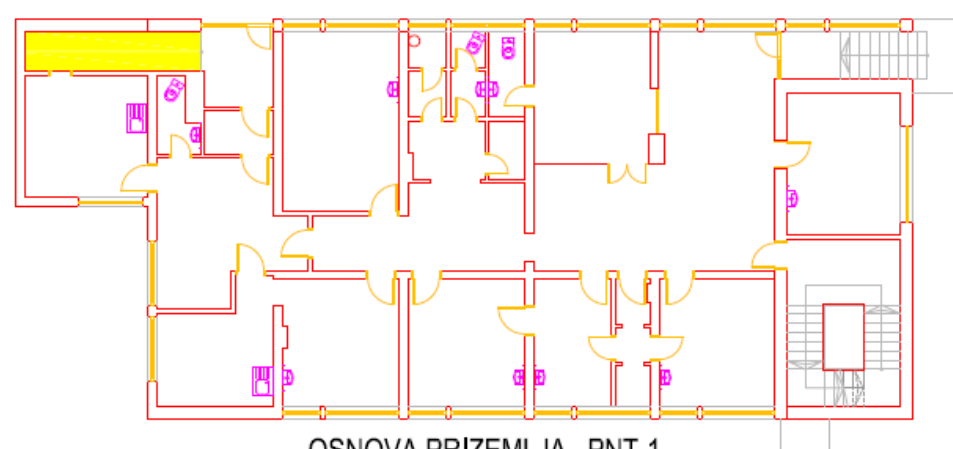
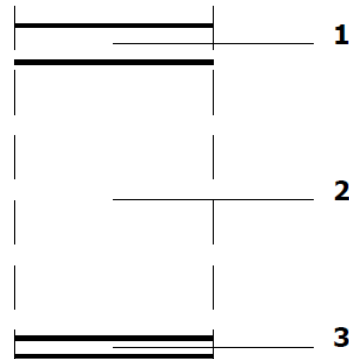
Broj	2																																																
Oznaka	ZUT																																																
Ilustracija položaja u zgradi ¹⁶	 <p>OSNOVA SUTERENA ZUT</p>																																																
Površina [m ²]	82,87 m ²																																																
Skica sklopa ¹⁷	 <p>i e</p> <p>1 KERAMIČKE PLOČICE-ZIDNE 2 CEMENTNI MALTER 3 PUNA OPEKA 1600 4 HIDROIZOLACIJA</p>																																																
Sastav sklopa	<table border="1"> <thead> <tr> <th>Naziv građevinskog sloja</th> <th>δ [cm]</th> <th>λ [W/mK]</th> <th>ρ [kg/m³]</th> <th>μ [-]</th> <th>R [(m².K)/W]</th> </tr> </thead> <tbody> <tr> <td>Prelaženje topline</td> <td></td> <td></td> <td></td> <td></td> <td>0,1300</td> </tr> <tr> <td>1.KERAMIČKE PLOČICE</td> <td>1,00</td> <td>0,870</td> <td>1700</td> <td>200</td> <td>0,0078</td> </tr> <tr> <td>2.CEMENTNI MALTER</td> <td>1,00</td> <td>1,400</td> <td>2100</td> <td>30</td> <td>0,0115</td> </tr> <tr> <td>3.PUNA OPEKA</td> <td>36,0</td> <td>0,640</td> <td>1600</td> <td>49</td> <td>0,0071</td> </tr> <tr> <td>5.HIDROIZOLACIJA</td> <td>1,00</td> <td>0,190</td> <td>1000</td> <td>14000</td> <td>0,5625</td> </tr> <tr> <td>Prelaženje topline</td> <td></td> <td></td> <td></td> <td></td> <td>0,0000</td> </tr> <tr> <td>Ukupni otpor</td> <td></td> <td></td> <td></td> <td></td> <td>0,754</td> </tr> </tbody> </table>	Naziv građevinskog sloja	δ [cm]	λ [W/mK]	ρ [kg/m ³]	μ [-]	R [(m ² .K)/W]	Prelaženje topline					0,1300	1.KERAMIČKE PLOČICE	1,00	0,870	1700	200	0,0078	2.CEMENTNI MALTER	1,00	1,400	2100	30	0,0115	3.PUNA OPEKA	36,0	0,640	1600	49	0,0071	5.HIDROIZOLACIJA	1,00	0,190	1000	14000	0,5625	Prelaženje topline					0,0000	Ukupni otpor					0,754
Naziv građevinskog sloja	δ [cm]	λ [W/mK]	ρ [kg/m ³]	μ [-]	R [(m ² .K)/W]																																												
Prelaženje topline					0,1300																																												
1.KERAMIČKE PLOČICE	1,00	0,870	1700	200	0,0078																																												
2.CEMENTNI MALTER	1,00	1,400	2100	30	0,0115																																												
3.PUNA OPEKA	36,0	0,640	1600	49	0,0071																																												
5.HIDROIZOLACIJA	1,00	0,190	1000	14000	0,5625																																												
Prelaženje topline					0,0000																																												
Ukupni otpor					0,754																																												
Površinski kokoeficijenat prolaza topline U [W/(m ² K)]	0,630																																																

¹⁶ Ova opcija nije obavezna

¹⁷ Ovde je prikazana ilustracija (veličina, orientacija i oprema crteža se može razlikovati)

3.1.3 POD NA TLU PNT-1

3.1.3.1 Sastav, ilustracija

Broj	3
Oznaka	PNT-1
Ilustracija položaja u zgradji ¹⁸	 <p>OSNOVA SUTERENA PNT-1</p>  <p>OSNOVA PRIZEMLJA PNT-1</p>
Površina [m ²]	26,14 m ²
Skica sklopa ¹⁹	 <p>1 2 3</p> <p>1 TERACO POD 2 BETON SA KAMENIM AGREGATIMA 3 HIDROIZOLACIJA</p>

¹⁸ Ova opcija nije obavezna

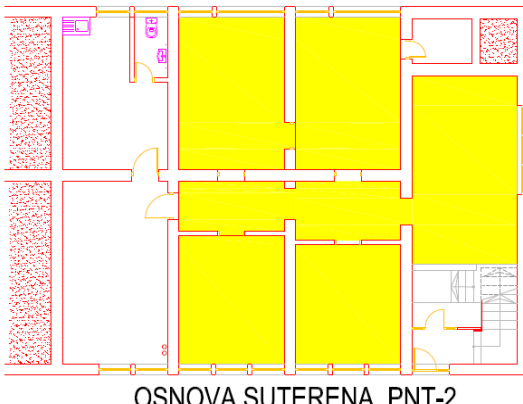
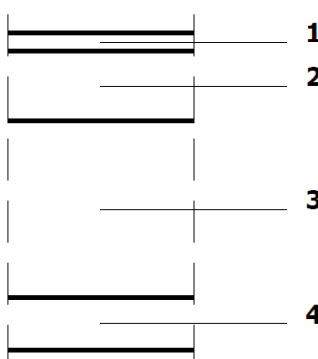
¹⁹ Ovde je prikazana ilustracija (veličina, orientacija i oprema crteža se može razlikovati)

Sastav sklopa	Naziv građevinskog sloja	δ [cm]	λ [W/mK] []	ρ [kg/m ³]	μ [-]	R [(m ² .K)/W]
Prelaženje toplote						0,1700
1.TERACO POD	2,00	2,330	2500	90		0,0086
2.BETON SA KAMENIM AGR.	15,00	2,330	2500	90		0,0644
3.HIDROIZOLACIJA	1,00	0,190	1000	14000		0,0526
Prelaženje toplote						0,0000
Ukupni otpor						0,296

Površinski kokoeficijent prolaza topline U [W/(m ² K)]	3,383
---	-------

3.1.4 POD NA TLU PNT-2

3.1.4.1 Sastav, ilustracija

Broj	4
Oznaka	PNT-2
Ilustracija položaja u zgradi ²⁰	 <p>OSNOVA SUTERENA PNT-2</p>
Površina [m ²]	118,98 m ²
Skica sklopa ²¹	 <p>1 LAMINAT 2 CEMENTNI MALTER 3 BETON SA KAMENIM AGREGATIMA 4 HIDROIZOLACIJA</p>

²⁰ Ova opcija nije obavezna

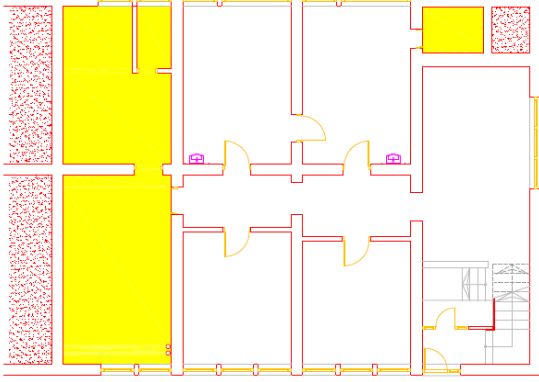
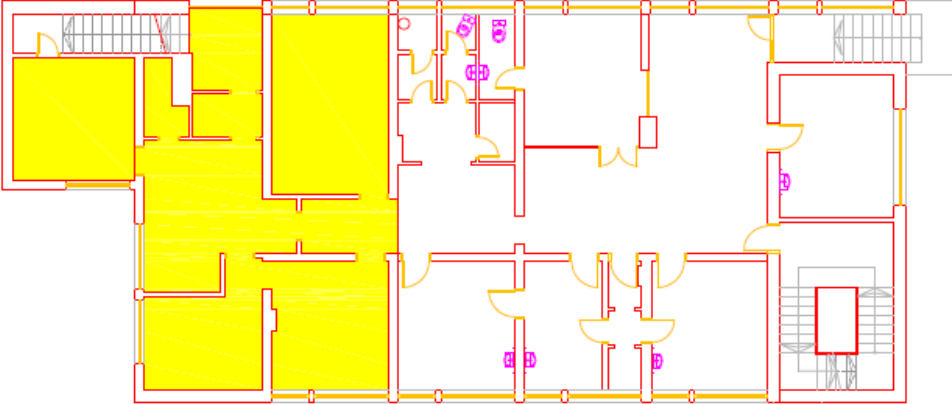
²¹ Ovde je prikazana ilustracija (veličina, orientacija i oprema crteža se može razlikovati)

Sastav sklopa	Naziv građevinskog sloja	δ [cm]	λ [W/mK] []	ρ [kg/m ³]	μ [-]	R [(m ² .K)/W]
Prelaženje topline						0,1700
1.LAMINAT	1,00	0,140	950	15		0,0714
2.CEMENTNI MALTER	4,00	1,400	2100	30		0,0286
3.BETON SA KAMENIM AGR.	10,0	2,330	2500	90		0,0429
4.HIDROIZOLACIJA	1,00	0,190	1000	14000		0,0526
Prelaženje topline						0,0000
Ukupni otpor						0,366

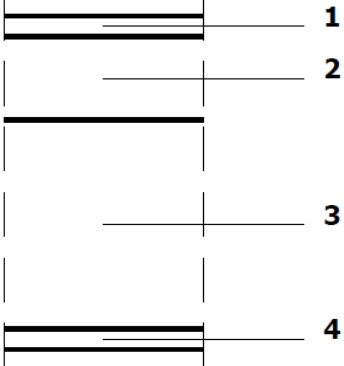
Površinski kokoefficijent prolaza topline U [W/(m ² K)]	2,736
---	-------

3.1.5 POD NA TLU PNT-3

3.1.5.1 Sastav, ilustracija

Broj	5
Oznaka	PNT-3
Ilustracija položaja u zgradiji ²²	 <p style="text-align: center;">OSNOVA SUTERENA PNT-3</p>  <p style="text-align: center;">OSNOVA PRIZEMLJA PNT-3</p>
Površina [m ²]	177,52 m ²

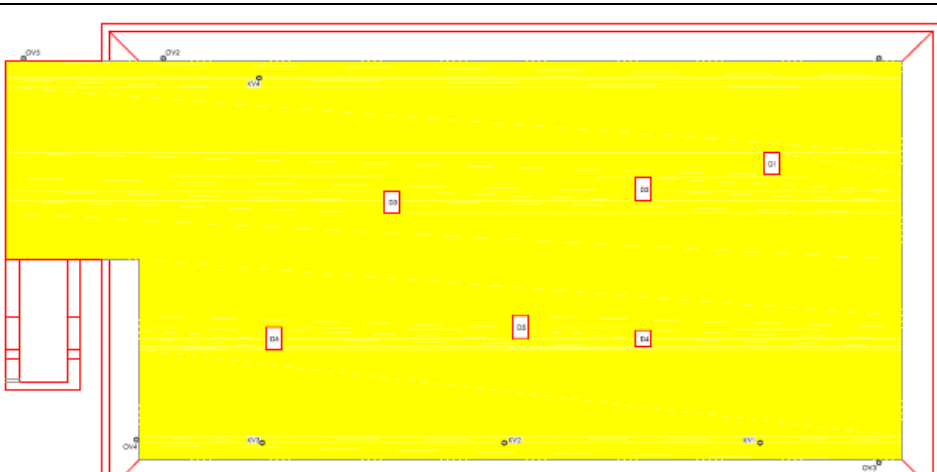
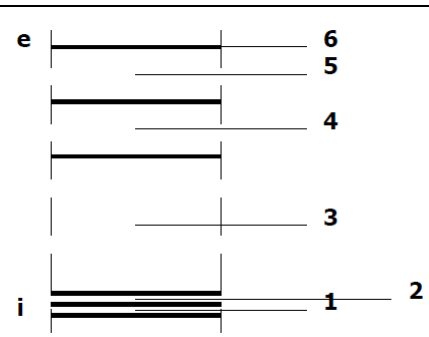
²² Ova opcija nije obavezna

Skica sklopa ²³	 <p> 1 2 3 4 </p> <p> 1 KERAMIČKE PLOČICE-PODNE 2 CEMENTNI MALTER 3 BETON SA KAMENIM AGREGATIMA 4 HIDROIZOLACIJA </p>																																																
Sastav sklopa	<table border="1"> <thead> <tr> <th>Naziv građevinskog sloja</th> <th>δ [cm]</th> <th>λ [W/mK]</th> <th>ρ [kg/m³]</th> <th>μ [-]</th> <th>R [(m²·K)/W]</th> </tr> </thead> <tbody> <tr> <td>Prelaženje topline</td><td></td><td></td><td></td><td></td><td>0,1700</td></tr> <tr> <td>1.KERAMIČKE PLOČICE</td><td>1,00</td><td>1,280</td><td>2300</td><td>20</td><td>0,0078</td></tr> <tr> <td>2.CEMENTNI MALTER</td><td>4,00</td><td>1,400</td><td>2100</td><td>30</td><td>0,0286</td></tr> <tr> <td>3.BETON SA KAMENIM AGR.</td><td>10,0</td><td>2,330</td><td>2500</td><td>90</td><td>0,0429</td></tr> <tr> <td>4.HIDROIZOLACIJA</td><td>1,00</td><td>0,190</td><td>1000</td><td>14000</td><td>0,0526</td></tr> <tr> <td>Prelaženje topline</td><td></td><td></td><td></td><td></td><td>0,0000</td></tr> <tr> <td>Ukupni otpor</td><td></td><td></td><td></td><td></td><td>0,302</td></tr> </tbody> </table>	Naziv građevinskog sloja	δ [cm]	λ [W/mK]	ρ [kg/m ³]	μ [-]	R [(m ² ·K)/W]	Prelaženje topline					0,1700	1.KERAMIČKE PLOČICE	1,00	1,280	2300	20	0,0078	2.CEMENTNI MALTER	4,00	1,400	2100	30	0,0286	3.BETON SA KAMENIM AGR.	10,0	2,330	2500	90	0,0429	4.HIDROIZOLACIJA	1,00	0,190	1000	14000	0,0526	Prelaženje topline					0,0000	Ukupni otpor					0,302
Naziv građevinskog sloja	δ [cm]	λ [W/mK]	ρ [kg/m ³]	μ [-]	R [(m ² ·K)/W]																																												
Prelaženje topline					0,1700																																												
1.KERAMIČKE PLOČICE	1,00	1,280	2300	20	0,0078																																												
2.CEMENTNI MALTER	4,00	1,400	2100	30	0,0286																																												
3.BETON SA KAMENIM AGR.	10,0	2,330	2500	90	0,0429																																												
4.HIDROIZOLACIJA	1,00	0,190	1000	14000	0,0526																																												
Prelaženje topline					0,0000																																												
Ukupni otpor					0,302																																												
Površinski kokoefficijenat prolaza topline U [W/(m ² K)]	3,312																																																

²³ Ovde je prikazana ilustracija (veličina, orientacija i oprema crteža se može razlikovati)

3.1.6 RAVAN KROV IZNAD GREJANOG PROSTORA

3.1.6.1 Sastav, ilustracija

Broj	6																																			
Oznaka	RK																																			
Ilustracija položaja u zgradi ²⁴	 <p style="text-align: center;">OSNOVA RAVNOG KROVA</p>																																			
Površina [m ²]	325,39 m ²																																			
Sastav sklopa	<table border="1"> <thead> <tr> <th>Naziv građevinskog sloja</th> <th>δ [cm]</th> <th>λ [W/mK]</th> <th>ρ [kg/m³]</th> <th>μ [-]</th> </tr> </thead> <tbody> <tr> <td>1. PRODUŽENI KREČNI MALTER</td> <td>2,00</td> <td>0,870</td> <td>1800</td> <td>20</td> </tr> <tr> <td>2. GIPSANI MALTER NA TRSCI</td> <td>2,00</td> <td>0,470</td> <td>1000</td> <td>3</td> </tr> <tr> <td>3. SLOJ VAZDUHA</td> <td>25,0</td> <td>1,107</td> <td>1</td> <td>1</td> </tr> <tr> <td>4. BETON SA KAMENIM AGREGATIMA</td> <td>10,0</td> <td>2,330</td> <td>2500</td> <td>90</td> </tr> <tr> <td>5. PERLIT MALTER</td> <td>10,0</td> <td>0,130</td> <td>500</td> <td>4</td> </tr> <tr> <td>6. PVC FOLIJA</td> <td>0,15</td> <td>0,190</td> <td>1200</td> <td>42000</td> </tr> </tbody> </table>	Naziv građevinskog sloja	δ [cm]	λ [W/mK]	ρ [kg/m ³]	μ [-]	1. PRODUŽENI KREČNI MALTER	2,00	0,870	1800	20	2. GIPSANI MALTER NA TRSCI	2,00	0,470	1000	3	3. SLOJ VAZDUHA	25,0	1,107	1	1	4. BETON SA KAMENIM AGREGATIMA	10,0	2,330	2500	90	5. PERLIT MALTER	10,0	0,130	500	4	6. PVC FOLIJA	0,15	0,190	1200	42000
Naziv građevinskog sloja	δ [cm]	λ [W/mK]	ρ [kg/m ³]	μ [-]																																
1. PRODUŽENI KREČNI MALTER	2,00	0,870	1800	20																																
2. GIPSANI MALTER NA TRSCI	2,00	0,470	1000	3																																
3. SLOJ VAZDUHA	25,0	1,107	1	1																																
4. BETON SA KAMENIM AGREGATIMA	10,0	2,330	2500	90																																
5. PERLIT MALTER	10,0	0,130	500	4																																
6. PVC FOLIJA	0,15	0,190	1200	42000																																
Skica sklopa ²⁵	 <p style="text-align: right;"> 1 PRODUŽNI KREČNI MALTER 1800 2 GIPSANI MALTER NA TRSCI 3 SLOJ VAZDUHA 4 BETON SA KAMENIM AGREGATIMA 5 PERLIT MALTER 6 PVC FOLIJA 1200 </p>																																			
Ventilisanost sklopa	NIJE VENTILISAN																																			
Parametri ventilisanosti	-																																			

²⁴ Ova opcija nije obavezna

²⁵ Ovde je prikazana ilustracija (veličina, orientacija i oprema crteža se može razlikovati)

3.1.6.2 Prolaz topline i polje temperature

Tabelarni prikaz	<table border="1"> <thead> <tr> <th>Opis</th><th>λ [W/mK]</th><th>R [(m²·K)/W]</th><th>$\Delta\theta$ [°C]</th><th>θ [°C]</th></tr> </thead> <tbody> <tr><td>Unutra</td><td></td><td></td><td></td><td>22,00</td></tr> <tr><td>Prelaženje</td><td></td><td>0,1000</td><td>2,73</td><td>19,27</td></tr> <tr><td>1.PRODUŽENI KREČNI MALTER</td><td>0,870</td><td>0,0230</td><td>0,63</td><td>18,64</td></tr> <tr><td>2.GIPSANI MALTER NA TRSCI</td><td>0,470</td><td>0,0426</td><td>1,16</td><td>17,48</td></tr> <tr><td>3.SLOJ VAZDUHA</td><td>1,107</td><td>0,2258</td><td>6,17</td><td>11,31</td></tr> <tr><td>4.BETON SA KAMENIM AGREGATIMA</td><td>2,330</td><td>0,0429</td><td>1,17</td><td>10,14</td></tr> <tr><td>5.PERLIT MALTER</td><td>0,130</td><td>0,7692</td><td>21,0</td><td>-10,86</td></tr> <tr><td>6.PVC FOLIJA</td><td>0,190</td><td>0,0053</td><td>0,15</td><td>-11,01</td></tr> <tr><td>Prelaženje topline</td><td></td><td>0,0400</td><td>1,09</td><td>-11,01</td></tr> <tr><td>Spolja</td><td></td><td></td><td></td><td>-12,10</td></tr> <tr><td>Ukupni otpor</td><td></td><td>1,249</td><td></td><td></td></tr> </tbody> </table>	Opis	λ [W/mK]	R [(m ² ·K)/W]	$\Delta\theta$ [°C]	θ [°C]	Unutra				22,00	Prelaženje		0,1000	2,73	19,27	1.PRODUŽENI KREČNI MALTER	0,870	0,0230	0,63	18,64	2.GIPSANI MALTER NA TRSCI	0,470	0,0426	1,16	17,48	3.SLOJ VAZDUHA	1,107	0,2258	6,17	11,31	4.BETON SA KAMENIM AGREGATIMA	2,330	0,0429	1,17	10,14	5.PERLIT MALTER	0,130	0,7692	21,0	-10,86	6.PVC FOLIJA	0,190	0,0053	0,15	-11,01	Prelaženje topline		0,0400	1,09	-11,01	Spolja				-12,10	Ukupni otpor		1,249		
Opis	λ [W/mK]	R [(m ² ·K)/W]	$\Delta\theta$ [°C]	θ [°C]																																																									
Unutra				22,00																																																									
Prelaženje		0,1000	2,73	19,27																																																									
1.PRODUŽENI KREČNI MALTER	0,870	0,0230	0,63	18,64																																																									
2.GIPSANI MALTER NA TRSCI	0,470	0,0426	1,16	17,48																																																									
3.SLOJ VAZDUHA	1,107	0,2258	6,17	11,31																																																									
4.BETON SA KAMENIM AGREGATIMA	2,330	0,0429	1,17	10,14																																																									
5.PERLIT MALTER	0,130	0,7692	21,0	-10,86																																																									
6.PVC FOLIJA	0,190	0,0053	0,15	-11,01																																																									
Prelaženje topline		0,0400	1,09	-11,01																																																									
Spolja				-12,10																																																									
Ukupni otpor		1,249																																																											
Grafik temperatura ²⁶	<p style="text-align: center;"> t (°C) d (cm) t (°C) </p>																																																												
Površ. koeficijenat prolaza topline U [W/(m ² K)]	0,801																																																												

3.1.6.3 Difuzija vodene pare i isušenje

Tabelarni prikaz	<table border="1"> <thead> <tr> <th>Opis</th><th>μ [-]</th><th>$\Delta\theta$ [°C]</th><th>θ [°C]</th><th>p' [Pa]</th><th>p_s [Pa]</th></tr> </thead> <tbody> <tr><td>Unutra</td><td></td><td></td><td>22,00</td><td>2640</td><td></td></tr> <tr><td>Prelaženje</td><td></td><td>2,16</td><td>19,84</td><td>2312</td><td>1452</td></tr> <tr><td>1.PRODUŽENI KREČNI MALTER</td><td>20</td><td>0,50</td><td>19,34</td><td>2241</td><td>1444</td></tr> <tr><td>2.GIPSANI MALTER NA TRSCI</td><td>3</td><td>0,92</td><td>18,42</td><td>2116</td><td>1442</td></tr> <tr><td>3.SLOJ VAZDUHA</td><td>1</td><td>4,88</td><td>13,54</td><td>1550</td><td>1437</td></tr> <tr><td>4.BETON SA KAMENIM AGREGATIMA</td><td>90</td><td>0,93</td><td>12,61</td><td>1458</td><td>1249</td></tr> <tr><td>5.PERLIT MALTER</td><td>4</td><td>16,63</td><td>-4,02</td><td>436</td><td>1240</td></tr> <tr><td>6.PVC FOLIJA</td><td>42000</td><td>0,12</td><td>-4,14</td><td>432</td><td>361</td></tr> <tr><td>Prelaženje topline</td><td></td><td>0,86</td><td>-4,14</td><td>432</td><td>361</td></tr> <tr><td>Spolja</td><td></td><td></td><td>-5,00</td><td>401</td><td></td></tr> </tbody> </table>	Opis	μ [-]	$\Delta\theta$ [°C]	θ [°C]	p' [Pa]	p_s [Pa]	Unutra			22,00	2640		Prelaženje		2,16	19,84	2312	1452	1.PRODUŽENI KREČNI MALTER	20	0,50	19,34	2241	1444	2.GIPSANI MALTER NA TRSCI	3	0,92	18,42	2116	1442	3.SLOJ VAZDUHA	1	4,88	13,54	1550	1437	4.BETON SA KAMENIM AGREGATIMA	90	0,93	12,61	1458	1249	5.PERLIT MALTER	4	16,63	-4,02	436	1240	6.PVC FOLIJA	42000	0,12	-4,14	432	361	Prelaženje topline		0,86	-4,14	432	361	Spolja			-5,00	401	
Opis	μ [-]	$\Delta\theta$ [°C]	θ [°C]	p' [Pa]	p_s [Pa]																																																														
Unutra			22,00	2640																																																															
Prelaženje		2,16	19,84	2312	1452																																																														
1.PRODUŽENI KREČNI MALTER	20	0,50	19,34	2241	1444																																																														
2.GIPSANI MALTER NA TRSCI	3	0,92	18,42	2116	1442																																																														
3.SLOJ VAZDUHA	1	4,88	13,54	1550	1437																																																														
4.BETON SA KAMENIM AGREGATIMA	90	0,93	12,61	1458	1249																																																														
5.PERLIT MALTER	4	16,63	-4,02	436	1240																																																														
6.PVC FOLIJA	42000	0,12	-4,14	432	361																																																														
Prelaženje topline		0,86	-4,14	432	361																																																														
Spolja			-5,00	401																																																															

²⁶ Ovde je prikazana ilustracija (veličina, orientacija i oprema crteža se može razlikovati)

Grafik ²⁷	
Proračun kondenzacije ²⁸	<p>Na unutrašnjoj površini nema orošavanja – pri $\Theta_e = -12,1^\circ\text{C}$ i $\Theta_i = 22^\circ\text{C}$ kondenzacija na unutrašnjoj površini će se pojaviti pri vlažnosti od 84,5%</p> <ul style="list-style-type: none"> -Temperatura na unutrašnjoj površini $\Theta_1 = 19,3^\circ\text{C}$ - Minimalna dozvoljena temperatura na unutrašnjoj površini $\Theta_d = 12,5^\circ\text{C}$
Vreme isušenja	<p>Do pojave kondenzacije dolazi u zoni 6</p> <ul style="list-style-type: none"> - Gustina difuzijskog toka vodene pare koji ulazi u konstrukciju $0,067 \text{ g/m}^2\text{h}$ - Gustina difuzijskog toka vodene pare koji izlazi iz konstrukcije $0,001 \text{ g/m}^2\text{h}$ - Količina kondenzovane vodene pare $0,066 \text{ g/m}^2$ - Količina kondenzata posle 60 dana vlaženja $95,214 \text{ g/m}^2$ - Potrebno vreme za isušenje $86,944 \text{ dana}$ - Najveće dozvoljeno vreme isušenja 90 dana <p>KONSTRUKCIJA NE ZADOVOLJAVA</p>

3.1.6.4 Letnja stabilnost²⁹

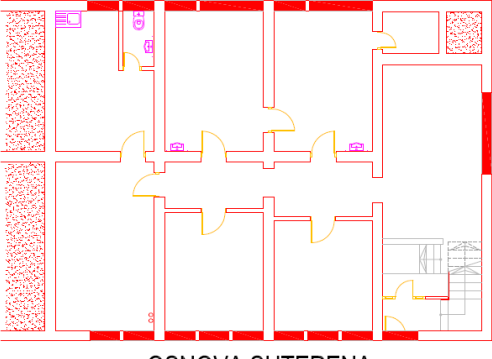
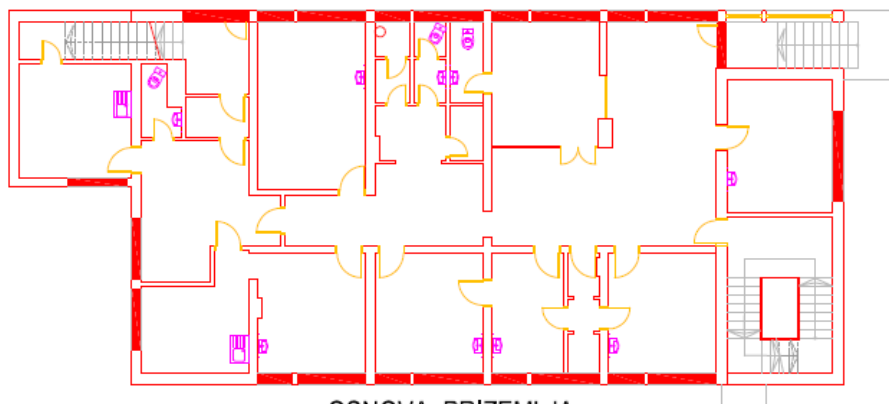
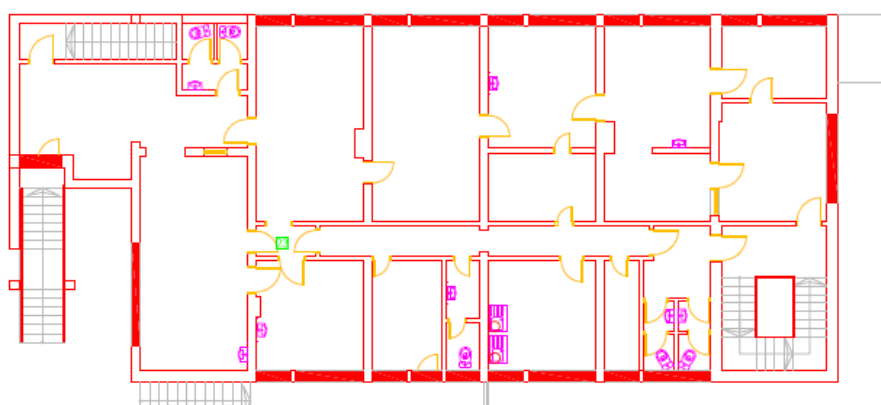
	Vrednost	Minimum	Zadovoljava
Faktor prigušenja amplitudne oscilacije temperature v [-]	61,706	25	Da
Faktor kašnjenja oscilacije temperature η [h]	$v > 45$	7	Da

²⁷ Ovde je prikazana ilustracija (veličina, orientacija i oprema crteža se može razlikovati)

²⁸ U skladu sa poglavljem 3.3 Pravilnika o energetskoj efikasnosti zgrada

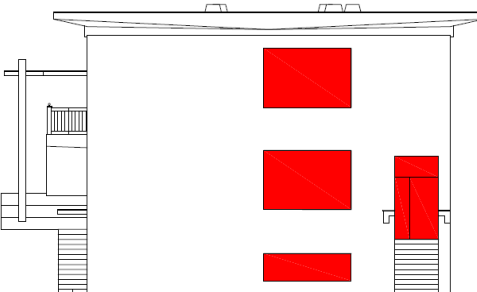
²⁹ Prema poglavљу 3.2 Pravilnika o energetskoj efikasnosti zgrada

3.1.7 Prozori ,ulazna vrata

Broj	7
Oznaka	PS i VS
Ilustracija položaja u zgradi ³⁰	 <p style="text-align: center;">OSNOVA SUTERENA</p>  <p style="text-align: center;">OSNOVA PRIZEMLJA</p>  <p style="text-align: center;">OSNOVA SPRATA</p>
Površina (m ²)	159,79
Opis	Al ram sa termičkim prekidom i zastakljenjem sa dvostrukim niskoemisionim stakлом $d = 4+12\text{mm}$ punjeno vazduhom
Koficijenat prolaza toplove $U [\text{W}/(\text{m}^2\text{K})]$	KOEFICIJENTI PROLAZA TOPLOTE PROZORA BALKONSKIH I SPOLJNIH VRATA DATI SU POJEDINAČNO DETALJNO

³⁰ Ova opcija nije obavezna

Segmenti pozicije u odnosu na orijentaciju prema stranama sveta³¹

	Površina [m ²]	Ilustracija ³²
Ka severu	9,52	 <p>SEVERNA FASADA</p>
Ka istoku	63,69	 <p>ISTOČNA FASADA</p>
Ka jugu	18,96	 <p>JUŽNA FASADA</p>
Ka zapadu	67,62	 <p>ZAPADNA FASADA</p>

³¹ Podela izvršena zbog izračunavanja solarnih dobitaka

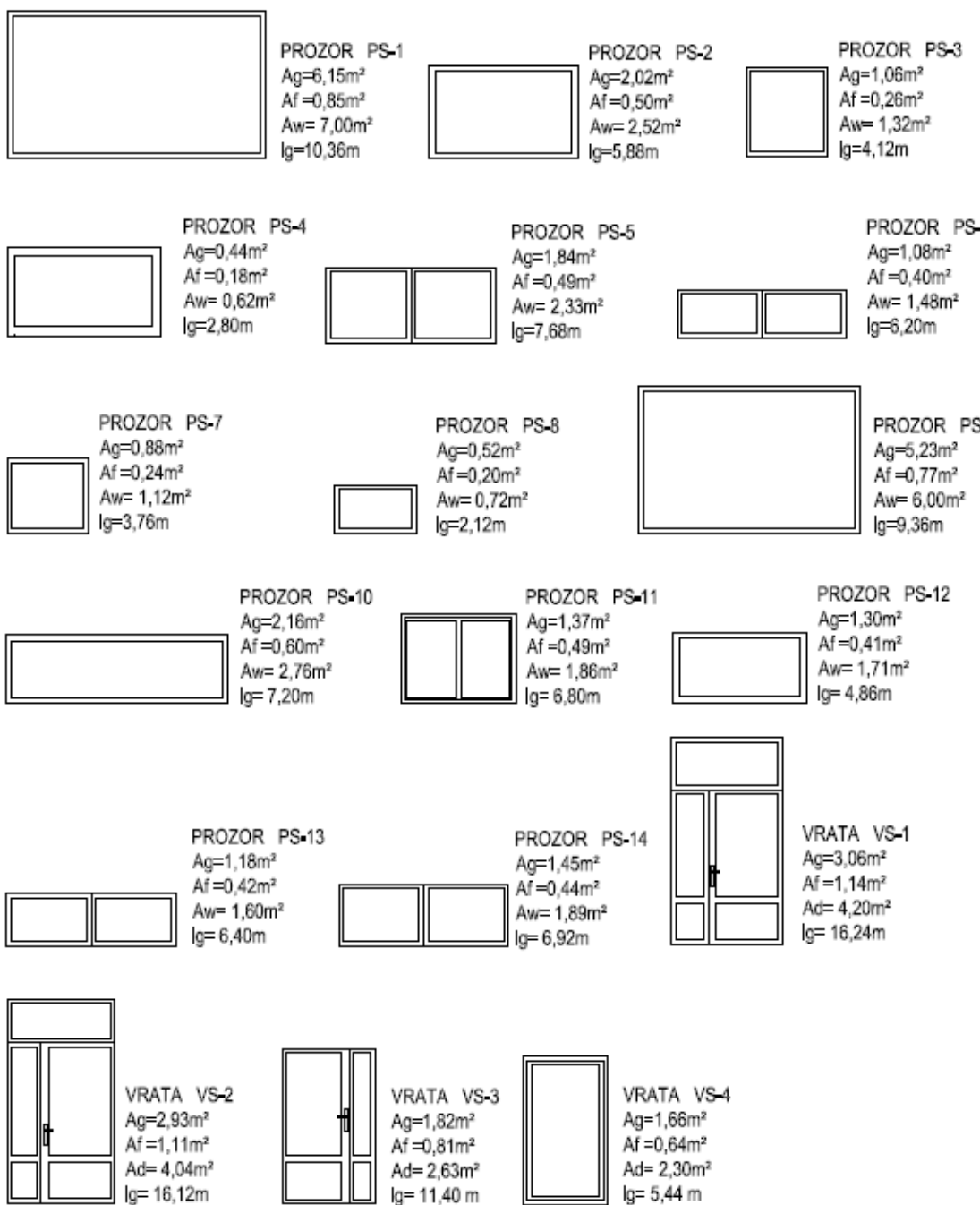
³² Ova opcija nije obavezna

U sledećem prilogu date su geometrijske karakteristike prozora i spoljnih vrata od stakla koje su neophodne za izračunavanje koeficijenta prolaza toplove:

- Površina stakla A_g
- Površina okvira A_f
- Ukupna površina prozora A_w i
- Obim stakla l_g

Koeficijent prolaska toplove transparentnih građevinskih elemenata U_w je računat prema standardu SRPS EN ISO 10077-1 i sledećem obrascu:

$$U_w = \frac{A_g \times U_g + A_f \times U_f + l_g \times \psi_g}{A_g + A_f}$$



Prozor PS-1 3,5 x 2,0 m,		kom=1,	A=7,0 m ²
Površina prozora	Aw	m ²	7,00
Površina stakla	Ag	m ²	6,15
Obim stakla	lg	m	10,36
Koef.prolaza toplotne stakla	Ug	W/m ² K	1,60
Površina rama	Af	m ²	0,85
Koef.prolaza toplotne rama	Uf	W/m ² K	2,80
Koeficijent korekcije	Ψ	W/m ² K	0,08
Koef.prolaza toplotne prozora	Uw	W/mK	1,86

Faktor rama: 0,85 / 7,00 = 0,12

Prozor PS-2 2,0 x 1,26 m,		kom=1,	A=2,52m ²
Površina prozora	Aw	m ²	2,52
Površina stakla	Ag	m ²	5,88
Obim stakla	lg	m	8,07
Koef.prolaza toplotne stakla	Ug	W/m ² K	1,60
Površina rama	Af	m ²	0,50
Koef.prolaza toplotne rama	Uf	W/m ² K	2,80
Koeficijent korekcije	Ψ	W/m ² K	0,08
Koef.prolaza toplotne prozora	Uw	W/mK	2,02

Faktor rama: 0,50 / 2,52 = 0,20

Prozor PS-3 1,1 x 1,2 m,		kom=6,	A=7,92 m ²
Površina prozora	Aw	m ²	1,32
Površina stakla	Ag	m ²	1,06
Obim stakla	lg	m	4,12
Koef.prolaza toplotne stakla	Ug	W/m ² K	1,60
Površina rama	Af	m ²	0,26
Koef.prolaza toplotne rama	Uf	W/m ² K	2,80
Koeficijent korekcije	Ψ	W/m ² K	0,08
Koef.prolaza toplotne prozora	Uw	W/mK	2,09

Faktor rama: 0,26 / 1,32 = 0,20

Prozor PS-4 1,04 x 0,65 m, kom=12, A=8,16 m²			
Površina prozora	Aw	m ²	0,68
Površina stakla	Ag	m ²	0,49
Obim stakla	lg	m	2,90
Koef.prolaza toplotne stakla	Ug	W/m ² K	1,60
Površina rama	Af	m ²	0,19
Koef.prolaza toplotne rama	Uf	W/m ² K	2,80
Koeficijent korekcije	Ψ	W/m ² K	0,08
Koef.prolaza toplotne prozora	Uw	W/mK	2,26

Faktor rama: 0,19 / 0,68 = 0,28

Prozor PS-5 2,28 x 1,02 m, kom=16, A=37,28m²			
Površina prozora	Aw	m ²	2,33
Površina stakla	Ag	m ²	1,84
Obim stakla	lg	m	7,68
Koef.prolaza toplotne stakla	Ug	W/m ² K	1,60
Površina rama	Af	m ²	0,49
Koef.prolaza toplotne rama	Uf	W/m ² K	2,80
Koeficijent korekcije	Ψ	W/m ² K	0,08
Koef.prolaza toplotne prozora	Uw	W/mK	2,12

Faktor rama: 0,49 / 2,33 = 0,21

Prozor PS-6 2,28 x 0,65 m, kom=20, A=29,60 m²			
Površina prozora	Aw	m ²	1,48
Površina stakla	Ag	m ²	1,08
Obim stakla	lg	m	2,20
Koef.prolaza toplotne stakla	Ug	W/m ² K	1,60
Površina rama	Af	m ²	0,40
Koef.prolaza toplotne rama	Uf	W/m ² K	2,80
Koeficijent korekcije	Ψ	W/m ² K	0,08
Koef.prolaza toplotne prozora	Uw	W/mK	2,26

Faktor rama: 0,40 / 1,48 = 0,27

Prozor PS-7 1,1 x 1,02 m,		kom=16,	A=17,92 m ²
Površina prozora	Aw	m ²	1,12
Površina stakla	Ag	m ²	0,88
Obim stakla	lg	m	3,76
Koef.prolaza toplotne stakla	Ug	W/m ² K	1,60
Površina rama	Af	m ²	0,24
Koef.prolaza toplotne rama	Uf	W/m ² K	2,80
Koeficijent korekcije	Ψ	W/m ² K	0,08
Koef.prolaza toplotne prozora	Uw	W/mK	2,13

Faktor rama: 0,24 / 1,12 = 0,21

Prozor PS-8 1,1 x 0,65 m,		kom=20,	A=14,40m ²
Površina prozora	Aw	m ²	0,72
Površina stakla	Ag	m ²	0,52
Obim stakla	lg	m	2,12
Koef.prolaza toplotne stakla	Ug	W/m ² K	1,60
Površina rama	Af	m ²	0,20
Koef.prolaza toplotne rama	Uf	W/m ² K	2,80
Koeficijent korekcije	Ψ	W/m ² K	0,08
Koef.prolaza toplotne prozora	Uw	W/mK	2,17

Faktor rama: 0,20 / 0,72= 0,28

Prozor PS-9 3,0 x 2,0 m,		kom=2,	A=12,00 m ²
Površina prozora	Aw	m ²	6,00
Površina stakla	Ag	m ²	5,23
Obim stakla	lg	m	9,36
Koef.prolaza toplotne stakla	Ug	W/m ² K	1,60
Površina rama	Af	m ²	0,77
Koef.prolaza toplotne rama	Uf	W/m ² K	2,80
Koeficijent korekcije	Ψ	W/m ² K	0,08
Koef.prolaza toplotne prozora	Uw	W/mK	1,88

Faktor rama: 0,77 / 6,00 = 0,13

Prozor PS-10 3,0 x 0,92 m,		kom=1,	A=2,76 m ²
Površina prozora	Aw	m ²	2,76
Površina stakla	Ag	m ²	2,16
Obim stakla	lg	m	7,20
Koef.prolaza toplotne stakla	Ug	W/m ² K	1,60
Površina rama	Af	m ²	0,60
Koef.prolaza toplotne rama	Uf	W/m ² K	2,80
Koeficijent korekcije	Ψ	W/m ² K	0,08
Koef.prolaza toplotne prozora	Uw	W/mK	2,07

Faktor rama: 0,60 / 2,76 = 0,22

Prozor PS-11 1,55 x 1,2 m,		kom=1,	A=1,86m ²
Površina prozora	Aw	m ²	1,86
Površina stakla	Ag	m ²	1,37
Obim stakla	lg	m	6,80
Koef.prolaza toplotne stakla	Ug	W/m ² K	1,60
Površina rama	Af	m ²	0,49
Koef.prolaza toplotne rama	Uf	W/m ² K	2,80
Koeficijent korekcije	Ψ	W/m ² K	0,08
Koef.prolaza toplotne prozora	Uw	W/mK	2,21

Faktor rama: 0,49 / 1,86 = 0,26

Prozor PS-12 1,8 x 0,95 m,		kom=1,	A=1,71 m ²
Površina prozora	Aw	m ²	1,71
Površina stakla	Ag	m ²	1,30
Obim stakla	lg	m	4,86
Koef.prolaza toplotne stakla	Ug	W/m ² K	1,60
Površina rama	Af	m ²	0,41
Koef.prolaza toplotne rama	Uf	W/m ² K	2,80
Koeficijent korekcije	Ψ	W/m ² K	0,08
Koef.prolaza toplotne prozora	Uw	W/mK	2,12

Faktor rama: 0,41 / 1,71 = 0,24

Prozor PS-13 2,28 x 0,7 m,		kom=1,	A=1,60 m ²
Površina prozora	Aw	m ²	1,60
Površina stakla	Ag	m ²	1,18
Obim stakla	lg	m	6,40
Koef.prolaza toplotne stakla	Ug	W/m ² K	1,60
Površina rama	Af	m ²	0,42
Koef.prolaza toplotne rama	Uf	W/m ² K	2,80
Koeficijent korekcije	Ψ	W/m ² K	0,08
Koef.prolaza toplotne prozora	Uw	W/mK	2,24

Faktor rama: 0,42 / 1,60 = 0,26

Prozor PS-14 2,28 x 0,83 m,		kom=1,	A=1,89m ²
Površina prozora	Aw	m ²	1,89
Površina stakla	Ag	m ²	1,45
Obim stakla	lg	m	6,92
Koef.prolaza toplotne stakla	Ug	W/m ² K	1,60
Površina rama	Af	m ²	0,44
Koef.prolaza toplotne rama	Uf	W/m ² K	2,80
Koeficijent korekcije	Ψ	W/m ² K	0,08
Koef.prolaza toplotne prozora	Uw	W/mK	2,17

Faktor rama: 0,44 / 1,89 = 0,23

Vrata spoljna VS-1 1,5 x 2,8 m,		kom=1,	A=4,20m ²
Površina vrata	Aw	m ²	4,20
Površina stakla	Ag	m ²	3,06
Obim stakla	lg	m	16,24
Koef.prolaza toplotne stakla	Ug	W/m ² K	1,60
Površina rama	Af	m ²	1,14
Koef.prolaza toplotne rama	Uf	W/m ² K	2,80
Koeficijent korekcije	Ψ	W/m ² K	0,08
Koef.prolaza toplotne vrata	Ud	W/mK	2,24

Faktor rama: 1,14 / 4,20 = 0,27

Vrata spoljna VS-2 1,46 x 2,77 m, kom=1, A=4,04m²			
Površina vrata	Aw	m ²	4,04
Površina stakla	Ag	m ²	2,93
Obim stakla	lg	m	16,12
Koef.prolaza toplote stakla	Ug	W/m ² K	1,60
Površina rama	Af	m ²	1,11
Koef.prolaza toplote rama	Uf	W/m ² K	2,80
Koeficijent korekcije	Ψ	W/m ² K	0,08
Koef.prolaza toplote vrata	Ud	W/mK	2,25

Faktor rama: 1,11 / 4,04 = 0,27

Vrata spoljna VS-3 1,25 x 2,1 m, kom=1, A=2,63m²			
Površina vrata	Aw	m ²	2,63
Površina stakla	Ag	m ²	1,82
Obim stakla	lg	m	11,40
Koef.prolaza toplote stakla	Ug	W/m ² K	1,60
Površina rama	Af	m ²	0,81
Koef.prolaza toplote rama	Uf	W/m ² K	2,80
Koeficijent korekcije	Ψ	W/m ² K	0,08
Koef.prolaza toplote prozora	Uw	W/mK	2,32

Faktor rama: 0,81 / 2,63 = 0,31

Vrata spoljna VS-4 1,14 x 2,02 m, kom=1, A=2,30m²			
Površina vrata	Aw	m ²	2,30
Površina stakla	Ag	m ²	1,66
Obim stakla	lg	m	5,44
Koef.prolaza toplote stakla	Ug	W/m ² K	1,60
Površina rama	Af	m ²	0,64
Koef.prolaza toplote rama	Uf	W/m ² K	2,80
Koeficijent korekcije	Ψ	W/m ² K	0,08
Koef.prolaza toplote prozora	Uw	W/mK	2,12

Faktor rama: 0,64 / 2,30 = 0,28

3.1 Pregled koeficijenata prolaza toplote kroz termički omotač zgrade³³

Položaj	oznaka	U [W/(m ² K)]	U_{max} [W/(m ² K)]	Ispunjeno DA / NE
Spoljni zidovi	SFZ	1,292	0,400	NE
Zid u tlu	ZUT	1,309	0,500	NE
Pod na tlu	PNT-1	3,383	0,400	NE
Pod na tlu	PNT-2	2,124	0,400	NE
Pod na tlu	PNT-3	3,312	0,400	NE
Ravan krov	RK	0,803	0,200	NE
Prozori spoljni PS	PS-1	1,86	1,500	NE
Prozori spoljni PS	PS-2	2,02	1,500	NE
Prozori spoljni PS	PS-3	2,09	1,500	NE
Prozori spoljni PS	PS-4	2,26	1,500	NE
Prozori spoljni PS	PS-5	2,12	1,500	NE
Prozori spoljni PS	PS-6	2,26	1,500	NE
Prozori spoljni PS	PS-7	2,13	1,500	NE
Prozori spoljni PS	PS-8	2,17	1,500	NE
Prozori spoljni PS	PS-9	1,88	1,500	NE
Prozori spoljni PS	PS-10	2,07	1,500	NE
Prozori spoljni PS	PS-11	2,21	1,500	NE
Prozori spoljni PS	PS-12	2,12	1,500	NE
Prozori spoljni PS	PS-13	2,24	1,500	NE
Prozori spoljni PS	PS-14	2,17	1,500	NE
Vrata ulazna VS	VS-1	2,24	1,600	NE
Vrata ulazna VS	VS-2	2,25	1,600	NE
Vrata ulazna VS	VS-3	2,32	1,600	NE
Vrata ulazna VS	VS-4	2,12	1,600	NE

4.0 PODACI O TERMOTEHNIČKIM SISTEMIMA

4.1 Izvod iz tehničkog opisa

4.1.1 Sistem grejanja³⁴

Za nadoknadu toplotnih gubitaka izvedeno je daljinsko grejanje.

Za sistem grejanja projektovan je dvocevni rednjatorski sistem grejanja. Temperaturski režim grejanja je 90-70 °C. Cevna mreža u toplotnoj podstanici izrađena je od čelični bešavnih cevi prema SRPS EN10 220: 2005. Sistem grejanja je preko toplotne podstanice povezan na sistem daljinskog grejanja.

Unutar objekta cevna mreža je izrađena od beševnih čeličnih cevi. Cevi se vode vidno neposredno uz zidove. Kao grejna tela postavljeni su člankasti aluminijumski radijatori.

Hidrauličko uravnoteživanje vrši se postavljanjem kosih regulacionih ventila na povratne vodove na sabirniku i njihovim postavljanjem u određeni položaj.

Grejana tela se na cevnu mrežu povezuju pomoću radijatorskih ventila i radijatirskih navijaka.

Na svakom grejnog telu ugrađena je odzračna slavina kako bi se radijatori mogli odzračiti pri pojavi vazduha u instalaciji.

³³ Maksimalne vrednosti koeficijenta prolaza topline koji su prikazani u tabeli odgovaraju vrednostima za nove zgrade datim u Tabeli 3.4.1.3. Pravilnika o energetskoj efikasnosti zgrada

³⁴ Sa osvrtom na minimalne tehničke zahteve sadržane u članu 13 Pravilnika o energetskoj efikasnosti zgrada za nove zgrade i prilikom rekonstrukcija sistema grejanja postojećih zgrada

4.1.2 Sistem klimatizacije³⁵

Projektom je predviđena klimatizacija lokalnim klimatizacionim uređajem.. Spoljne jedinice se postavlja na fasadi objekta. Unutrašnje jedinice su zidnog tipa. Odvod kondenzata predviđen je plastičnim cevima koje su utopljene u zid do oluka.

Upravljanje sistemom klimatizacije se vrši preko daljinskih upravljača koji se isporučuju sa klima uređajima.

4.1.3 Sistem za pripremu STV³⁶

Projektom je za pripremu STV predviđen lokalni sistem – ugradnja električnih bojlera .Bojleri kao energet za zagrevanje sanitarnе tople vode koriste električnu energiju. .

Podaci o termotehničkim sistemima u zgradi	
Sistem za grejanje (lokalni, etažni, centralni, daljinski)	Daljinski
Toplotni izvor	Fosilno gorivo
Sistem za pripremu STV (lokalni, centralni, daljinski)	Lokalni
Toplotni izvor za STV	El.energija
Sistem za hlađenje (lokalni, etažni, centralni, daljinski)	lokalni
Izvor energije koji se koristi za hlađenje	Električna energija
Ventilacija (prirodna, mehanička, mehanička sa rekuperacijom)	Prirodna
Izvor energije za ventilaciju	-
Vrsta i način korišćenja sistema sa obnovljivim izvorima	-
Udeo OIE u potreboj topлоти за grejanje i STV [%]	-

4.2 Gubici toplote

4.2.1 Faktor oblika zgrade i udeo transparentnih površina

Podaci o zgradi	
Neto površina grejanog dela zgrade A_f [m ²]	673,80
Zapremina grejanog dela zgrade V_e [m ³]	2780,50
Faktor oblika f_0 [m ⁻¹]	0,54
Udeo transparentnih površina [%]	10,67

³⁵ Sa osvrtom na minimalne tehničke zahteve sadržane u članu 14 i prilogu 7 Pravilnika o energetskoj efikasnosti zgrada za nove zgrade i prilikom rekonstrukcija sistema klimatizacije postojećih zgrada

³⁶ Sa osvrtom na minimalne tehničke zahteve sadržane u članu 15 Pravilnika o energetskoj efikasnosti zgrada za nove zgrade i prilikom rekonstrukcija sistema za pripremu STV postojećih zgrada

4.2.2 Transmisioni gubici toplotne zgrade H_T [W/K]

4.2.2.1 Površinski transmisioni gubici H_{TS} [W/K]

Opis građ. elementa	Oznaka	U (W/m ² K)	A(m ²)	Fx	U * A * Fx
Spoljni zidovi	SFZ	1,292	605,95	1,0	782,88
Zid u tlu	ZUT	1,309	82,87	0,6	65,09
Pod na tlu	PNT-1	3,383	26,14	0,5	44,22
Pod na tlu	PNT-2	2,124	118,98	0,5	126,36
Pod na tlu	PNT-3	3,312	177,52	0,5	293,97
Ravan krov	RK	0,803	325,39	1,0	261,29
Prozori spoljni PS	PS-1	1,860	7,00	1,0	13,02
Prozori spoljni PS	PS-2	2,02	2,52	1,0	5,09
Prozori spoljni PS	PS-3	2,09	7,92	1,0	16,55
Prozori spoljni PS	PS-4	2,26	8,16	1,0	18,44
Prozori spoljni PS	PS-5	2,12	37,28	1,0	79,03
Prozori spoljni PS	PS-6	2,26	29,60	1,0	66,9
Prozori spoljni PS	PS-7	2,13	17,92	1,0	38,17
Prozori spoljni PS	PS-8	2,17	14,40	1,0	31,25
Prozori spoljni PS	PS-9	1,88	12,00	1,0	22,56
Prozori spoljni PS	PS-10	2,07	2,76	1,0	5,71
Prozori spoljni PS	PS-11	2,21	1,86	1,0	4,11
Prozori spoljni PS	PS-12	2,12	1,71	1,0	3,63
Prozori spoljni PS	PS-13	2,24	1,60	1,0	3,58
Prozori spoljni PS	PS-14	2,17	1,89	1,0	4,10
Vrata ulazna VS	VS-1	2,24	4,20	1,0	9,40
Vrata ulazna VS	VS-2	2,25	4,04	1,0	9,09
Vrata ulazna VS	VS-3	2,32	2,63	1,0	6,10
Vrata ulazna VS	VS-4	2,12	2,30	1,0	4,88
			1496,64		

$$H_{TS}=1915,42 \text{ W/K}$$

4.2.2.2 Linijski transmisioni gubici H_{TB} [W/K]

$$H_{TB} = 0,1 * \Sigma A = 0,1 * 1496,64 = 149,7$$

$$H_{TB} = 149,7 \text{ W/K}$$

4.2.2.3 Ukupni transmisioni gubici H_T [W/K]

$$H_T = H_{TS} + H_{TB} = 1915,42 + 149,7 = 2065,12$$

$$H_T = 2065,12 \text{ W/K}$$

4.2.2.4 Specifični transmisioni gubitak toplotne zgrade H'_T [W/(m²K)]³⁷

$$H'_T = H_T / A = 2065,12 / 1496,64 = 1,38$$

H'_T [W/(m ² K)]	H'_{Tmax} [W/(m ² K)] ³⁸	Ispunjeno DA / NE
1,38	0,61	NE

³⁷ Određuje se prema odeljku 3.4.2.3. Pravilnika o energetskoj efikasnosti.

³⁸ Maksimalne dozvoljene vrednosti specifičnog transmisionog gubitka toplotne zgrede ili dela zgrade H'_T [W/(m²K)] date su u tabeli 3.4.2.3.1. Pravilnika o energetskoj efikasnosti zgrada

4.2.3 Ventilacioni gubici toplote zgrade H_v [W/K]

$$H_v = 0,33 * V * n = 0,33 \text{ Wh/m}^3\text{K} * 1863,95 \text{ m}^3 * 0,5\text{h}^{-1} = 307,55\text{W/K}$$

Zapremina grejanog prostora V [m^3]	1863,95
Zaptivenost prozora	dobra
Broj izmena vazduha n [h^{-1}]	0,5
Koeficijent ventilacionog gubitka [kW/K]	0,308

4.2.4 Ukupni gubici toplote

Podaci o gubicima toplote	[kW]
Transmisioni gubici kroz netransparentni deo omotača zgrade	58,8
Transmisioni gubici kroz prozore i vrata	11,65
Ventilacioni gubici kroz prozore i vrata	10,49
Ukupni gubici toplote	80,94

4.3 Ulagani podaci za proračun dobitaka toplote

4.3.1 Orijentacija i površina pozicija

A(m^2)	SFZ-1	RK	PR,VB,
Sever	72,25		9,52
Istok	230,00	-	63,69
Jug	106,00	-	18,96
Zapad	197,70	-	67,62
Horiz.	-	325,39	

4.3.2 Ulagani podaci za proračun dobitaka od Sunčevog zračenja

SEVERNA FASADA

Faktor osenčenosti ³⁹ F_{sh}	1,0
Faktor propustljivosti Sunčevog zračenja za staklo $g_{,gl}$	0,62
Faktor rama F_{fr}	0,16
Emisivnost spoljne površine zida $\alpha_{,sc}$	0,6
Otpor prelaza topline za spoljnu stranu zida $R_{s,c}$	0,04

ISTOČNA FASADA

Faktor osenčenosti ⁴⁰ F_{sh}	0,90
Faktor propustljivosti Sunčevog zračenja za staklo $g_{,gl}$	0,62
Faktor rama F_{fr}	0,24
Emisivnost spoljne površine zida $\alpha_{,sc}$	0,6
Otpor prelaza topline za spoljnu stranu zida $R_{s,c}$	0,04

³⁹ Na osnovu tabele 6.6 iz Pravilnika o Energetskoj efikasnosti

⁴⁰ Na osnovu tabele 6.6 iz Pravilnika o Energetskoj efikasnosti

JUŽNA FASADA

Faktor osenčenosti ⁴¹ F_{sh}	1,0
Faktor propustljivosti Sunčevog zračenja za staklo $g_{,gl}$	0,62
Faktor rama F_{fr}	0,19
Emisivnost spoljne površine zida $\alpha_{,sc}$	0,6
Otpor prelaza topline za spoljnu stranu zida $R_{s,c}$	0,04

ZAPADNA FASADA

Faktor osenčenosti ⁴² F_{sh}	0,90
Faktor propustljivosti Sunčevog zračenja za staklo $g_{,gl}$	0,62
Faktor rama F_{fr}	0,26
Emisivnost spoljne površine zida $\alpha_{,sc}$	0,6
Otpor prelaza topline za spoljnu stranu zida $R_{s,c}$	0,04

4.3.3 Ulagani podaci za proračun dobitaka topline od unutrašnjih izvora⁴³

Odavanje topline ljudi Q_{lj} [W/m ²]	2,7
Dobitak od el. uređaja q_{el} [kWh/m ²]	30
Prisutnost tokom dana [h]	16

5.0 PODACI O SISTEMU GREJANJA I NAČINU REGULACIJE

Podaci o sistemu grejanja	
Uredaj koji se koristi kao izvor (kotao, toplotna podstanica, toplotna pumpa)	Toplotna podstanica
Instalisani kapacitet [kW]	80 kW
Efikasnost, stepen korisnosti [%]	92
Godina ugradnje	-
Energent	Fosilno gorivo (daljinsko grejanje)
Donja toplotna moć [kWh/kg] [kWh/m ³]	-
Emisija CO ₂ [kg/m ² a]	14 329

Podaci o načinu regulacije	
Automatska regulacija rada kotla/izvora (da / ne)	DA
Centralna regulacija toplotnog učinka (da / ne)	DA
Lokalna regulacija toplotnog učinka (da / ne)	DA
Dnevni prekid u radu sistema (sati u danu)	8
Nedeljni prekid u radu sistema (dana u nedelji)	0
Sezonski prekid u radu sistema (dana u sezoni)	0
Ukupno trajanje grejne sezone (časova)	4200
Broj radnih sati tokom grejne sezone	2800
Prosečan broj osoba u zgradici	50

⁴¹ Na osnovu tabele 6.6 iz Pravilnika o Energetskoj efikasnosti

⁴² Na osnovu tabele 6.6 iz Pravilnika o Energetskoj efikasnosti

⁴³ Podaci za proračun dobitaka topline od unutrašnjih izvora dati su u tabeli 6.5. Pravilnika o Energetskoj efikasnosti:

6. ENERGETSKE POTREBE ZGRADE

6.1 Proračun godišnje potrebne finalne energije za grejanje

Mesec	$Q_{H,ht}$	$Q_{sol,gl}$	$Q_{sol,c}$	Q_{sol}	Q_{lj}	Q_{el}	Q_{int}	$Q_{H,gn}$	$Q_{H,nd}$
Okt	2873.5	2275	844	3119	494.7	631.7	1126.4	4245.8	0
Nov	21223.7	2432.9	936.3	3369	873	1263.4	2136.4	5505.6	15828
Dec	30213.9	1823.7	705.5	2529	902.1	1263.4	2165.5	4694.7	25613
Jan	33286.5	2300.4	886.1	3187	902.1	1263.4	2165.5	5352	28042
Feb	26060.2	3637.8	1317.3	4955	814.8	1263.4	2078.2	7033.3	19168
Mar	21053	5122.1	1970.2	7092	902.1	1263.4	2165.5	9257.8	11980
Apr	2901.9	2958.9	1171	4130	494.7	631.7	1126.4	5256.06	0
	137612.7							41345.26	100631

gamaH 0.300

fH,hr 0.666667

aH,red 0.899852

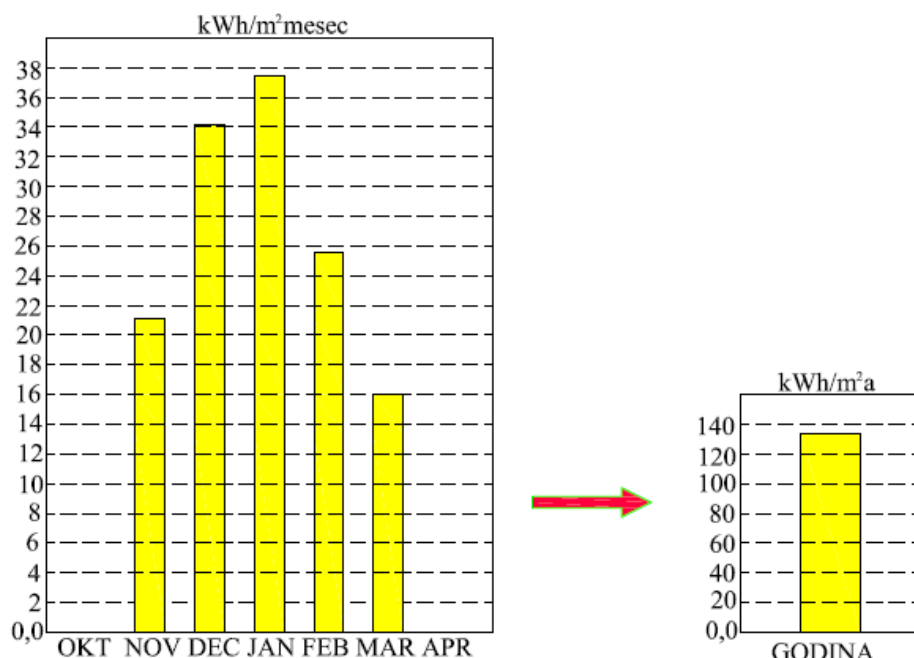
$Q_{h,nd, interm} = 90553 \text{ kWh/a}$

$q_{h,nd, interm} = 134 \text{ kWh/m}^2\text{a}$

$q_{h,nd,rel} = 112.0 \text{ \%}$

$$a_{H,red} = 1 - 3 \left(\frac{\tau_{H,0}}{\tau} \right) \cdot \gamma_H \cdot (1 - f_{H,hr})$$

Dijagram potrebne topline za grejanje po mesecima:



Godišnja potrebna energija i energetski razred zgrade, prema Pravilniku o uslovima, sadržaju i postupku izdavanja sertifikata o energetkim svojstvima zgrada:

Zgrade namenjene zdravstvu i socijalnoj zaštiti		nove	postojeće
Energetski razred	$Q_{H,nd,rel}$ [%]	$Q_{H,nd}$ [kWh/(m ² a)]	$Q_{H,nd}$ [kWh/(m ² a)]
A+	≤ 15	≤ 15	≤ 18
A	≤ 25	≤ 25	≤ 30
B	≤ 50	≤ 50	≤ 60
C	≤ 100	≤ 100	≤ 120
D	≤ 150	≤ 150	≤ 180
E	≤ 200	≤ 200	≤ 240
F	≤ 250	≤ 250	≤ 300
G	> 250	> 250	> 300

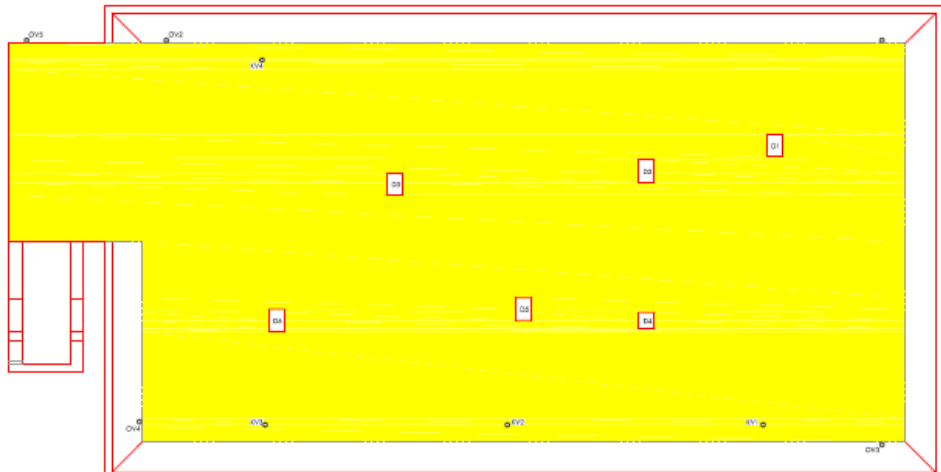
$Q_{H,nd,interm} =$	90553	kWh/a
$q_{H,nd,interm} =$	134	kWh/m ² a
$Q_{H,nd,rel} =$	112	%
Razred:	D	

7.0 MERE ZA UNAPREĐENJE ENERGETSKE EFIKASNOSTI ZGRADE

Predložena mera za unapređenje energetske efikasnosti zgrade je postavljanje izolacije od tvrdo presovane mineralne vune u dva sloja sa preklopima debljine po 7,5cm, ukupne udebljine 15cm na ravan krov

3.1.6 RAVAN KROV IZNAD GREJANOG PROSTORA

3.1.6.1 Sastav, ilustracija

Broj	6
Oznaka	RK-a
Ilustracija položaja u zgradici ⁴⁴	 <p style="text-align: center;">OSNOVA RAVNOG KROVA</p>
Površina [m ²]	325,39 m ²

⁴⁴ Ova opcija nije obavezna

Sastav sklopa	Naziv građevinskog sloja	δ [cm]	λ [W/mK]	ρ [kg/m ³]	μ [-]
1.PRODUŽENI KREČNI MALTER	2,00	0,870	1800	20	
2.GIPSANI MALTER NA TRSCI	2,00	0,470	1000	3	
3.SLOJ VAZDUHA	25,0	1,107	1	1	
4.BETON SA KAMENIM AGREGATIMA	10,0	2,330	2500	90	
5.PERLIT MALTER	10,0	0,130	500	4	
6.MINERALNA VUNA	15	0,39	150	1	
7.PVC FOLIJA	0,15	0,190	1200	42000	

Skica sklopa ⁴⁵	e	7	6	5	4	3	i	1	2	1 PRODUŽNI KREČNI MALTER 1800	2 GIPSANI MALTER NA TRSCI	3 SLOJ VAZDUHA	4 BETON SA KAMENIM AGREGATIMA	5 PERLIT MALTER	6 TVRDE PLOČE MINERALNE VUNE ZA	7 PVC FOLIJA 1200
----------------------------	---	---	---	---	---	---	---	---	---	-------------------------------	---------------------------	----------------	-------------------------------	-----------------	---------------------------------	-------------------

Ventilisanost sklopa NIJE VENTILISAN

Parametri ventilisanosti -

3.1.6.2 Prolaz toplote i polje temperature

Tabelarni prikaz	Opis	λ [W/mK]	R [(m ² ·K)/W]	$\Delta\theta$ [°C]	θ [°C]
Unutra					22,00
Prelaženje			0,1000	0,67	21,33
1.PRODUŽENI KREČNI MALTER	0,870	0,0230	0,15	21,18	
2.GIPSANI MALTER NA TRSCI	0,470	0,0426	0,29	20,89	
3.SLOJ VAZDUHA	1,107	0,2258	1,51	19,38	
4.BETON SA KAMENIM AGREGATIMA	2,330	0,0429	0,29	19,09	
5.PERLIT MALTER	0,130	0,7692	5,15	13,94	
6.MINERALNA VUNA	0,39	3,8462	25,74	-11,80	
7.PVC FOLIJA	0,190	0,0053	0,03	-11,83	
Prelaženje topline			0,0400	0,27	-11,83
Spolja					-12,10
Ukupni otpor			5,095		

⁴⁵ Ovde je prikazana ilustracija (veličina, orientacija i oprema crteža se može razlikovati)

Grafik temperatura ⁴⁶	<p>t (°C)</p> <p>22,0</p> <p>-12,1</p> <p>d (cm)</p> <p>0,0 64,10</p>
Površ. koeficijenat prolaza toplove U [W/(m ² K)]	0,196

3.1.6.3 Difuzija vodene pare i isušenje

Tabelarni prikaz	<table border="1"> <thead> <tr> <th>Opis</th><th>μ [-]</th><th>$\Delta\theta$ [°C]</th><th>θ [°C]</th><th>p' [Pa]</th><th>p_s [Pa]</th></tr> </thead> <tbody> <tr> <td>Unutra</td><td></td><td></td><td>22,00</td><td>2640</td><td></td></tr> <tr> <td>Prelaženje</td><td></td><td>0,53</td><td>21,47</td><td>2573</td><td>1452</td></tr> <tr> <td>1.PRODUŽENI KREČNI MALTER</td><td>20</td><td>0,12</td><td>21,35</td><td>2557</td><td>1444</td></tr> <tr> <td>2.GIPSANI MALTER NA TRSCI</td><td>3</td><td>0,23</td><td>21,12</td><td>2529</td><td>1442</td></tr> <tr> <td>3.SLOJ VAZDUHA</td><td>1</td><td>1,19</td><td>19,93</td><td>2385</td><td>1437</td></tr> <tr> <td>4.BETON SA KAMENIM AGREGATIMA</td><td>90</td><td>0,23</td><td>19,70</td><td>2358</td><td>1250</td></tr> <tr> <td>5.PERLIT MALTER</td><td>4</td><td>4,08</td><td>15,62</td><td>1924</td><td>1241</td></tr> <tr> <td>6.MINERALNA VUNA</td><td>1</td><td>20,38</td><td>-4,76</td><td>407</td><td>1236</td></tr> <tr> <td>7.PVC FOLIJA</td><td>42000</td><td>0,03</td><td>-4,79</td><td>408</td><td>361</td></tr> <tr> <td>Prelaženje toplove</td><td></td><td>0,21</td><td>-4,79</td><td>408</td><td>361</td></tr> <tr> <td>Spolja</td><td></td><td></td><td>-5,00</td><td>401</td><td></td></tr> </tbody> </table>	Opis	μ [-]	$\Delta\theta$ [°C]	θ [°C]	p' [Pa]	p_s [Pa]	Unutra			22,00	2640		Prelaženje		0,53	21,47	2573	1452	1.PRODUŽENI KREČNI MALTER	20	0,12	21,35	2557	1444	2.GIPSANI MALTER NA TRSCI	3	0,23	21,12	2529	1442	3.SLOJ VAZDUHA	1	1,19	19,93	2385	1437	4.BETON SA KAMENIM AGREGATIMA	90	0,23	19,70	2358	1250	5.PERLIT MALTER	4	4,08	15,62	1924	1241	6.MINERALNA VUNA	1	20,38	-4,76	407	1236	7.PVC FOLIJA	42000	0,03	-4,79	408	361	Prelaženje toplove		0,21	-4,79	408	361	Spolja			-5,00	401	
Opis	μ [-]	$\Delta\theta$ [°C]	θ [°C]	p' [Pa]	p_s [Pa]																																																																				
Unutra			22,00	2640																																																																					
Prelaženje		0,53	21,47	2573	1452																																																																				
1.PRODUŽENI KREČNI MALTER	20	0,12	21,35	2557	1444																																																																				
2.GIPSANI MALTER NA TRSCI	3	0,23	21,12	2529	1442																																																																				
3.SLOJ VAZDUHA	1	1,19	19,93	2385	1437																																																																				
4.BETON SA KAMENIM AGREGATIMA	90	0,23	19,70	2358	1250																																																																				
5.PERLIT MALTER	4	4,08	15,62	1924	1241																																																																				
6.MINERALNA VUNA	1	20,38	-4,76	407	1236																																																																				
7.PVC FOLIJA	42000	0,03	-4,79	408	361																																																																				
Prelaženje toplove		0,21	-4,79	408	361																																																																				
Spolja			-5,00	401																																																																					
Grafik ⁴⁷	<p>p (kPa)</p> <p>2.0</p> <p>1.5</p> <p>1.0</p> <p>0.5</p> <p>0.0</p> <p>P'</p> <p>— — — — — Pi</p> <p>r (m)</p> <p>0.0 52,32</p>																																																																								
Proračun kondenzacije ⁴⁸	<p>Na unutrašnjoj površini nema orlošavanja – pri $\Theta_e=-12,1^{\circ}\text{C}$ i $\Theta_i=22^{\circ}\text{C}$ kondenzacija na unutrašnjoj površini će se pojaviti pri vlažnosti od 96%</p> <ul style="list-style-type: none"> -Temperatura na unutrašnjoj površini $\Theta_i=21,3^{\circ}\text{C}$ - Minimalna dozvoljena temperatura na unutrašnjoj površini $\Theta_d=12,5^{\circ}\text{C}$ 																																																																								
Vreme isušenja	<p>Do pojave kondenzacije dolazi u zoni 1</p> <ul style="list-style-type: none"> - Gustina difuzijskog toka vodene pare koji ulazi u konstrukciju $0,068 \text{ g/m}^2\text{h}$ 																																																																								

⁴⁶ Ovde je prikazana ilustracija (veličina, orientacija i oprema crteža se može razlikovati)

⁴⁷ Ovde je prikazana ilustracija (veličina, orientacija i oprema crteža se može razlikovati)

⁴⁸ U skladu sa poglavljem 3.3 Pravilnika o energetskoj efikasnosti zgrada

	<ul style="list-style-type: none"> - Gustina difuzijskog toka vodene pare koji izlazi iz konstrukcije $0,001 \text{ g/m}^2\text{h}$ - Količina kondenzovane vodene pare $0,067 \text{ g/m}^2$ - Količina kondenzata posle 60 dana vlaženja $96,340 \text{ g/m}^2$ - Potrebno vreme za isušenje $89,439 \text{ dana}$ - Najveće dozvoljeno vreme isušenja 90 dana <p>KONSTRUKCIJA NE ZADOVOLJAVA</p>
--	--

3.1.6.4 Letnja stabilnost⁴⁹

	Vrednost	Minimum	Zadovoljava
Faktor prigušenja amplitude oscilacije temperature v [-]	648,977	25	Da
Faktor kašnjenja oscilacije temperature η [h]	$v > 45$	7	Da

3.2 Pregled koeficijenata prolaza toplote kroz termički omotač zgrade⁵⁰

Položaj	oznaka	U [W/(m ² K)]	U_{max} [W/(m ² K)]	Ispunjeno DA / NE
Spoljni zidovi	SFZ	1,292	0,400	NE
Zid u tlu	ZUT	1,309	0,500	NE
Pod na tlu	PNT-1	3,383	0,400	NE
Pod na tlu	PNT-2	2,124	0,400	NE
Pod na tlu	PNT-3	3,312	0,400	NE
Ravan krov	RK	0,196	0,200	NE
Prozori spoljni PS	PS-1	1,86	1,500	NE
Prozori spoljni PS	PS-2	2,02	1,500	NE
Prozori spoljni PS	PS-3	2,09	1,500	NE
Prozori spoljni PS	PS-4	2,26	1,500	NE
Prozori spoljni PS	PS-5	2,12	1,500	NE
Prozori spoljni PS	PS-6	2,26	1,500	NE
Prozori spoljni PS	PS-7	2,13	1,500	NE
Prozori spoljni PS	PS-8	2,17	1,500	NE
Prozori spoljni PS	PS-9	1,88	1,500	NE
Prozori spoljni PS	PS-10	2,07	1,500	NE
Prozori spoljni PS	PS-11	2,21	1,500	NE
Prozori spoljni PS	PS-12	2,12	1,500	NE
Prozori spoljni PS	PS-13	2,24	1,500	NE
Prozori spoljni PS	PS-14	2,17	1,500	NE
Vrata ulazna VS	VS-1	2,24	1,600	DA
Vrata ulazna VS	VS-2	2,25	1,600	DA
Vrata ulazna VS	VS-3	2,32	1,600	DA
Vrata ulazna VS	VS-4	2,12	1,600	DA

⁴⁹ Prema poglavljiju 3.2 Pravilnika o energetskoj efikasnosti zgrada

⁵⁰ Maksimalne vrednosti koeficijenta prolaza toplote koji su prikazani u tabeli odgovaraju vrednostima za nove zgrade datim u Tabeli 3.4.1.3. Pravilnika o energetskoj efikasnosti zgrada

4.3.3 Transmisioni gubici toplotne zgrade H_T [W/K]

4.3.3.1 Površinski transmisioni gubici H_{TS} [W/K]

Opis građ. elementa	Oznaka	U (W/m ² K)	A(m ²)	Fx	U * A * Fx
Spoljni zidovi	SFZ	1,292	605,95	1,0	782,88
Zid u tlu	ZUT	1,309	82,87	0,6	65,09
Pod na tlu	PNT-1	3,383	26,14	0,5	44,22
Pod na tlu	PNT-2	2,124	118,98	0,5	126,36
Pod na tlu	PNT-3	3,312	177,52	0,5	293,97
Ravan krov	RK	0,196	325,39	1,0	63,78
Prozori spoljni PS	PS-1	1,860	7,00	1,0	13,02
Prozori spoljni PS	PS-2	2,02	2,52	1,0	5,09
Prozori spoljni PS	PS-3	2,09	7,92	1,0	16,55
Prozori spoljni PS	PS-4	2,26	8,16	1,0	18,44
Prozori spoljni PS	PS-5	2,12	37,28	1,0	79,03
Prozori spoljni PS	PS-6	2,26	29,60	1,0	66,9
Prozori spoljni PS	PS-7	2,13	17,92	1,0	38,17
Prozori spoljni PS	PS-8	2,17	14,40	1,0	31,25
Prozori spoljni PS	PS-9	1,88	12,00	1,0	22,56
Prozori spoljni PS	PS-10	2,07	2,76	1,0	5,71
Prozori spoljni PS	PS-11	2,21	1,86	1,0	4,11
Prozori spoljni PS	PS-12	2,12	1,71	1,0	3,63
Prozori spoljni PS	PS-13	2,24	1,60	1,0	3,58
Prozori spoljni PS	PS-14	2,17	1,89	1,0	4,10
Vrata ulazna VS	VS-1	2,24	4,20	1,0	9,40
Vrata ulazna VS	VS-2	2,25	4,04	1,0	9,09
Vrata ulazna VS	VS-3	2,32	2,63	1,0	6,10
Vrata ulazna VS	VS-4	2,12	2,30	1,0	4,88
			1496,64		

$$H_{TS}=1717,91 \text{ W/K}$$

4.3.3.2 Linijski transmisioni gubici H_{TB} [W/K]

$$H_{TB} = 0,1 * \Sigma A = 0,1 * 1496,64 = 149,7$$

$$H_{TB} = 149,7 \text{ W/K}$$

4.3.3.3 Ukupni transmisioni gubici H_T [W/K]

$$H_T = H_{TS} + H_{TB} = 1717,91 + 149,7 = 1854,92$$

$$H_T = 1867,61 \text{ W/K}$$

4.3.3.4 Specifični transmisioni gubitak toplotne zgrade H'_T [W/(m²K)]⁵¹

$$H'_T = H_T / A = 1867,61 / 1496,64 = 1,25$$

H'_T [W/(m ² K)]	H'_{Tmax} [W/(m ² K)] ⁵²	Ispunjeno DA / NE
1,25	0,61	NE

⁵¹ Određuje se prema odeljku 3.4.2.3. Pravilnika o energetskoj efikasnosti.

⁵² Maksimalne dozvoljene vrednosti specifičnog transmisionog gubitka toplotne zgrede ili dela zgrade H'_T [W/(m²K)] date su u tabeli 3.4.2.3.1. Pravilnika o energetskoj efikasnosti zgrada

4.3.4 Ukupni gubici toplote

Podaci o gubicima toplote	[kW]
Transmisioni gubici kroz netransparentni deo omotača zgrade	52,04
Transmisioni gubici kroz prozore i vrata	11,65
Ventilacioni gubici kroz prozore i vrata	10,49
Ukupni gubici toplote	74,18

6.ENERGETSKE POTREBE ZGRADE

6.1 Proračun godišnje potrebne finalne energije za grejanje

Mesec	Q _{H,ht}	Q _{sol, gl}	Q _{sol,c}	Q _{sol}	Q _{lj}	Q _{el}	Q _{int}	Q _{H,gn}	Q _{H,nd}
Okt	2454.8	2275	664	2939	494.7	631.7	1126.4	4065	0
Nov	18131.5	2432.9	720.6	3154	873	1263.4	2136.4	5289.9	12947
Dec	25811.9	1823.7	545	2369	902.1	1263.4	2165.5	4534.2	21368
Jan	28436.9	2300.4	683.5	2984	902.1	1263.4	2165.5	5149.4	23390
Feb	22263.4	3637.8	1031.2	4669	814.8	1263.4	2078.2	6747.2	15651
Mar	17985.7	5122.1	1477.9	6600	902.1	1263.4	2165.5	8765.5	9396
Apr	2479.1	2958.9	854	3813	494.7	631.7	1126.4	4939.3	0
	117563.3							39490.5	82753

gamaH 0.336

fH,hr 0.666667

aH,red 0.888032

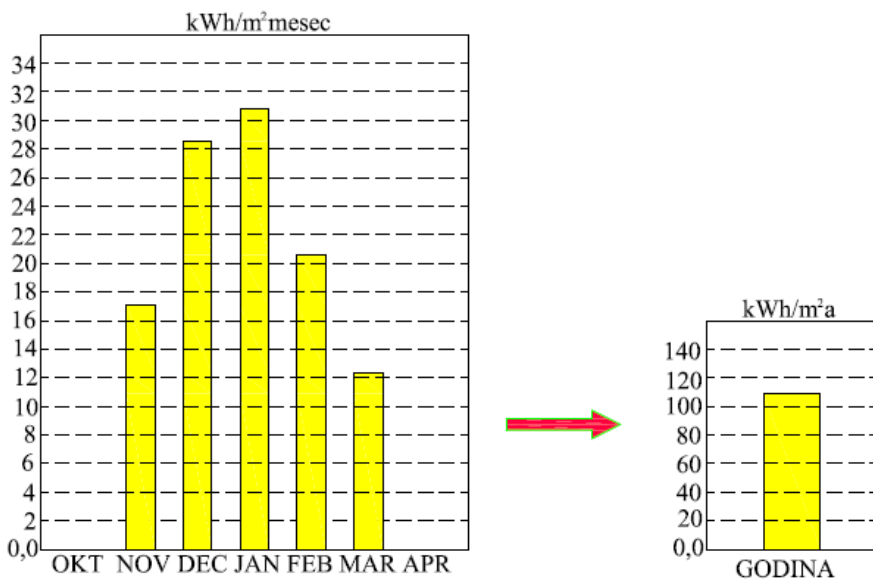
Q_{h,nd, interm} = 73487 kWh/a

q_{h,nd, interm} = 109 kWh/m²a

q_{h,nd,rel} = 90.9 %

$$a_{H,red} = 1 - 3 \left(\frac{\tau_{H,0}}{\tau} \right) \cdot \gamma_H \cdot (1 - f_{H,hr})$$

Dijagram potrebne topote za grejanje po mesecima:



Godišnja potrebna energija i energetski razred zgrade, prema Pravilniku o uslovima, sadržaju i postupku izdavanja sertifikata o energetkim svojstvima zgrada:

Zgrade namenjene zdravstvu i socijalnoj zaštiti		nove	postojeće
Energetski razred	Q _{H,nd,rel} [%]	Q _{H,nd} [kWh/(m ² a)]	Q _{H,nd} [kWh/(m ² a)]
A+	≤ 15	≤ 15	≤ 18
A	≤ 25	≤ 25	≤ 30
B	≤ 50	≤ 50	≤ 60
C	≤ 100	≤ 100	≤ 120
D	≤ 150	≤ 150	≤ 180
E	≤ 200	≤ 200	≤ 240
F	≤ 250	≤ 250	≤ 300
G	> 250	>250	> 300

Q _{H,nd,interm} =	73487	kWh/a
q _{H,nd,interm} =	109	kWh/m ² a
Q _{H,nd,rel} =	90,9	%
Razred:	C	

8.0 ZAKLJUČAK

Primenjenim merama za unapređenje energetske efikasnosti, energetski razred zgrade povećan je za jedan.

Odgovorni projektant



Milorad Ostojić dipl.maš.ing.
Licenca br.381 0634



**ELABORAT ENERGETSKE EFIKASNOSTI
DOMA ZDRAVLJA MLADENOVAC – OBJEKAT BR.2
ADAPTACIJA, SANACIJA I INVESTICIONO ODRŽAVANJE**

**u Mladenovcu ul. Kraljice Marije br.15
na K.P. br.1865, K.O.Mladenovac Varoš**

INVESTITOR : DOM ZDRAVLJA MLADENOVAC
ul.Kraljice Marije br.15,Mladenovac,

**PROJEKTNA
ORGANIZACIJA** Projektni Biro „ARHITEKT M“
ul.Nikole Tesale br.60,Mladenovac

**ODGOVORNI
PROJEKTANT:** MILORAD OSTOJIĆ



S A D R Ž A J:

- 1. OPŠTI PODACI O ZGRADI :**
 - 1.3 Tehnički opis zgrade
 - 1.4 Osnovni podaci o zgradici
- 2. LOKACIJA I KLIMATSKI PODACI :**
 - 2.1 Klimatski podaci i položaj zgrade
 - 2.2 Uslovi komfora
- 3. GRAĐEVINSKA FIZIKA :**
 - 3.1 Proračun relevantnih pozicija
 - 3.1.2 Spoljni zidovi
 - 3.1.2.1 Sastav, ilustracija
 - 3.1.2.2 Prolaz toplote i polje temperature
 - 3.1.2.3 Letnja stabilnost
 - 4. PODACI O TERMOTEHNIČKIM SISTEMIMA :**
 - 4.3 Izvod iz tehničkog opisa
 - 4.3.1 Sistem grejanja
 - 4.3.2 Sistem klimatizacije
 - 4.3.3 Sistem za pripremu STV
 - 4.4 Gubici toplote
 - 4.2.1 Faktor oblika zgrade i udeo transparentnih površina
 - 4.2.3 Transmisioni gubici toplote zgrade H_T [W/K]
 - 4.2.2.1 Površinski transmisioni gubici H_{Ts} [W/K]
 - 4.2.2.2 Linijski transmisioni gubici H_{TB} [W/K]
 - 4.2.2.3 Ukupni transmisioni gubici H_T [W/K]
 - 4.2.2.4 Specifični transmisioni gubitak toplote zgrade H'_T [W/(m²K)]
 - 4.2.3. Ventilacioni gubici toplote zgrade H_v [W/K]
 - 4.2.4. Ukupni gubici toplote
 - 4.3 Ulagani podaci za proračun dobitaka toplote
 - 4.3.1 Orientacija i površina pozicija
 - 4.3.2 Ulagani podaci za proračun dobitaka od sunčevog zračenja
 - 4.3.3 Ulagani podaci za proračun dobitaka toplote od unutrašnjih izvora
 - 5. PODACI O SISTEMU GREJANJA I NAČINU REGULACIJE**
 - 6. ENERGETSKE POTREBE ZGRADE :**
 - 6.1 Proračun godišnje potrebne finalne energije za grejanje

1.0 OPŠTI PODACI O ZGRADI

TEHNIČKI OPIS

Investitor: DOM ZDRAVLJA MLADENOVAC
ul. Kraljice Marije br.15, Mladenovac

Objekat: Adaptacija, sanacija i investiciono održavanje (OBJEKAT 2)
spratnosti P-1
DOM ZDRAVLJA MLADENOVAC
ul. Kraljice Marije br.15 ;
K.P. 1865; K.O. Mladenovac Varoš

Mesto: Mladenovac, ul. Kraljice Marije br. 15

U konstruktivnom smislu, objekat je u dobrom stanju. Nema vidljivih naprslina.

Do sada nisu radjene ozbiljnije intervencije na objektu. Na objektu je mnogo toga dotrajalo.

Energetski, objekat je neefikasan.Za prozore od PVC profila koji su samo delimično ugrađeni u objekat ne može da se utvri da li su tro komorni ili petro komorni. Podovi su dotrajali. Sanitarni čvorovi su u lošem stanju.

FUNKCIJA I LOKACIJA OBJEKTA

Objekat je namenjen pružanju zdravstvenih usluga. U okviru objekta je više specijalističkih službi, pedijatrija, stomatologija, opšta praksa, patronaža, hitna pomoć, rentgen i apoteka. Objekat je atrijumskog tipa.

Objekat se nalazi u centru Mladenovca. Lako je pristupačan sa gradske saobraćajnice.

KONSTRUKCIJA OBJEKTA

Konstruktivni sistem objekta čine noseći AB stubovi i horizontalne grede, koje nose polumontažnu LMT tavanicu. Zidovi su od opeke i fugovane opeke, koji su ukrućeni horizontalnim i vertikalnim armirano betonskim serklažima. Stepeništa su od armiranog betona Krovni venci i atike su takodje od armiranog betona.

Krov je ravan sa AB vencima koji formiraju „kadu“ sa nagibima prema atriju.

Objekat je utemeljen na trakasti AB temeljima.

TREBA IZVESTI SLEDEĆE RADOVE:

-Uklanjanje postojeće hidroizolacije sa ravnog krova. Uklanja se sve do postojećeg sloja za pad od perlit betona.

-Postaviti novu termičku izolaciju od tvrdo presovane mineralne vune u dva sloja po 7,5cm. Preko toga postavlja se geotekstil a zatim membranska hidroizolacija , koja se vari vrelim vazduhom i tipluje u postojeću tavanicu (kroz mineralnu vunu i tervol dugačkim šrafovima). Membranska hidroizolacija se zadiže uz holkere i tipluje .

-Svi limarski radovi na ravnom krovu se izvode pocinkovanim plastificiranim limo, d=0,55mm.

Olučne vertikale u svetlarniku se rade nove.

-Postojeći drveni i PVC prozori se menjaju PVC prozorima sa šestokomornim ramom i zastakljenjem Clima Guard Solar 4+16+4 a portalni koji su izrađeni od čeličnih profila menjaju se aluminijumskim poboljšanim profilima i zastakljenjem Clima Guard Solar 4+16+4

INFRASTRUKTURA:

Priklučak na elektroenergetsku mrežu je izведен prema uslovima EDB-a.

Priklučak na vodvodnu i kanalizacionu mrežu je izведен prema uslovima JKP Mladenovac.

Za nadoknadu topotnih gubitaka izvedeno je daljinsko grejanje.

Za sistem grejanja projektovan je dvocevni redijatorski sistem grejanja. Temperaturski režim grejanja je 90-70 °C. Cevna mreža u topotnoj podstanici izrađena je od čelični bešavnih cevi prema SRPS EN10 220: 2005. Sistem grejanja je preko topotne podstanice povezan na sistem daljinskog grejanja.

Unutar objekta cevna mreža je izrađena od bešavnih čeličnih cevi. Cevi se vode vidno neposredno uz zidove. Kao grejna tela postavljeni su člankasti aluminijumski radijatori.

Hidrauličko uravnoteživanje vrši se postavljanjem kosih regulacionih ventila na povratne vodove na sabirniku i njihovim postavljanjem u određeni položaj.

Grejana tela se na cevnu mrežu povezuju pomoću radijatorskih ventila i radijatirskih navijaka.

Na svakom grejnou telu ugrađena je odzračna slavina kako bi se radijatori mogli odzračiti pri pojavi vazduha u instalaciji.

Projektom je predviđena klimatizacija lokalnim klimatizacionim uređajima.. Spoljna jedinica se postavlja na fasadi objekta. Unutrašnja jedinica je zidnog tipa. Odvod kondenzata predviđen je plastičnim cevima koje su utopljene u zid do oluka.

Upravljanje sistemom klimatizacije se vrši preko daljinskih upravljača koji se isporučuju sa klima uređajima.

Projektom je za pripremu STV predviđen lokalni sistem – ugradnja električnih bojlera .Bojleri kao energet za zagrevanje sanitarne tople vode koriste električnu energiju.

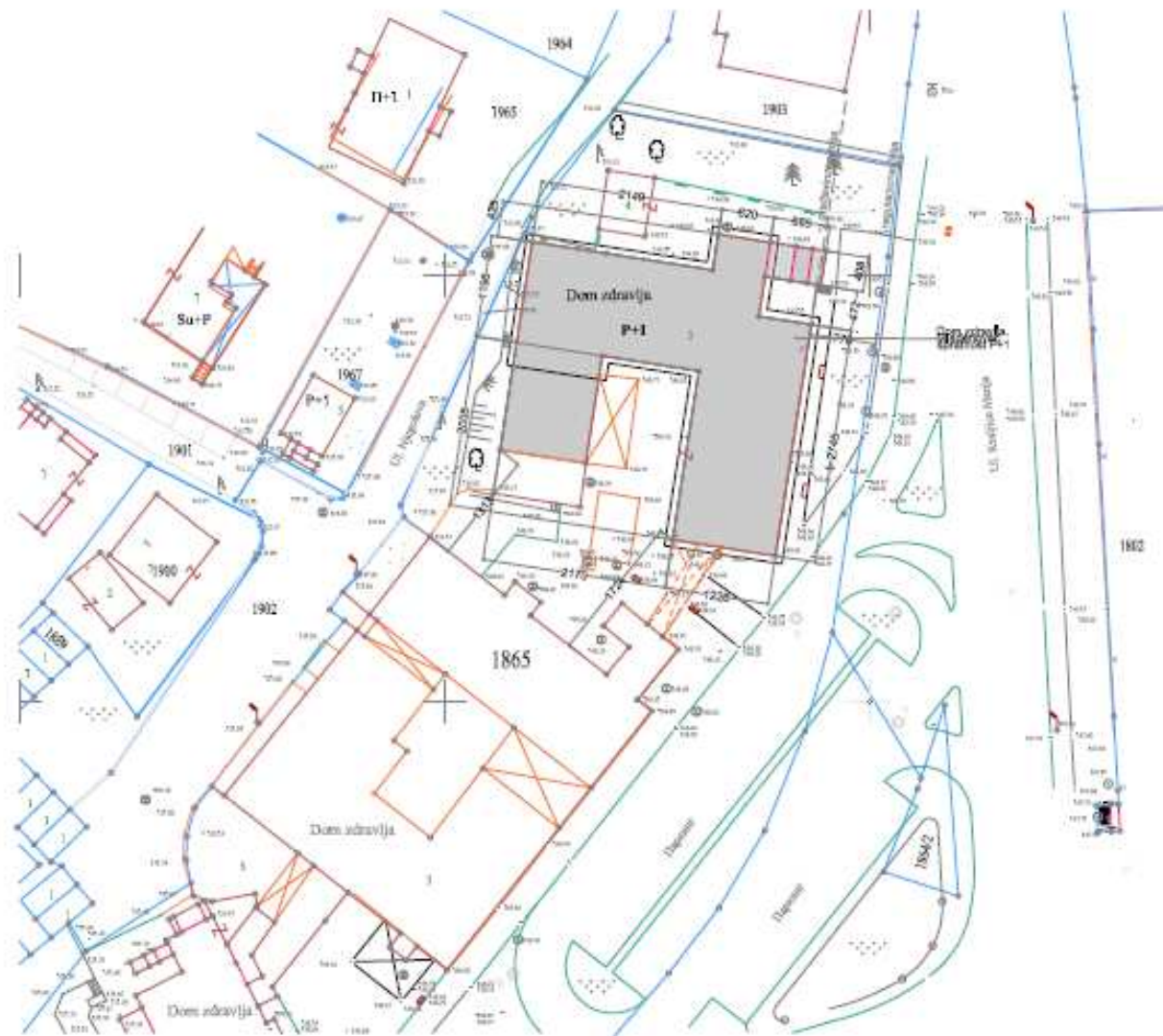
Odgovorni projektant



Milorad Ostojević dipl.maš.ing.
Licenca br.381 0634 13

REPUBLIKA SRBIJA
GO MLAĐENOVAC
K.O. MLAĐENOVAC VAROŠ

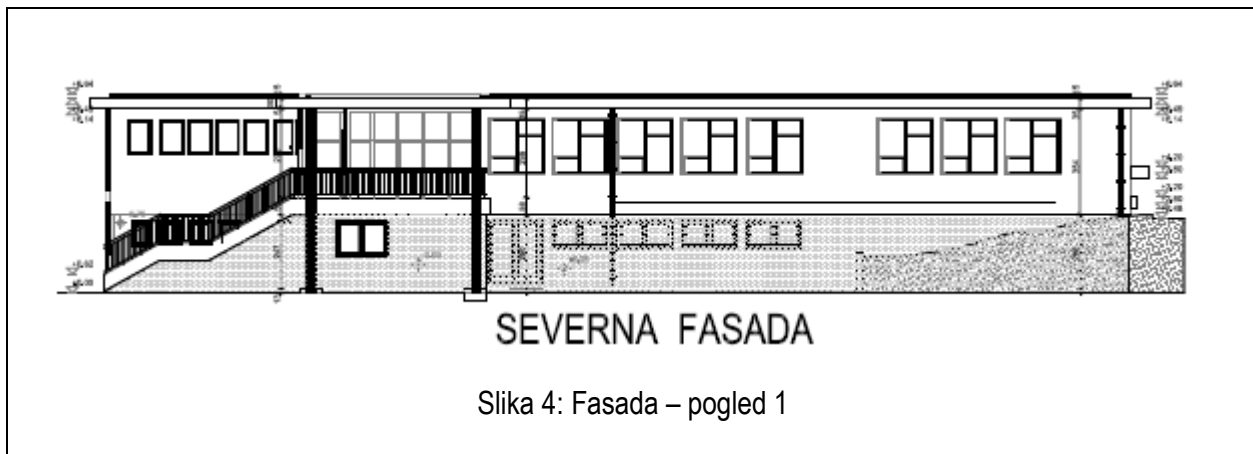
K.P. BR. 1865



RAZMERA 1:500

Slika 3: Situacija⁵³

⁵³ Situacija je potrebna zbog orientacije prema stranama sveta i odnosa ka susedima



1.2 Osnovni podaci o zgradbi

ZGRADA	<input type="checkbox"/> nova*	<input checked="" type="checkbox"/> postojeća*
Namena zgrade ⁵⁴	Dom zdravlja – objekat br.2	
Vrsta zgrade ⁵⁵	Zgrade namenjene zdravstvu i socijalnoj zaštiti	
Mesto (lokacija):	Mladenovac	
Vlasnik (investitori):	Dom zdravlja Mladenovac	
Izvođač:	-	
Godina izgradnje:	-	
Godina rekonstrukcije/ energetske sanacije:	2016	
Neto korisna površina grejanog dela zgrade [m ²]:	927,68 m ²	

⁵⁴ U odnosu na podelu iz tabele 3.4.2.3.1 Pravilnika o energetskoj efikasnosti zgrada

⁵⁵ U odnosu na podelu iz čl. 4, kao i tabele 6.5, 6.11a, 6.11b Pravilnika o energetskoj efikasnosti zgrada i čl.14 Pravilnika o uslovima, sadržini i načinu izdavanja sertifikata o energetskim svojstvima zgrada

⁴ Prema tabeli 6.3 i 6.9 Pravilnika o energetskoj efikasnosti zgrada

⁵ Prema tabeli 3.4.2.1 Pravilnika o energetskoj efikasnosti zgrada

⁶ Prema prilogu 5 Pravilnika o energetskoj efikasnosti zgrada

2.0 LOKACIJA I KLIMATSKI PODACI

2.1 Klimatski podaci i položaj zgrade

Klimatski podaci ⁵⁶	
Lokacija	Mladenovac
Broj stepen dana grejanja <i>HDD</i>	2520
Broj dana grejne sezone <i>HD</i>	175
Srednja temperatura grejnog perioda $\theta_{H,mn}$ [°C]	5,6
Unutrašnja projektna temperatura za zimski period $\theta_{H,i}$ [°C]	20
Uticaj veta ⁵⁷	
Položaj (izloženost vetrui)	Umereno zaklonjen
Broj fasada izloženih vetrui	Više od jedne fasade

2.1 Uslovi komfora⁵⁸

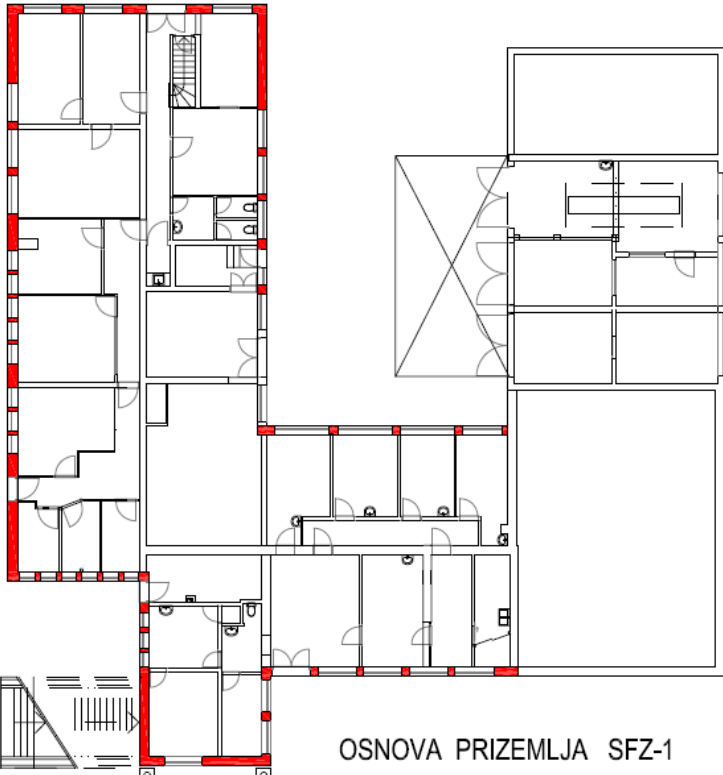
Objekat ima zidove koji nisu termički izolovani i nisu u skladu sa propisima i standardima važećim za tu vrstu objekta. Ravan krov nema izolaciju pa je predviđeno da se ista izvede prilikom sanacije krova. Transparentne pregrade prozori i spoljna vrata su delimično od PVC, drvra a im i metalnih, zastakljenje je dvostruko staklo 4+12+4 punjeno vazduhom. Potrebno je sve prozore zameniti i ugraditi PVC šestokomorne sa zastakljenjem Clima Guard Solar 4+16+4. Ventilacija je prirodna putem prozora i vrata i iznosi 0,5 izmena na čas, što odgovara nameni objekta, odnosno stanovanju. Lokacija na kojoj se nalazi objekat nema posebnih izvora buke, koji bi zahtevao poseban aspekt razmatranja stepena zaštite od buke.

3.0 GRAĐEVINSKA FIZIKA

3.1 Proračun relevantnih pozicija⁵⁹

3.1.1 SPOLJNI ZID

3.1.1.1. Sastav, ilustracija Spoljni zidovi⁶⁰

Broj	1																									
Oznaka	SFZ-1																									
	 <p>OSNOVA PRIZEMLJA SFZ-1</p>																									
Površina [m ²]	231,80 m ²																									
Sastav sklopa	<table border="1"> <thead> <tr> <th>Naziv građevinskog sloja</th> <th>δ [cm]</th> <th>λ [W/mK]</th> <th>ρ [kg/m³]</th> <th>μ [-]</th> </tr> </thead> <tbody> <tr> <td>1.PRODUŽENI KREČNI MALTER</td> <td>3,00</td> <td>0,870</td> <td>1800</td> <td>20</td> </tr> <tr> <td>2.PUNA OPEKA</td> <td>38,0</td> <td>0,640</td> <td>1600</td> <td>9</td> </tr> <tr> <td>3.CEMENTNI MALTER</td> <td>2,00</td> <td>1,400</td> <td>2100</td> <td>30</td> </tr> <tr> <td>4.PIKOVANA FASADA</td> <td>2,00</td> <td>1,700</td> <td>2600</td> <td>50</td> </tr> </tbody> </table>	Naziv građevinskog sloja	δ [cm]	λ [W/mK]	ρ [kg/m ³]	μ [-]	1.PRODUŽENI KREČNI MALTER	3,00	0,870	1800	20	2.PUNA OPEKA	38,0	0,640	1600	9	3.CEMENTNI MALTER	2,00	1,400	2100	30	4.PIKOVANA FASADA	2,00	1,700	2600	50
Naziv građevinskog sloja	δ [cm]	λ [W/mK]	ρ [kg/m ³]	μ [-]																						
1.PRODUŽENI KREČNI MALTER	3,00	0,870	1800	20																						
2.PUNA OPEKA	38,0	0,640	1600	9																						
3.CEMENTNI MALTER	2,00	1,400	2100	30																						
4.PIKOVANA FASADA	2,00	1,700	2600	50																						

⁵⁹ Ovde su date samo pozicije koje su relevantne za prikazani primer

⁶⁰ Ukoliko ima više od jedne pozicije u okviru grupacije, u ovom slučaju „Spoljni zidovi“, potrebno ih je sve prikazati i obraditi

Skica sklopa ⁶¹	<p>1 PRODUŽNI KREČNI MALTER 1800 2 PUNA OPEKA 1600 3 CEMENTNI MALTER 4 PIKOVANA FASADA</p>
Ventilisanost sklopa	NIJE VENTILISAN
Parametri ventilisanosti	-

Segmenti pozicije u odnosu na orientaciju prema stranama sveta ⁶²		
	Površina [m ²]	Ilustracija ⁶³
Ka severu	56,66	<p>SEVERNA FASADA</p>
Ka istoku	85,23	<p>ISTOČNA FASADA</p>
Ka jugu	48,55	<p>JUŽNA FASADA</p>
Ka zapadu	41,36	<p>ZAPADNA FASADA</p>

⁶¹ Ovde je prikazana ilustracija (veličina, orijentacija i oprema crteža se može razlikovati)

⁶² Podela izvršena zbog izračunavanja solarnih dobitaka

⁶³ Ova opcija nije obavezna

3.1.1.2 Prolaz topote i polje temperature

Tabelarni prikaz	<table border="1"> <thead> <tr> <th>Opis</th><th>λ [W/mK]</th><th>R [(m².K)/W]</th><th>$\Delta\theta$ [°C]</th><th>θ [°C]</th></tr> </thead> <tbody> <tr> <td>Unutra</td><td></td><td></td><td></td><td>22,00</td></tr> <tr> <td>Prelaženje</td><td></td><td>0,1300</td><td>5,38</td><td>16,62</td></tr> <tr> <td>1.PRODUŽENI KREČNI MALTER</td><td>0,870</td><td>0,0345</td><td>1,42</td><td>15,20</td></tr> <tr> <td>2.PUNA OPEKA</td><td>0,640</td><td>0,5938</td><td>24,57</td><td>-9,37</td></tr> <tr> <td>3.CEMENTNI MALTER</td><td>1,400</td><td>0,0143</td><td>0,59</td><td>-9,96</td></tr> <tr> <td>4.PIKOVANA FASADA</td><td>1,700</td><td>0,0118</td><td>0,49</td><td>-10,45</td></tr> <tr> <td>Prelaženje topote</td><td></td><td>0,0400</td><td>1,65</td><td>-10,45</td></tr> <tr> <td>Spolja</td><td></td><td></td><td></td><td>-12,10</td></tr> <tr> <td>Ukupni otpor</td><td></td><td>0,824</td><td></td><td></td></tr> </tbody> </table>	Opis	λ [W/mK]	R [(m ² .K)/W]	$\Delta\theta$ [°C]	θ [°C]	Unutra				22,00	Prelaženje		0,1300	5,38	16,62	1.PRODUŽENI KREČNI MALTER	0,870	0,0345	1,42	15,20	2.PUNA OPEKA	0,640	0,5938	24,57	-9,37	3.CEMENTNI MALTER	1,400	0,0143	0,59	-9,96	4.PIKOVANA FASADA	1,700	0,0118	0,49	-10,45	Prelaženje topote		0,0400	1,65	-10,45	Spolja				-12,10	Ukupni otpor		0,824		
Opis	λ [W/mK]	R [(m ² .K)/W]	$\Delta\theta$ [°C]	θ [°C]																																															
Unutra				22,00																																															
Prelaženje		0,1300	5,38	16,62																																															
1.PRODUŽENI KREČNI MALTER	0,870	0,0345	1,42	15,20																																															
2.PUNA OPEKA	0,640	0,5938	24,57	-9,37																																															
3.CEMENTNI MALTER	1,400	0,0143	0,59	-9,96																																															
4.PIKOVANA FASADA	1,700	0,0118	0,49	-10,45																																															
Prelaženje topote		0,0400	1,65	-10,45																																															
Spolja				-12,10																																															
Ukupni otpor		0,824																																																	
Grafik temperatura ⁶⁴	<p style="text-align: center;"> t (°C) 22,0 -12,1 d (cm) 0,0 45,00 </p>																																																		
Površinski koeficijenat prolaza topote U [W/(m ² K)]	1,213																																																		

3.1.1.3 Difuzija vodene pare i isušenje

Tabelarni prikaz	<table border="1"> <thead> <tr> <th>Opis</th><th>μ [-]</th><th>$\Delta\theta$ [°C]</th><th>θ [°C]</th><th>p' [Pa]</th><th>p_s [Pa]</th></tr> </thead> <tbody> <tr> <td>Unutra</td><td></td><td></td><td>22,00</td><td>2640</td><td></td></tr> <tr> <td>Prelaženje</td><td></td><td>4,26</td><td>17,74</td><td>2028</td><td>1452</td></tr> <tr> <td>1.PRODUŽENI KREČNI MALTER</td><td>20</td><td>1,13</td><td>16,61</td><td>1888</td><td>1336</td></tr> <tr> <td>2.PUNA OPEKA</td><td>9</td><td>19,45</td><td>-2,84</td><td>482</td><td>672</td></tr> <tr> <td>3.CEMENTNI MALTER</td><td>30</td><td>0,46</td><td>-3,30</td><td>463</td><td>555</td></tr> <tr> <td>4.PIKOVANA FASADA</td><td>50</td><td>0,39</td><td>-3,69</td><td>449</td><td>361</td></tr> <tr> <td>Prelaženje topote</td><td></td><td>1,31</td><td>-3,69</td><td>449</td><td>361</td></tr> <tr> <td>Spolja</td><td></td><td></td><td>-5,00</td><td>401</td><td></td></tr> </tbody> </table>	Opis	μ [-]	$\Delta\theta$ [°C]	θ [°C]	p' [Pa]	p_s [Pa]	Unutra			22,00	2640		Prelaženje		4,26	17,74	2028	1452	1.PRODUŽENI KREČNI MALTER	20	1,13	16,61	1888	1336	2.PUNA OPEKA	9	19,45	-2,84	482	672	3.CEMENTNI MALTER	30	0,46	-3,30	463	555	4.PIKOVANA FASADA	50	0,39	-3,69	449	361	Prelaženje topote		1,31	-3,69	449	361	Spolja			-5,00	401	
Opis	μ [-]	$\Delta\theta$ [°C]	θ [°C]	p' [Pa]	p_s [Pa]																																																		
Unutra			22,00	2640																																																			
Prelaženje		4,26	17,74	2028	1452																																																		
1.PRODUŽENI KREČNI MALTER	20	1,13	16,61	1888	1336																																																		
2.PUNA OPEKA	9	19,45	-2,84	482	672																																																		
3.CEMENTNI MALTER	30	0,46	-3,30	463	555																																																		
4.PIKOVANA FASADA	50	0,39	-3,69	449	361																																																		
Prelaženje topote		1,31	-3,69	449	361																																																		
Spolja			-5,00	401																																																			

⁶⁴ Ovde je prikazana ilustracija (veličina, orientacija i oprema crteža se može razlikovati)

Grafik ⁶⁵	
Proračun kondenzacije ⁶⁶	<p>Na unutrašnjoj površini nema orošavanja – pri $\Theta_e = -12,1^\circ\text{C}$ i $\Theta_i = 22^\circ\text{C}$ kondenzacija na unutrašnjoj površini će se pojaviti pri vlažnosti od 71,6%</p> <ul style="list-style-type: none"> -Temperatura na unutrašnjoj površini $\Theta_1 = 16,6^\circ\text{C}$ - Minimalna dozvoljena temperatura na unutrašnjoj površini $\Theta_d = 12,5^\circ\text{C}$
Vreme isušenja	<p>Do pojave kondenzacije dolazi u zoni 3</p> <ul style="list-style-type: none"> - Gustina difuzijskog toka vodene pare koji ulazi u konstrukciju $0,162 \text{ g/m}^2\text{h}$ - Gustina difuzijskog toka vodene pare koji izlazi iz konstrukcije $0,069 \text{ g/m}^2\text{h}$ - Količina kondenzovane vodene pare $0,093 \text{ g/m}^2$ - Količina kondenzata posle 60 dana vlaženja $134,010 \text{ g/m}^2$ - Potrebno vreme za isušenje $12,026 \text{ dana}$ - Najveće dozvoljeno vreme isušenja 90 dana <p>KONSTRUKCIJA NE ZADOVOLJAVA</p>

3.1.1.4 Letnja stabilnost⁶⁷

	Vrednost	Minimum	Zadovoljava
Faktor prigušenja amplitude oscilacije temperature v [-]	88,762	15	Da
Faktor kašnjenja oscilacije temperature η [h]	$v > 35$	7	Da

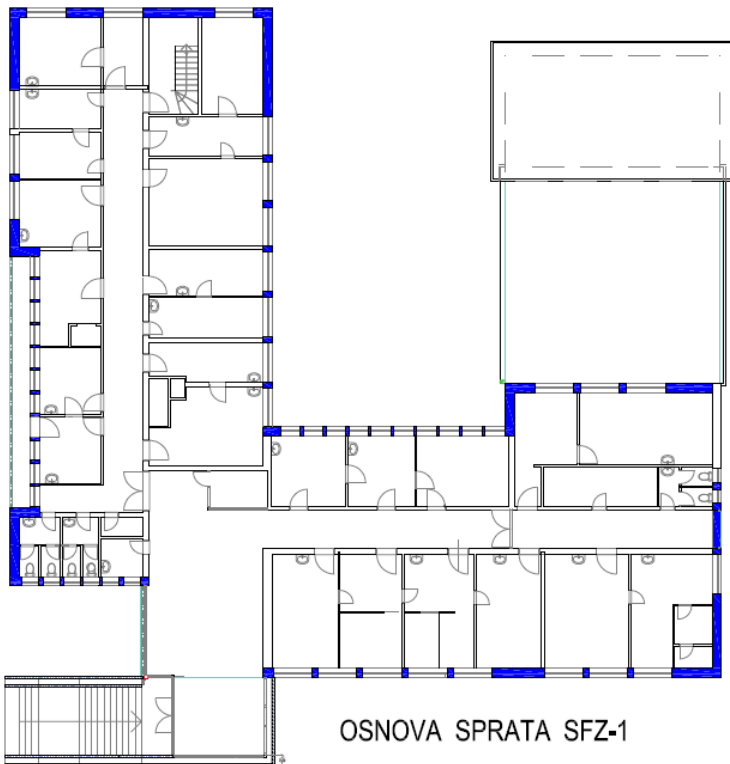
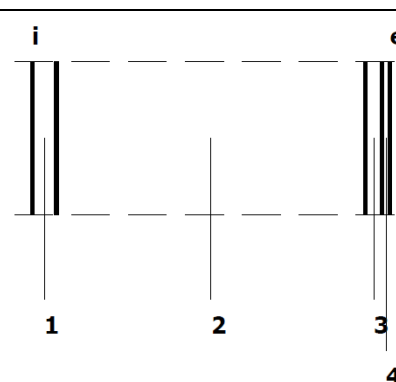
⁶⁵ Ovde je prikazana ilustracija (veličina, orientacija i oprema crteža se može razlikovati)

⁶⁶ U skladu sa poglavljem 3.3 Pravilnika o energetskoj efikasnosti zgrada

⁶⁷ Prema poglavljju 3.2 Pravilnika o energetskoj efikasnosti zgrada

3.1.2 SPOLJNI ZID

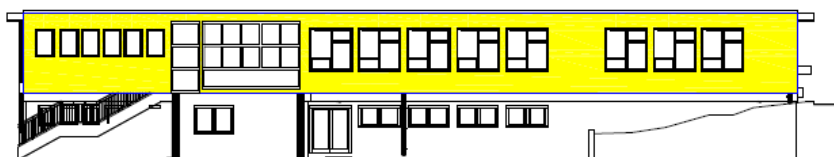
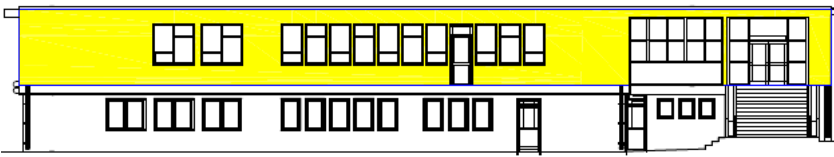
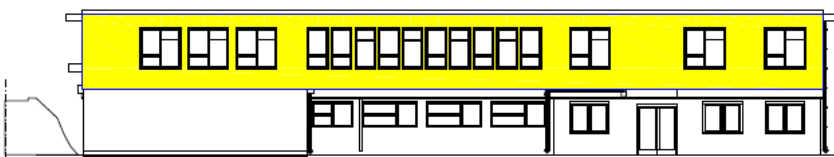
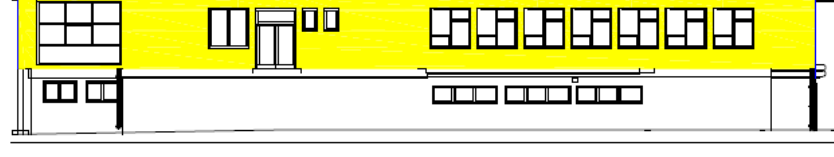
3.1.2.1. Sastav, ilustracija Spoljni zidovi⁶⁸

Broj	2																									
Oznaka	SFZ-1																									
	 <p>OSNOVA SPRATA SFZ-1</p>																									
Površina [m ²]	290,7 m ²																									
Sastav sklopa	<table border="1"> <thead> <tr> <th>Naziv građevinskog sloja</th> <th>δ [cm]</th> <th>λ [W/mK]</th> <th>ρ [kg/m³]</th> <th>μ [-]</th> </tr> </thead> <tbody> <tr> <td>1.PRODUŽENI KREČNI MALTER</td> <td>3,00</td> <td>0,870</td> <td>1800</td> <td>20</td> </tr> <tr> <td>2.PUNA OPEKA</td> <td>38,0</td> <td>0,640</td> <td>1600</td> <td>9</td> </tr> <tr> <td>3.CEMENTNI MALTER</td> <td>2,00</td> <td>1,400</td> <td>2100</td> <td>30</td> </tr> <tr> <td>4.SLOJ KAMENA</td> <td>1,00</td> <td>3,500</td> <td>2700</td> <td>65</td> </tr> </tbody> </table>	Naziv građevinskog sloja	δ [cm]	λ [W/mK]	ρ [kg/m ³]	μ [-]	1.PRODUŽENI KREČNI MALTER	3,00	0,870	1800	20	2.PUNA OPEKA	38,0	0,640	1600	9	3.CEMENTNI MALTER	2,00	1,400	2100	30	4.SLOJ KAMENA	1,00	3,500	2700	65
Naziv građevinskog sloja	δ [cm]	λ [W/mK]	ρ [kg/m ³]	μ [-]																						
1.PRODUŽENI KREČNI MALTER	3,00	0,870	1800	20																						
2.PUNA OPEKA	38,0	0,640	1600	9																						
3.CEMENTNI MALTER	2,00	1,400	2100	30																						
4.SLOJ KAMENA	1,00	3,500	2700	65																						
Skica sklopa ⁶⁹	 <p>i e</p> <p>1 PRODUŽNI KREČNI MALTER 1800 2 PUNA OPEKA 1600 3 CEMENTNI MALTER 4 SLOJ KAMENA</p>																									
Ventilisanost sklopa	NIJE VENTILISAN																									

⁶⁸ Ukoliko ima više od jedne pozicije u okviru grupacije, u ovom slučaju „Spoljni zidovi“, potrebno ih je sve prikazati i obraditi

⁶⁹ Ovde je prikazana ilustracija (veličina, orientacija i oprema crteža se može razlikovati)

Parametri ventilisanosti	-
--------------------------	---

Segmenti pozicije u odnosu na orijentaciju prema stranama sveta ⁷⁰		
	Površina [m ²]	Ilustracija ⁷¹
Ka severu	62,60	 SEVERNA FASADA
Ka istoku	68,97	 ISTOČNA FASADA
Ka jugu	82,40	 JUŽNA FASADA
Ka zapadu	76,76	 ZAPADNA FASADA

⁷⁰ Podela izvršena zbog izračunavanja solarnih dobitaka

⁷¹ Ova opcija nije obavezna

3.1.2.2 Prolaz topline i polje temperature

Tabelarni prikaz	<table border="1"> <thead> <tr> <th>Opis</th><th>λ [W/mK]</th><th>R [(m².K)/W]</th><th>$\Delta\theta$ [°C]</th><th>θ [°C]</th></tr> </thead> <tbody> <tr> <td>Unutra</td><td></td><td></td><td></td><td>22,00</td></tr> <tr> <td>Prelaženje</td><td></td><td>0,1300</td><td>5,44</td><td>16,56</td></tr> <tr> <td>1.PRODUŽENI KREČNI MALTER</td><td>0,870</td><td>0,0345</td><td>1,44</td><td>15,12</td></tr> <tr> <td>2.PUNA OPEKA</td><td>0,640</td><td>0,5938</td><td>24,83</td><td>-9,71</td></tr> <tr> <td>3.CEMENTNI MALTER</td><td>1,400</td><td>0,0143</td><td>0,60</td><td>-10,31</td></tr> <tr> <td>4.SLOJ KAMENA</td><td>3,500</td><td>0,0029</td><td>0,12</td><td>-10,43</td></tr> <tr> <td>Prelaženje topline</td><td></td><td>0,0400</td><td>1,67</td><td>-10,43</td></tr> <tr> <td>Spolja</td><td></td><td></td><td></td><td>-12,10</td></tr> <tr> <td>Ukupni otpor</td><td></td><td>0,815</td><td></td><td></td></tr> </tbody> </table>	Opis	λ [W/mK]	R [(m ² .K)/W]	$\Delta\theta$ [°C]	θ [°C]	Unutra				22,00	Prelaženje		0,1300	5,44	16,56	1.PRODUŽENI KREČNI MALTER	0,870	0,0345	1,44	15,12	2.PUNA OPEKA	0,640	0,5938	24,83	-9,71	3.CEMENTNI MALTER	1,400	0,0143	0,60	-10,31	4.SLOJ KAMENA	3,500	0,0029	0,12	-10,43	Prelaženje topline		0,0400	1,67	-10,43	Spolja				-12,10	Ukupni otpor		0,815		
Opis	λ [W/mK]	R [(m ² .K)/W]	$\Delta\theta$ [°C]	θ [°C]																																															
Unutra				22,00																																															
Prelaženje		0,1300	5,44	16,56																																															
1.PRODUŽENI KREČNI MALTER	0,870	0,0345	1,44	15,12																																															
2.PUNA OPEKA	0,640	0,5938	24,83	-9,71																																															
3.CEMENTNI MALTER	1,400	0,0143	0,60	-10,31																																															
4.SLOJ KAMENA	3,500	0,0029	0,12	-10,43																																															
Prelaženje topline		0,0400	1,67	-10,43																																															
Spolja				-12,10																																															
Ukupni otpor		0,815																																																	
Grafik temperatura ⁷²	<p style="text-align: center;">t (°C)</p> <p style="text-align: right;">d (cm)</p>																																																		
Površinski koeficijenat prolaza topline U [W/(m ² K)]	1,226																																																		

3.1.2.3 Difuzija vodene pare i isušenje

Tabelarni prikaz	<table border="1"> <thead> <tr> <th>Opis</th><th>μ [-]</th><th>$\Delta\theta$ [°C]</th><th>θ [°C]</th><th>p' [Pa]</th><th>ps [Pa]</th></tr> </thead> <tbody> <tr> <td>Unutra</td><td></td><td></td><td>22,00</td><td>2640</td><td></td></tr> <tr> <td>Prelaženje</td><td></td><td>4,30</td><td>17,70</td><td>2022</td><td>1452</td></tr> <tr> <td>1.PRODUŽENI KREČNI MALTER</td><td>20</td><td>1,15</td><td>16,55</td><td>1881</td><td>1328</td></tr> <tr> <td>2.PUNA OPEKA</td><td>9</td><td>19,66</td><td>-3,11</td><td>471</td><td>620</td></tr> <tr> <td>3.CEMENTNI MALTER</td><td>30</td><td>0,47</td><td>-3,58</td><td>453</td><td>496</td></tr> <tr> <td>4.SLOJ KAMENA</td><td>65</td><td>0,10</td><td>-3,68</td><td>449</td><td>361</td></tr> <tr> <td>Prelaženje topline</td><td></td><td>1,32</td><td>-3,68</td><td>449</td><td>361</td></tr> <tr> <td>Spolja</td><td></td><td></td><td>-5,00</td><td>401</td><td></td></tr> </tbody> </table>	Opis	μ [-]	$\Delta\theta$ [°C]	θ [°C]	p' [Pa]	ps [Pa]	Unutra			22,00	2640		Prelaženje		4,30	17,70	2022	1452	1.PRODUŽENI KREČNI MALTER	20	1,15	16,55	1881	1328	2.PUNA OPEKA	9	19,66	-3,11	471	620	3.CEMENTNI MALTER	30	0,47	-3,58	453	496	4.SLOJ KAMENA	65	0,10	-3,68	449	361	Prelaženje topline		1,32	-3,68	449	361	Spolja			-5,00	401	
Opis	μ [-]	$\Delta\theta$ [°C]	θ [°C]	p' [Pa]	ps [Pa]																																																		
Unutra			22,00	2640																																																			
Prelaženje		4,30	17,70	2022	1452																																																		
1.PRODUŽENI KREČNI MALTER	20	1,15	16,55	1881	1328																																																		
2.PUNA OPEKA	9	19,66	-3,11	471	620																																																		
3.CEMENTNI MALTER	30	0,47	-3,58	453	496																																																		
4.SLOJ KAMENA	65	0,10	-3,68	449	361																																																		
Prelaženje topline		1,32	-3,68	449	361																																																		
Spolja			-5,00	401																																																			

⁷² Ovde je prikazana ilustracija (veličina, orientacija i oprema crteža se može razlikovati)

Grafik ⁷³	
Proračun kondenzacije ⁷⁴	<p>Na unutrašnjoj površini nema orošavanja – pri $\Theta_e = -12,1^\circ\text{C}$ i $\Theta_i = 22^\circ\text{C}$ kondenzacija na unutrašnjoj površini će se pojaviti pri vlažnosti od 71,3%</p> <ul style="list-style-type: none"> -Temperatura na unutrašnjoj površini $\Theta_1 = 16,6^\circ\text{C}$ - Minimalna dozvoljena temperatura na unutrašnjoj površini $\Theta_d = 12,5^\circ\text{C}$
Vreme isušenja	<p>Do pojave kondenzacije dolazi u zoni 3</p> <ul style="list-style-type: none"> - Gustina difuzijskog toka vodene pare koji ulazi u konstrukciju $0,163 \text{ g/m}^2\text{h}$ - Gustina difuzijskog toka vodene pare koji izlazi iz konstrukcije $0,094 \text{ g/m}^2\text{h}$ - Količina kondenzovane vodene pare $0,069 \text{ g/m}^2$ - Količina kondenzata posle 60 dana vlaženja $99,348 \text{ g/m}^2$ - Potrebno vreme za isušenje $6,229 \text{ dana}$ - Najveće dozvoljeno vreme isušenja 90 dana <p>KONSTRUKCIJA NE ZADOVOLJAVA</p>

3.1.2.4. Letnja stabilnost⁷⁵

	Vrednost	Minimum	Zadovoljava
Faktor prigušenja amplitude oscilacije temperature v [-]	75,638	15	Da
Faktor kašnjenja oscilacije temperature η [h]	$v > 35$	7	Da

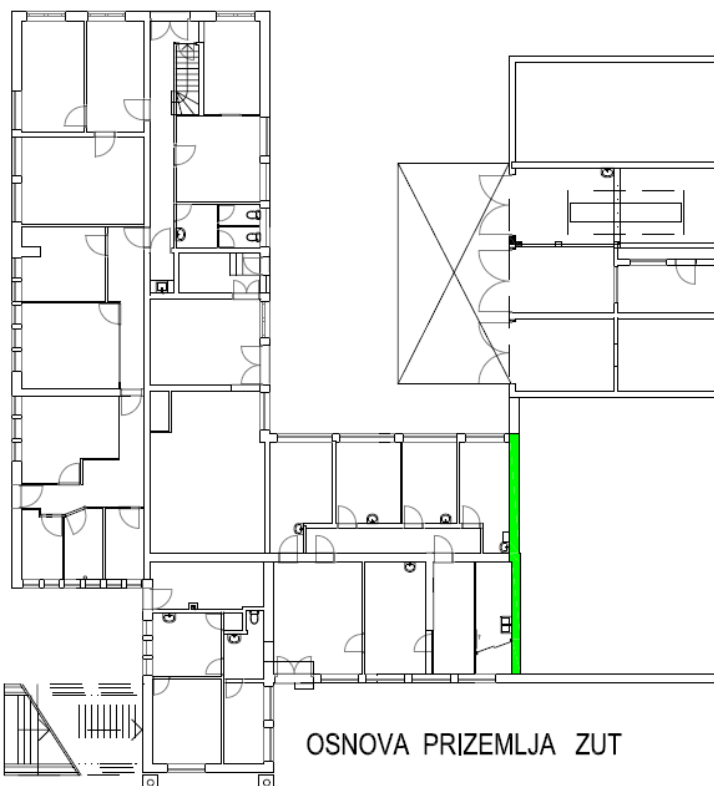
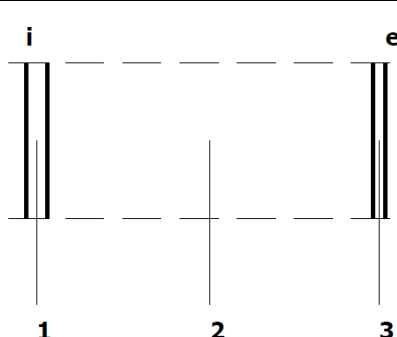
⁷³ Ovde je prikazana ilustracija (veličina, orientacija i oprema crteža se može razlikovati)

⁷⁴ U skladu sa poglavljem 3.3 Pravilnika o energetskoj efikasnosti zgrada

⁷⁵ Prema poglavljju 3.2 Pravilnika o energetskoj efikasnosti zgrada

3.1.3 ZID U TLU ZUT

3.1.3.1 Sastav, ilustracija

Broj	3																																										
Oznaka	ZUT																																										
Ilustracija položaja u zgradi ⁷⁶	 <p>OSNOVA PRIZEMLJA ZUT</p>																																										
Površina [m ²]	29,80 m ²																																										
Skica sklopa ⁷⁷	 <p>1 PRODUŽNI KREČNI MALTER 1800 2 PUNA OPEKA 1600 3 HIDROIZOLACIJA</p>																																										
Sastav sklopa	<table border="1"> <thead> <tr> <th>Naziv građevinskog sloja</th> <th>δ [cm]</th> <th>λ [W/mK]</th> <th>ρ [kg/m³]</th> <th>μ [-]</th> <th>R [(m².K)/W]</th> </tr> </thead> <tbody> <tr> <td>Prelaženje topline</td> <td></td> <td></td> <td></td> <td></td> <td>0,1300</td> </tr> <tr> <td>1.PRODUŽENI KREČNI MALTER</td> <td>2,50</td> <td>0,870</td> <td>1800</td> <td>20</td> <td>0,0287</td> </tr> <tr> <td>2.PUNA OPEKA</td> <td>36,0</td> <td>0,640</td> <td>1600</td> <td>49</td> <td>0,5625</td> </tr> <tr> <td>3.HIDROIZOLACIJA</td> <td>1,50</td> <td>0,190</td> <td>1000</td> <td>14000</td> <td>0,0789</td> </tr> <tr> <td>Prelaženje topline</td> <td></td> <td></td> <td></td> <td></td> <td>0,0000</td> </tr> <tr> <td>Ukupni otpor</td> <td></td> <td></td> <td></td> <td></td> <td>0,800</td> </tr> </tbody> </table>	Naziv građevinskog sloja	δ [cm]	λ [W/mK]	ρ [kg/m ³]	μ [-]	R [(m ² .K)/W]	Prelaženje topline					0,1300	1.PRODUŽENI KREČNI MALTER	2,50	0,870	1800	20	0,0287	2.PUNA OPEKA	36,0	0,640	1600	49	0,5625	3.HIDROIZOLACIJA	1,50	0,190	1000	14000	0,0789	Prelaženje topline					0,0000	Ukupni otpor					0,800
Naziv građevinskog sloja	δ [cm]	λ [W/mK]	ρ [kg/m ³]	μ [-]	R [(m ² .K)/W]																																						
Prelaženje topline					0,1300																																						
1.PRODUŽENI KREČNI MALTER	2,50	0,870	1800	20	0,0287																																						
2.PUNA OPEKA	36,0	0,640	1600	49	0,5625																																						
3.HIDROIZOLACIJA	1,50	0,190	1000	14000	0,0789																																						
Prelaženje topline					0,0000																																						
Ukupni otpor					0,800																																						

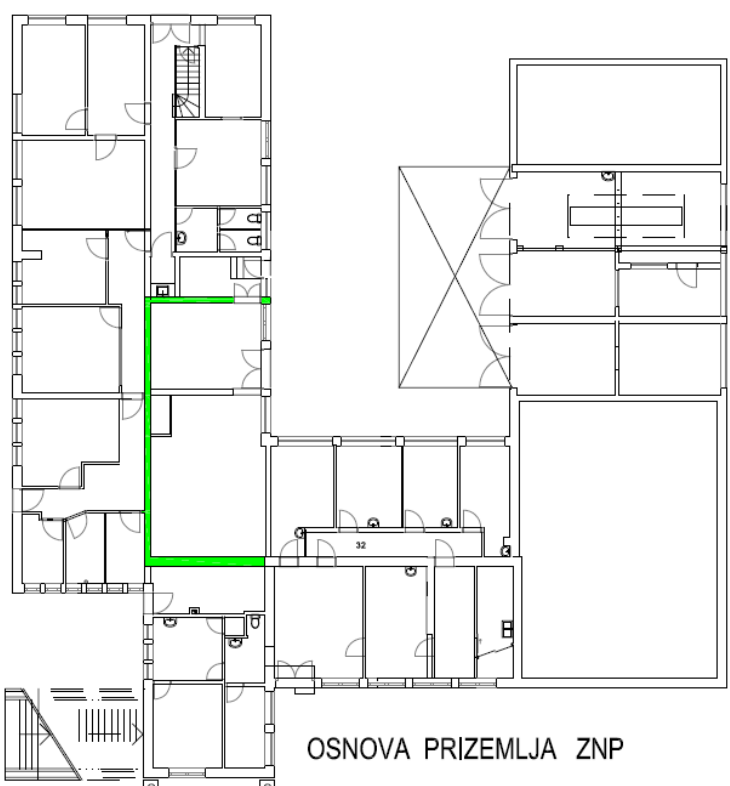
⁷⁶ Ova opcija nije obavezna

⁷⁷ Ovde je prikazana ilustracija (veličina, orientacija i oprema crteža se može razlikovati)

Površinski kokoefficijenat prolaza topote U [W/(m ² K)]	1,203
---	-------

3.1.4. ZID PREMA NEGREJANIM PROSTORIMA

3.1.4.1 Sastav, ilustracija ⁷⁸

Broj	4																				
Oznaka	ZNP																				
Ilustracija položaja u zgradi ⁷⁹	 <p>OSNOVA PRIZEMLJA ZNP</p>																				
Površina [m ²]	61,13 m ²																				
Sastav sklopa	<table border="1"> <thead> <tr> <th>Naziv građevinskog sloja</th> <th>δ [cm]</th> <th>λ [W/mK]</th> <th>ρ [kg/m³]</th> <th>μ [-]</th> </tr> </thead> <tbody> <tr> <td>1 PRODUŽENI KREČNI MALTER</td> <td>2,50</td> <td>0,870</td> <td>1800</td> <td>20</td> </tr> <tr> <td>2.PUNA OPEKA</td> <td>25,0</td> <td>0,760</td> <td>1800</td> <td>12</td> </tr> <tr> <td>3 PRODUŽENI KREČNI MALTER</td> <td>2,50</td> <td>0,870</td> <td>1800</td> <td>20</td> </tr> </tbody> </table>	Naziv građevinskog sloja	δ [cm]	λ [W/mK]	ρ [kg/m ³]	μ [-]	1 PRODUŽENI KREČNI MALTER	2,50	0,870	1800	20	2.PUNA OPEKA	25,0	0,760	1800	12	3 PRODUŽENI KREČNI MALTER	2,50	0,870	1800	20
Naziv građevinskog sloja	δ [cm]	λ [W/mK]	ρ [kg/m ³]	μ [-]																	
1 PRODUŽENI KREČNI MALTER	2,50	0,870	1800	20																	
2.PUNA OPEKA	25,0	0,760	1800	12																	
3 PRODUŽENI KREČNI MALTER	2,50	0,870	1800	20																	

⁷⁸ Ukoliko ima više od jedne pozicije u okviru grupacije, u ovom slučaju „Spoljni zidovi“, potrebno ih je sve prikazati i obraditi

⁷⁹ Ova opcija nije obavezna

Skica sklopa ⁸⁰	<p style="text-align: center;">1 2 3</p>	<p>1 PRODUŽNI KREČNI MALTER 1800 2 PUNA OPEKA 1800 3 PRODUŽNI KREČNI MALTER 1800</p>
Ventilisanost sklopa	NIJE VENTILISAN	
Parametri ventilisanosti	-	

3.1.4.2 Prolaz topline i polje temperature

Tabelarni prikaz	<table border="1"> <thead> <tr> <th>Opis</th><th>λ [W/mK]</th><th>R [(m²·K)/W]</th><th>$\Delta\theta$ [°C]</th><th>θ [°C]</th></tr> </thead> <tbody> <tr> <td>Unutra</td><td></td><td></td><td></td><td>22,00</td></tr> <tr> <td>Prelaženje</td><td></td><td>0,1300</td><td>3,43</td><td>18,57</td></tr> <tr> <td>1 PRODUŽENI KREČNI MALTER</td><td>0,870</td><td>0,0287</td><td>0,76</td><td>17,81</td></tr> <tr> <td>2.PUNA OPEKA</td><td>0,760</td><td>0,3289</td><td>8,67</td><td>9,14</td></tr> <tr> <td>3 PRODUŽENI KREČNI MALTER</td><td>0,870</td><td>0,0287</td><td>0,76</td><td>8,38</td></tr> <tr> <td>Prelaženje topline</td><td></td><td>0,1300</td><td>3,43</td><td>8,38</td></tr> <tr> <td>Spolja</td><td></td><td></td><td></td><td>4,95</td></tr> <tr> <td>Ukupni otpor</td><td></td><td>0,646</td><td></td><td></td></tr> </tbody> </table>	Opis	λ [W/mK]	R [(m ² ·K)/W]	$\Delta\theta$ [°C]	θ [°C]	Unutra				22,00	Prelaženje		0,1300	3,43	18,57	1 PRODUŽENI KREČNI MALTER	0,870	0,0287	0,76	17,81	2.PUNA OPEKA	0,760	0,3289	8,67	9,14	3 PRODUŽENI KREČNI MALTER	0,870	0,0287	0,76	8,38	Prelaženje topline		0,1300	3,43	8,38	Spolja				4,95	Ukupni otpor		0,646		
Opis	λ [W/mK]	R [(m ² ·K)/W]	$\Delta\theta$ [°C]	θ [°C]																																										
Unutra				22,00																																										
Prelaženje		0,1300	3,43	18,57																																										
1 PRODUŽENI KREČNI MALTER	0,870	0,0287	0,76	17,81																																										
2.PUNA OPEKA	0,760	0,3289	8,67	9,14																																										
3 PRODUŽENI KREČNI MALTER	0,870	0,0287	0,76	8,38																																										
Prelaženje topline		0,1300	3,43	8,38																																										
Spolja				4,95																																										
Ukupni otpor		0,646																																												
Grafik temperatura ⁸¹	<p style="text-align: center;">t_2 (°C) 22,0 5,0</p> <p style="text-align: center;">d (cm) 0,0 30,00</p>																																													

⁸⁰ Ovde je prikazana ilustracija (veličina, orientacija i oprema crteža se može razlikovati)

⁸¹ Ovde je prikazana ilustracija (veličina, orientacija i oprema crteža se može razlikovati)

Površinski koeficijenat prolaza topote $U [W/(m^2K)]$	1,547
--	--------------

3.1.4.3 Difuzija vodene pare i isušenje

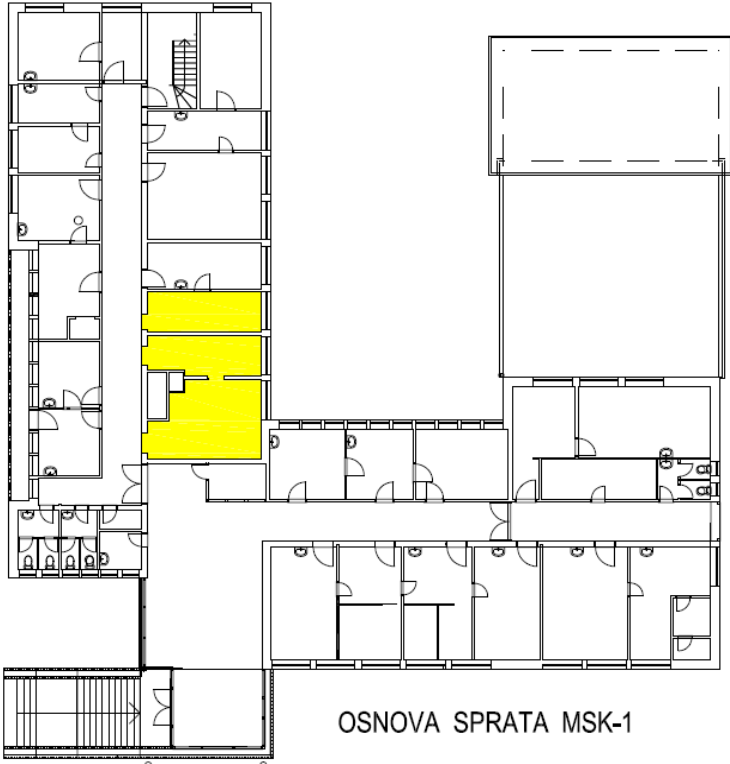
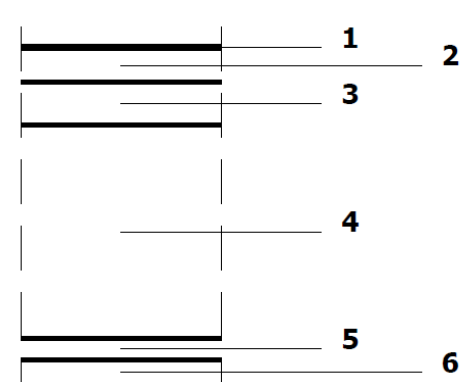
Tabelarni prikaz	<table border="1"> <thead> <tr> <th>Opis</th><th>μ [-]</th><th>$\Delta\theta$ [°C]</th><th>θ [°C]</th><th>p' [Pa]</th><th>p_s [Pa]</th></tr> </thead> <tbody> <tr> <td>Unutra</td><td></td><td></td><td>22,00</td><td>2640</td><td></td></tr> <tr> <td>Prelaženje</td><td></td><td>2,71</td><td>19,29</td><td>2234</td><td>1452</td></tr> <tr> <td>1 PRODUŽENI KREČNI MALTER</td><td>20</td><td>0,61</td><td>18,68</td><td>2152</td><td>1395</td></tr> <tr> <td>2.PUNA OPEKA</td><td>12</td><td>6,86</td><td>11,82</td><td>1384</td><td>1055</td></tr> <tr> <td>3 PRODUŽENI KREČNI MALTER</td><td>20</td><td>0,61</td><td>11,21</td><td>1330</td><td>998</td></tr> <tr> <td>Prelaženje topote</td><td></td><td>2,71</td><td>11,21</td><td>1330</td><td>998</td></tr> <tr> <td>Spolja</td><td></td><td></td><td>8,50</td><td>1109</td><td></td></tr> </tbody> </table>	Opis	μ [-]	$\Delta\theta$ [°C]	θ [°C]	p' [Pa]	p_s [Pa]	Unutra			22,00	2640		Prelaženje		2,71	19,29	2234	1452	1 PRODUŽENI KREČNI MALTER	20	0,61	18,68	2152	1395	2.PUNA OPEKA	12	6,86	11,82	1384	1055	3 PRODUŽENI KREČNI MALTER	20	0,61	11,21	1330	998	Prelaženje topote		2,71	11,21	1330	998	Spolja			8,50	1109	
Opis	μ [-]	$\Delta\theta$ [°C]	θ [°C]	p' [Pa]	p_s [Pa]																																												
Unutra			22,00	2640																																													
Prelaženje		2,71	19,29	2234	1452																																												
1 PRODUŽENI KREČNI MALTER	20	0,61	18,68	2152	1395																																												
2.PUNA OPEKA	12	6,86	11,82	1384	1055																																												
3 PRODUŽENI KREČNI MALTER	20	0,61	11,21	1330	998																																												
Prelaženje topote		2,71	11,21	1330	998																																												
Spolja			8,50	1109																																													
Grafik ⁸²	<p>The graph illustrates the vapor pressure profiles p' (solid line) and p_i (dashed line) versus the radius r (m). The vertical axis represents vapor pressure p in kPa, ranging from 0.0 to 2.0. The horizontal axis represents the radius r in meters, ranging from 0.0 to 4.00. Both curves start at approximately 2.0 kPa at $r=0$ and decrease as r increases. The solid line (p') is consistently above the dashed line (p_i), indicating that the outer boundary condition is lower than the inner boundary condition.</p>																																																
Proračun kondenzacije ⁸³	U konstrukciji ne dolazi do kondenzacije																																																
Vreme isušenja	-																																																

⁸² Ovde je prikazana ilustracija (veličina, orijentacija i oprema crteža se može razlikovati)

⁸³ U skladu sa poglavljem 3.3 Pravilnika o energetskoj efikasnosti zgrada

3.1.5 MEĐUSPRATNA KONSTRUKCIJA IZNAD NEGREJANOG PROSTORA

3.1.5.1 Sastav, ilustracija

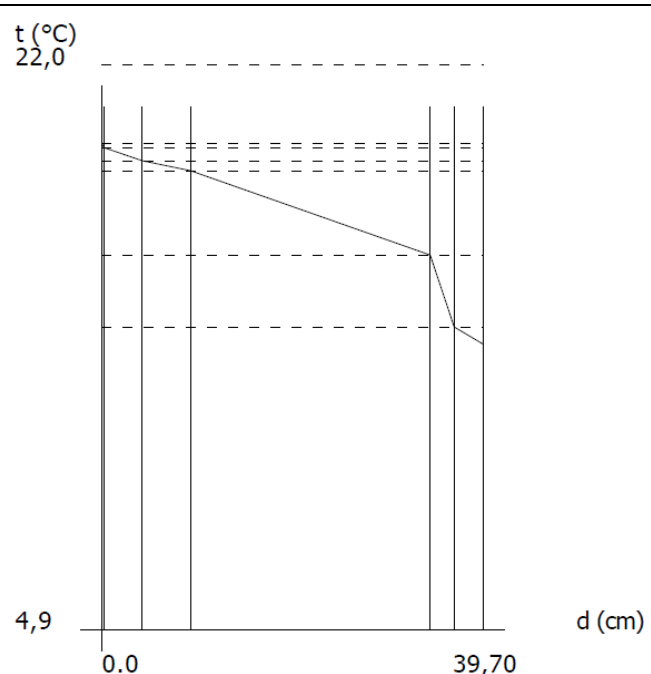
Broj	5																																			
Oznaka	MSK-1																																			
Ilustracija položaja u zgradi ⁸⁴	 <p style="text-align: center;">OSNOVA SPRATA MSK-1</p>																																			
Površina [m ²]	51,90 m ²																																			
Sastav sklopa	<table border="1"> <thead> <tr> <th>Naziv građevinskog sloja</th> <th>δ [cm]</th> <th>λ [W/mK]</th> <th>ρ [kg/m³]</th> <th>μ [-]</th> </tr> </thead> <tbody> <tr> <td>1.PVC</td> <td>0,20</td> <td>0,230</td> <td>1400</td> <td>10000</td> </tr> <tr> <td>2.CEMENTNI MALTER</td> <td>4,00</td> <td>1,400</td> <td>2100</td> <td>30</td> </tr> <tr> <td>3.AB - PLOČA</td> <td>5,00</td> <td>2,330</td> <td>2500</td> <td>90</td> </tr> <tr> <td>4.SLOJ VAZDUHA</td> <td>25,0</td> <td>1,364</td> <td>1</td> <td>1</td> </tr> <tr> <td>5.DRVENE LETVE</td> <td>2,50</td> <td>0,160</td> <td>468</td> <td>3</td> </tr> <tr> <td>6.MALTER NA TRSCI</td> <td>3,00</td> <td>0,810</td> <td>1600</td> <td>10</td> </tr> </tbody> </table>	Naziv građevinskog sloja	δ [cm]	λ [W/mK]	ρ [kg/m ³]	μ [-]	1.PVC	0,20	0,230	1400	10000	2.CEMENTNI MALTER	4,00	1,400	2100	30	3.AB - PLOČA	5,00	2,330	2500	90	4.SLOJ VAZDUHA	25,0	1,364	1	1	5.DRVENE LETVE	2,50	0,160	468	3	6.MALTER NA TRSCI	3,00	0,810	1600	10
Naziv građevinskog sloja	δ [cm]	λ [W/mK]	ρ [kg/m ³]	μ [-]																																
1.PVC	0,20	0,230	1400	10000																																
2.CEMENTNI MALTER	4,00	1,400	2100	30																																
3.AB - PLOČA	5,00	2,330	2500	90																																
4.SLOJ VAZDUHA	25,0	1,364	1	1																																
5.DRVENE LETVE	2,50	0,160	468	3																																
6.MALTER NA TRSCI	3,00	0,810	1600	10																																
Skica sklopa ⁸⁵	 <table style="margin-left: 20px;"> <tr> <td>1</td> <td>PVC, HOMOGENI</td> </tr> <tr> <td>2</td> <td>CEMENTNI MALTER</td> </tr> <tr> <td>3</td> <td>AB - PLOČA</td> </tr> <tr> <td>4</td> <td>SLOJ VAZDUHA</td> </tr> <tr> <td>5</td> <td>DRVENE LETVE</td> </tr> <tr> <td>6</td> <td>MALTER NA TRSCI</td> </tr> </table>	1	PVC, HOMOGENI	2	CEMENTNI MALTER	3	AB - PLOČA	4	SLOJ VAZDUHA	5	DRVENE LETVE	6	MALTER NA TRSCI																							
1	PVC, HOMOGENI																																			
2	CEMENTNI MALTER																																			
3	AB - PLOČA																																			
4	SLOJ VAZDUHA																																			
5	DRVENE LETVE																																			
6	MALTER NA TRSCI																																			

⁸⁴ Ova opcija nije obavezna

⁸⁵ Ovde je prikazana ilustracija (veličina, orientacija i oprema crteža se može razlikovati)

3.1.5.2 Prolaz topote i polje temperature

Tabelarni prikaz	Opis	λ [W/mK]	R [(m ² ·K)/W]	$\Delta\theta$ [°C]	θ [°C]
Unutra					22,00
Prelaženje			0,1700	3,74	18,26
1.PVC	0,230	0,0087	0,19	18,07	
2.CEMENTNI MALTER	1,400	0,0286	0,63	17,44	
3.AB - PLOČA	2,330	0,0215	0,47	16,97	
4.SLOJ VAZDUHA	1,364	0,1833	4,03	12,94	
5.DRVENE LETVE	0,160	0,1563	3,44	9,50	
6.MALTER NA TRSCI	0,810	0,0370	0,81	8,69	
Prelaženje topote			0,1700	3,74	8,69
Spolja					4,95
Ukupni otpor			0,775		

Grafik temperatura ⁸⁶	 <p>Diagram prikazuje temperaturnu liniju u zidu. Osnica je duljina zida $d = 39,70$ cm, a vodoravna os je temperatura t u °C. Linija počinje na $22,0$ °C u vrhu i pada do $4,9$ °C u dnu.</p>
Površinski koeficijenat prolaza topote U [W/(m ² K)]	1,290

⁸⁶ Ovde je prikazana ilustracija (veličina, orientacija i oprema crteža se može razlikovati)

3.1.5.3 Difuzija vodene pare i isušenje

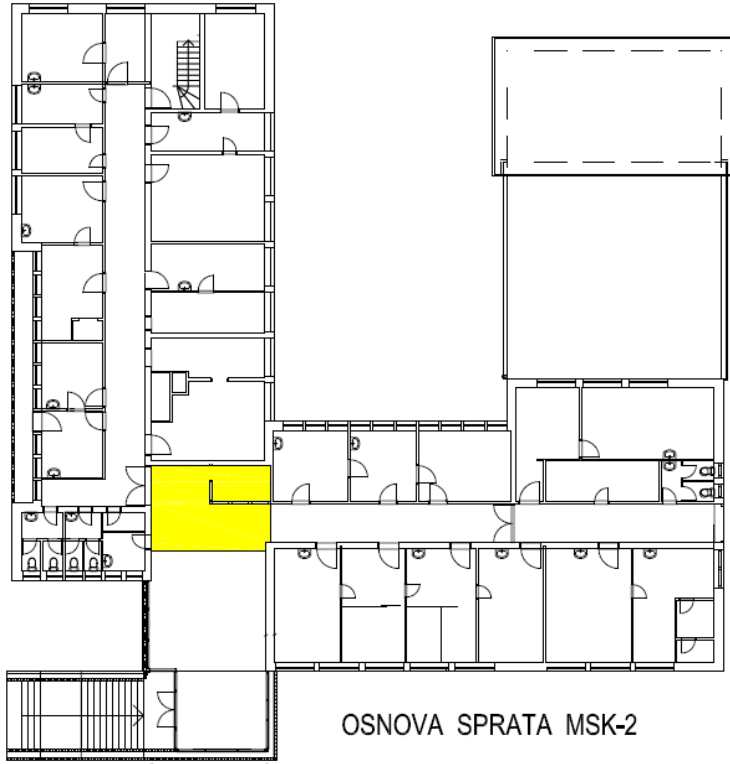
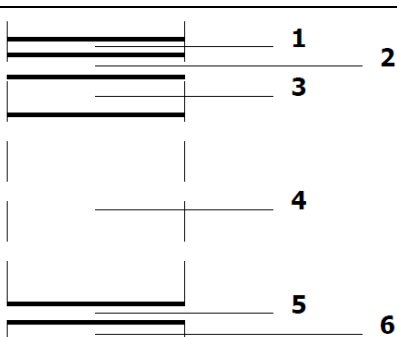
Tabelarni prikaz	<table border="1"> <thead> <tr> <th>Opis</th><th>μ [-]</th><th>$\Delta\theta$ [°C]</th><th>θ [°C]</th><th>p' [Pa]</th><th>p_s [Pa]</th></tr> </thead> <tbody> <tr> <td>Unutra</td><td></td><td></td><td>22,00</td><td>2640</td><td></td></tr> <tr> <td>Prelaženje</td><td></td><td>2,96</td><td>19,04</td><td>2200</td><td>1452</td></tr> <tr> <td>1.PVC</td><td>10000</td><td>0,15</td><td>18,89</td><td>2179</td><td>1107</td></tr> <tr> <td>2.CEMENTNI MALTER</td><td>30</td><td>0,50</td><td>18,39</td><td>2112</td><td>1086</td></tr> <tr> <td>3.AB - PLOČA</td><td>90</td><td>0,37</td><td>18,02</td><td>2063</td><td>1009</td></tr> <tr> <td>4.SLOJ VAZDUHA</td><td>1</td><td>3,19</td><td>14,83</td><td>1684</td><td>1005</td></tr> <tr> <td>5.DRVENE LETVE</td><td>3</td><td>2,72</td><td>12,11</td><td>1411</td><td>1003</td></tr> <tr> <td>6.MALTER NA TRSCI</td><td>10</td><td>0,35</td><td>11,46</td><td>1352</td><td>998</td></tr> <tr> <td>Prelaženje topline</td><td></td><td>2,96</td><td>11,46</td><td>1352</td><td>998</td></tr> <tr> <td>Spolja</td><td></td><td></td><td>8,50</td><td>1109</td><td></td></tr> </tbody> </table>	Opis	μ [-]	$\Delta\theta$ [°C]	θ [°C]	p' [Pa]	p_s [Pa]	Unutra			22,00	2640		Prelaženje		2,96	19,04	2200	1452	1.PVC	10000	0,15	18,89	2179	1107	2.CEMENTNI MALTER	30	0,50	18,39	2112	1086	3.AB - PLOČA	90	0,37	18,02	2063	1009	4.SLOJ VAZDUHA	1	3,19	14,83	1684	1005	5.DRVENE LETVE	3	2,72	12,11	1411	1003	6.MALTER NA TRSCI	10	0,35	11,46	1352	998	Prelaženje topline		2,96	11,46	1352	998	Spolja			8,50	1109	
Opis	μ [-]	$\Delta\theta$ [°C]	θ [°C]	p' [Pa]	p_s [Pa]																																																														
Unutra			22,00	2640																																																															
Prelaženje		2,96	19,04	2200	1452																																																														
1.PVC	10000	0,15	18,89	2179	1107																																																														
2.CEMENTNI MALTER	30	0,50	18,39	2112	1086																																																														
3.AB - PLOČA	90	0,37	18,02	2063	1009																																																														
4.SLOJ VAZDUHA	1	3,19	14,83	1684	1005																																																														
5.DRVENE LETVE	3	2,72	12,11	1411	1003																																																														
6.MALTER NA TRSCI	10	0,35	11,46	1352	998																																																														
Prelaženje topline		2,96	11,46	1352	998																																																														
Spolja			8,50	1109																																																															
Grafik ⁸⁷																																																																			
Proračun kondenzacije ⁸⁸	U KONSTRUKCIJI NE DOLAZI DO KONDENZACIJE																																																																		
Vreme isušenja	-																																																																		

⁸⁷ Ovde je prikazana ilustracija (veličina, orientacija i oprema crteža se može razlikovati)

⁸⁸ U skladu sa poglavljem 3.3 Pravilnika o energetskoj efikasnosti zgrada

3.1.6 MEĐUSPRATNA KONSTRUKCIJA IZNAD NEGREJANOG PROSTORA

3.1.6.1 Sastav, ilustracija

Broj	6																																			
Oznaka	MSK-1																																			
Ilustracija položaja u zgradi ⁸⁹	 <p>OSNOVA SPRATA MSK-2</p>																																			
Površina [m ²]	24,60 m ²																																			
Sastav sklopa	<table border="1"> <thead> <tr> <th>Naziv građevinskog sloja</th> <th>δ [cm]</th> <th>λ [W/mK]</th> <th>ρ [kg/m³]</th> <th>μ [·]</th> </tr> </thead> <tbody> <tr> <td>1.TERACO POD</td> <td>2,00</td> <td>2,330</td> <td>2500</td> <td>90</td> </tr> <tr> <td>2.CEMENTNI MALTER</td> <td>3,00</td> <td>1,400</td> <td>2100</td> <td>30</td> </tr> <tr> <td>3.AB - PLOČA</td> <td>5,00</td> <td>2,330</td> <td>2500</td> <td>90</td> </tr> <tr> <td>4.SLOJ VAZDUHA</td> <td>25,0</td> <td>1,364</td> <td>1</td> <td>1</td> </tr> <tr> <td>5.DRVENE LETVE</td> <td>2,50</td> <td>0,164</td> <td>468</td> <td>3</td> </tr> <tr> <td>6.MALTER NA TRSCI</td> <td>3,00</td> <td>0,810</td> <td>1600</td> <td>10</td> </tr> </tbody> </table>	Naziv građevinskog sloja	δ [cm]	λ [W/mK]	ρ [kg/m ³]	μ [·]	1.TERACO POD	2,00	2,330	2500	90	2.CEMENTNI MALTER	3,00	1,400	2100	30	3.AB - PLOČA	5,00	2,330	2500	90	4.SLOJ VAZDUHA	25,0	1,364	1	1	5.DRVENE LETVE	2,50	0,164	468	3	6.MALTER NA TRSCI	3,00	0,810	1600	10
Naziv građevinskog sloja	δ [cm]	λ [W/mK]	ρ [kg/m ³]	μ [·]																																
1.TERACO POD	2,00	2,330	2500	90																																
2.CEMENTNI MALTER	3,00	1,400	2100	30																																
3.AB - PLOČA	5,00	2,330	2500	90																																
4.SLOJ VAZDUHA	25,0	1,364	1	1																																
5.DRVENE LETVE	2,50	0,164	468	3																																
6.MALTER NA TRSCI	3,00	0,810	1600	10																																
Skica sklopa ⁹⁰	 <p>1 TERACO POD 2 CEMENTNI MALTER 3 AB - PLOČA 4 SLOJ VAZDUHA 5 DRVENE LETVE 6 MALTER NA TRSCI</p>																																			

⁸⁹ Ova opcija nije obavezna

⁹⁰ Ovdje je prikazana ilustracija (veličina, orientacija i oprema crteža se može razlikovati)

3.1.6.2 Prolaz topline i polje temperature

Tabelarni prikaz	<table border="1"> <thead> <tr> <th>Opis</th><th>λ [W/mK]</th><th>R [(m²·K)/W]</th><th>$\Delta\theta$ [°C]</th><th>θ [°C]</th></tr> </thead> <tbody> <tr> <td>Unutra</td><td></td><td></td><td></td><td>22,00</td></tr> <tr> <td>Prelaženje</td><td></td><td>0,1700</td><td>3,77</td><td>18,23</td></tr> <tr> <td>1.TERACO POD</td><td>2,330</td><td>0,0086</td><td>0,19</td><td>18,04</td></tr> <tr> <td>2.CEMENTNI MALTER</td><td>1,400</td><td>0,0214</td><td>0,48</td><td>17,56</td></tr> <tr> <td>3.AB - PLOČA</td><td>2,330</td><td>0,0215</td><td>0,48</td><td>17,08</td></tr> <tr> <td>4.SLOJ VAZDUHA</td><td>1,364</td><td>0,1833</td><td>4,07</td><td>13,01</td></tr> <tr> <td>5.DRVENE LETVE</td><td>0,164</td><td>0,1563</td><td>3,46</td><td>9,55</td></tr> <tr> <td>6.MALTER NA TRSCI</td><td>0,810</td><td>0,0370</td><td>0,83</td><td>8,72</td></tr> <tr> <td>Prelaženje topline</td><td></td><td>0,1700</td><td>3,77</td><td>8,72</td></tr> <tr> <td>Spolja</td><td></td><td></td><td></td><td>4,95</td></tr> <tr> <td>Ukupni otpor</td><td></td><td>0,768</td><td></td><td></td></tr> </tbody> </table>	Opis	λ [W/mK]	R [(m ² ·K)/W]	$\Delta\theta$ [°C]	θ [°C]	Unutra				22,00	Prelaženje		0,1700	3,77	18,23	1.TERACO POD	2,330	0,0086	0,19	18,04	2.CEMENTNI MALTER	1,400	0,0214	0,48	17,56	3.AB - PLOČA	2,330	0,0215	0,48	17,08	4.SLOJ VAZDUHA	1,364	0,1833	4,07	13,01	5.DRVENE LETVE	0,164	0,1563	3,46	9,55	6.MALTER NA TRSCI	0,810	0,0370	0,83	8,72	Prelaženje topline		0,1700	3,77	8,72	Spolja				4,95	Ukupni otpor		0,768		
Opis	λ [W/mK]	R [(m ² ·K)/W]	$\Delta\theta$ [°C]	θ [°C]																																																									
Unutra				22,00																																																									
Prelaženje		0,1700	3,77	18,23																																																									
1.TERACO POD	2,330	0,0086	0,19	18,04																																																									
2.CEMENTNI MALTER	1,400	0,0214	0,48	17,56																																																									
3.AB - PLOČA	2,330	0,0215	0,48	17,08																																																									
4.SLOJ VAZDUHA	1,364	0,1833	4,07	13,01																																																									
5.DRVENE LETVE	0,164	0,1563	3,46	9,55																																																									
6.MALTER NA TRSCI	0,810	0,0370	0,83	8,72																																																									
Prelaženje topline		0,1700	3,77	8,72																																																									
Spolja				4,95																																																									
Ukupni otpor		0,768																																																											
Grafik temperatura ⁹¹	<p>Dubina d (cm)</p> <p>Temperatura t (°C)</p>																																																												
Površinski koeficijenat prolaza topline U [W/(m ² K)]	1,302																																																												

⁹¹ Ovde je prikazana ilustracija (veličina, orientacija i oprema crteža se može razlikovati)

3.1.6.3 Difuzija vodene pare i isušenje

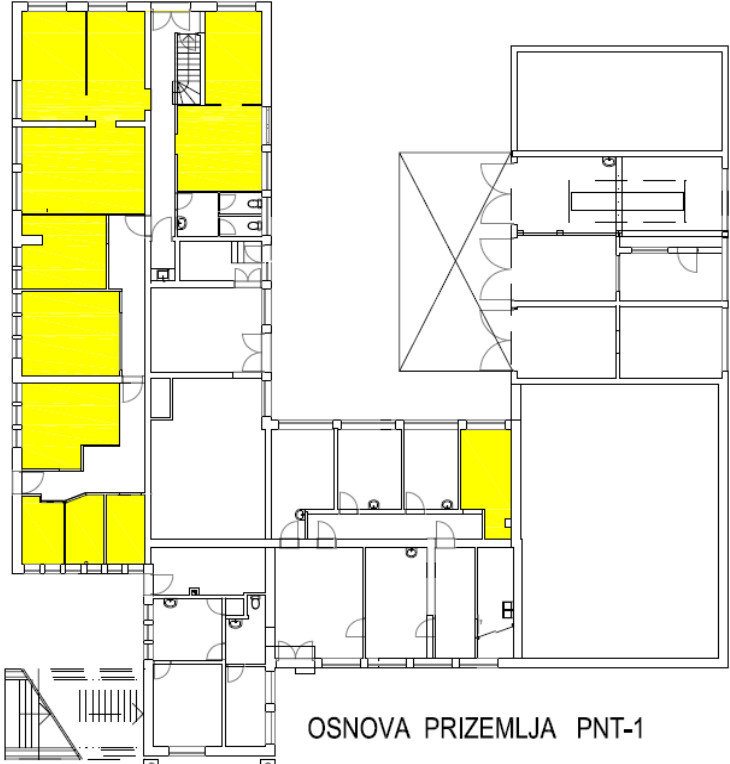
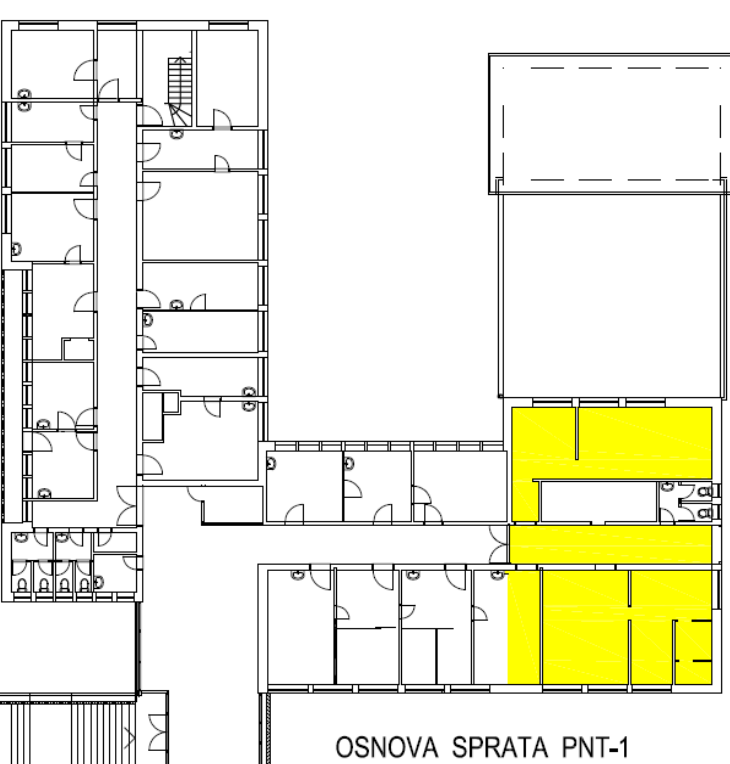
Tabelarni prikaz	<table border="1"> <thead> <tr> <th>Opis</th><th>μ [-]</th><th>$\Delta\theta$ [°C]</th><th>θ [°C]</th><th>p' [Pa]</th><th>p_s [Pa]</th></tr> </thead> <tbody> <tr> <td>Unutra</td><td></td><td></td><td>22,00</td><td>2640</td><td></td></tr> <tr> <td>Prelaženje</td><td></td><td>2,99</td><td>19,01</td><td>2196</td><td>1452</td></tr> <tr> <td>1.TERACO POD</td><td>90</td><td>0,15</td><td>18,86</td><td>2175</td><td>1348</td></tr> <tr> <td>2.CEMENTNI MALTER</td><td>30</td><td>0,38</td><td>18,48</td><td>2125</td><td>1295</td></tr> <tr> <td>3.AB - PLOČA</td><td>90</td><td>0,37</td><td>18,11</td><td>2055</td><td>1034</td></tr> <tr> <td>4.SLOJ VAZDUHA</td><td>1</td><td>3,22</td><td>14,89</td><td>1691</td><td>1020</td></tr> <tr> <td>5.DRVENE LETVE</td><td>3</td><td>2,75</td><td>12,14</td><td>1414</td><td>1015</td></tr> <tr> <td>6.MALTER NA TRSCI</td><td>10</td><td>0,65</td><td>11,49</td><td>1355</td><td>998</td></tr> <tr> <td>Prelaženje topline</td><td></td><td>2,99</td><td>11,49</td><td>1355</td><td>998</td></tr> <tr> <td>Spolja</td><td></td><td></td><td>8,50</td><td>1109</td><td></td></tr> </tbody> </table>	Opis	μ [-]	$\Delta\theta$ [°C]	θ [°C]	p' [Pa]	p_s [Pa]	Unutra			22,00	2640		Prelaženje		2,99	19,01	2196	1452	1.TERACO POD	90	0,15	18,86	2175	1348	2.CEMENTNI MALTER	30	0,38	18,48	2125	1295	3.AB - PLOČA	90	0,37	18,11	2055	1034	4.SLOJ VAZDUHA	1	3,22	14,89	1691	1020	5.DRVENE LETVE	3	2,75	12,14	1414	1015	6.MALTER NA TRSCI	10	0,65	11,49	1355	998	Prelaženje topline		2,99	11,49	1355	998	Spolja			8,50	1109	
Opis	μ [-]	$\Delta\theta$ [°C]	θ [°C]	p' [Pa]	p_s [Pa]																																																														
Unutra			22,00	2640																																																															
Prelaženje		2,99	19,01	2196	1452																																																														
1.TERACO POD	90	0,15	18,86	2175	1348																																																														
2.CEMENTNI MALTER	30	0,38	18,48	2125	1295																																																														
3.AB - PLOČA	90	0,37	18,11	2055	1034																																																														
4.SLOJ VAZDUHA	1	3,22	14,89	1691	1020																																																														
5.DRVENE LETVE	3	2,75	12,14	1414	1015																																																														
6.MALTER NA TRSCI	10	0,65	11,49	1355	998																																																														
Prelaženje topline		2,99	11,49	1355	998																																																														
Spolja			8,50	1109																																																															
Grafik ⁹²																																																																			
Proračun kondenzacije ⁹³	U KONSTRUKCIJI NE DOLAZI DO KONDENZACIJE																																																																		
Vreme isušenja	-																																																																		

⁹² Ovde je prikazana ilustracija (veličina, orijentacija i oprema crteža se može razlikovati)

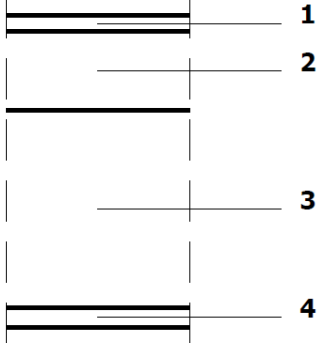
⁹³ U skladu sa poglavljem 3.3 Pravilnika o energetskoj efikasnosti zgrada

3.1.7 POD NA TLU PNT

3.1.7.1 Sastav, ilustracija

Broj	7
Oznaka	PNT-1
Ilustracija položaja u zgradi ⁹⁴	 <p>OSNOVA PRIZEMLJA PNT-1</p>  <p>OSNOVA SPRATA PNT-1</p>
Površina [m ²]	301,25 m ²

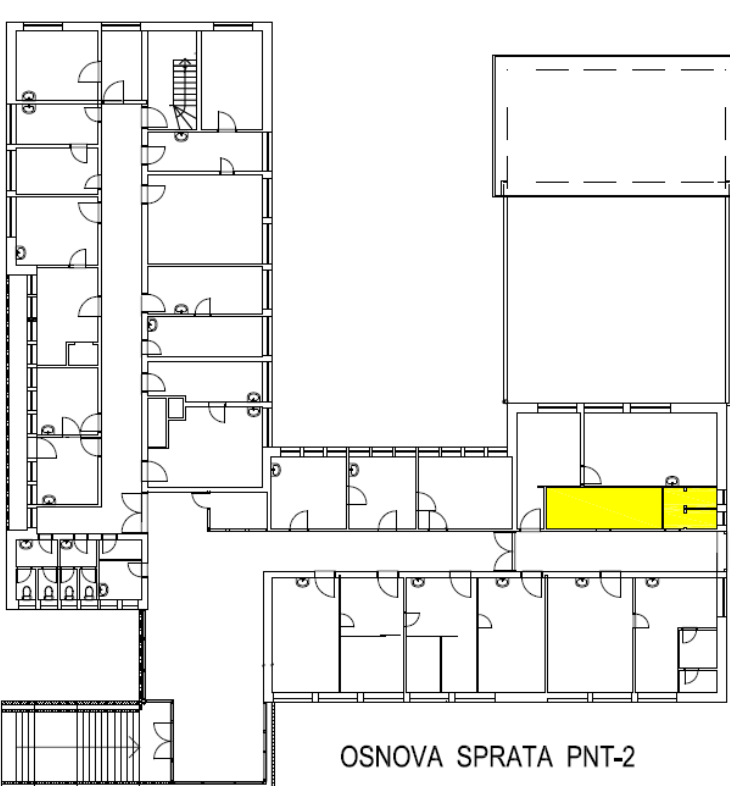
⁹⁴ Ova opcija nije obavezna

Skica sklopa ⁹⁵	 <p>1 2 3 4</p> <p>1 LAMINAT 2 CEMENTNI MALTER 3 AB - PLOČA 4 HIDROIZOLACIJA</p>																																																
Sastav sklopa	<table border="1"> <thead> <tr> <th>Naziv građevinskog sloja</th> <th>δ [cm]</th> <th>λ [W/mK]</th> <th>ρ [kg/m³]</th> <th>μ [-]</th> <th>R [(m².K)/W]</th> </tr> </thead> <tbody> <tr> <td>Prelaženje topline</td> <td></td> <td></td> <td></td> <td></td> <td>0,1700</td> </tr> <tr> <td>1.LAMINAT</td> <td>0,80</td> <td>0,140</td> <td>950</td> <td>15</td> <td>0,0571</td> </tr> <tr> <td>2.CEMENTNI MALTER</td> <td>4,00</td> <td>1,400</td> <td>2100</td> <td>30</td> <td>0,0286</td> </tr> <tr> <td>3.BETON SA KAMENIM AGR.</td> <td>10,00</td> <td>2,330</td> <td>2500</td> <td>90</td> <td>0,0429</td> </tr> <tr> <td>4.HIDROIZOLACIJA</td> <td>1,00</td> <td>0,190</td> <td>1000</td> <td>14000</td> <td>0,0526</td> </tr> <tr> <td>Prelaženje topline</td> <td></td> <td></td> <td></td> <td></td> <td>0,0000</td> </tr> <tr> <td>Ukupni otpor</td> <td></td> <td></td> <td></td> <td></td> <td>0,351</td> </tr> </tbody> </table>	Naziv građevinskog sloja	δ [cm]	λ [W/mK]	ρ [kg/m ³]	μ [-]	R [(m ² .K)/W]	Prelaženje topline					0,1700	1.LAMINAT	0,80	0,140	950	15	0,0571	2.CEMENTNI MALTER	4,00	1,400	2100	30	0,0286	3.BETON SA KAMENIM AGR.	10,00	2,330	2500	90	0,0429	4.HIDROIZOLACIJA	1,00	0,190	1000	14000	0,0526	Prelaženje topline					0,0000	Ukupni otpor					0,351
Naziv građevinskog sloja	δ [cm]	λ [W/mK]	ρ [kg/m ³]	μ [-]	R [(m ² .K)/W]																																												
Prelaženje topline					0,1700																																												
1.LAMINAT	0,80	0,140	950	15	0,0571																																												
2.CEMENTNI MALTER	4,00	1,400	2100	30	0,0286																																												
3.BETON SA KAMENIM AGR.	10,00	2,330	2500	90	0,0429																																												
4.HIDROIZOLACIJA	1,00	0,190	1000	14000	0,0526																																												
Prelaženje topline					0,0000																																												
Ukupni otpor					0,351																																												
Površinski kokoefficijenat prolaza topline U [W/(m ² K)]	2,847																																																

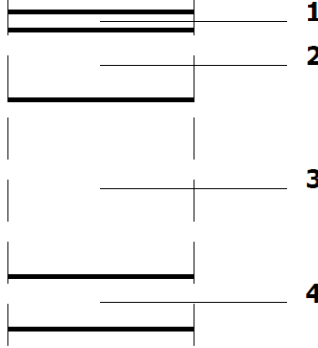
⁹⁵ Ovde je prikazana ilustracija (veličina, orientacija i oprema crteža se može razlikovati)

3.1.8 POD NA TLU PNT

3.1.8.1 Sastav, ilustracija

Broj	8
Oznaka	PNT-2
Ilustracija položaja u zgradi ⁹⁶	 <p>OSNOVA PRIZELJJA PNT-2</p>  <p>OSNOVA SPRATA PNT-2</p>
Površina [m ²]	185,59 m ²

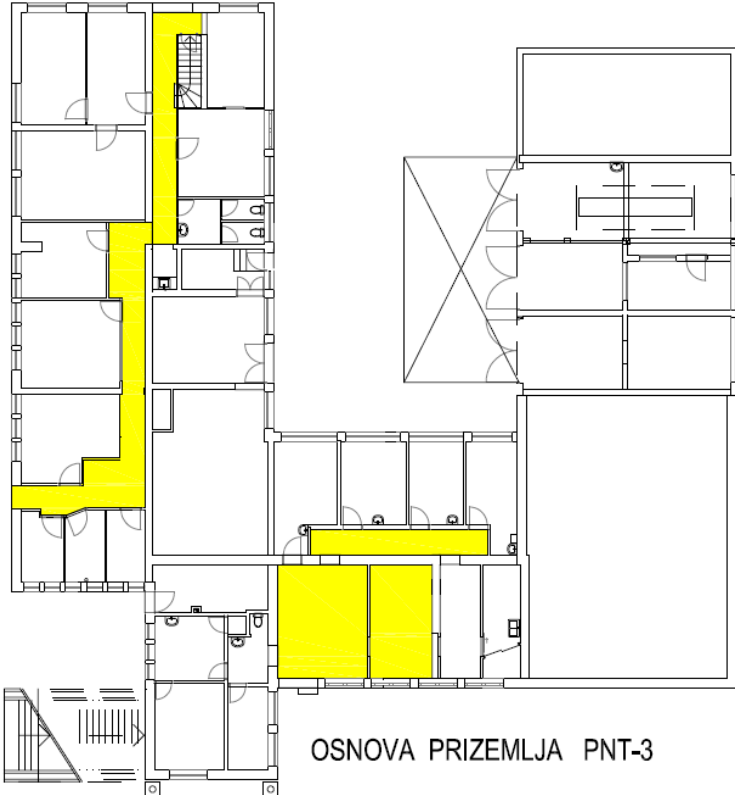
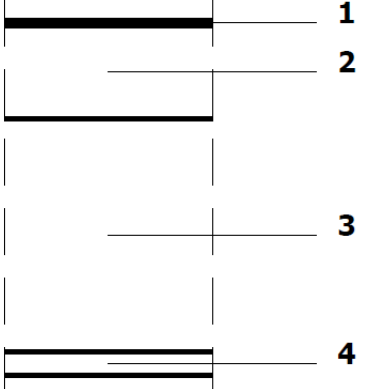
⁹⁶ Ova opcija nije obavezna

Skica sklopa ⁹⁷	 <p>1 2 3 4</p> <p>1 KERAMIČKE PLOČICE-PODNE 2 CEMENTNI MALTER 3 AB - PLOČA 4 HIDROIZOLACIJA</p>																																																
Sastav sklopa	<table border="1"> <thead> <tr> <th>Naziv građevinskog sloja</th> <th>δ [cm]</th> <th>λ [W/mK]</th> <th>ρ [kg/m³]</th> <th>μ [-]</th> <th>R [(m².K)/W]</th> </tr> </thead> <tbody> <tr> <td>Prelaženje topline</td> <td></td> <td></td> <td></td> <td></td> <td>0,1700</td> </tr> <tr> <td>1.KERAMIČKE PLOČICE</td> <td>0,80</td> <td>1,280</td> <td>2300</td> <td>200</td> <td>0,0063</td> </tr> <tr> <td>2.CEMENTNI MALTER</td> <td>4,00</td> <td>1,400</td> <td>2100</td> <td>30</td> <td>0,0286</td> </tr> <tr> <td>3.BETON SA KAMENIM AGR.</td> <td>10,0</td> <td>2,330</td> <td>2500</td> <td>90</td> <td>0,0429</td> </tr> <tr> <td>4.HIDROIZOLACIJA</td> <td>1,00</td> <td>0,190</td> <td>1000</td> <td>14000</td> <td>0,0526</td> </tr> <tr> <td>Prelaženje topline</td> <td></td> <td></td> <td></td> <td></td> <td>0,0000</td> </tr> <tr> <td>Ukupni otpor</td> <td></td> <td></td> <td></td> <td></td> <td>0,300</td> </tr> </tbody> </table>	Naziv građevinskog sloja	δ [cm]	λ [W/mK]	ρ [kg/m ³]	μ [-]	R [(m ² .K)/W]	Prelaženje topline					0,1700	1.KERAMIČKE PLOČICE	0,80	1,280	2300	200	0,0063	2.CEMENTNI MALTER	4,00	1,400	2100	30	0,0286	3.BETON SA KAMENIM AGR.	10,0	2,330	2500	90	0,0429	4.HIDROIZOLACIJA	1,00	0,190	1000	14000	0,0526	Prelaženje topline					0,0000	Ukupni otpor					0,300
Naziv građevinskog sloja	δ [cm]	λ [W/mK]	ρ [kg/m ³]	μ [-]	R [(m ² .K)/W]																																												
Prelaženje topline					0,1700																																												
1.KERAMIČKE PLOČICE	0,80	1,280	2300	200	0,0063																																												
2.CEMENTNI MALTER	4,00	1,400	2100	30	0,0286																																												
3.BETON SA KAMENIM AGR.	10,0	2,330	2500	90	0,0429																																												
4.HIDROIZOLACIJA	1,00	0,190	1000	14000	0,0526																																												
Prelaženje topline					0,0000																																												
Ukupni otpor					0,300																																												
Površinski kokoefficijenat prolaza topline U [W/(m ² K)]	3,329																																																

⁹⁷ Ovde je prikazana ilustracija (veličina, orientacija i oprema crteža se može razlikovati)

3.1.9 POD NA TLU PNT

3.1.9.1 Sastav, ilustracija

Broj	9
Oznaka	PNT-3
Ilustracija položaja u zgradi ⁹⁸	 <p>OSNOVA PRIZEMLJA PNT-3</p>
Površina [m ²]	134,84 m ²
Skica sklopa ⁹⁹	 <p> 1 2 3 4 </p> <p> 1 PVC, HOMOGENI 2 CEMENTNI MALTER 3 AB - PLOČA 4 HIDROIZOLACIJA </p>

⁹⁸ Ova opcija nije obavezna

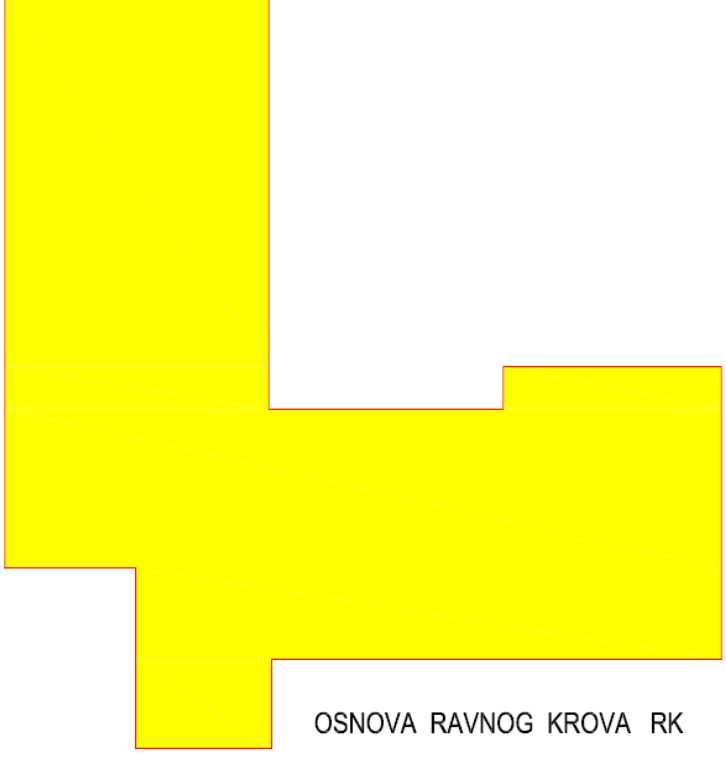
⁹⁹ Ovdje je prikazana ilustracija (veličina, orientacija i oprema crteža se može razlikovati)

Sastav sklopa	Naziv građevinskog sloja	δ [cm]	λ [W/mK] []	ρ [kg/m ³]	μ [-]	R [(m ² .K)/W]
Prelaženje toplote						0,1700
1.PVC	0,20	0,230	1400	10000		0,0087
2.CEMENTNI MALTER	4,00	1,400	2100	30		0,0286
3.BETON SA KAMENIM AGR.	10,0	2,330	2500	90		0,0429
4.HIDROIZOLACIJA	1,00	0,190	1000	14000		0,0526
Prelaženje toplote						0,0000
Ukupni otpor						0,303

Površinski kokoefficijenat prolaza topline U [W/(m ² K)]	3,302
---	-------

3.1.10 RAVAN KROV IZNAD GREJANOG PROSTORA

3.1.10.1 Sastav, ilustracija

Broj	10
Oznaka	RK
Ilustracija položaja u zgradji ¹⁰⁰	 <p>The diagram shows a cross-section of a building's floor slab. The slab is thick and rectangular, with a central rectangular cutout at the bottom right corner. This cutout is further divided into two smaller rectangular sections. The entire slab is highlighted in yellow. Below the slab, there are vertical lines representing columns and a horizontal line representing the ground level. The text 'OSNOVA RAVNOG KROVA RK' is located at the bottom right of the slab area.</p>
Površina [m ²]	666,96 m ²

¹⁰⁰ Ova opcija nije obavezna

Sastav sklopa	<table border="1"> <thead> <tr> <th>Naziv građevinskog sloja</th><th>δ [cm]</th><th>λ [W/mK]</th><th>ρ [kg/m³]</th><th>μ [-]</th></tr> </thead> <tbody> <tr> <td>1.MALTER NATRSCI</td><td>3,00</td><td>0,810</td><td>1600</td><td>20</td></tr> <tr> <td>2.DRVENE LETVE</td><td>2,50</td><td>0,160</td><td>468</td><td>3</td></tr> <tr> <td>3.SLOJ VAZDUHA</td><td>25,0</td><td>1,364</td><td>1</td><td>1</td></tr> <tr> <td>4.BETON SA KAMENIM AGREGATIMA</td><td>10,0</td><td>2,330</td><td>2500</td><td>90</td></tr> <tr> <td>5.PERLIT MALTER</td><td>10,0</td><td>0,130</td><td>500</td><td>4</td></tr> <tr> <td>6.HIDROIZOLACIJA</td><td>0,20</td><td>0,190</td><td>1200</td><td>14000</td></tr> </tbody> </table>					Naziv građevinskog sloja	δ [cm]	λ [W/mK]	ρ [kg/m ³]	μ [-]	1.MALTER NATRSCI	3,00	0,810	1600	20	2.DRVENE LETVE	2,50	0,160	468	3	3.SLOJ VAZDUHA	25,0	1,364	1	1	4.BETON SA KAMENIM AGREGATIMA	10,0	2,330	2500	90	5.PERLIT MALTER	10,0	0,130	500	4	6.HIDROIZOLACIJA	0,20	0,190	1200	14000
Naziv građevinskog sloja	δ [cm]	λ [W/mK]	ρ [kg/m ³]	μ [-]																																				
1.MALTER NATRSCI	3,00	0,810	1600	20																																				
2.DRVENE LETVE	2,50	0,160	468	3																																				
3.SLOJ VAZDUHA	25,0	1,364	1	1																																				
4.BETON SA KAMENIM AGREGATIMA	10,0	2,330	2500	90																																				
5.PERLIT MALTER	10,0	0,130	500	4																																				
6.HIDROIZOLACIJA	0,20	0,190	1200	14000																																				
Skica sklopa ¹⁰¹	<p style="text-align: center;"> e ————— ————— ————— ————— ————— ————— i ————— ————— ————— ————— ————— ————— 6 5 4 3 2 1 </p> <p style="text-align: right;"> 1 MALTER NA TRSCI 2 DRVENE LETVE 3 SLOJ VAZDUHA 4 AB - PLOČA 5 PERLIT MALTER 6 HIDROIZOLACIJA </p>																																							
Ventilisanost sklopa	NIJE VENTILISAN																																							
Parametri ventilisanosti	-																																							

3.1.10.2 Prolaz toplote i polje temperature

Tabelarni prikaz	Opis	λ [W/mK]	R [(m ² ·K)/W]	$\Delta\theta$ [°C]	θ [°C]
Unutra					22,00
Prelaženje			0,1000	2,59	19,41
1.MALTER NATRSCI	0,810	0,0370	0,96	18,45	
2.DRVENE LETVE	0,160	0,1563	4,04	14,41	
3.SLOJ VAZDUHA	1,364	0,1833	4,74	9,67	
4.BETON SA KAMENIM AGREGATIMA	2,330	0,0215	0,56	9,11	
5.PERLIT MALTER	0,130	0,7692	19,19	-10,79	
6.HIDROIZOLACIJA	0,190	0,0105	0,27	-11,06	
Prelaženje topline			0,0400	1,04	-11,06
Spolja					-12,10
Ukupni otpor			1,318		

¹⁰¹ Ovde je prikazana ilustracija (veličina, orientacija i oprema crteža se može razlikovati)

Grafik temperatura ¹⁰²	<p>t (°C)</p> <p>-12,1 22,0</p> <p>d (cm)</p> <p>0,0 45,70</p>
Površ. koeficijenat prolaza toplove $U [W/(m^2K)]$	0,759

3.1.10.3 Difuzija vodene pare i isušenje

Tabelarni prikaz	<table border="1"> <thead> <tr> <th>Opis</th><th>μ [-]</th><th>$\Delta\theta$ [°C]</th><th>θ [°C]</th><th>p' [Pa]</th><th>p_s [Pa]</th></tr> </thead> <tbody> <tr> <td>Unutra</td><td></td><td></td><td>22,00</td><td>2640</td><td></td></tr> <tr> <td>Prelaženje</td><td></td><td>2,05</td><td>19,95</td><td>2328</td><td>1452</td></tr> <tr> <td>1.MALTER NATRSCI</td><td>20</td><td>0,76</td><td>19,19</td><td>2221</td><td>1442</td></tr> <tr> <td>2.DRVENE LETVE</td><td>3</td><td>3,20</td><td>15,99</td><td>1815</td><td>1440</td></tr> <tr> <td>3.SLOJ VAZDUHA</td><td>1</td><td>3,75</td><td>12,24</td><td>1423</td><td>1432</td></tr> <tr> <td>4.BETON SA KAMENIM AGREGATIMA</td><td>90</td><td>0,44</td><td>11,80</td><td>1382</td><td>1285</td></tr> <tr> <td>5.PERLIT MALTER</td><td>4</td><td>15,76</td><td>-3,96</td><td>438</td><td>1272</td></tr> <tr> <td>6.HIDROIZOLACIJA</td><td>14000</td><td>0,22</td><td>-4,18</td><td>430</td><td>361</td></tr> <tr> <td>Prelaženje toplove</td><td></td><td>0,82</td><td>-4,18</td><td>430</td><td>361</td></tr> <tr> <td>Spolja</td><td></td><td></td><td>-5,00</td><td>401</td><td></td></tr> </tbody> </table>	Opis	μ [-]	$\Delta\theta$ [°C]	θ [°C]	p' [Pa]	p_s [Pa]	Unutra			22,00	2640		Prelaženje		2,05	19,95	2328	1452	1.MALTER NATRSCI	20	0,76	19,19	2221	1442	2.DRVENE LETVE	3	3,20	15,99	1815	1440	3.SLOJ VAZDUHA	1	3,75	12,24	1423	1432	4.BETON SA KAMENIM AGREGATIMA	90	0,44	11,80	1382	1285	5.PERLIT MALTER	4	15,76	-3,96	438	1272	6.HIDROIZOLACIJA	14000	0,22	-4,18	430	361	Prelaženje toplove		0,82	-4,18	430	361	Spolja			-5,00	401	
Opis	μ [-]	$\Delta\theta$ [°C]	θ [°C]	p' [Pa]	p_s [Pa]																																																														
Unutra			22,00	2640																																																															
Prelaženje		2,05	19,95	2328	1452																																																														
1.MALTER NATRSCI	20	0,76	19,19	2221	1442																																																														
2.DRVENE LETVE	3	3,20	15,99	1815	1440																																																														
3.SLOJ VAZDUHA	1	3,75	12,24	1423	1432																																																														
4.BETON SA KAMENIM AGREGATIMA	90	0,44	11,80	1382	1285																																																														
5.PERLIT MALTER	4	15,76	-3,96	438	1272																																																														
6.HIDROIZOLACIJA	14000	0,22	-4,18	430	361																																																														
Prelaženje toplove		0,82	-4,18	430	361																																																														
Spolja			-5,00	401																																																															
Grafik ¹⁰³	<p>p (kPa)</p> <p>P'</p> <p>pi</p> <p>r (m)</p> <p>0.0 33,53</p>																																																																		
Proračun kondenzacije ¹⁰⁴	<p>Na unutrašnjoj površini nema orošavanja – pri $\Theta_e=-12,1^\circ\text{C}$ i $\Theta_i=22^\circ\text{C}$ kondenzacija na unutrašnjoj površini će se pojaviti pri vlažnosti od 85,3%</p> <p>-Temperatura na unutrašnjoj površini $\Theta_1=19,4^\circ\text{C}$</p> <p>- Minimalna dozvoljena temperatura na unutrašnjoj površini $\Theta_d=12,5^\circ\text{C}$</p>																																																																		
Vreme isušenja	Do pojave kondenzacije dolazi u zoni 4																																																																		

¹⁰² Ovde je prikazana ilustracija (veličina, orijentacija i oprema crteža se može razlikovati)

¹⁰³ Ovde je prikazana ilustracija (veličina, orijentacija i oprema crteža se može razlikovati)

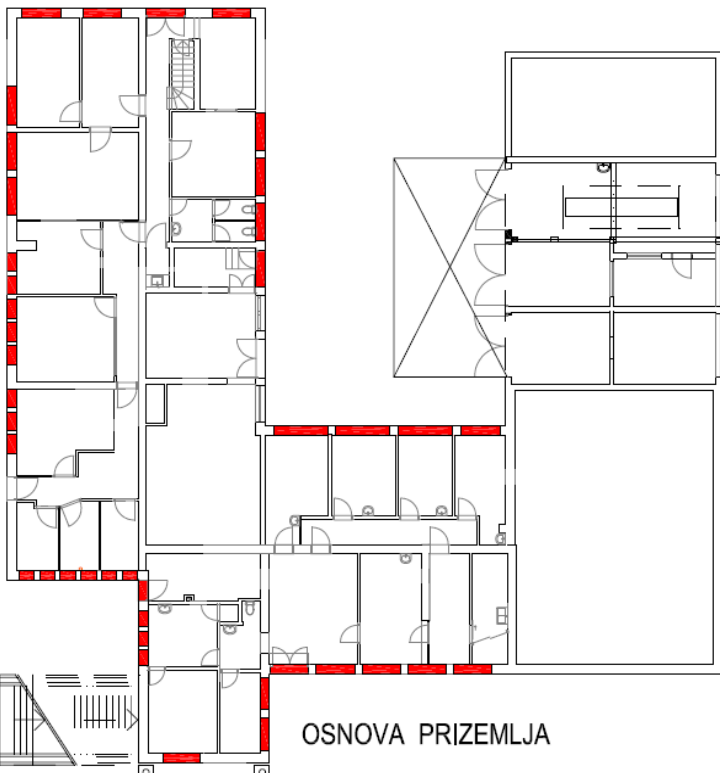
¹⁰⁴ U skladu sa poglavljem 3.3 Pravilnika o energetskoj efikasnosti zgrada

	<ul style="list-style-type: none"> - Gustina difuzijskog toka vodene pare koji ulazi u konstrukciju $0,031 \text{ g/m}^2\text{h}$ - Gustina difuzijskog toka vodene pare koji izlazi iz konstrukcije $0,002 \text{ g/m}^2\text{h}$ - Količina kondenzovane vodene pare $0,029 \text{ g/m}^2$ - Količina kondenzata posle 60 dana vlaženja $42,022 \text{ g/m}^2$ - Potrebno vreme za isušenje 2,880 dana - Najveće dozvoljeno vreme isušenja 90 dana <p>KONSTRUKCIJA NE ZADOVOLJAVA</p>
--	--

3.1.10.4 Letnja stabilnost¹⁰⁵

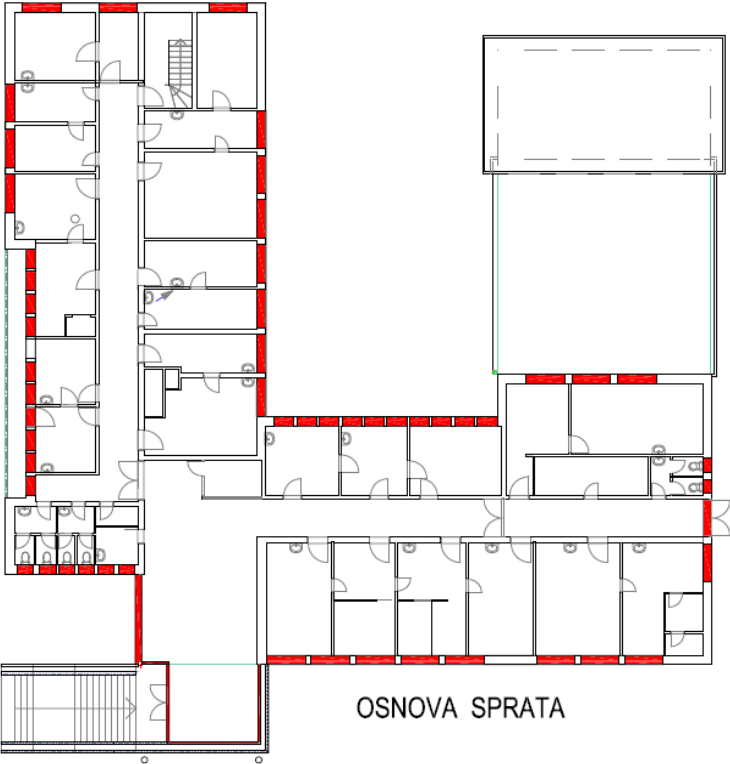
	Vrednost	Minimum	Zadovoljava
Faktor prigušenja amplitude oscilacije temperature v [-]	43,333	25	Da
Faktor kašnjenja oscilacije temperature η [h]	$v > 45$	7	Da

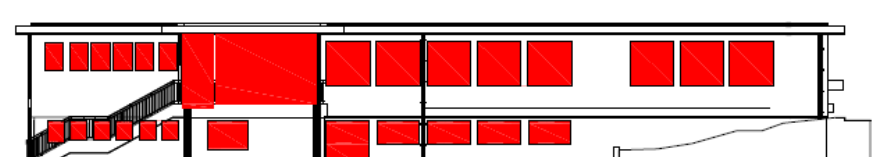
3.1.11 Prozori ,ulazna vrata

Broj	1
Oznaka	PS ,VB,Vs i P
Ilustracija položaja u zgradi ¹⁰⁶	

¹⁰⁵ Prema poglaviju 3.2 Pravilnika o energetskoj efikasnosti zgrada

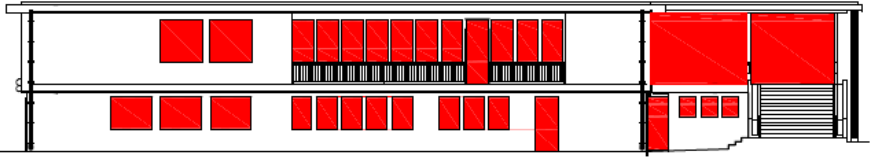
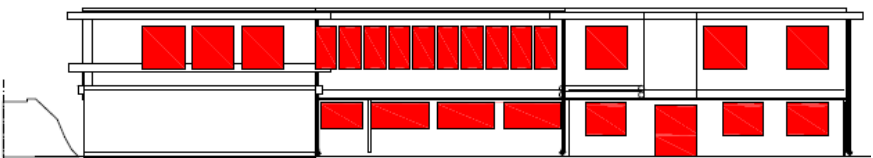
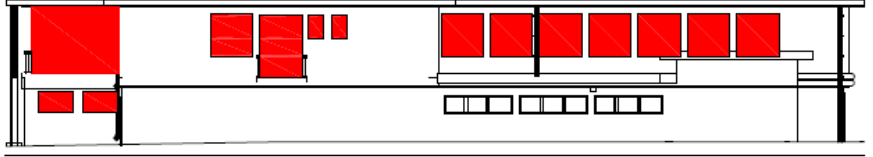
¹⁰⁶ Ova opcija nije obavezna

	
Površina (m ²)	244,28
Opis	Postojeći drveni i PVC prozori se menjaju PVC prozorima sa šestokomornim ramom i zastakljenjem Clima Guard Solar 4+16+4 a portalni koji su izrađeni od čeličnih profila menjaju se aluminijumskim poboljšanim profilima i zastakljenjem Clima Guard Solar 4+16+4
Koefficijenat prolaza toplove U [W/(m ² K)]	KOEFIČIJENTI PROLAZA TOPLOTE PROZORA BALKONSKIH I SPOLJNIH VRATA DATI SU POJEDINAČNO DETALJNO

Segmenti pozicije u odnosu na orijentaciju prema stranama sveta ¹⁰⁷		
	Površina [m ²]	Ilustracija ¹⁰⁸
Ka severu	65,68	 SEVERNA FASADA

¹⁰⁷ Podela izvršena zbog izračunavanja solarnih dobitaka

¹⁰⁸ Ova opcija nije obavezna

Ka istoku	80,06	 ISTOČNA FASADA
Ka jugu	46,48	 JUŽNA FASADA
Ka zapadu	52,06	 ZAPADNA FASADA

U sledećem prilogu date su geometrijske karakteristike prozora i spoljnih vrata od stakla koje su neophodne za izračunavanje koeficijenta prolaza toplote:

- Površina stakla A_g
- Površina okvira A_f
- Ukupna površina prozora A_w i
- Obim stakla l_g

Koeficijent prolaska toplote transparentnih građevinskih elemenata U_w je računat prema standardu SRPS EN ISO 10077-1 i sledećem obrascu:

$$U_w = \frac{A_g \times U_g + A_f \times U_f + l_g \times \psi_g}{A_g + A_f}$$

 PROZOR PS-1 $Ag=0,40m^2$ $Af=0,22m^2$ $Aw=0,62m^2$ $lg=2,54m$	 PROZOR PS-2 $Ag=1,09m^2$ $Af=0,85m^2$ $Aw=1,94m^2$ $lg=5,96m$	 PROZOR PS-3 $Ag=0,86m^2$ $Af=0,85m^2$ $Aw=1,71m^2$ $lg=5,24m$
 PROZOR PS-4 $Ag=2,56m^2$ $Af=0,85m^2$ $Aw=3,42m^2$ $lg=12,80m$	 PROZOR PS-5 $Ag=0,65m^2$ $Af=0,27m^2$ $Aw=0,92m^2$ $lg=3,32m$	 PROZOR PS-6 $Ag=1,58m^2$ $Af=1,03m^2$ $Aw=2,61m^2$ $lg=7,40m$
 PROZOR PS-8 $Ag=1,29m^2$ $Af=0,45m^2$ $Aw=1,74m^2$ $lg=6,42m$	 PROZOR PS-9 $Ag=1,60m^2$ $Af=1,01m^2$ $Aw=2,61m^2$ $lg=7,48m$	 PROZOR PS-10 $Ag=2,16m^2$ $Af=0,80m^2$ $Aw=2,96m^2$ $lg=11,40m$
 PROZOR PS-11 $Ag=1,50m^2$ $Af=0,62m^2$ $Aw=2,12m^2$ $lg=8,52m$	 PROZOR PS-12 $Ag=0,88m^2$ $Af=0,87m^2$ $Aw=1,75m^2$ $lg=5,32m$	 PROZOR PS-13 $Ag=0,37m^2$ $Af=0,30m^2$ $Aw=0,67m^2$ $lg=2,44m$
 PROZOR PS-14 $Ag=0,73m^2$ $Af=0,72m^2$ $Aw=1,45m^2$ $lg=4,88m$	 PROZOR PS-15 $Ag=0,35 m^2$ $Af=0,30 m^2$ $Aw=0,65 m^2$ $lg=2,46 m$	 VRATA VB $Ag=1,07m^2$ $Af=1,46m^2$ $Ad=2,53m^2$ $lg=6,00m$
 VRATA VS-1 $Ag=2,04m^2$ $Af=1,46m^2$ $Ad=3,50m^2$ $lg=9,28m$	 VRATA VS-2 $Ag=0,86m^2$ $Af=1,52m^2$ $Ad=2,38m^2$ $lg=5,46m$	 VRATA VS-3 $Ag=0,76m^2$ $Af=1,41m^2$ $Ad=2,17m^2$ $lg=5,10m$
 VRATA VS-4 $Ag=0,61m^2$ $Af=1,21m^2$ $Ad=1,82m^2$ $lg=4,58m$	 VRATA VS-5 $Ag=2,27m^2$ $Af=2,81m^2$ $Ad=5,08m^2$ $lg=12,28m$	
 PORTAL P-1 $Ag=2,10m^2$ $Af=1,95m^2$ $Ad=4,05m^2$ $lg=8,24m$	 PORTAL P-2 $Ag=7,18m^2$ $Af=5,55m^2$ $Ad=12,73m^2$ $lg=34,06m$	 PORTAL P-3 $Ag=7,14m^2$ $Af=6,30m^2$ $Ad=13,44m^2$ $lg=33,98m$
 PORTAL P-4 $Ag=6,21m^2$ $Af=5,66m^2$ $Ad=11,87m^2$ $lg=25,93m$	 PORTAL P-5 $Ag=6,43m^2$ $Af=4,67m^2$ $Ad=11,10m^2$ $lg=24,98m$	

Prozor PS-1 071, x 0,88 m,		kom=9,	A=5,58 m ²
Površina prozora	Aw	m ²	0,62
Površina stakla	Ag	m ²	0,40
Obim stakla	lg	m	2,54
Koef.prolaza toplotne stakla	Ug	W/m ² K	3,00
Površina rama	Af	m ²	0,22
Koef.prolaza toplotne rama	Uf	W/m ² K	1,30
Koeficijent korekcije	Ψ	W/m ² K	0,04
Koef.prolaza toplotne prozora	Uw	W/mK	2,56

Faktor rama: 0,22 / 0,62 = 0,35

Prozor PS-2 1,73 x 1126 m,		kom=1,	A=1,94m ²
Površina prozora	Aw	m ²	1,94
Površina stakla	Ag	m ²	1,09
Obim stakla	lg	m	5,96
Koef.prolaza toplotne stakla	Ug	W/m ² K	3,00
Površina rama	Af	m ²	0,85
Koef.prolaza toplotne rama	Uf	W/m ² K	1,30
Koeficijent korekcije	Ψ	W/m ² K	0,04
Koef.prolaza toplotne prozora	Uw	W/mK	2,38

Faktor rama: 0,85 / 1,94 = 0,44

Prozor PS-3 1,8 x 0,95 m,		kom=4,	A=6,84 m ²
Površina prozora	Aw	m ²	1,71
Površina stakla	Ag	m ²	0,86
Obim stakla	lg	m	5,24
Koef.prolaza toplotne stakla	Ug	W/m ² K	3,00
Površina rama	Af	m ²	0,85
Koef.prolaza toplotne rama	Uf	W/m ² K	1,30
Koeficijent korekcije	Ψ	W/m ² K	0,04
Koef.prolaza toplotne prozora	Uw	W/mK	2,28

Faktor rama: 0,85 / 1,71 = 0,50

Prozor PS-4 1,85 x 1,85 m, kom=21, A=71,82 m²			
Površina prozora	Aw	m ²	3,42
Površina stakla	Ag	m ²	2,56
Obim stakla	lg	m	12,80
Koef.prolaza toplotne stakla	Ug	W/m ² K	3,00
Površina rama	Af	m ²	0,86
Koef.prolaza toplotne rama	Uf	W/m ² K	1,60
Koeficijent korekcije	Ψ	W/m ² K	0,04
Koef.prolaza toplotne prozora	Uw	W/mK	2,80

Faktor rama: 0,86 / 3,42 = 0,25

Prozor PS-5 0,78 x 1,18 m, kom=6, A=5,52m²			
Površina prozora	Aw	m ²	0,92
Površina stakla	Ag	m ²	0,65
Obim stakla	lg	m	3,32
Koef.prolaza toplotne stakla	Ug	W/m ² K	3,00
Površina rama	Af	m ²	0,27
Koef.prolaza toplotne rama	Uf	W/m ² K	1,60
Koeficijent korekcije	Ψ	W/m ² K	0,04
Koef.prolaza toplotne prozora	Uw	W/mK	2,73

Faktor rama: 0,27 / 0,92 = 0,29

Prozor PS-6 1,8 x 1,65 m, kom=3, A=7,83 m²			
Površina prozora	Aw	m ²	2,61
Površina stakla	Ag	m ²	1,58
Obim stakla	lg	m	7,40
Koef.prolaza toplotne stakla	Ug	W/m ² K	3,00
Površina rama	Af	m ²	1,03
Koef.prolaza toplotne rama	Uf	W/m ² K	1,30
Koeficijent korekcije	Ψ	W/m ² K	0,04
Koef.prolaza toplotne prozora	Uw	W/mK	2,44

Faktor rama: 1,03 / 2,61 = 0,39

Prozor PS-7 0,89 x 1,45m,		kom=8,	A=10,32 m ²
Površina prozora	Aw	m ²	1,29
Površina stakla	Ag	m ²	0,94
Obim stakla	lg	m	2,66
Koef.prolaza toplotne stakla	Ug	W/m ² K	3,00
Površina rama	Af	m ²	0,37
Koef.prolaza toplotne rama	Uf	W/m ² K	1,30
Koeficijent korekcije	Ψ	W/m ² K	0,04
Koef.prolaza toplotne prozora	Uw	W/mK	2,66

Faktor rama: 0,37 / 1,29 = 0,27

Prozor PS-8 0,94 x 1,85 m, kom=20,		A=34,80m ²	
Površina prozora	Aw	m ²	1,74
Površina stakla	Ag	m ²	1,29
Obim stakla	lg	m	6,42
Koef.prolaza toplotne stakla	Ug	W/m ² K	3,00
Površina rama	Af	m ²	0,45
Koef.prolaza toplotne rama	Uf	W/m ² K	1,60
Koeficijent korekcije	Ψ	W/m ² K	0,04
Koef.prolaza toplotne prozora	Uw	W/mK	2,79

Faktor rama: 0,45 / 1,74 = 0,26

Prozor PS-9 1,8 x 1,45 m, kom=3,		A=7,83 m ²	
Površina prozora	Aw	m ²	2,61
Površina stakla	Ag	m ²	1,60
Obim stakla	lg	m	7,48
Koef.prolaza toplotne stakla	Ug	W/m ² K	3,00
Površina rama	Af	m ²	1,01
Koef.prolaza toplotne rama	Uf	W/m ² K	1,30
Koeficijent korekcije	Ψ	W/m ² K	0,04
Koef.prolaza toplotne prozora	Uw	W/mK	2,46

Faktor rama: 0,77 / 6,00 = 0,39

Prozor PS-10 2,55 x 1,16 m, kom=3, A=8,88 m²			
Površina prozora	Aw	m ²	2,96
Površina stakla	Ag	m ²	2,16
Obim stakla	lg	m	11,40
Koef.prolaza toplotne stakla	Ug	W/m ² K	3,00
Površina rama	Af	m ²	0,80
Koef.prolaza toplotne rama	Uf	W/m ² K	1,60
Koeficijent korekcije	Ψ	W/m ² K	0,04
Koef.prolaza toplotne prozora	Uw	W/mK	2,78

Faktor rama: 0,80 / 2,96 = 0,27

Prozor PS-11 1,83 x 1,16 m, kom=1, A=2,12m²			
Površina prozora	Aw	m ²	2,12
Površina stakla	Ag	m ²	1,50
Obim stakla	lg	m	8,52
Koef.prolaza toplotne stakla	Ug	W/m ² K	3,00
Površina rama	Af	m ²	0,62
Koef.prolaza toplotne rama	Uf	W/m ² K	1,60
Koeficijent korekcije	Ψ	W/m ² K	0,04
Koef.prolaza toplotne prozora	Uw	W/mK	2,75

Faktor rama: 0,62 / 2,12 = 0,29

Prozor PS-12 1,8 x 0,97 m, kom=1, A=5,25 m²			
Površina prozora	Aw	m ²	1,75
Površina stakla	Ag	m ²	0,88
Obim stakla	lg	m	5,32
Koef.prolaza toplotne stakla	Ug	W/m ² K	3,00
Površina rama	Af	m ²	0,87
Koef.prolaza toplotne rama	Uf	W/m ² K	1,60
Koeficijent korekcije	Ψ	W/m ² K	0,08
Koef.prolaza toplotne prozora	Uw	W/mK	2,43

Faktor rama: 0,87 / 1,75 = 0,50

Prozor PS-13 0,83 x 0,81 m,		kom=1,	
A=0,67 m ²			
Površina prozora	Aw	m ²	0,67
Površina stakla	Ag	m ²	0,37
Obim stakla	lg	m	3,00
Koef.prolaza toplote stakla	Ug	W/m ² K	1,60
Površina rama	Af	m ²	0,30
Koef.prolaza toplote rama	Uf	W/m ² K	6,00
Koeficijent korekcije	Ψ	W/m ² K	0,00
Koef.prolaza toplote prozora	Uw	W/mK	4,34

Faktor rama: 0,30 / 0,67 = 0,45

Prozor PS-14 1,53 x 0,95 m,		kom=2,	
A=2,90m ²			
Površina prozora	Aw	m ²	1,45
Površina stakla	Ag	m ²	0,73
Obim stakla	lg	m	4,88
Koef.prolaza toplote stakla	Ug	W/m ² K	3,00
Površina rama	Af	m ²	0,72
Koef.prolaza toplote rama	Uf	W/m ² K	1,30
Koeficijent korekcije	Ψ	W/m ² K	0,04
Koef.prolaza toplote prozora	Uw	W/mK	2,29

Faktor rama: 0,72 / 1,45 = 0,50

Prozor PS-15 0,65 x 1,0 m,		kom=2,	
A=1,30m ²			
Površina prozora	Aw	m ²	0,65
Površina stakla	Ag	m ²	0,35
Obim stakla	lg	m	4,88
Koef.prolaza toplote stakla	Ug	W/m ² K	3,00
Površina rama	Af	m ²	0,30
Koef.prolaza toplote rama	Uf	W/m ² K	1,30
Koeficijent korekcije	Ψ	W/m ² K	0,04
Koef.prolaza toplote prozora	Uw	W/mK	2,37

Faktor rama: 0,30 / 0,65 = 0,46

Vrata balkonska VB 0,91x 2,78 m, kom=1, A=2,53m²			
Površina vrata	Aw	m ²	2,53
Površina stakla	Ag	m ²	1,07
Obim stakla	lg	m	6,00
Koef.prolaza toplote stakla	Ug	W/m ² K	3,00
Površina rama	Af	m ²	1,46
Koef.prolaza toplote rama	Uf	W/m ² K	1,60
Koeficijent korekcije	Ψ	W/m ² K	0,04
Koef.prolaza toplote vrata	Ud	W/mK	2,29

Faktor rama: 1,46 / 2,53 = 0,58

Vrata spoljna VS-1 1,71 x 2,05 m, kom=1, A=3,50m²			
Površina vrata	Aw	m ²	3,50
Površina stakla	Ag	m ²	2,04
Obim stakla	lg	m	9,28
Koef.prolaza toplote stakla	Ug	W/m ² K	3,00
Površina rama	Af	m ²	1,46
Koef.prolaza toplote rama	Uf	W/m ² K	1,60
Koeficijent korekcije	Ψ	W/m ² K	0,04
Koef.prolaza toplote vrata	Ud	W/mK	2,52

Faktor rama: 1,46 / 3,50 = 0,42

Vrata spoljna VS-2 1,0 x 2,38 m, kom=1, A=2,38m²			
Površina vrata	Aw	m ²	2,38
Površina stakla	Ag	m ²	0,86
Obim stakla	lg	m	5,46
Koef.prolaza toplote stakla	Ug	W/m ² K	3,00
Površina rama	Af	m ²	1,52
Koef.prolaza toplote rama	Uf	W/m ² K	1,30
Koeficijent korekcije	Ψ	W/m ² K	0,04
Koef.prolaza toplote vrata	Ud	W/mK	2,01

Faktor rama: 1,52 / 2,38 = 0,64

Vrata spoljna VS-3 0,91 x 2,38 m,		kom=1,	A=2,17m²
Površina vrata	Aw	m ²	2,17
Površina stakla	Ag	m ²	0,76
Obim stakla	lg	m	5,10
Koef.prolaza toplote stakla	Ug	W/m ² K	3,00
Površina rama	Af	m ²	1,41
Koef.prolaza toplote rama	Uf	W/m ² K	1,30
Koeficijent korekcije	Ψ	W/m ² K	0,04
Koef.prolaza toplote vrata	Ud	W/mK	1,99

Faktor rama: 1,41 / 2,17 = 0,65

Vrata spoljna VS-4 0,78 x 2,34 m,		kom=1,	A=1,82m²
Površina vrata	Aw	m ²	1,82
Površina stakla	Ag	m ²	0,61
Obim stakla	lg	m	4,58
Koef.prolaza toplote stakla	Ug	W/m ² K	3,00
Površina rama	Af	m ²	1,21
Koef.prolaza toplote rama	Uf	W/m ² K	6,00
Koeficijent korekcije	Ψ	W/m ² K	0,00
Koef.prolaza toplote vrata	Ud	W/mK	4,99

Faktor rama: 1,21 / 1,82 = 0,66

Vrata spoljna VS-5 1,85 x 2,75 m,		kom=1,	A=5,09m²
Površina vrata	Aw	m ²	5,09
Površina stakla	Ag	m ²	2,27
Obim stakla	lg	m	12,28
Koef.prolaza toplote stakla	Ug	W/m ² K	3,00
Površina rama	Af	m ²	2,81
Koef.prolaza toplote rama	Uf	W/m ² K	1,30
Koeficijent korekcije	Ψ	W/m ² K	0,04
Koef.prolaza toplote vrata	Ud	W/mK	2,16

Faktor rama: 2,81 / 5,09 = 0,55

Portal P-1 1,29 x 3,14 m,		kom=1,	A=4,05m ²
Površina vrata	Aw	m ²	4,05
Površina stakla	Ag	m ²	2,10
Obim stakla	lg	m	5,24
Koef.prolaza toplotne stakla	Ug	W/m ² K	3,00
Površina rama	Af	m ²	1,95
Koef.prolaza toplotne rama	Uf	W/m ² K	6,00
Koeficijent korekcije	Ψ	W/m ² K	0,00
Koef.prolaza toplotne vrata	Ud	W/mK	4,44

Faktor rama: 1,95 / 4,05 = 0,48

Portal P-2 4,30 x 2,96 m,		kom=1,	A=12,73m ²
Površina vrata	Aw	m ²	12,73
Površina stakla	Ag	m ²	7,18
Obim stakla	lg	m	34,06
Koef.prolaza toplotne stakla	Ug	W/m ² K	3,00
Površina rama	Af	m ²	5,55
Koef.prolaza toplotne rama	Uf	W/m ² K	6,00
Koeficijent korekcije	Ψ	W/m ² K	0,00
Koef.prolaza toplotne vrata	Ud	W/mK	4,31

Faktor rama: 5,55 / 12,73 = 0,44

Portal P-3 4,28 x 3,14 m,		kom=1,	A=13,44m ²
Površina vrata	Aw	m ²	13,44
Površina stakla	Ag	m ²	7,14
Obim stakla	lg	m	33,98
Koef.prolaza toplotne stakla	Ug	W/m ² K	3,00
Površina rama	Af	m ²	6,30
Koef.prolaza toplotne rama	Uf	W/m ² K	6,00
Koeficijent korekcije	Ψ	W/m ² K	0,00
Koef.prolaza toplotne vrata	Ud	W/mK	4,41

Faktor rama: 6,30 / 13,44 = 0,47

Portal P-4 3,78 x 3,14 m,		kom=1,	A=11,87m ²
Površina vrata	Aw	m ²	11,87
Površina stakla	Ag	m ²	6,21
Obim stakla	lg	m	25,93
Koef.prolaza toplotne stakla	Ug	W/m ² K	3,00
Površina rama	Af	m ²	5,66
Koef.prolaza toplotne rama	Uf	W/m ² K	6,00
Koeficijent korekcije	Ψ	W/m ² K	0,00
Koef.prolaza toplotne vrata	Ud	W/mK	4,43

Faktor rama: 5,66 / 11,87 = 0,48

Portal P-5 3,75 x 2,96 m,		kom=1,	A=11,10m ²
Površina vrata	Aw	m ²	11,10
Površina stakla	Ag	m ²	6,43
Obim stakla	lg	m	24,98
Koef.prolaza toplotne stakla	Ug	W/m ² K	3,00
Površina rama	Af	m ²	6,47
Koef.prolaza toplotne rama	Uf	W/m ² K	6,00
Koeficijent korekcije	Ψ	W/m ² K	0,00
Koef.prolaza toplotne vrata	Ud	W/mK	4,26

Faktor rama: 6,47 / 11,10 = 0,42

3.3 Pregled koeficijenata prolaza toplote kroz termički omotač zgrade¹⁰⁹

Položaj	oznaka	U [W/(m ² K)]	U_{max} [W/(m ² K)]	Ispunjeno DA / NE
Spoljni zidovi	SFZ-1	1,213	0,400	NE
Spoljni zidovi	SFZ-2	1,226	0,400	NE
Zid u tlu	ZUT	1,250	0,500	NE
Zid prema negrejanim prostorima	ZNP	1,547	0,550	NE
Međuspratna konstr.iznad negrejanog prostora	MSK-1	1,290	0,400	NE
Međuspratna konstr.iznad negrejanog prostora	MSK-2	1,302	0,400	NE
Pod na tlu	PNT-1	2,847	0,400	NE
Pod na tlu	PNT-2	3,329	0,400	NE
Pod na tlu	PNT-3	3,302	0,400	NE
Ravan krov	RK	0,759	0,200	NE
Prozori spoljni PS	PS-1	2,560	1,500	NE
Prozori spoljni PS	PS-2	2,380	1,500	NE
Prozori spoljni PS	PS-3	2,280	1,500	NE
Prozori spoljni PS	PS-4	2,800	1,500	NE
Prozori spoljni PS	PS-5	2,730	1,500	NE
Prozori spoljni PS	PS-6	2,440	1,500	NE
Prozori spoljni PS	PS-7	2,660	1,500	NE
Prozori spoljni PS	PS-8	2,790	1,500	NE
Prozori spoljni PS	PS-9	2,460	1,500	NE
Prozori spoljni PS	PS-10	2,780	1,500	NE
Prozori spoljni PS	PS-11	2,750	1,500	NE
Prozori spoljni PS	PS-12	2,430	1,500	NE
Prozori spoljni PS	PS-13	4,340	1,500	NE
Prozori spoljni PS	PS-14	2,290	1,500	NE
Prozori spoljni PS	PS-15	2,370	1,500	NE
Vrata balkonska VB	VB	2,290	1,500	NE
Vrata ulazna VS	VS-1	2,520	1,600	NE
Vrata ulazna VS	VS-2	2,010	1,600	NE
Vrata ulazna VS	VS-3	1,990	1,600	NE
Vrata ulazna VS	VS-4	4,990	1,600	NE
Vrata ulazna VS	VS-5	2,160	1,600	NE
Portal P	P-1	4,440	1,800	NE
Portal P	P-2	4,310	1,800	NE
Portal P	P-3	4,410	1,800	NE
Portal P	P-4	4,430	1,800	NE
Portal P	P-5	4,260	1,800	NE

¹⁰⁹ Maksimalne vrednosti koeficijenta prolaza toplote koji su prikazani u tabeli odgovaraju vrednostima za nove zgrade datim u Tabeli 3.4.1.3. Pravilnika o energetskoj efikasnosti zgrada

4.4 PODACI O TERMOTEHNIČKIM SISTEMIMA

4.5 Izvod iz tehničkog opisa

4.5.1 Sistem grejanja¹¹⁰

Za nadoknadu toplotnih gubitaka izvedeno je daljinsko grejanje.

Za sistem grejanja projektovan je dvocevni redijatorski sistem grejanja. Temperaturski režim grejanja je 90-70 °C. Cevna mreža u toplotnoj podstanici izrađena je od čelični bešavnih cevi prema SRPS EN10 220: 2005. Sistem grejanja je preko toplothe podstanice povezan na sistem daljinskog grejanja.

Unutar objekta cevna mreža je izrađena od bešavnih čeličnih cevi. Cevi se vode vidno neposredno uz zidove. Kao grejna tela postavljeni su člankasti aluminijumski radijatori.

Hidrauličko uravnoteživanje vrši se postavljanjem kosih regulacionih ventila na povratne vodove na sabirniku i njihovim postavljanjem u određeni položaj.

Grejana tela se na cevnu mrežu povezuju pomoću radijatorskih ventila i radijatirskih navijaka.

Na svakom grejnom telu ugrađena je odzračna slavina kako bi se radijatori mogli odzračiti pri pojavi vazduha u instalaciji.

4.1.2 Sistem klimatizacije¹¹¹

Projektom je predviđena klimatizacija lokalnim klimatizacionim uređajem.. Spoljne jedinice se postavlja na fasadi objekta. Unutrašnje jedinice su zidnog tipa. Odvod kondenzata predviđen je plastičnim cevima koje su utopljene u zid do oluka.

Upravljanje sistemom klimatizacije se vrši preko daljinskih upravljača koji se isporučuju sa klima uređajima.

4.1.3 Sistem za pripremu STV¹¹²

Projektom je za pripremu STV predviđen lokalni sistem – ugradnja električnih bojlera .Bojleri kao energet za zagrevanje sanitarnе tople vode koriste električnu energiju. .

Podaci o termotehničkim sistemima u zgradi	
Sistem za grejanje (lokalni, etažni, centralni, daljinski)	Daljinski
Toplotni izvor	Fosilno gorivo
Sistem za pripremu STV (lokalni, centralni, daljinski)	Lokalni
Toplotni izvor za STV	El.energija
Sistem za hlađenje (lokalni, etažni, centralni, daljinski)	lokalni
Izvor energije koji se koristi za hlađenje	Električna energija
Ventilacija (prirodna, mehanička, mehanička sa rekuperacijom)	Prirodna
Izvor energije za ventilaciju	-
Vrsta i način korišćenja sistema sa obnovljivim izvorima	-
Udeo OIE u potrebnoj topotli za grejanje i STV [%]	-

¹¹⁰ Sa osvrtom na minimalne tehničke zahteve sadržane u članu 13 Pravilnika o energetskoj efikasnosti zgrada za nove zgrade i prilikom rekonstrukcija sistema grejanja postojećih zgrada

¹¹¹ Sa osvrtom na minimalne tehničke zahteve sadržane u članu 14 i prilogu 7 Pravilnika o energetskoj efikasnosti zgrada za nove zgrade i prilikom rekonstrukcija sistema klimatizacije postojećih zgrada

¹¹² Sa osvrtom na minimalne tehničke zahteve sadržane u članu 15 Pravilnika o energetskoj efikasnosti zgrada za nove zgrade i prilikom rekonstrukcija sistema za pripremu STV postojećih zgrada

4.6 Gubici topline

4.6.1 Faktor oblika zgrade i udeo transparentnih površina

Podaci o zgradbi	
Neto površina grejanog dela zgrade A_f [m ²]	927,68
Zapremina grejanog dela zgrade V_e [m ³]	3874,28
Faktor oblika f_0 [m ⁻¹]	0,55
Udeo transparentnih površina [%]	11,46

4.6.2 Transmisioni gubici topline zgrade H_T [W/K]

4.6.2.1 Površinski transmisioni gubici H_{Ts} [W/K]

Opis građ. elementa	Oznaka	U (W/m ² K)	A(m ²)	Fx	U * A * Fx
Spoljni zidovi	SFZ-1	1,213	231,8	1,0	281,2
Spoljni zidovi	SFZ-2	1,226	290,7	1,0	356,4
Zid u tlu	ZUT	1,250	29,8	0,6	22,35
Zid prema negrejanim prostorima	ZNP	1,547	61,13	0,5	47,28
Međuspratna konstr. iznad negrejanog prostora	MSK-1	1,290	51,90	0,5	33,48
Međuspratna konstr. iznad negrejanog prostora	MSK-2	1,302	24,60	0,5	16,01
Pod na tlu	PNT-1	2,847	241,25	0,5	343,4
Pod na tlu	PNT-2	3,329	167,03	0,5	278,02
Pod na tlu	PNT-3	3,302	121,36	0,5	200,4
Ravan krov	RK	0,759	666,96	1,0	506,22
Prozori spoljni PS	PS-1	2,560	5,58	1,0	14,28
Prozori spoljni PS	PS-2	2,380	1,94	1,0	4,62
Prozori spoljni PS	PS-3	2,280	6,84	1,0	15,59
Prozori spoljni PS	PS-4	2,800	71,82	1,0	201,09
Prozori spoljni PS	PS-5	2,730	5,52	1,0	15,07
Prozori spoljni PS	PS-6	2,440	7,83	1,0	19,10
Prozori spoljni PS	PS-7	2,660	10,32	1,0	27,45
Prozori spoljni PS	PS-8	2,790	34,8	1,0	97,09
Prozori spoljni PS	PS-9	2,460	7,83	1,0	20,36
Prozori spoljni PS	PS-10	2,780	8,88	1,0	24,69
Prozori spoljni PS	PS-11	2,750	2,12	1,0	5,83
Prozori spoljni PS	PS-12	2,430	5,25	1,0	12,76
Prozori spoljni PS	PS-13	4,340	0,67	1,0	2,90
Prozori spoljni PS	PS-14	2,290	2,90	1,0	6,64
Prozori spoljni PS	PS-15	2,370	1,30	1,0	3,08
Vrata balkonska VB	VB	2,290	2,53	1,0	5,79
Vrata ulazna VS	VS-1	2,520	3,50	1,0	8,82
Vrata ulazna VS	VS-2	2,010	2,38	1,0	4,78
Vrata ulazna VS	VS-3	1,990	2,17	1,0	4,32
Vrata ulazna VS	VS-4	4,990	1,82	1,0	9,28
Vrata ulazna VS	VS-5	2,160	5,09	1,0	10,99
Portal P	P-1	4,440	4,05	1,0	17,98
Portal P	P-2	4,310	12,73	1,0	54,87
Portal P	P-3	4,410	13,44	1,0	59,27
Portal P	P-4	4,430	11,87	1,0	52,58
Portal P	P-5	4,260	11,10	1,0	47,29
			2130,81		

4.6.2.2 Linijski transmisioni gubici H_{TB} [W/K]

$$H_{TB} = 0.1 * \Sigma A = 0.1 * 2130,8 = 213,08$$

H_{TB} = 213,08 W/K

4.6.2.3 Ukupni transmisioni gubici H_T [W/K]

$$H_T = H_{TS} + H_{TB} = 2831,28 + 213,08 = 3044,36$$

H_T = 3044,36 W/K

4.6.2.4 Specifični transmisioni gubitak topote zgrade H'_T [W/(m²K)]¹¹³

$$H'_T = H_T / A = 3044,36 / 2130,81 = 1,43$$

H' _T [W/(m ² K)]	H' _{Tmax} [W/(m ² K)] ¹¹⁴	Ispunjeno DA / NE
1,43	0,57	NE

4.6.3 Ventilacioni gubici topote zgrade H_V [W/K]

$$H_V = 0.33 * V * n = 0.33 \text{ Wh/m}^3\text{K} * 2713,84 \text{ m}^3 * 0,5\text{h}^{-1} = 447,78\text{W/K}$$

Zapremina grejanog prostora V [m ³]	2713,84
Zaptivenost prozora	dobra
Broj izmena vazduha n [h ⁻¹]	0,5
Koeficijent ventilacionog gubitka [kW/K]	0,447

4.6.4 Ukupni gubici topote

Podaci o gubicima topote	[kW]
Transmisioni gubici kroz netransparentni deo omotača zgrade	78,36
Transmisioni gubici kroz prozore i vrata	25,46
Ventilacioni gubici kroz prozore i vrata	15,27
Ukupni gubici topote	119,09

4.7 Ulagni podaci za proračun dobitaka topote

4.7.1 Orijentacija i površina pozicija

A(m ²)	SFZ-1	SFZ-2	RK	PR,VB,
Sever	56,66	62,60		65,68
Istok	85,23	68,97	-	80,06
Jug	48,55	82,40	-	46,48
Zapad	41,36	76,76	-	52,06
Horiz.	-	-	666,96	

¹¹³ Određuje se prema odeljku 3.4.2.3. Pravilnika o energetskoj efikasnosti.

¹¹⁴ Maksimalne dozvoljene vrednosti specifičnog transmisionog gubitka topote zgrede ili dela zgrade H'_T [W/(m²K)] date su u tabeli 3.4.2.3.1. Pravilnika o energetskoj efikasnosti zgrada

4.7.2 Ulazni podaci za proračun dobitaka od Sunčevog zračenja

SEVERNA FASADA

Faktor osenčenosti ¹¹⁵ F_{sh}	1,0
Faktor propustljivosti Sunčevog zračenja za staklo $g_{,gl}$	0,62
Faktor rama F_{fr}	0,34
Emisivnost spoljne površine zida $\alpha_{,sc}$	0,6
Otpor prelazu topline za spoljnu stranu zida $R_{s,c}$	0,04

ISTOČNA FASADA

Faktor osenčenosti ¹¹⁶ F_{sh}	0,90
Faktor propustljivosti Sunčevog zračenja za staklo $g_{,gl}$	0,62
Faktor rama F_{fr}	0,33
Emisivnost spoljne površine zida $\alpha_{,sc}$	0,6
Otpor prelazu topline za spoljnu stranu zida $R_{s,c}$	0,04

JUŽNA FASADA

Faktor osenčenosti ¹¹⁷ F_{sh}	1,0
Faktor propustljivosti Sunčevog zračenja za staklo $g_{,gl}$	0,62
Faktor rama F_{fr}	0,30
Emisivnost spoljne površine zida $\alpha_{,sc}$	0,6
Otpor prelazu topline za spoljnu stranu zida $R_{s,c}$	0,04

ZAPADNA FASADA

Faktor osenčenosti ¹¹⁸ F_{sh}	0,90
Faktor propustljivosti Sunčevog zračenja za staklo $g_{,gl}$	0,62
Faktor rama F_{fr}	0,41
Emisivnost spoljne površine zida $\alpha_{,sc}$	0,6
Otpor prelazu topline za spoljnu stranu zida $R_{s,c}$	0,04

4.3.3 Ulazni podaci za proračun dobitaka topline od unutrašnjih izvora¹¹⁹

Odavanje topline ljudi Q_{lj} [W/m ²]	2,7
Dobitak od el. uređaja q_{el} [kWh/m ²]	30
Prisutnost tokom dana [h]	16

¹¹⁵ Na osnovu tabele 6.6 iz Pravilnika o Energetskoj efikasnosti

¹¹⁶ Na osnovu tabele 6.6 iz Pravilnika o Energetskoj efikasnosti

¹¹⁷ Na osnovu tabele 6.6 iz Pravilnika o Energetskoj efikasnosti

¹¹⁸ Na osnovu tabele 6.6 iz Pravilnika o Energetskoj efikasnosti

¹¹⁹ Podaci za proračun dobitaka topline od unutrašnjih izvora dati su u tabeli 6.5. Pravilnika o Energetskoj efikasnosti:

5.0 PODACI O SISTEMU GREJANJA I NAČINU REGULACIJE

Podaci o sistemu grejanja	
Uređaj koji se koristi kao izvor (kotao, topotna podstanica, topotna pumpa)	Topotna podstanica
Instalisani kapacitet [kW]	200 kW
Efikasnost, stepen korisnosti [%]	92
Godina ugradnje	-
Energent	Fosilno gorivo (daljinsko grejanje)
Donja topotna moć [kWh/kg] [kWh/m ³]	-
Emisija CO ₂ [kg/m ² a]	14 329

Podaci o načinu regulacije	
Automatska regulacija rada kotla/izvora (da / ne)	DA
Centralna regulacija topotnog učinka (da / ne)	DA
Lokalna regulacija topotnog učinka (da / ne)	DA
Dnevni prekid u radu sistema (sati u danu)	8
Nedeljni prekid u radu sistema (dana u nedelji)	0
Sezonski prekid u radu sistema (dana u sezoni)	0
Ukupno trajanje grejne sezone (časova)	4200
Broj radnih sati tokom grejne sezone	2800
Prosečan broj osoba u zgradici	50

6.ENERGETSKE POTREBE ZGRADE

6.1 Proračun godišnje potrebne finalne energije za grejanje

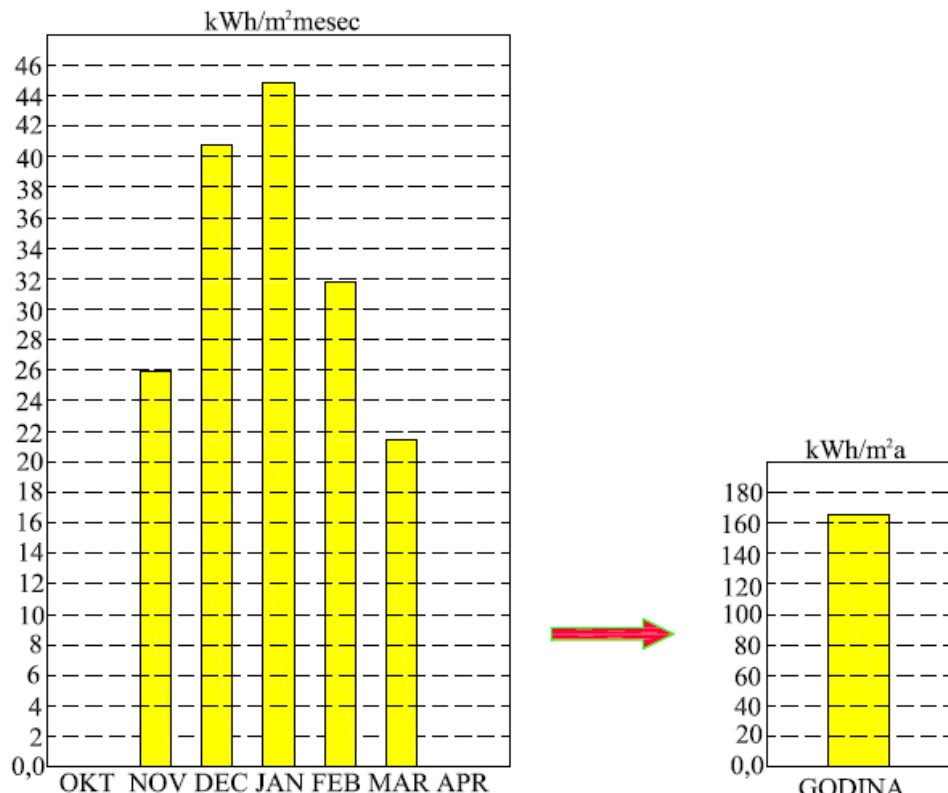
Mesec	Q _{H,ht}	Q _{sol, gl}	Q _{sol,c}	Q _{sol}	Q _{lj}	Q _{el}	Q _{int}	Q _{H,gn}	Q _{H,nd}
Okt	4508.1	2946.7	1021	3967	681.4	869.7	1551.1	5518.3	0
Nov	33297.7	3251.7	1093.5	4345	1202.4	1739.4	2941.8	7287	26156
Dec	47402.4	2473.8	826.7	3301	1242.5	1739.4	2981.9	6282.4	41246
Jan	52222.9	3091.3	1035.4	4127	1242.5	1739.4	2981.9	7108.6	45256
Feb	40885.7	4583.8	1473.8	6058	1122.2	1739.4	2861.6	8919.2	32145
Mar	33029.9	6306	2292.5	8599	1242.5	1739.4	2981.9	11580.4	21681
Apr	4552.8	3490.1	1384	4874	681.4	869.7	1551.1	6425	0
	215899.5							53120.9	166485

gamaH 0.246
 fH,hr 0.666667
 aH,red 0.917986

Q_{h,nd, interm} = 152830 kWh/a
 q_{h,nd, interm} = 165 kWh/m²a
 q_{h,nd,rel} = 137.3 %

$$a_{H,red} = 1 - 3 \left(\frac{\tau_{H,0}}{\tau} \right) \cdot \gamma_H \cdot (1 - f_{H,hr})$$

Dijagram potrebne toplove za grejanje po mesecima:



Godišnja potrebna energija i energetski razred zgrade, prema Pravilniku o uslovima, sadržaju i postupku izdavanja sertifikata o energetkim svojstvima zgrada:

Zgrade namenjene zdravstvu i socijalnoj zaštiti		nove	postojeće
Energetski razred	$Q_{H,nd,rel}$ [%]	$Q_{H,nd}$ [kWh/(m²a)]	$Q_{H,nd}$ [kWh/(m²a)]
A+	≤ 15	≤ 15	≤ 18
A	≤ 25	≤ 25	≤ 30
B	≤ 50	≤ 50	≤ 60
C	≤ 100	≤ 100	≤ 120
D	≤ 150	≤ 150	≤ 180
E	≤ 200	≤ 200	≤ 240
F	≤ 250	≤ 250	≤ 300
G	> 250	> 250	> 300

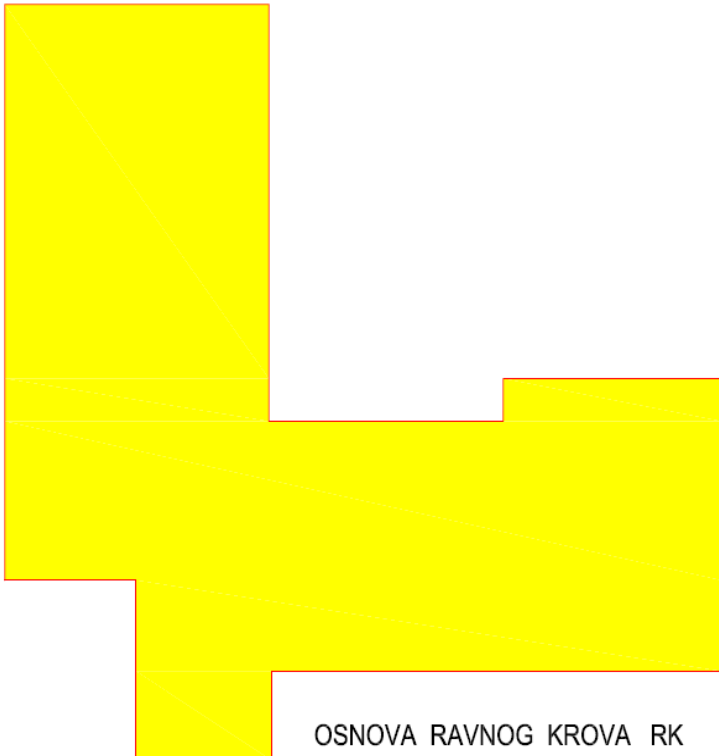
$Q_{H,nd,interm} =$	152830	kWh/a
$q_{H,nd,interm} =$	165	kWh/m²a
$Q_{H,nd,rel} =$	137,3	%
Razred:	D	

7.0 MERE ZA UNAPREĐENJE ENERGETSKE EFIKASNOSTI ZGRADE

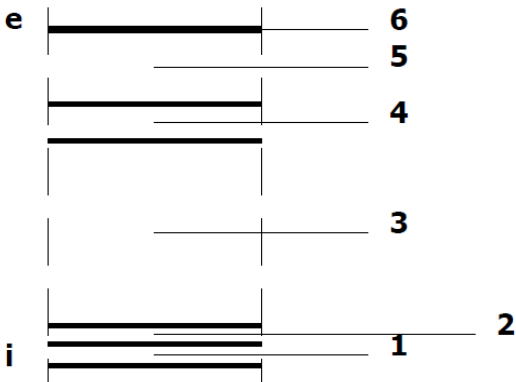
Predložena mera za unapređenje energetske efikasnosti zgrade je postavljanje izolacije od tvrdo presovane mineralne vune debljine 20cm na ravan krov i zamena svih prozora, spoljnih vrata i portalata. Novo ugrađeni prozori i spoljna vrata treba da imaju PVC šestokomorni ram sa zastakljenjem Clima Guard Solar 4+16+4, čiji je koeficijent prolaza toplove $u=1,1\text{W}/\text{m}^2\text{K}$

3.1.6 RAVAN KROV IZNAD GREJANOG PROSTORA

3.1.6.1 Sastav, ilustracija

Broj	6																																													
Oznaka	RK																																													
Ilustracija položaja u zgradji ¹²⁰	 <p>The diagram illustrates a cross-section of a flat roof system. It shows a thick yellow layer at the bottom labeled 'OSNOVA RAVNOG KROVA RK'. Above it is a thinner yellow layer. A red outline indicates the overall roof profile, which is relatively flat with some minor variations in thickness or slope.</p>																																													
Površina [m ²]	666,96 m ²																																													
Sastav sklopa	<table border="1"> <thead> <tr> <th>Naziv građevinskog sloja</th> <th>δ [cm]</th> <th>λ [W/mK]</th> <th>ρ [kg/m³]</th> <th>μ [-]</th> </tr> </thead> <tbody> <tr> <td>1.MALTER NATRSCI</td> <td>3,00</td> <td>0,810</td> <td>1600</td> <td>10</td> </tr> <tr> <td>2.DRVENE LETVE</td> <td>2,50</td> <td>0,160</td> <td>468</td> <td>3</td> </tr> <tr> <td>3.SLOJ VAZDUHA</td> <td>25,0</td> <td>1,364</td> <td>1</td> <td>1</td> </tr> <tr> <td>4.AB-PLOČA</td> <td>5,00</td> <td>2,330</td> <td>2500</td> <td>90</td> </tr> <tr> <td>5.PERLIT MALTER</td> <td>10,0</td> <td>0,130</td> <td>500</td> <td>4</td> </tr> <tr> <td>6.MINERALNA VUNA</td> <td>15,0</td> <td>0,039</td> <td>150</td> <td>1</td> </tr> <tr> <td>7.GEOTEKSTIL</td> <td>0,20</td> <td>0,100</td> <td>100</td> <td>1</td> </tr> <tr> <td>8.HIDROIZOLACIJA</td> <td>0,20</td> <td>0,190</td> <td>1200</td> <td>14000</td> </tr> </tbody> </table>	Naziv građevinskog sloja	δ [cm]	λ [W/mK]	ρ [kg/m ³]	μ [-]	1.MALTER NATRSCI	3,00	0,810	1600	10	2.DRVENE LETVE	2,50	0,160	468	3	3.SLOJ VAZDUHA	25,0	1,364	1	1	4.AB-PLOČA	5,00	2,330	2500	90	5.PERLIT MALTER	10,0	0,130	500	4	6.MINERALNA VUNA	15,0	0,039	150	1	7.GEOTEKSTIL	0,20	0,100	100	1	8.HIDROIZOLACIJA	0,20	0,190	1200	14000
Naziv građevinskog sloja	δ [cm]	λ [W/mK]	ρ [kg/m ³]	μ [-]																																										
1.MALTER NATRSCI	3,00	0,810	1600	10																																										
2.DRVENE LETVE	2,50	0,160	468	3																																										
3.SLOJ VAZDUHA	25,0	1,364	1	1																																										
4.AB-PLOČA	5,00	2,330	2500	90																																										
5.PERLIT MALTER	10,0	0,130	500	4																																										
6.MINERALNA VUNA	15,0	0,039	150	1																																										
7.GEOTEKSTIL	0,20	0,100	100	1																																										
8.HIDROIZOLACIJA	0,20	0,190	1200	14000																																										

¹²⁰ Ova opcija nije obavezna

Skica sklopa ¹²¹		6 5 4 3 2 1	1 MALTER NA TRSCI 2 DRVENE LETVE 3 SLOJ VAZDUHA 4 AB - PLOČA 5 PERLIT MALTER 6 HIDROIZOLACIJA
Ventilisanost sklopa	NIJE VENTILISAN		
Parametri ventilisanosti	-		

3.1.6.2 Prolaz toplote i polje temperature

Tabelarni prikaz	Opis	λ [W/mK]	R [(m ² ·K)/W]	$\Delta\theta$ [°C]	θ [°C]
Unutra					22,00
Prelaženje		0,1000	0,66	21,34	
1.MALTER NATRSCI	0,810	0,0370	0,14	21,10	
2.DRVENE LETVE	0,160	0,1563	1,03	20,07	
3.SLOJ VAZDUHA	1,364	0,1833	1,20	18,87	
4.AB-PLOČA	2,330	0,0215	0,15	18,72	
5.PERLIT MALTER	0,130	0,7692	5,36	13,66	
6.MINERALNA VUNA	0,039	3,8462	25,30	-11,64	
7.GEOTEKSTIL	0,100	0,0200	0,13	-11,77	
8.HIDROIZOLACIJA	0,190	0,0105	0,07	-11,84	
Prelaženje topline		0,0400	0,26	-11,84	
Spolja					-12,10
Ukupni otpor		5,184			

¹²¹ Ovde je prikazana ilustracija (veličina, orijentacija i oprema crteža se može razlikovati)

Grafik temperatura ¹²²	<p>The graph plots temperature t in degrees Celsius against depth d in centimeters. The vertical axis ranges from -12.1 to 22.0 with major ticks every 10 units. The horizontal axis ranges from 0.0 to 60.90 with major ticks every 10 units. A single solid line represents the temperature profile, starting at $t \approx 22.0$ at $d = 0$ and ending at $t \approx -12.1$ at $d = 60.90$. The line has a negative slope.</p>
Površ. koeficijenat prolaza topline U [W/(m ² K)]	0,193

3.1.6.3 Difuzija vodene pare i isušenje

Tabelarni prikaz	Opis	μ [-]	$\Delta\theta$ [°C]	θ [°C]	p' [Pa]	p_s [Pa]
Unutra				22,00	2640	
Prelaženje			0,52	21,48	2557	1452
1.MALTER NATRSCI	10	0,19	21,29	2527	1442	
2.DRVENE LETVE	3	0,82	20,47	2404	1440	
3.SLOJ VAZDUHA	1	0,95	19,52	2266	1432	
4.AB-PLOČA	90	0,11	19,41	2251	1286	
5.PERLIT MALTER	4	4,01	15,40	1748	1273	
6.MINERALNA VUNA	1	20,03	-4,63	414	1267	
7.GEOTEKSTIL	1	0,11	4,74	410	1266	
8.HIDROIZOLACIJA	14000	0,05	-4,79	408	361	
Prelaženje topline			0,21	-4,79	408	361
Spolja				-5,00	401	

¹²² Ovde je prikazana ilustracija (veličina, orijentacija i oprema crteža se može razlikovati)

Grafik ¹²³	
Proračun kondenzacije ¹²⁴	<p>Na unutrašnjoj površini nema orošavanja – pri $\Theta_e = -12,1^\circ\text{C}$ i $\Theta_i = 22^\circ\text{C}$ kondenzacija na unutrašnjoj površini će se pojaviti pri vlažnosti od 96,1%</p> <ul style="list-style-type: none"> -Temperatura na unutrašnjoj površini $\Theta_i = 21,3^\circ\text{C}$ - Minimalna dozvoljena temperatura na unutrašnjoj površini $\Theta_d = 12,5^\circ\text{C}$ <p>U konstrukciji dolazi do kondenzacije u zoni 7</p> <p>KONSTRUKCIJA ZADOVOLJAVA</p>
Vreme isušenja	-

3.1.6.4 Letnja stabilnost¹²⁵

	Vrednost	Minimum	Zadovoljava
Faktor prigušenja amplitude oscilacije temperature v [-]	456,442	25	Da
Faktor kašnjenja oscilacije temperature η [h]	$v > 45$	7	Da

¹²³ Ovde je prikazana ilustracija (veličina, orientacija i oprema crteža se može razlikovati)

¹²⁴ U skladu sa poglavljem 3.3 Pravilnika o energetskoj efikasnosti zgrada

¹²⁵ Prema poglavlju 3.2 Pravilnika o energetskoj efikasnosti zgrada

Prozor PS-1 071, x 0,88 m,		kom=9,	A=5,58 m ²
Površina prozora	Aw	m ²	0,62
Površina stakla	Ag	m ²	0,40
Obim stakla	lg	m	2,54
Koef.prolaza toplote stakla	Ug	W/m ² K	1,10
Površina rama	Af	m ²	0,22
Koef.prolaza toplote rama	Uf	W/m ² K	1,20
Koeficijent korekcije	Ψ	W/m ² K	0,06
Koef.prolaza toplote prozora	Uw	W/mK	1,380

Faktor rama: 0,22 / 0,62 = 0,35

Prozor PS-2 1,73 x 1126 m,		kom=1,	A=1,94m ²
Površina prozora	Aw	m ²	1,94
Površina stakla	Ag	m ²	1,09
Obim stakla	lg	m	5,96
Koef.prolaza toplote stakla	Ug	W/m ² K	1,10
Površina rama	Af	m ²	0,85
Koef.prolaza toplote rama	Uf	W/m ² K	1,20
Koeficijent korekcije	Ψ	W/m ² K	0,06
Koef.prolaza toplote prozora	Uw	W/mK	1,33

Faktor rama: 0,85 / 1,94 = 0,44

Prozor PS-3 1,8 x 0,95 m,		kom=4,	A=6,84 m ²
Površina prozora	Aw	m ²	1,71
Površina stakla	Ag	m ²	0,86
Obim stakla	lg	m	5,24
Koef.prolaza toplote stakla	Ug	W/m ² K	1,10
Površina rama	Af	m ²	0,85
Koef.prolaza toplote rama	Uf	W/m ² K	1,20
Koeficijent korekcije	Ψ	W/m ² K	0,06
Koef.prolaza toplote prozora	Uw	W/mK	1,33

Faktor rama: 0,85 / 1,71 = 0,50

Prozor PS-4 1,85 x 1,85 m, kom=21, A=71,82 m²			
Površina prozora	Aw	m ²	3,42
Površina stakla	Ag	m ²	2,56
Obim stakla	lg	m	12,80
Koef.prolaza toplotne stakla	Ug	W/m ² K	1,10
Površina rama	Af	m ²	0,86
Koef.prolaza toplotne rama	Uf	W/m ² K	1,20
Koeficijent korekcije	Ψ	W/m ² K	0,06
Koef.prolaza toplotne prozora	Uw	W/mK	1,350

Faktor rama: 0,86 / 3,42 = 0,25

Prozor PS-5 0,78 x 1,18 m, kom=6, A=5,52m²			
Površina prozora	Aw	m ²	0,92
Površina stakla	Ag	m ²	0,65
Obim stakla	lg	m	3,32
Koef.prolaza toplotne stakla	Ug	W/m ² K	1,10
Površina rama	Af	m ²	0,27
Koef.prolaza toplotne rama	Uf	W/m ² K	1,20
Koeficijent korekcije	Ψ	W/m ² K	0,06
Koef.prolaza toplotne prozora	Uw	W/mK	1,35

Faktor rama: 0,27 / 0,92 = 0,29

Prozor PS-6 1,8 x 1,65 m, kom=3, A=7,83 m²			
Površina prozora	Aw	m ²	2,61
Površina stakla	Ag	m ²	1,58
Obim stakla	lg	m	7,40
Koef.prolaza toplotne stakla	Ug	W/m ² K	1,10
Površina rama	Af	m ²	1,03
Koef.prolaza toplotne rama	Uf	W/m ² K	1,20
Koeficijent korekcije	Ψ	W/m ² K	0,06
Koef.prolaza toplotne prozora	Uw	W/mK	1,31

Faktor rama: 1,03 / 2,61 = 0,39

Prozor PS-7 0,89 x 1,45m,		kom=8,	A=10,32 m ²
Površina prozora	Aw	m ²	1,29
Površina stakla	Ag	m ²	0,94
Obim stakla	lg	m	2,66
Koef.prolaza toplotne stakla	Ug	W/m ² K	1,10
Površina rama	Af	m ²	0,37
Koef.prolaza toplotne rama	Uf	W/m ² K	1,20
Koeficijent korekcije	Ψ	W/m ² K	0,06
Koef.prolaza toplotne prozora	Uw	W/mK	1,32

Faktor rama: 0,37 / 1,29 = 0,27

Prozor PS-8 0,94 x 1,85 m, kom=20,		A=34,80m ²	
Površina prozora	Aw	m ²	1,74
Površina stakla	Ag	m ²	1,29
Obim stakla	lg	m	6,42
Koef.prolaza toplotne stakla	Ug	W/m ² K	1,10
Površina rama	Af	m ²	0,45
Koef.prolaza toplotne rama	Uf	W/m ² K	1,20
Koeficijent korekcije	Ψ	W/m ² K	0,06
Koef.prolaza toplotne prozora	Uw	W/mK	1,40

Faktor rama: 0,45 / 1,74 = 0,26

Prozor PS-9 1,8 x 1,45 m, kom=3,		A=7,83 m ²	
Površina prozora	Aw	m ²	2,61
Površina stakla	Ag	m ²	1,60
Obim stakla	lg	m	7,48
Koef.prolaza toplotne stakla	Ug	W/m ² K	1,10
Površina rama	Af	m ²	1,01
Koef.prolaza toplotne rama	Uf	W/m ² K	1,20
Koeficijent korekcije	Ψ	W/m ² K	0,06
Koef.prolaza toplotne prozora	Uw	W/mK	1,31

Faktor rama: 0,77 / 6,00 = 0,39

Prozor PS-10 2,55 x 1,16 m, kom=3, A=8,88 m²			
Površina prozora	Aw	m ²	2,96
Površina stakla	Ag	m ²	2,16
Obim stakla	lg	m	11,40
Koef.prolaza toplotne stakla	Ug	W/m ² K	1,10
Površina rama	Af	m ²	0,80
Koef.prolaza toplotne rama	Uf	W/m ² K	1,20
Koeficijent korekcije	Ψ	W/m ² K	0,06
Koef.prolaza toplotne prozora	Uw	W/mK	1,41

Faktor rama: 0,80 / 2,96 = 0,27

Prozor PS-11 1,83 x 1,16 m, kom=1, A=2,12m²			
Površina prozora	Aw	m ²	2,12
Površina stakla	Ag	m ²	1,50
Obim stakla	lg	m	8,52
Koef.prolaza toplotne stakla	Ug	W/m ² K	1,10
Površina rama	Af	m ²	0,62
Koef.prolaza toplotne rama	Uf	W/m ² K	1,20
Koeficijent korekcije	Ψ	W/m ² K	0,06
Koef.prolaza toplotne prozora	Uw	W/mK	1,43

Faktor rama: 0,62 / 2,12 = 0,29

Prozor PS-12 1,8 x 0,97 m, kom=1, A=5,25 m²			
Površina prozora	Aw	m ²	1,75
Površina stakla	Ag	m ²	0,88
Obim stakla	lg	m	5,32
Koef.prolaza toplotne stakla	Ug	W/m ² K	1,10
Površina rama	Af	m ²	0,87
Koef.prolaza toplotne rama	Uf	W/m ² K	1,200
Koeficijent korekcije	Ψ	W/m ² K	0,06
Koef.prolaza toplotne prozora	Uw	W/mK	1,43

Faktor rama: 0,87 / 1,75 = 0,50

Prozor PS-13 0,83 x 0,81 m,		kom=1,	A=0,67 m ²
Površina prozora	Aw	m ²	0,67
Površina stakla	Ag	m ²	0,37
Obim stakla	lg	m	1,10
Koef.prolaza toplotne stakla	Ug	W/m ² K	1,60
Površina rama	Af	m ²	0,30
Koef.prolaza toplotne rama	Uf	W/m ² K	1,20
Koeficijent korekcije	Ψ	W/m ² K	0,06
Koef.prolaza toplotne prozora	Uw	W/mK	1,45

Faktor rama: 0,30 / 0,67 = 0,45

Prozor PS-14 1,53 x 0,95 m,		kom=2,	A=2,90m ²
Površina prozora	Aw	m ²	1,45
Površina stakla	Ag	m ²	0,73
Obim stakla	lg	m	4,88
Koef.prolaza toplotne stakla	Ug	W/m ² K	1,10
Površina rama	Af	m ²	0,72
Koef.prolaza toplotne rama	Uf	W/m ² K	1,20
Koeficijent korekcije	Ψ	W/m ² K	0,04
Koef.prolaza toplotne prozora	Uw	W/mK	1,35

Faktor rama: 0,72 / 1,45 = 0,50

Prozor PS-15 0,65 x 1,0 m,		kom=2,	A=1,30m ²
Površina prozora	Aw	m ²	0,65
Površina stakla	Ag	m ²	0,35
Obim stakla	lg	m	4,88
Koef.prolaza toplotne stakla	Ug	W/m ² K	1,10
Površina rama	Af	m ²	0,30
Koef.prolaza toplotne rama	Uf	W/m ² K	1,20
Koeficijent korekcije	Ψ	W/m ² K	0,06
Koef.prolaza toplotne prozora	Uw	W/mK	1,37

Faktor rama: 0,30 / 0,65 = 0,46

Vrata balkonska VB 0,91x 2,78 m, kom=1, A=2,53m²			
Površina vrata	Aw	m ²	2,53
Površina stakla	Ag	m ²	1,07
Obim stakla	lg	m	6,00
Koef.prolaza toplote stakla	Ug	W/m ² K	1,10
Površina rama	Af	m ²	1,46
Koef.prolaza toplote rama	Uf	W/m ² K	1,20
Koeficijent korekcije	Ψ	W/m ² K	0,06
Koef.prolaza toplote vrata	Ud	W/mK	1,30

Faktor rama: 1,46 / 2,53 = 0,58

Vrata spoljna VS-1 1,71 x 2,05 m, kom=1, A=3,50m²			
Površina vrata	Aw	m ²	3,50
Površina stakla	Ag	m ²	2,04
Obim stakla	lg	m	9,28
Koef.prolaza toplote stakla	Ug	W/m ² K	1,10
Površina rama	Af	m ²	1,46
Koef.prolaza toplote rama	Uf	W/m ² K	1,20
Koeficijent korekcije	Ψ	W/m ² K	0,06
Koef.prolaza toplote vrata	Ud	W/mK	1,30

Faktor rama: 1,46 / 3,50 = 0,42

Vrata spoljna VS-2 1,0 x 2,38 m, kom=1, A=2,38m²			
Površina vrata	Aw	m ²	2,38
Površina stakla	Ag	m ²	0,86
Obim stakla	lg	m	5,46
Koef.prolaza toplote stakla	Ug	W/m ² K	1,10
Površina rama	Af	m ²	1,52
Koef.prolaza toplote rama	Uf	W/m ² K	1,20
Koeficijent korekcije	Ψ	W/m ² K	0,06
Koef.prolaza toplote vrata	Ud	W/mK	1,30

Faktor rama: 1,52 / 2,38 = 0,64

Vrata spoljna VS-3 0,91 x 2,38 m,		kom=1,	A=2,17m²
Površina vrata	Aw	m ²	2,17
Površina stakla	Ag	m ²	0,76
Obim stakla	lg	m	5,10
Koef.prolaza toplote stakla	Ug	W/m ² K	1,10
Površina rama	Af	m ²	1,41
Koef.prolaza toplote rama	Uf	W/m ² K	1,20
Koeficijent korekcije	Ψ	W/m ² K	0,06
Koef.prolaza toplote vrata	Ud	W/mK	1,31

Faktor rama: 1,41 / 2,17 = 0,65

Vrata spoljna VS-4 0,78 x 2,34 m,		kom=1,	A=1,82m²
Površina vrata	Aw	m ²	1,82
Površina stakla	Ag	m ²	0,61
Obim stakla	lg	m	4,58
Koef.prolaza toplote stakla	Ug	W/m ² K	1,10
Površina rama	Af	m ²	1,21
Koef.prolaza toplote rama	Uf	W/m ² K	1,20
Koeficijent korekcije	Ψ	W/m ² K	0,06
Koef.prolaza toplote vrata	Ud	W/mK	1,32

Faktor rama: 1,21 / 1,82 = 0,66

Vrata spoljna VS-5 1,85 x 2,75 m,		kom=1,	A=5,09m²
Površina vrata	Aw	m ²	5,09
Površina stakla	Ag	m ²	2,27
Obim stakla	lg	m	12,28
Koef.prolaza toplote stakla	Ug	W/m ² K	1,10
Površina rama	Af	m ²	2,81
Koef.prolaza toplote rama	Uf	W/m ² K	1,20
Koeficijent korekcije	Ψ	W/m ² K	0,06
Koef.prolaza toplote vrata	Ud	W/mK	1,30

Faktor rama: 2,81 / 5,09 = 0,55

Portal P-1 1,29 x 3,14 m,		kom=1,	A=4,05m ²
Površina vrata	Aw	m ²	4,05
Površina stakla	Ag	m ²	2,10
Obim stakla	lg	m	5,24
Koef.prolaza toplotne stakla	Ug	W/m ² K	1,10
Površina rama	Af	m ²	1,95
Koef.prolaza toplotne rama	Uf	W/m ² K	1,40
Koeficijent korekcije	Ψ	W/m ² K	0,08
Koef.prolaza toplotne vrata	Ud	W/mK	1,35

Faktor rama: 1,95 / 4,05 = 0,48

Portal P-2 4,30 x 2,96 m,		kom=1,	A=12,73m ²
Površina vrata	Aw	m ²	12,73
Površina stakla	Ag	m ²	7,18
Obim stakla	lg	m	34,06
Koef.prolaza toplotne stakla	Ug	W/m ² K	1,10
Površina rama	Af	m ²	5,55
Koef.prolaza toplotne rama	Uf	W/m ² K	1,40
Koeficijent korekcije	Ψ	W/m ² K	0,08
Koef.prolaza toplotne vrata	Ud	W/mK	1,44

Faktor rama: 5,55 / 12,73 = 0,44

Portal P-3 4,28 x 3,14 m,		kom=1,	A=13,44m ²
Površina vrata	Aw	m ²	13,44
Površina stakla	Ag	m ²	7,14
Obim stakla	lg	m	33,98
Koef.prolaza toplotne stakla	Ug	W/m ² K	1,10
Površina rama	Af	m ²	6,30
Koef.prolaza toplotne rama	Uf	W/m ² K	1,40
Koeficijent korekcije	Ψ	W/m ² K	0,08
Koef.prolaza toplotne vrata	Ud	W/mK	1,44

Faktor rama: 6,30 / 13,44 = 0,47

Portal P-4 3,78 x 3,14 m,		kom=1,	A=11,87m ²
Površina vrata	Aw	m ²	11,87
Površina stakla	Ag	m ²	6,21
Obim stakla	lg	m	25,93
Koef.prolaza toplotne stakla	Ug	W/m ² K	1,10
Površina rama	Af	m ²	5,66
Koef.prolaza toplotne rama	Uf	W/m ² K	1,40
Koeficijent korekcije	Ψ	W/m ² K	0,08
Koef.prolaza toplotne vrata	Ud	W/mK	1,42

Faktor rama: 5,66 / 11,87 = 0,48

Portal P-5 3,75 x 2,96 m,		kom=1,	A=11,10m ²
Površina vrata	Aw	m ²	11,10
Površina stakla	Ag	m ²	6,43
Obim stakla	lg	m	24,98
Koef.prolaza toplotne stakla	Ug	W/m ² K	1,10
Površina rama	Af	m ²	6,47
Koef.prolaza toplotne rama	Uf	W/m ² K	1,20
Koeficijent korekcije	Ψ	W/m ² K	0,08
Koef.prolaza toplotne vrata	Ud	W/mK	1,41

Faktor rama: 6,47 / 11,10 = 0,42

3.1 Pregled koeficijenata prolaza toplote kroz termički omotač zgrade¹²⁶

Položaj	oznaka	U [W/(m ² K)]	U_{max} [W/(m ² K)]	Ispunjeno DA / NE
Spoljni zidovi	SFZ-1	1,213	0,400	NE
Spoljni zidovi	SFZ-2	1,226	0,400	NE
Zid u tlu	ZUT	1,250	0,500	NE
Zid prema negrejanim prostorima	ZNP	1,547	0,550	NE
Međuspratna konstr.iznad negrejanog prostora	MSK-1	1,290	0,400	NE
Međuspratna konstr.iznad negrejanog prostora	MSK-2	1,302	0,400	NE
Pod na tlu	PNT-1	2,847	0,400	NE
Pod na tlu	PNT-2	3,329	0,400	NE
Pod na tlu	PNT-3	3,302	0,400	NE
Ravan krov	RK	0,193	0,200	DA
Prozori spoljni PS	PS-1	1,380	1,500	DA
Prozori spoljni PS	PS-2	1,330	1,500	DA
Prozori spoljni PS	PS-3	1,330	1,500	DA
Prozori spoljni PS	PS-4	1,350	1,500	DA
Prozori spoljni PS	PS-5	1,350	1,500	DA
Prozori spoljni PS	PS-6	1,310	1,500	DA
Prozori spoljni PS	PS-7	1,320	1,500	DA
Prozori spoljni PS	PS-8	1,400	1,500	DA
Prozori spoljni PS	PS-9	1,310	1,500	DA
Prozori spoljni PS	PS-10	1,410	1,500	DA
Prozori spoljni PS	PS-11	1,430	1,500	DA
Prozori spoljni PS	PS-12	1,430	1,500	DA
Prozori spoljni PS	PS-13	1,450	1,500	DA
Prozori spoljni PS	PS-14	1,350	1,500	DA
Prozori spoljni PS	PS-15	1,370	1,500	DA
Vrata balkonska VB	VB	1,300	1,500	DA
Vrata ulazna VS	VS-1	1,300	1,600	DA
Vrata ulazna VS	VS-2	1,300	1,600	DA
Vrata ulazna VS	VS-3	1,310	1,600	DA
Vrata ulazna VS	VS-4	1,320	1,600	DA
Vrata ulazna VS	VS-5	1,300	1,600	DA
Portal P	P-1	1,350	1,800	DA
Portal P	P-2	1,440	1,800	DA
Portal P	P-3	1,440	1,800	DA
Portal P	P-4	1,420	1,800	DA
Portal P	P-5	1,410	1,800	DA

¹²⁶ Maksimalne vrednosti koeficijenta prolaza toplote koji su prikazani u tabeli odgovaraju vrednostima za nove zgrade datim u Tabeli 3.4.1.3. Pravilnika o energetskoj efikasnosti zgrada

4.0.1 Transmisioni gubici toplote zgrade H_T [W/K]

4.0.1.1 Površinski transmisioni gubici H_{TS} [W/K]

Opis građ.elementa	Oznaka	U (W/m ² K)	A(m ²)	Fx	U * A * Fx
Spoljni zidovi	SFZ-1	1,213	231,8	1,0	281,2
Spoljni zidovi	SFZ-2	1,226	290,7	1,0	356,4
Zid u tlu	ZUT	1,250	29,8	0,6	22,35
Zid prema negrejanim prostorima	ZNP	1,547	61,13	0,5	47,28
Međuspratna konstr.iznad negrejanog prostora	MSK-1	1,290	51,90	0,5	33,48
Međuspratna konstr.iznad negrejanog prostora	MSK-2	1,302	24,60	0,5	16,01
Pod na tlu	PNT-1	2,847	241,25	0,5	343,4
Pod na tlu	PNT-2	3,329	167,03	0,5	278,02
Pod na tlu	PNT-3	3,302	121,36	0,5	200,4
Ravan krov	RK	0,193	666,96	1,0	128,72
Prozori spoljni PS	PS-1	1,380	5,58	1,0	7,70
Prozori spoljni PS	PS-2	1,330	1,94	1,0	2,58
Prozori spoljni PS	PS-3	1,330	6,84	1,0	9,09
Prozori spoljni PS	PS-4	1,350	71,82	1,0	96,96
Prozori spoljni PS	PS-5	1,350	5,52	1,0	7,45
Prozori spoljni PS	PS-6	1,310	7,83	1,0	10,26
Prozori spoljni PS	PS-7	1,320	10,32	1,0	13,62
Prozori spoljni PS	PS-8	1,400	34,8	1,0	48,72
Prozori spoljni PS	PS-9	1,310	7,83	1,0	10,26
Prozori spoljni PS	PS-10	1,410	8,88	1,0	12,52
Prozori spoljni PS	PS-11	1,430	2,12	1,0	3,03
Prozori spoljni PS	PS-12	1,430	5,25	1,0	7,50
Prozori spoljni PS	PS-13	1,450	0,67	1,0	0,97
Prozori spoljni PS	PS-14	1,350	2,90	1,0	3,92
Prozori spoljni PS	PS-15	1,370	1,30	1,0	1,78
Vrata balkonska VB	VB	1,300	2,53	1,0	3,29
Vrata ulazna VS	VS-1	1,300	3,50	1,0	4,55
Vrata ulazna VS	VS-2	1,300	2,38	1,0	3,09
Vrata ulazna VS	VS-3	1,310	2,17	1,0	2,84
Vrata ulazna VS	VS-4	1,320	1,82	1,0	2,40
Vrata ulazna VS	VS-5	1,300	5,09	1,0	6,62
Portal P	P-1	1,350	4,05	1,0	5,47
Portal P	P-2	1,440	12,73	1,0	18,33
Portal P	P-3	1,440	13,44	1,0	19,35
Portal P	P-4	1,420	11,87	1,0	16,86
Portal P	P-5	1,410	11,10	1,0	15,65
			2130,81		

$$H_{TS}=2042,07 \text{ W/K}$$

4.7.2.1 Linijski transmisioni gubici H_{TB} [W/K]

$$H_{TB} = 0,1 * \Sigma A = 0,1 * 2130,8 = 213,08$$

$$H_{TB} = 213,08 \text{ W/K}$$

4.7.2.2 Ukupni transmisioni gubici H_T [W/K]

$$H_T = H_{TS} + H_{TB} = 2042,07 + 213,08 = 2255,15$$

$$H_T = 2255,15 \text{ W/K}$$

4.7.2.3 Specifični transmisioni gubitak topote zgrade H'_T [W/(m²K)]¹²⁷

$$H'_T = H_T / A = 2255,15 / 2130,81 = 1,06$$

H'_T [W/(m ² K)]	H'_{Tmax} [W/(m ² K)] ¹²⁸	Ispunjeno DA / NE
1,06	0,57	NE

4.7.3 Ventilacioni gubici topote zgrade H_V [W/K]

$$H_V = 0,33 * V * n = 0,33 \text{ Wh/m}^3\text{K} * 2713,84 \text{ m}^3 * 0,5\text{h}^{-1} = 447,78 \text{ W/K}$$

Zapremina grejanog prostora V [m ³]	2713,84
Zaptivenost prozora	dobra
Broj izmena vazduha n [h ⁻¹]	0,5
Koeficijent ventilacionog gubitka [kW/K]	0,447

4.7.4 Ukupni gubici topote

Podaci o gubicima topote	[kW]
Transmisioni gubici kroz netransparentni deo omotača zgrade	66,10
Transmisioni gubici kroz prozore i vrata	25,46
Ventilacioni gubici kroz prozore i vrata	15,27
Ukupni gubici topote	106,83

6.ENERGETSKE POTREBE ZGRADE

6.1 Proračun godišnje potrebne finalne energije za grejanje

Mesec	$Q_{H,ht}$	$Q_{sol,gl}$	$Q_{sol,c}$	Q_{sol}	Q_{ij}	Q_{el}	Q_{int}	$Q_{H,gn}$	$Q_{H,nd}$
Okt	3297.7	2571.2	618	3189	681.4	869.7	1551.1	4739.9	0
Nov	24356.9	2837.5	681.2	3519	1202.4	1739.4	2941.8	6460.5	18026
Dec	34674.3	2158.8	519.8	2679	1242.5	1739.4	2981.9	5660.5	29127
Jan	38200.5	2697.6	682.7	3380	1242.5	1739.4	2981.9	6362.2	31966
Feb	29907.4	3999.4	927	4926	1122.2	1739.4	2861.6	7788	22275
Mar	24161	5501.8	1351.6	6853	1242.5	1739.4	2981.9	9835.3	14522
Apr	3330.3	3044.7	1384	4429	681.4	869.7	1551.1	5979.6	0

157928.1 46826 115916

¹²⁷ Određuje se prema odeljku 3.4.2.3. Pravilnika o energetskoj efikasnosti.

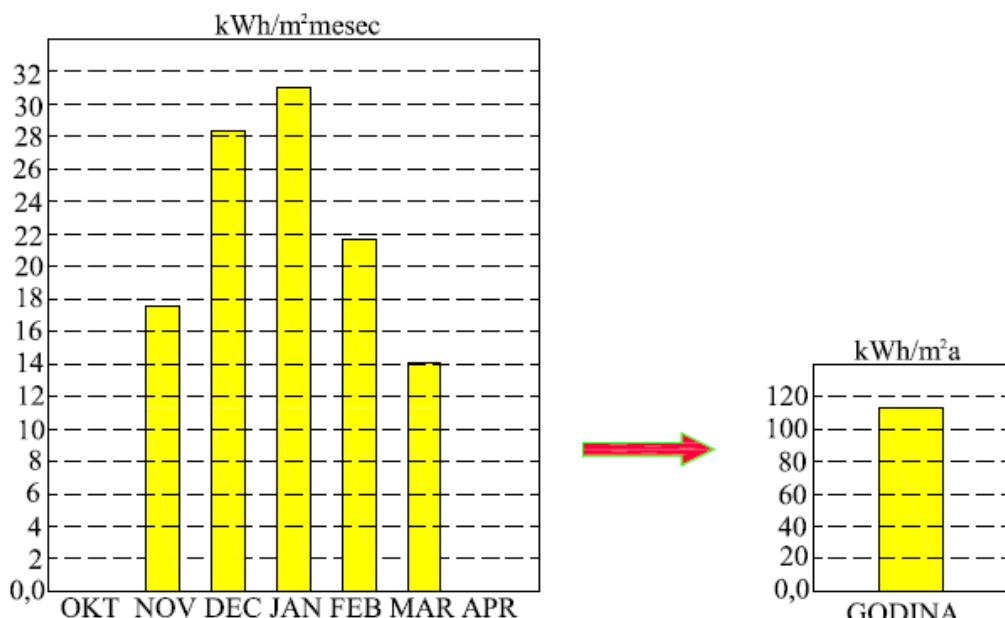
¹²⁸ Maksimalne dozvoljene vrednosti specifičnog transmisionog gubitka topote zgrede ili dela zgrade H'_T [W/(m²K)] date su u tabeli 3.4.2.3.1. Pravilnika o energetskoj efikasnosti zgrada

gamaH 0.297
 fH,hr 0.666667
 aH,red 0.901167

Q_{H,nd, interm} = 104459 kWh/a
 q_{H,nd, interm} = 113 kWh/m²a
 q_{H,nd,rel} = 93.8 %

$$a_{H,red} = 1 - 3 \left(\frac{\tau_{H,0}}{\tau} \right) \cdot \gamma_H \cdot (1 - f_{H,hr})$$

Dijagram potrebne toplove za grejanje po mesecima:



Godišnja potrebna energija i energetski razred zgrade, prema Pravilniku o uslovima, sadržaju i postupku izdavanja sertifikata o energetkim svojstvima zgrada:

Zgrade namenjene zdravstvu i socijalnoj zaštiti		nove	postojeće
Energetski razred	Q _{H,nd,rel} [%]	Q _{H,nd} [kWh/(m ² a)]	Q _{H,nd} [kWh/(m ² a)]
A+	≤ 15	≤ 15	≤ 18
A	≤ 25	≤ 25	≤ 30
B	≤ 50	≤ 50	≤ 60
C	≤ 100	≤ 100	≤ 120
D	≤ 150	≤ 150	≤ 180
E	≤ 200	≤ 200	≤ 240
F	≤ 250	≤ 250	≤ 300
G	> 250	> 250	> 300

Q _{H,nd,interm} =	104459	kWh/a
q _{H,nd,interm} =	113	kWh/m ² a
Q _{H,nd,rel} =	93,8	%
Razred:	C	

8.0 ZAKLJUČAK

Primenjenim merama za unapređenje energetske efikasnosti, energetski razred zgrade povećan je za jedan.

Odgovorni projektant



Milorad Ostojačić dipl.maš.ing.
Licenca br.381 0634



**ELABORAT ENERGETSKE EFIKASNOSTI
DOMA ZDRAVLJA MLADENOVAC – OBJEKAT BR.3
ADAPTACIJA, SANACIJA I INVESTICIONO ODRŽAVANJE**

**u Mladenovcu ul. Kraljice Marije br.15
na K.P. br.1865, K.O.Mladenovac Varoš**

INVESTITOR : DOM ZDRAVLJA MLADENOVAC
ul.Kraljice Marije br.15,Mladenovac,

**PROJEKTNA
ORGANIZACIJA** Projektni Biro „ARHITEKT M“
ul.Nikole Tesale br.60,Mladenovac

**ODGOVORNI
PROJEKTANT:** MILORAD OSTOJIĆ



Mladenovac, 26.12. 2016 godine.

S A D R Ž A J:

- 1. OPŠTI PODACI O ZGRADI :**
 - 1.5 Tehnički opis zgrade
 - 1.6 Osnovni podaci o zgradici
- 2. LOKACIJA I KLIMATSKI PODACI :**
 - 2.1 Klimatski podaci i položaj zgrade
 - 2.2 Uslovi komfora
- 3. GRAĐEVINSKA FIZIKA :**
 - 3.1 Proračun relevantnih pozicija
 - 3.1.3 Spoljni zidovi
 - 3.1.3.1 Sastav, ilustracija
 - 3.1.3.2 Prolaz toplote i polje temperature
 - 3.1.3.3 Letnja stabilnost
 - 4. PODACI O TERMOTEHNIČKIM SISTEMIMA :**
 - 4.5 Izvod iz tehničkog opisa
 - 4.5.1 Sistem grejanja
 - 4.5.2 Sistem klimatizacije
 - 4.5.3 Sistem za pripremu STV
 - 4.6 Gubici toplote
 - 4.2.1 Faktor oblika zgrade i udeo transparentnih površina
 - 4.2.4 Transmisioni gubici toplote zgrade H_T [W/K]
 - 4.2.2.1 Površinski transmisioni gubici H_{Ts} [W/K]
 - 4.2.2.2 Linijski transmisioni gubici H_{TB} [W/K]
 - 4.2.2.3 Ukupni transmisioni gubici H_T [W/K]
 - 4.2.2.4 Specifični transmisioni gubitak toplote zgrade H'_T [W/(m²K)]
 - 4.2.3 Ventilacioni gubici toplote zgrade H_v [W/K]
 - 4.2.4. Ukupni gubici toplote
 - 4.3 Ulagani podaci za proračun dobitaka toplote
 - 4.3.1 Orientacija i površina pozicija
 - 4.3.2 Ulagani podaci za proračun dobitaka od sunčevog zračenja
 - 4.3.3 Ulagani podaci za proračun dobitaka toplote od unutrašnjih izvora
 - 5. PODACI O SISTEMU GREJANJA I NAČINU REGULACIJE**
 - 6. ENERGETSKE POTREBE ZGRADE :**
 - 6.1 Proračun godišnje potrebne finalne energije za grejanje

1.0 OPŠTI PODACI O ZGRADI

TEHNIČKI OPIS

Investitor: DOM ZDRAVLJA MLADENOVAC
ul. Kraljice Marije br.15, Mladenovac

Objekat: Adaptacija, sanacija i investiciono održavanje (OBJEKAT 3)
spratnosti P+2
DOM ZDRAVLJA MLADENOVAC
ul. Kraljice Marije br.15 ;
K.P. 1865; K.O. Mladenovac Varoš

Mesto: Mladenovac, ul. Kraljice Marije br. 15

Objekat br. 3 je gradjen prema gradjevinskoj dozvoli 351-1340/79-IV od 01.11. 1979.
Nalazi se izmedju objekta 1-ginekologije i objekta 2-upravne zgrade u kojoj su i laboratorije i ordinacije.

U konstruktivnom smislu, objekat je u dobrom stanju. Nema vidljivih naprslina.

Do sada nisu radjene ozbiljnije intervencije na objektu. Na objektu je mnogo toga dotrajalo. Energetski, objekat je neefikasan. Prozori od AL profila su bez prekida termomosta, dotrajali i loše se zatvaraju-okovi za otvaranje uglavnom ne rade. Podovi su dotrajali. Sanitarni čvorovi su u lošem stanju.

FUNKCIJA I LOKACIJA OBJEKTA

Objekat je namenjen pružanju zdravstvenih usluga. U okviru objekta je više specijalističkih službi, pedijatrija, stomatologija, opšta praksa, patronaža, hitna pomoć, rentgen i apoteka. Objekat je atrijumskog tipa.

Objekat se nalazi u centru Mladenovca. Lako je pristupačan sa gradske saobraćajnice.

KONSTRUKCIJA OBJEKTA

Konstruktivni sistem objekta čine noseći AB stubovi i horizontalne grede, koje nose polumontazu LMT tavanicu. Zidovi su od opeke i fugovane opeke, koji su ukrućeni horizontalnim i vertikalnim armirano betonskim serklažima. Stepeništa su od armiranog betona Krovni venci i atike su takodje od armiranog betona.

Krov je ravan sa AB vencima koji formiraju „kadu“ sa nagibima prema atrijumu.

Objekat je utemeljen na trakasti AB temeljima.

TREBA IZVESTI SLEDEĆE RADOVE:

-Uklanjanje postojeće hidroizolacije sa ravnog krova. Uklanja se sve do postojećeg sloja za pad od perlit betona.

-Postaviti novu termičku izolaciju od tvrdo presovane mineralne vune u dva sloja po 7,5cm. Preko toga postavlja se geotekstil a zatim membranska hidroizolacija , koja se vari vrelim vazduhom i tipluje u postojeću tavanicu (kroz mineralnu vunu i tervol dugačkim šrafovima). Membranska hidroizolacija se zadiže uz holkere i tipluje .

-Svi limarski radovi na ravnom krovu se izvode pocinkovanim plastificiranim limo, d=0,55mm. Olučne vertikale u svetlarniku se rade nove.

-Postojeći aluminijski prozori se menjaju novim aluminijskim prozorima sa prekidom termomosta, zastakljeni termoizolacionim stakлом. Okovi su okretno nagibni.

-Parapeti ispod prozora imaju nedovoljnu termičku izolaciju pa je predviđena tvrda mineralna vuna d=5cm koja se oblaže iznutra gips-kartonskim pločama na odgovarajućoj potkonstrukciji. Ispod prozora se rade prozorske daske.

-Sva unutrašnja staklena vrata bez rama se menjaju novim aluminijskim zastakljenim vratima.

-Sva krila drvenih unutrašnjih vrata se uklanjuju i menjaju novim furniranim krilima. Štokovi se popravljaju-skida se postojeća boja, šmirglaju se, boje masnom bojom i menjaju se okovi. Sva nadsvetla se takodje zadržavaju i obraduju kao i štokovi. Oštećena stakla se menjaju novim.

-Preko postojećih PVC podova rade se novi PVC podovi i zadižu se uz zid. Uglovi moraju biti zaobljeni. Gde su postojeći pocepani tu se skidaju i po potrebi se radi izravnavača masa da se dovede na nivelicaciju.

INFRASTRUKTURA:

Priklučak na elektroenergetsku mrežu je izведен prema uslovima EDB-a.

Priklučak na vodvodnu i kanalizacionu mrežu je izведен prema uslovima JKP Mladenovac.

Za nadoknadu topotnih gubitaka izvedeno je daljinsko grejanje.

Za sistem grejanja projektovan je dvocevni redijatorski sistem grejanja. Temperaturski režim grejanja je 90-70 °C. Cevna mreža u topotnoj podstanici izrađena je od čelični bešavnih cevi prema SRPS EN10 220: 2005. Sistem grejanja je preko topotne podstanice povezan na sistem daljinskog grejanja.

Unutar objekta cevna mreža je izrađena od beševnih čeličnih cevi. Cevi se vode vidno neposredno uz zidove. Kao grejna tela postavljeni su člankasti aluminijumski radijatori.

Hidrauličko uravnoteživanje vrši se postavljanjem kosih regulacionih ventila na povratne vodove na sabirniku i njihovim postavljanjem u određeni položaj.

Grejana tela se na cevnu mrežu povezuju pomoću radijatorskih ventila i radijatirskih navijaka.

Na svakom grejnog telu ugrađena je odzračna slavina kako bi se radijatori mogli odzračiti pri pojavi vazduha u instalaciji.

Projektom je predviđena klimatizacija lokalnim klimatizacionim uređajima..Spoljna jedinica se postavlja na fasadi objekta. Unutrašnja jedinica je zidnog tipa. Odvod kondenzata predviđen je plastičnim cevima koje su utopljene u zid do oluka.

Upravljanje sistemom klimatizacije se vrši preko daljinskih upravljača koji se isporučuju sa klima uređajima.

Projektom je za pripremu STV predviđen lokalni sistem – ugradnja električnih bojlera .Bojleri kao energent za zagrevanje sanitарне tople vode koriste električnu energiju.

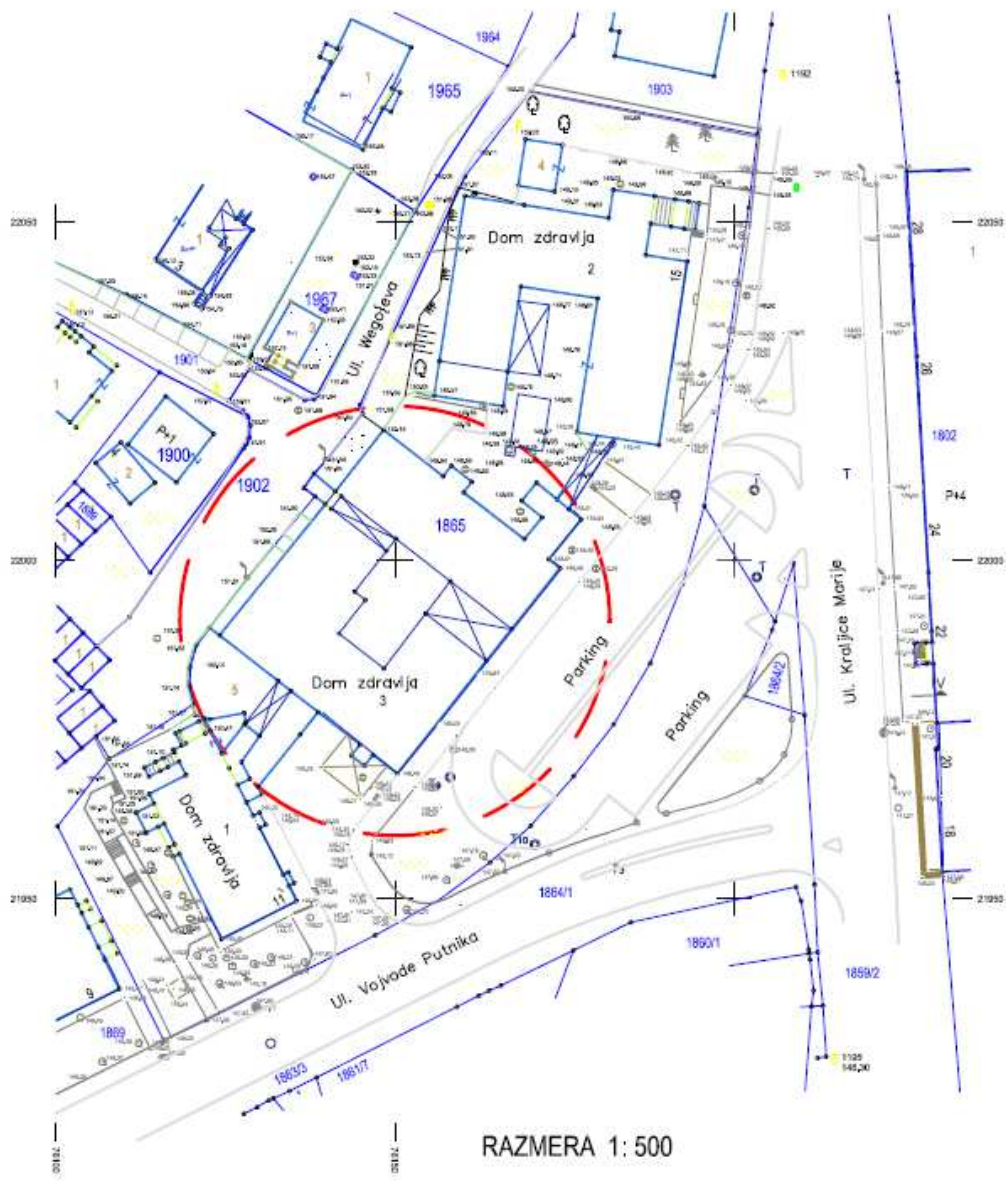
Odgovorni projektant



Milorad Ostojic dipl.maš.ing.
Licenca br.381 0634 13

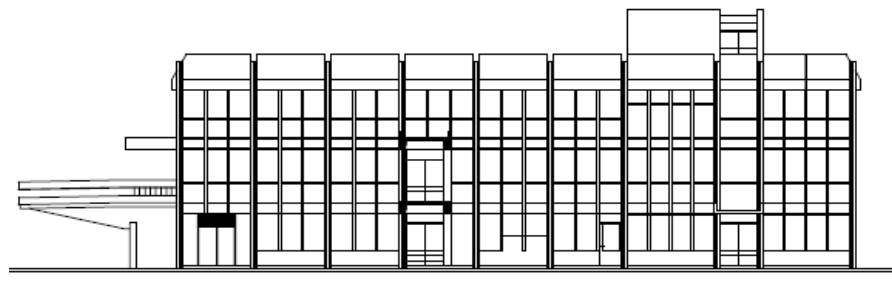
REPUBLIKA SRBIJA
GO MLAĐENOVAC
K.O. MLAĐENOVAC VAROŠ

K.P. BR. 1865



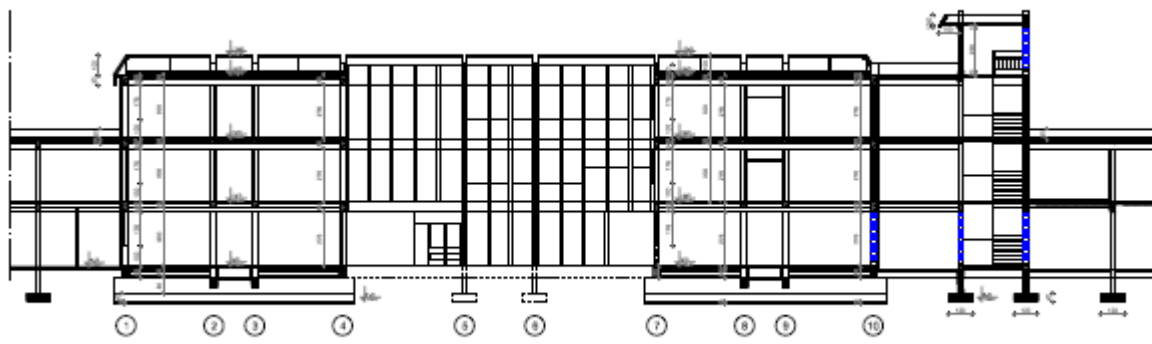
Slika 5: Situacija¹²⁹

¹²⁹ Situacija je potrebna zbog orijentacije prema stranama sveta i odnosa ka susedima



JUGOZAPADNA FASADA

Slika 6: Fasada – pogled 1



Slika 3: Presek

1.2 Osnovni podaci o zgradici

ZGRADA	<input type="checkbox"/> nova*	<input checked="" type="checkbox"/> postojeća*
Namena zgrade ¹³⁰	Dom zdravlja – objekat br.3	
Vrsta zgrade ¹³¹	Zgrade namenjene zdravstvu i socijalnoj zaštiti	
Mesto (lokacija):	Mladenovac	
Vlasnik (investitori):	Dom zdravlja Mladenovac	
Izvođač:	-	
Godina izgradnje:	-	
Godina rekonstrukcije/ energetske sanacije:	2016	
Neto korisna površina grejanog dela zgrade [m ²]:	2999,94 m ²	

¹³⁰ U odnosu na podelu iz tabele 3.4.2.3.1 Pravilnika o energetskoj efikasnosti zgrada

¹³¹ U odnosu na podelu iz čl. 4, kao i tabele 6.5, 6.11a, 6.11b Pravilnika o energetskoj efikasnosti zgrada i čl.14 Pravilnika o uslovima, sadržini i načinu izdavanja sertifikata o energetskim svojstvima zgrada

⁴ Prema tabeli 6.3 i 6.9 Pravilnika o energetskoj efikasnosti zgrada

⁵ Prema tabeli 3.4.2.1 Pravilnika o energetskoj efikasnosti zgrada

⁶ Prema prilogu 5 Pravilnika o energetskoj efikasnosti zgrada

2.0 LOKACIJA I KLIMATSKI PODACI

2.1 Klimatski podaci i položaj zgrade

Klimatski podaci ¹³²	
Lokacija	Mladenovac
Broj stepen dana grejanja <i>HDD</i>	2520
Broj dana grejne sezone <i>HD</i>	175
Srednja temperatura grejnog perioda $\theta_{H,mn}$ [°C]	5,6
Unutrašnja projektna temperatura za zimski period $\theta_{H,i}$ [°C]	20
Uticaj veta ¹³³	
Položaj (izloženost vetrui)	Umereno zaklonjen
Broj fasada izloženih vetrui	Više od jedne fasade

2.2 Uslovi komfora¹³⁴

Objekat ima zidove koji nisu termički izolovani i nisu u skladu sa propisima i standardima važećim za tu vrstu objekta. Ravan krov nema izolaciju pa je predviđeno da se ista izvede prilikom sanacije krova.

Transparentne pregrade prozori i spoljna vrata su od Aluminijuma sa termičkim prekidom, zastakljenje je termo stakлом 4+12+4 mm punjemo vazduhom. Ventilacija je prirodna putem prozora i vrata i iznosi 0,5 izmena na čas, što odgovara nameni objekta, odnosno stanovanju.

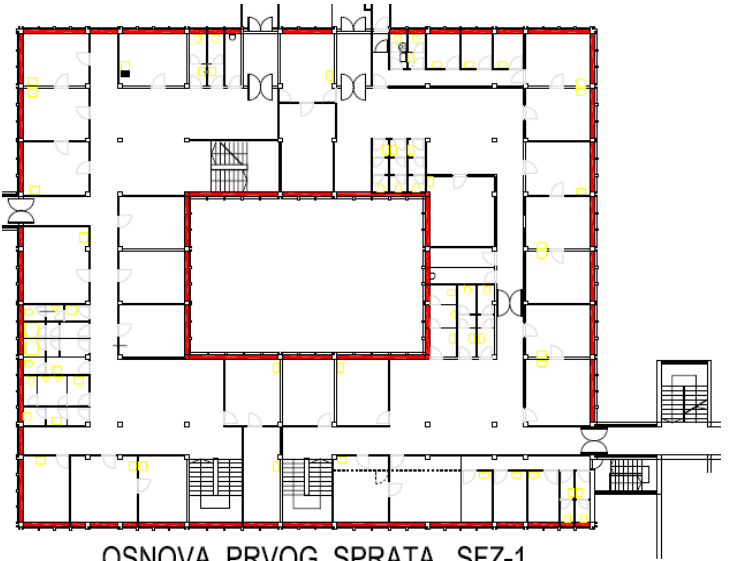
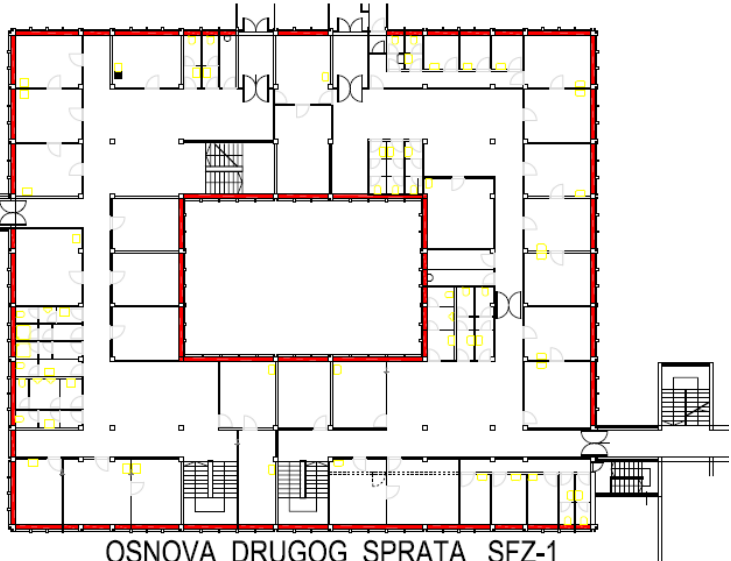
Lokacija na kojoj se nalazi objekat nema posebnih izvora buke, koji bi zahtevao poseban aspekt razmatranja stepena zaštite od buke.

3.0 GRAĐEVINSKA FIZIKA

3.1 Proračun relevantnih pozicija¹³⁵

3.1.1 SPOLJNI ZID

3.1.1.1. Sastav, ilustracija Spoljni zidovi¹³⁶

Broj	1																				
Oznaka	SFZ-1																				
	 <p>OSNOVA PRVOG SPRATA SFZ-1</p>  <p>OSNOVA DRUGOG SPRATA SFZ-1</p>																				
Površina [m ²]	717,2m ²																				
Sastav sklopa	<table border="1"> <thead> <tr> <th>Naziv građevinskog sloja</th> <th>δ [cm]</th> <th>λ [W/mK]</th> <th>ρ [kg/m³]</th> <th>μ [-]</th> </tr> </thead> <tbody> <tr> <td>1.ČELIČNI LIM</td> <td>0,10</td> <td>58,500</td> <td>7800</td> <td>600000</td> </tr> <tr> <td>2.POLISTIREN</td> <td>4,00</td> <td>0,041</td> <td>30</td> <td>45</td> </tr> <tr> <td>3.ČELIČNI LIM</td> <td>0,10</td> <td>58,500</td> <td>7800</td> <td>600000</td> </tr> </tbody> </table>	Naziv građevinskog sloja	δ [cm]	λ [W/mK]	ρ [kg/m ³]	μ [-]	1.ČELIČNI LIM	0,10	58,500	7800	600000	2.POLISTIREN	4,00	0,041	30	45	3.ČELIČNI LIM	0,10	58,500	7800	600000
Naziv građevinskog sloja	δ [cm]	λ [W/mK]	ρ [kg/m ³]	μ [-]																	
1.ČELIČNI LIM	0,10	58,500	7800	600000																	
2.POLISTIREN	4,00	0,041	30	45																	
3.ČELIČNI LIM	0,10	58,500	7800	600000																	

¹³⁵ Ovde su date samo pozicije koje su relevantne za prikazani primer

¹³⁶ Ukoliko ima više od jedne pozicije u okviru grupacije, u ovom slučaju „Spoljni zidovi“, potrebno ih je sve prikazati i obraditi

Skica sklopa ¹³⁷	<p> i e 1 2 3 </p> <p> 1 ČELIČNI LIM 2 POLISTIRENSKE PLOČE 3 ČELIČNI LIM </p>
Ventilisanost sklopa	NIJE VENTILISAN
Parametri ventilisanosti	-

Segmenti pozicije u odnosu na orijentaciju prema stranama sveta ¹³⁸		
	Površina [m ²]	Ilustracija ¹³⁹
Ka severu	191,31	<p>SEVEROZAPDNA FASADA</p>
Ka istoku	146,91	<p>SEVEROISTOČNA FASADA</p>
Ka jugu	198,49	<p>JUGOISTOČNA FASADA</p>

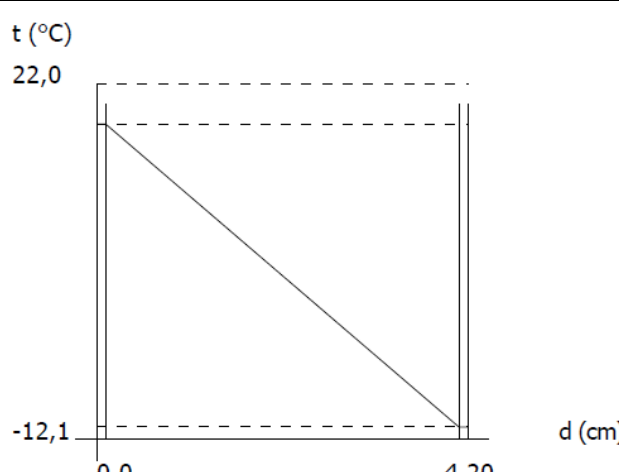
¹³⁷ Ovde je prikazana ilustracija (veličina, orijentacija i oprema crteža se može razlikovati)

¹³⁸ Podela izvršena zbog izračunavanja solarnih dobitaka

¹³⁹ Ova opcija nije obavezna

Ka zapadu	180,49	
-----------	---------------	--

3.1.1.2 Prolaz toplote i polje temperature

Tabelarni prikaz	<table border="1"> <thead> <tr> <th>Opis</th><th>λ [W/mK]</th><th>R [(m².K)/W]</th><th>$\Delta\theta$ [°C]</th><th>θ [°C]</th></tr> </thead> <tbody> <tr> <td>Unutra</td><td></td><td></td><td></td><td>22,00</td></tr> <tr> <td>Prelaženje</td><td></td><td>0,1300</td><td>3,87</td><td>18,13</td></tr> <tr> <td>1.ČELIČNI LIM</td><td>58,500</td><td>0,0000</td><td>0,00</td><td>18,13</td></tr> <tr> <td>2.POLISTIREN</td><td>0,041</td><td>0,9756</td><td>29,04</td><td>-10,91</td></tr> <tr> <td>3.ČELIČNI LIM</td><td>58,500</td><td>0,0000</td><td>0,00</td><td>-10,91</td></tr> <tr> <td>Prelaženje topline</td><td></td><td>0,0400</td><td>1,19</td><td>-10,91</td></tr> <tr> <td>Spolja</td><td></td><td></td><td></td><td>-12,10</td></tr> <tr> <td>Ukupni otpor</td><td></td><td>1,146</td><td></td><td></td></tr> </tbody> </table>	Opis	λ [W/mK]	R [(m ² .K)/W]	$\Delta\theta$ [°C]	θ [°C]	Unutra				22,00	Prelaženje		0,1300	3,87	18,13	1.ČELIČNI LIM	58,500	0,0000	0,00	18,13	2.POLISTIREN	0,041	0,9756	29,04	-10,91	3.ČELIČNI LIM	58,500	0,0000	0,00	-10,91	Prelaženje topline		0,0400	1,19	-10,91	Spolja				-12,10	Ukupni otpor		1,146		
Opis	λ [W/mK]	R [(m ² .K)/W]	$\Delta\theta$ [°C]	θ [°C]																																										
Unutra				22,00																																										
Prelaženje		0,1300	3,87	18,13																																										
1.ČELIČNI LIM	58,500	0,0000	0,00	18,13																																										
2.POLISTIREN	0,041	0,9756	29,04	-10,91																																										
3.ČELIČNI LIM	58,500	0,0000	0,00	-10,91																																										
Prelaženje topline		0,0400	1,19	-10,91																																										
Spolja				-12,10																																										
Ukupni otpor		1,146																																												
Grafik temperatura ¹⁴⁰	<p>t (°C)</p>  <p>22,0</p> <p>-12,1</p> <p>0,0</p> <p>4,20</p> <p>d (cm)</p>																																													
Površinski koeficijenat prolaza topline U [W/(m ² K)]	0,873																																													

¹⁴⁰ Ovde je prikazana ilustracija (veličina, orijentacija i oprema crteža se može razlikovati)

3.1.1.3 Difuzija vodene pare i isušenje

Tabelarni prikaz	<table border="1"> <thead> <tr> <th>Opis</th><th>μ [-]</th><th>$\Delta\theta$ [°C]</th><th>θ [°C]</th><th>p' [Pa]</th><th>ps [Pa]</th></tr> </thead> <tbody> <tr> <td>Unutra</td><td></td><td></td><td>22,00</td><td>2640</td><td></td></tr> <tr> <td>Prelaženje</td><td></td><td>3,06</td><td>18,94</td><td>2186</td><td>1452</td></tr> <tr> <td>1.ČELIČNI LIM</td><td>600000</td><td>0,00</td><td>18,94</td><td>2186</td><td>907</td></tr> <tr> <td>2.POLISTIREN</td><td>45</td><td>23,00</td><td>-4,06</td><td>435</td><td>906</td></tr> <tr> <td>3.ČELIČNI LIM</td><td>600000</td><td>0,00</td><td>-4,06</td><td>435</td><td>361</td></tr> <tr> <td>Prelaženje toplove</td><td></td><td>0,94</td><td>-4,06</td><td>435</td><td>361</td></tr> <tr> <td>Spolja</td><td></td><td></td><td>-5,00</td><td>401</td><td></td></tr> </tbody> </table>	Opis	μ [-]	$\Delta\theta$ [°C]	θ [°C]	p' [Pa]	ps [Pa]	Unutra			22,00	2640		Prelaženje		3,06	18,94	2186	1452	1.ČELIČNI LIM	600000	0,00	18,94	2186	907	2.POLISTIREN	45	23,00	-4,06	435	906	3.ČELIČNI LIM	600000	0,00	-4,06	435	361	Prelaženje toplove		0,94	-4,06	435	361	Spolja			-5,00	401	
Opis	μ [-]	$\Delta\theta$ [°C]	θ [°C]	p' [Pa]	ps [Pa]																																												
Unutra			22,00	2640																																													
Prelaženje		3,06	18,94	2186	1452																																												
1.ČELIČNI LIM	600000	0,00	18,94	2186	907																																												
2.POLISTIREN	45	23,00	-4,06	435	906																																												
3.ČELIČNI LIM	600000	0,00	-4,06	435	361																																												
Prelaženje toplove		0,94	-4,06	435	361																																												
Spolja			-5,00	401																																													
Grafik ¹⁴¹	<p>The diagram illustrates the pressure distribution across a wall thickness. The y-axis represents pressure p in kPa, ranging from 0.0 to 2.0. The x-axis represents the radius r in meters, with a break between the inner region (0.0 to 1.201,80 m) and the outer region. In the inner region, the pressure is constant at approximately 2.0 kPa. In the outer region, the pressure decreases linearly from about 1.3 kPa at $r=0$ to 0.3 kPa at $r=1.201,80$ m.</p>																																																
Proračun kondenzacije ¹⁴²	<p>Na unutrašnjoj površini nema orošavanja – pri $\Theta_e=-12,1^{\circ}\text{C}$ i $\Theta_i=22^{\circ}\text{C}$ kondenzacija na unutrašnjoj površini će se pojaviti pri vlažnosti od 78,7 %</p> <ul style="list-style-type: none"> -Temperatura na unutrašnjoj površini $\Theta_1=18,1^{\circ}\text{C}$ - Minimalna dozvoljena temperatura na unutrašnjoj površini $\Theta_d=12,5^{\circ}\text{C}$ 																																																
Vreme isušenja	<p>Do pojave kondenzacije dolazi u zoni 3</p> <ul style="list-style-type: none"> - Gustina difuzijskog toka vodene pare koji ulazi u konstrukciju $0,001 \text{ g/m}^2\text{h}$ - Gustina difuzijskog toka vodene pare koji izlazi iz konstrukcije $0,000 \text{ g/m}^2\text{h}$ - Količina kondenzovane vodene pare $0,001 \text{ g/m}^2$ - Količina kondenzata posle 60 dana vlaženja $1,512 \text{ g/m}^2$ - Potrebno vreme za isušenje 50,910 dana - Najveće dozvoljeno vreme isušenja 90 dana <p>KONSTRUKCIJA ZADOVOLJAVA</p>																																																

3.1.14 Letnja stabilnost¹⁴³

	Vrednost	Minimum	Zadovoljava
Faktor prigušenja amplitude oscilacije temperature v [-]	8,112	15	Ne
Faktor kašnjenja oscilacije temperature η [h]	0	0	Da

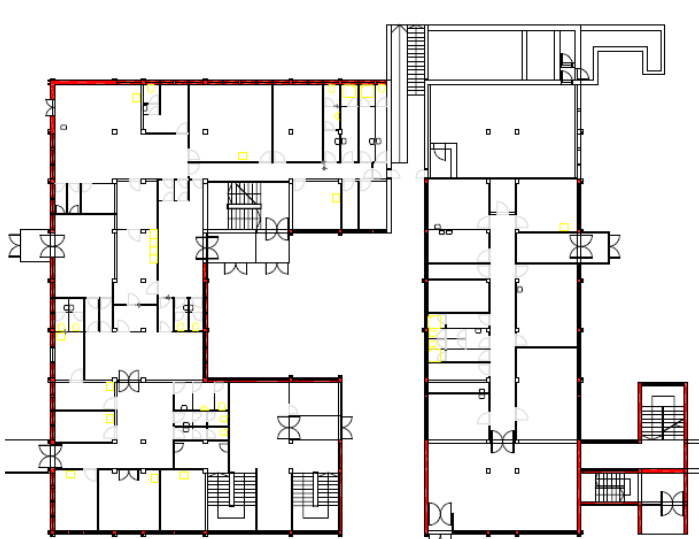
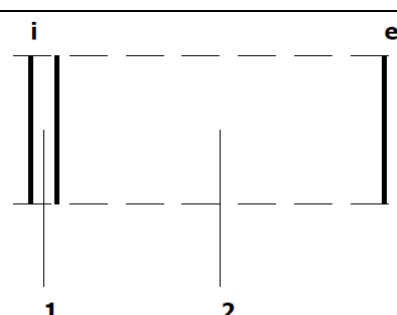
¹⁴¹ Ovde je prikazana ilustracija (veličina, orijentacija i oprema crteža se može razlikovati)

¹⁴² U skladu sa poglavljem 3.3 Pravilnika o energetskoj efikasnosti zgrada

¹⁴³ Prema poglavlju 3.2 Pravilnika o energetskoj efikasnosti zgrada

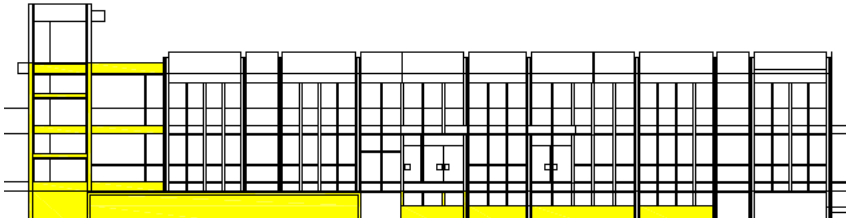
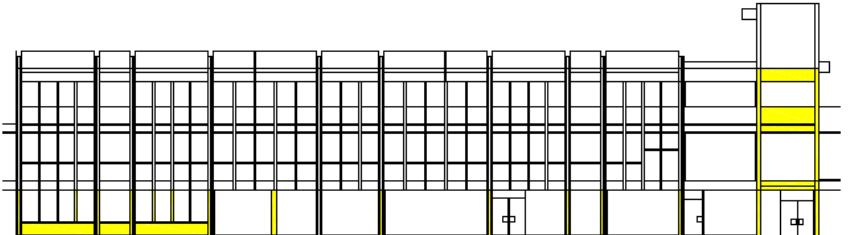
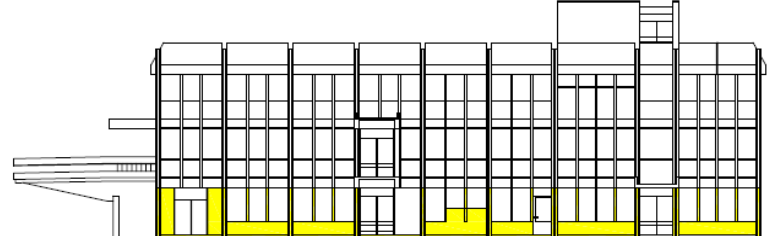
3.1.2 SPOLJNI ZID

3.1.2.1. Sastav, ilustracija Spoljni zidovi¹⁴⁴

Broj	2															
Oznaka	SFZ-2															
	 <p style="text-align: center;">OSNOVA PRIZEMLJA SFZ-2</p>															
Površina [m ²]	511,17m ²															
Sastav sklopa	<table border="1" style="width: 100%; border-collapse: collapse;"> <thead> <tr> <th>Naziv građevinskog sloja</th> <th>δ [cm]</th> <th>λ [W/mK]</th> <th>ρ [kg/m³]</th> <th>μ [-]</th> </tr> </thead> <tbody> <tr> <td>1.PRODUŽENI KREČNI MALTER</td> <td>2,00</td> <td>0,870</td> <td>1800</td> <td>20</td> </tr> <tr> <td>2.PUNA OPEKA</td> <td>25,0</td> <td>0,760</td> <td>1800</td> <td>12</td> </tr> </tbody> </table>	Naziv građevinskog sloja	δ [cm]	λ [W/mK]	ρ [kg/m ³]	μ [-]	1.PRODUŽENI KREČNI MALTER	2,00	0,870	1800	20	2.PUNA OPEKA	25,0	0,760	1800	12
Naziv građevinskog sloja	δ [cm]	λ [W/mK]	ρ [kg/m ³]	μ [-]												
1.PRODUŽENI KREČNI MALTER	2,00	0,870	1800	20												
2.PUNA OPEKA	25,0	0,760	1800	12												
Skica sklopa ¹⁴⁵	 <p style="text-align: right;"> 1 PRODUŽNI KREČNI MALTER 1800 2 PUNA OPEKA 1800 </p>															
Ventilisanost sklopa	NIJE VENTILISAN															
Parametri ventilisanosti	-															

¹⁴⁴ Ukoliko ima više od jedne pozicije u okviru grupacije, u ovom slučaju „Spoljni zidovi“, potrebno ih je **sve** prikazati i obraditi

¹⁴⁵ Ovde je prikazana ilustracija (veličina, orientacija i oprema crteža se može razlikovati)

Segmenti pozicije u odnosu na orijentaciju prema stranama sveta ¹⁴⁶		
	Površina [m ²]	Ilustracija ¹⁴⁷
Ka severu	160,23	 <p>SEVEROZAPDNA FASADA</p>
Ka istoku	84,19	 <p>SEVEROISTOČNA FASADA</p>
Ka jugu	134,89	 <p>JUGOISTOČNA FASADA</p>
Ka zapadu	131,86	 <p>JUGOZAPADNA FASADA</p>

¹⁴⁶ Podela izvršena zbog izračunavanja solarnih dobitaka

¹⁴⁷ Ova opcija nije obavezna

3.1.2.2 Prolaz topline i polje temperature

Tabelarni prikaz	<table border="1"> <thead> <tr> <th>Opis</th><th>λ [W/mK]</th><th>R [(m².K)/W]</th><th>$\Delta\theta$ [°C]</th><th>θ [°C]</th></tr> </thead> <tbody> <tr> <td>Unutra</td><td></td><td></td><td></td><td>22,00</td></tr> <tr> <td>Prelaženje</td><td></td><td>0,1300</td><td>8,49</td><td>13,51</td></tr> <tr> <td>1.PRODUŽENI KREČNI MALTER</td><td>0,870</td><td>0,0230</td><td>1,51</td><td>12,00</td></tr> <tr> <td>2.PUNA OPEKA</td><td>0,760</td><td>0,3289</td><td>21,49</td><td>-9,49</td></tr> <tr> <td>Prelaženje topline</td><td></td><td>0,0400</td><td>2,61</td><td>-9,49</td></tr> <tr> <td>Spolja</td><td></td><td></td><td></td><td>-12,10</td></tr> <tr> <td>Ukupni otpor</td><td></td><td>0,522</td><td></td><td></td></tr> </tbody> </table>	Opis	λ [W/mK]	R [(m ² .K)/W]	$\Delta\theta$ [°C]	θ [°C]	Unutra				22,00	Prelaženje		0,1300	8,49	13,51	1.PRODUŽENI KREČNI MALTER	0,870	0,0230	1,51	12,00	2.PUNA OPEKA	0,760	0,3289	21,49	-9,49	Prelaženje topline		0,0400	2,61	-9,49	Spolja				-12,10	Ukupni otpor		0,522		
Opis	λ [W/mK]	R [(m ² .K)/W]	$\Delta\theta$ [°C]	θ [°C]																																					
Unutra				22,00																																					
Prelaženje		0,1300	8,49	13,51																																					
1.PRODUŽENI KREČNI MALTER	0,870	0,0230	1,51	12,00																																					
2.PUNA OPEKA	0,760	0,3289	21,49	-9,49																																					
Prelaženje topline		0,0400	2,61	-9,49																																					
Spolja				-12,10																																					
Ukupni otpor		0,522																																							
Grafik temperaturnog polja	<p>Diagram prikazuje temperaturno polje u zidu od proženog krušnog maltera. Temperatura na unutarnjem bodu je 22,0 °C, a na spoljšnjem bodu je -12,1 °C. Profil temperature je linearni.</p> <p>Temperatura (t [°C])</p> <p>Spoljni bok (d [cm])</p> <p>Unutarnji bok (d [cm])</p>																																								
Površinski koeficijenat prolaza topline U [W/(m ² K)]	1,916																																								

3.1.2.3 Difuzija vodene pare i isušenje

Tabelarni prikaz	<table border="1"> <thead> <tr> <th>Opis</th><th>μ [-]</th><th>$\Delta\theta$ [°C]</th><th>θ [°C]</th><th>p' [Pa]</th><th>p_s [Pa]</th></tr> </thead> <tbody> <tr> <td>Unutra</td><td></td><td></td><td>22,00</td><td>2640</td><td></td></tr> <tr> <td>Prelaženje</td><td></td><td>6,72</td><td>15,28</td><td>1734</td><td>1452</td></tr> <tr> <td>1.PRODUŽENI KREČNI MALTER</td><td>20</td><td>1,19</td><td>14,09</td><td>1606</td><td>1324</td></tr> <tr> <td>2.PUNA OPEKA</td><td>12</td><td>17,02</td><td>-2,93</td><td>478</td><td>361</td></tr> <tr> <td>Prelaženje topline</td><td></td><td>2,07</td><td>-2,93</td><td>478</td><td>361</td></tr> <tr> <td>Spolja</td><td></td><td></td><td>-5,00</td><td>401</td><td></td></tr> </tbody> </table>	Opis	μ [-]	$\Delta\theta$ [°C]	θ [°C]	p' [Pa]	p_s [Pa]	Unutra			22,00	2640		Prelaženje		6,72	15,28	1734	1452	1.PRODUŽENI KREČNI MALTER	20	1,19	14,09	1606	1324	2.PUNA OPEKA	12	17,02	-2,93	478	361	Prelaženje topline		2,07	-2,93	478	361	Spolja			-5,00	401	
Opis	μ [-]	$\Delta\theta$ [°C]	θ [°C]	p' [Pa]	p_s [Pa]																																						
Unutra			22,00	2640																																							
Prelaženje		6,72	15,28	1734	1452																																						
1.PRODUŽENI KREČNI MALTER	20	1,19	14,09	1606	1324																																						
2.PUNA OPEKA	12	17,02	-2,93	478	361																																						
Prelaženje topline		2,07	-2,93	478	361																																						
Spolja			-5,00	401																																							

¹⁴⁸ Ovde je prikazana ilustracija (veličina, orijentacija i oprema crteža se može razlikovati)

Grafik ¹⁴⁹	
Proračun kondenzacije ¹⁵⁰	U KONSTRUKCIJI NE DOLAZI DO KONDENZACIJE
Vreme isušenja	-

3.1.2.4 Letnja stabilnost¹⁵¹

	Vrednost	Minimum	Zadovoljava
Faktor prigušenja amplitude oscilacije temperature v [-]	16,675	15	Da
Faktor kašnjenja oscilacije temperature η [h]	0	0	Da

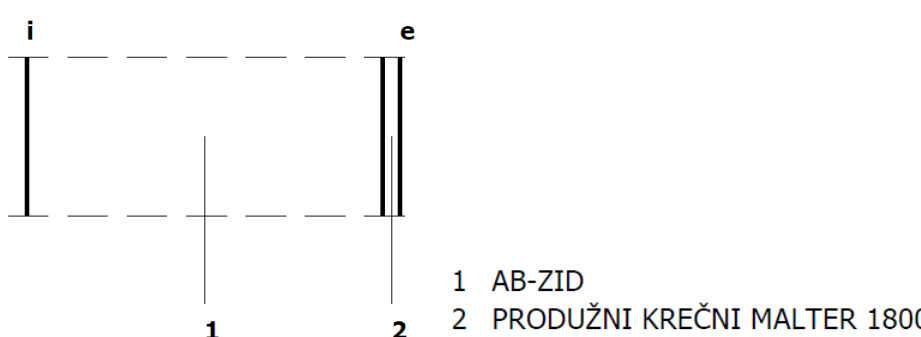
¹⁴⁹ Ovde je prikazana ilustracija (veličina, orientacija i oprema crteža se može razlikovati)

¹⁵⁰ U skladu sa poglavljem 3.3 Pravilnika o energetskoj efikasnosti zgrada

¹⁵¹ Prema poglavlu 3.2 Pravilnika o energetskoj efikasnosti zgrada

3.1.3 SPOLJNI ZID

3.1.3.1. Sastav, ilustracija Spoljni zidovi¹⁵²

Broj	3															
Oznaka	SFZ-3															
	 <p style="text-align: center;">OSNOVA PRIZEMLJA SFZ-3</p>															
Površina [m ²]	47,66m ²															
Sastav sklopa	<table border="1" style="width: 100%; border-collapse: collapse;"> <thead> <tr> <th style="text-align: left; padding: 2px;">Naziv građevinskog sloja</th> <th style="text-align: center; padding: 2px;">δ [cm]</th> <th style="text-align: center; padding: 2px;">λ [W/mK]</th> <th style="text-align: center; padding: 2px;">ρ [kg/m³]</th> <th style="text-align: center; padding: 2px;">μ [-]</th> </tr> </thead> <tbody> <tr> <td style="padding: 2px;">1.ARMIRANI BETON</td> <td style="text-align: center; padding: 2px;">40,0</td> <td style="text-align: center; padding: 2px;">2,330</td> <td style="text-align: center; padding: 2px;">2800</td> <td style="text-align: center; padding: 2px;">90</td> </tr> <tr> <td style="padding: 2px;">2.PRODUŽENI KREŠNI MALTER</td> <td style="text-align: center; padding: 2px;">2,00</td> <td style="text-align: center; padding: 2px;">0,870</td> <td style="text-align: center; padding: 2px;">1800</td> <td style="text-align: center; padding: 2px;">20</td> </tr> </tbody> </table>	Naziv građevinskog sloja	δ [cm]	λ [W/mK]	ρ [kg/m ³]	μ [-]	1.ARMIRANI BETON	40,0	2,330	2800	90	2.PRODUŽENI KREŠNI MALTER	2,00	0,870	1800	20
Naziv građevinskog sloja	δ [cm]	λ [W/mK]	ρ [kg/m ³]	μ [-]												
1.ARMIRANI BETON	40,0	2,330	2800	90												
2.PRODUŽENI KREŠNI MALTER	2,00	0,870	1800	20												
Skica sklopa ¹⁵³	 <p style="text-align: center;">1 2</p> <p style="text-align: right;">1 AB-ZID 2 PRODUŽNI KREČNI MALTER 1800</p>															
Ventilisanost sklopa	NIJE VENTILISAN															
Parametri ventilisanosti	-															

¹⁵² Ukoliko ima više od jedne pozicije u okviru grupacije, u ovom slučaju „Spoljni zidovi“, potrebno ih je **sve** prikazati i obraditi

¹⁵³ Ovde je prikazana ilustracija (veličina, orientacija i oprema crteža se može razlikovati)

Segmenti pozicije u odnosu na orijentaciju prema stranama sveta¹⁵⁴

	Površina [m ²]	Ilustracija ¹⁵⁵
Ka severu	-	
Ka istoku	23,83	
Ka jugu	-	
Ka zapadu	23,83	

3.1.2.2 Prolaz toplote i polje temperature

Tabelarni prikaz	<table border="1"> <thead> <tr> <th>Opis</th><th>λ [W/mK]</th><th>R [(m².K)/W]</th><th>$\Delta\theta$ [°C]</th><th>θ [°C]</th></tr> </thead> <tbody> <tr> <td>Unutra</td><td></td><td></td><td></td><td>22,00</td></tr> <tr> <td>Prelaženje</td><td></td><td>0,1300</td><td>12,16</td><td>9,84</td></tr> <tr> <td>1.ARMIRANI BETON</td><td>2,330</td><td>0,1717</td><td>16,05</td><td>-6,21</td></tr> <tr> <td>2.PRODUŽENI KREČNI MALTER</td><td>0,870</td><td>0,0230</td><td>2,15</td><td>-8,36</td></tr> <tr> <td>Prelaženje topline</td><td></td><td>0,0400</td><td>3,74</td><td>-8,36</td></tr> <tr> <td>Spolja</td><td></td><td></td><td></td><td>-12,10</td></tr> <tr> <td>Ukupni otpor</td><td></td><td>0,365</td><td></td><td></td></tr> </tbody> </table>	Opis	λ [W/mK]	R [(m ² .K)/W]	$\Delta\theta$ [°C]	θ [°C]	Unutra				22,00	Prelaženje		0,1300	12,16	9,84	1.ARMIRANI BETON	2,330	0,1717	16,05	-6,21	2.PRODUŽENI KREČNI MALTER	0,870	0,0230	2,15	-8,36	Prelaženje topline		0,0400	3,74	-8,36	Spolja				-12,10	Ukupni otpor		0,365		
Opis	λ [W/mK]	R [(m ² .K)/W]	$\Delta\theta$ [°C]	θ [°C]																																					
Unutra				22,00																																					
Prelaženje		0,1300	12,16	9,84																																					
1.ARMIRANI BETON	2,330	0,1717	16,05	-6,21																																					
2.PRODUŽENI KREČNI MALTER	0,870	0,0230	2,15	-8,36																																					
Prelaženje topline		0,0400	3,74	-8,36																																					
Spolja				-12,10																																					
Ukupni otpor		0,365																																							
Grafik temperatura ¹⁵⁶																																									
Površinski koeficijenat prolaza topline U [W/(m ² K)]	2,742																																								

¹⁵⁴ Podela izvršena zbog izračunavanja solarnih dobitaka

¹⁵⁵ Ova opcija nije obavezna

¹⁵⁶ Ovde je prikazana ilustracija (veličina, orijentacija i oprema crteža se može razlikovati)

3.1.2.3 Difuzija vodene pare i isušenje

Tabelarni prikaz	<table border="1"> <thead> <tr> <th>Opis</th><th>μ [-]</th><th>$\Delta\theta$ [°C]</th><th>θ [°C]</th><th>p' [Pa]</th><th>ps [Pa]</th></tr> </thead> <tbody> <tr> <td>Unutra</td><td></td><td></td><td>22,00</td><td>2640</td><td></td></tr> <tr> <td>Prelaženje</td><td></td><td>9,63</td><td>12,37</td><td>1436</td><td>1452</td></tr> <tr> <td>1.ARMIRANI BETON</td><td>90</td><td>12,71</td><td>-0,34</td><td>594</td><td>373</td></tr> <tr> <td>2.PRODUŽENI KREČNI MALTER</td><td>20</td><td>1,70</td><td>-2,04</td><td>516</td><td>361</td></tr> <tr> <td>Prelaženje topline</td><td></td><td>2,96</td><td>-2,04</td><td>516</td><td>361</td></tr> <tr> <td>Spolja</td><td></td><td></td><td>-5,00</td><td>401</td><td></td></tr> </tbody> </table>	Opis	μ [-]	$\Delta\theta$ [°C]	θ [°C]	p' [Pa]	ps [Pa]	Unutra			22,00	2640		Prelaženje		9,63	12,37	1436	1452	1.ARMIRANI BETON	90	12,71	-0,34	594	373	2.PRODUŽENI KREČNI MALTER	20	1,70	-2,04	516	361	Prelaženje topline		2,96	-2,04	516	361	Spolja			-5,00	401	
Opis	μ [-]	$\Delta\theta$ [°C]	θ [°C]	p' [Pa]	ps [Pa]																																						
Unutra			22,00	2640																																							
Prelaženje		9,63	12,37	1436	1452																																						
1.ARMIRANI BETON	90	12,71	-0,34	594	373																																						
2.PRODUŽENI KREČNI MALTER	20	1,70	-2,04	516	361																																						
Prelaženje topline		2,96	-2,04	516	361																																						
Spolja			-5,00	401																																							
Grafik ¹⁵⁷																																											
Proračun kondenzacije ¹⁵⁸	<p>Na unutrašnjoj površini nema orošavanja – pri $\Theta_e=-12,1^{\circ}\text{C}$ i $\Theta_i=22^{\circ}\text{C}$ kondenzacija na unutrašnjoj površini će se pojaviti pri vlažnosti od 46,0%</p> <ul style="list-style-type: none"> -Temperatura na unutrašnjoj površini $\Theta_1=9,8^{\circ}\text{C}$ - Minimalna dozvoljena temperatura na unutrašnjoj površini $\Theta_d=12,5^{\circ}\text{C}$ 																																										
Vreme isušenja	<p>Do pojave kondenzacije dolazi u zoni 1</p> <ul style="list-style-type: none"> - Gustina difuzijskog toka vodene pare koji ulazi u konstrukciju 0,000 g/m²h - Gustina difuzijskog toka vodene pare koji izlazi iz konstrukcije 0,020 g/m²h - Količina kondenzovane vodene pare - 0,020g/m² - Količina kondenzata posle 60 dana vlaženja - 28,493/m² - Potrebno vreme za isušenje - 116,222 dana - Najveće dozvoljeno vreme isušenja 90 dana <p>KONSTRUKCIJA NE ZADOVOLJAVA</p>																																										

3.1.2.4 Letnja stabilnost¹⁵⁹

	Vrednost	Minimum	Zadovoljava
Faktor prigušenja amplitude oscilacije temperature v [-]	27,963	15	Da
Faktor kašnjenja oscilacije temperature η [h]	0	0	Da

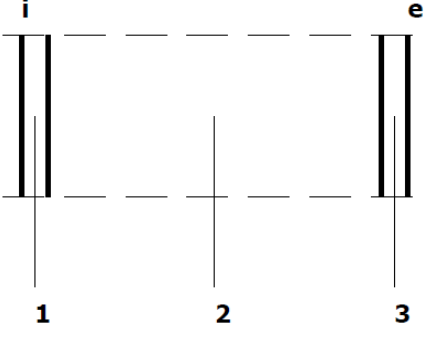
¹⁵⁷ Ovde je prikazana ilustracija (veličina, orijentacija i oprema crteža se može razlikovati)

¹⁵⁸ U skladu sa poglavljem 3.3 Pravilnika o energetskoj efikasnosti zgrada

¹⁵⁹ Prema poglavlju 3.2 Pravilnika o energetskoj efikasnosti zgrada

3.1.4 SPOLJNI ZID

3.1.4.1. Sastav, ilustracija Spoljni zidovi¹⁶⁰

Broj	4																				
Oznaka	SFZ-4																				
	 <p style="text-align: center;">OSNOVA PRIZMLJA SFZ-4</p>																				
Površina [m ²]	36,74m ²																				
Sastav sklopa	<table border="1" style="width: 100%; border-collapse: collapse;"> <thead> <tr> <th>Naziv građevinskog sloja</th> <th>δ [cm]</th> <th>λ [W/mK]</th> <th>ρ [kg/m³]</th> <th>μ [-]</th> </tr> </thead> <tbody> <tr> <td>1.PRODUŽENI KREŠNI MALTER</td> <td>2,00</td> <td>0,870</td> <td>1800</td> <td>20</td> </tr> <tr> <td>2.PUNA OPEKA</td> <td>25,0</td> <td>0,760</td> <td>1800</td> <td>12</td> </tr> <tr> <td>3.PRODUŽENI KREŠNI MALTER</td> <td>2,00</td> <td>0,870</td> <td>1800</td> <td>20</td> </tr> </tbody> </table>	Naziv građevinskog sloja	δ [cm]	λ [W/mK]	ρ [kg/m ³]	μ [-]	1.PRODUŽENI KREŠNI MALTER	2,00	0,870	1800	20	2.PUNA OPEKA	25,0	0,760	1800	12	3.PRODUŽENI KREŠNI MALTER	2,00	0,870	1800	20
Naziv građevinskog sloja	δ [cm]	λ [W/mK]	ρ [kg/m ³]	μ [-]																	
1.PRODUŽENI KREŠNI MALTER	2,00	0,870	1800	20																	
2.PUNA OPEKA	25,0	0,760	1800	12																	
3.PRODUŽENI KREŠNI MALTER	2,00	0,870	1800	20																	
Skica sklopa ¹⁶¹	 <p style="text-align: right;"> 1 PRODUCED CEMENT MORTAR 1800 2 FILLER 1800 3 PRODUCED CEMENT MORTAR 1800 </p>																				
Ventilisanost sklopa	NIJE VENTILISAN																				
Parametri ventilisanosti	-																				

¹⁶⁰ Ukoliko ima više od jedne pozicije u okviru grupacije, u ovom slučaju „Spoljni zidovi“, potrebno ih je **sve** prikazati i obraditi

¹⁶¹ Ovde je prikazana ilustracija (veličina, orientacija i oprema crteža se može razlikovati)

Segmenti pozicije u odnosu na orientaciju prema stranama sveta ¹⁶²		
	Površina [m ²]	Ilustracija ¹⁶³
Ka severu	-	
Ka istoku	36,74	
Ka jugu	-	
Ka zapadu	-	

3.1.2.2 Prolaz topline i polje temperature

Tabelarni prikaz	<table border="1"> <thead> <tr> <th>Opis</th><th>λ [W/mK]</th><th>R [(m².K)/W]</th><th>$\Delta\theta$ [°C]</th><th>θ [°C]</th></tr> </thead> <tbody> <tr> <td>Unutra</td><td></td><td></td><td></td><td>22,00</td></tr> <tr> <td>Prelaženje</td><td></td><td>0,1300</td><td>8,14</td><td>13,86</td></tr> <tr> <td>1.PRODUŽENI KREŠNI MALTER</td><td>2,330</td><td>0,0230</td><td>1,43</td><td>12,43</td></tr> <tr> <td>2.PUNA OPEKA</td><td>0,870</td><td>0,3289</td><td>20,59</td><td>-8,16</td></tr> <tr> <td>3.PRODUŽENI KREŠNI MALTER</td><td></td><td>0,0230</td><td>1,44</td><td>-9,60</td></tr> <tr> <td>Prelaženje topline</td><td></td><td>0,0400</td><td>2,50</td><td>-9,60</td></tr> <tr> <td>Spolja</td><td></td><td></td><td></td><td>-12,10</td></tr> <tr> <td>Ukupni otpor</td><td></td><td>0,545</td><td></td><td></td></tr> </tbody> </table>	Opis	λ [W/mK]	R [(m ² .K)/W]	$\Delta\theta$ [°C]	θ [°C]	Unutra				22,00	Prelaženje		0,1300	8,14	13,86	1.PRODUŽENI KREŠNI MALTER	2,330	0,0230	1,43	12,43	2.PUNA OPEKA	0,870	0,3289	20,59	-8,16	3.PRODUŽENI KREŠNI MALTER		0,0230	1,44	-9,60	Prelaženje topline		0,0400	2,50	-9,60	Spolja				-12,10	Ukupni otpor		0,545		
Opis	λ [W/mK]	R [(m ² .K)/W]	$\Delta\theta$ [°C]	θ [°C]																																										
Unutra				22,00																																										
Prelaženje		0,1300	8,14	13,86																																										
1.PRODUŽENI KREŠNI MALTER	2,330	0,0230	1,43	12,43																																										
2.PUNA OPEKA	0,870	0,3289	20,59	-8,16																																										
3.PRODUŽENI KREŠNI MALTER		0,0230	1,44	-9,60																																										
Prelaženje topline		0,0400	2,50	-9,60																																										
Spolja				-12,10																																										
Ukupni otpor		0,545																																												
Grafik temperatura ¹⁶⁴	<p>Temperatura (t °C)</p> <p>22,0</p> <p>-12,1</p> <p>d (cm)</p> <p>0,0 29,00</p>																																													

¹⁶² Podela izvršena zbog izračunavanja solarnih dobitaka

¹⁶³ Ova opcija nije obavezna

¹⁶⁴ Ovde je prikazana ilustracija (veličina, orientacija i oprema crteža se može razlikovati)

Površinski koeficijenat prolaza topote U [W/(m ² K)]	1,835
---	-------

3.1.2.3 Difuzija vodene pare i isušenje

Tabelarni prikaz	<table border="1"> <thead> <tr> <th>Opis</th><th>μ [-]</th><th>$\Delta\theta$ [°C]</th><th>θ [°C]</th><th>p' [Pa]</th><th>p_s [Pa]</th></tr> </thead> <tbody> <tr> <td>Unutra</td><td></td><td></td><td>22,00</td><td>2640</td><td></td></tr> <tr> <td>Prelaženje</td><td></td><td>6,44</td><td>15,56</td><td>1766</td><td>1452</td></tr> <tr> <td>1.PRODUŽENI KREŠNI MALTER</td><td>90</td><td>1,14</td><td>14,42</td><td>1641</td><td>1337</td></tr> <tr> <td>2.PUNA OPEKA</td><td>20</td><td>16,3</td><td>-1,88</td><td>522</td><td>476</td></tr> <tr> <td>3.PRODUŽENI KREŠNI MALTER</td><td></td><td>1,14</td><td>-3,02</td><td>475</td><td>361</td></tr> <tr> <td>Prelaženje topote</td><td></td><td>1,98</td><td>-3,02</td><td>475</td><td>361</td></tr> <tr> <td>Spolja</td><td></td><td></td><td>-5,00</td><td>401</td><td></td></tr> </tbody> </table>	Opis	μ [-]	$\Delta\theta$ [°C]	θ [°C]	p' [Pa]	p_s [Pa]	Unutra			22,00	2640		Prelaženje		6,44	15,56	1766	1452	1.PRODUŽENI KREŠNI MALTER	90	1,14	14,42	1641	1337	2.PUNA OPEKA	20	16,3	-1,88	522	476	3.PRODUŽENI KREŠNI MALTER		1,14	-3,02	475	361	Prelaženje topote		1,98	-3,02	475	361	Spolja			-5,00	401	
Opis	μ [-]	$\Delta\theta$ [°C]	θ [°C]	p' [Pa]	p_s [Pa]																																												
Unutra			22,00	2640																																													
Prelaženje		6,44	15,56	1766	1452																																												
1.PRODUŽENI KREŠNI MALTER	90	1,14	14,42	1641	1337																																												
2.PUNA OPEKA	20	16,3	-1,88	522	476																																												
3.PRODUŽENI KREŠNI MALTER		1,14	-3,02	475	361																																												
Prelaženje topote		1,98	-3,02	475	361																																												
Spolja			-5,00	401																																													
Grafik ¹⁶⁵																																																	
Proračun kondenzacije ¹⁶⁶	U KONSTRUKCIJI NE DOLAZI DO KONDENZACIJE																																																
Vreme isušenja	-																																																

3.1.2.4 Letnja stabilnost¹⁶⁷

	Vrednost	Minimum	Zadovoljava
Faktor prigušenja amplitude oscilacije temperature v [-]	19,893	15	Da
Faktor kašnjenja oscilacije temperature η [h]	0	0	Da

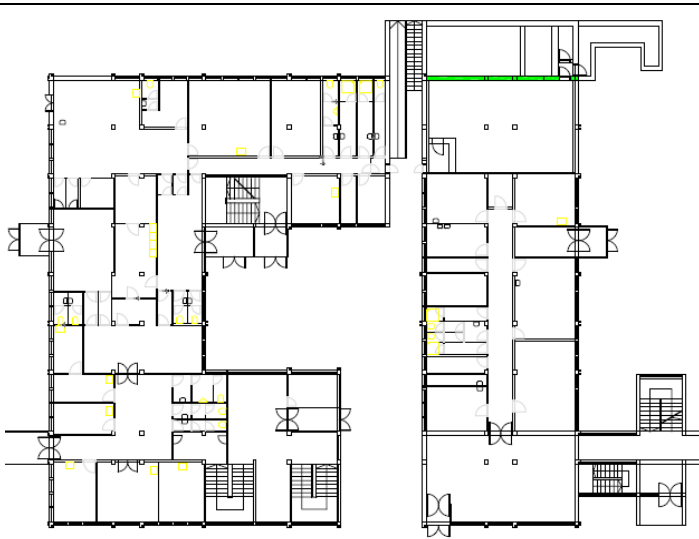
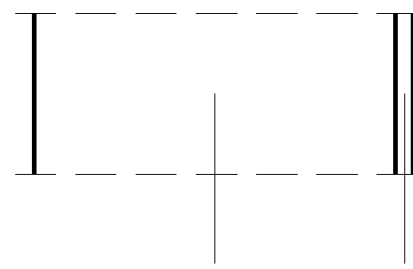
¹⁶⁵ Ovde je prikazana ilustracija (veličina, orijentacija i oprema crteža se može razlikovati)

¹⁶⁶ U skladu sa poglavljem 3.3 Pravilnika o energetskoj efikasnosti zgrada

¹⁶⁷ Prema poglavlju 3.2 Pravilnika o energetskoj efikasnosti zgrada

3.1.5. ZID PREMA NEGREJANIM PROSTORIMA

3.1.6.1 Sastav, ilustracija¹⁶⁸

Broj	6															
Oznaka	ZNP															
Ilustracija položaja u zgradji ¹⁶⁹	 <p style="text-align: center;">OSNOVA PRIZEMLJA ZNP</p>															
Površina [m ²]	29,15 m ²															
Sastav sklopa	<table border="1" style="width: 100%; border-collapse: collapse;"> <thead> <tr> <th style="text-align: left; padding: 2px;">Naziv građevinskog sloja</th> <th style="text-align: center; padding: 2px;">δ [cm]</th> <th style="text-align: center; padding: 2px;">λ [W/mK]</th> <th style="text-align: center; padding: 2px;">ρ [kg/m³]</th> <th style="text-align: center; padding: 2px;">μ [-]</th> </tr> </thead> <tbody> <tr> <td style="padding: 2px;">1.AB - ZID</td> <td style="text-align: center; padding: 2px;">40,0</td> <td style="text-align: center; padding: 2px;">2,330</td> <td style="text-align: center; padding: 2px;">2800</td> <td style="text-align: center; padding: 2px;">90</td> </tr> <tr> <td style="padding: 2px;">2.PRODUŽENI KREČNI MALTER</td> <td style="text-align: center; padding: 2px;">2,0</td> <td style="text-align: center; padding: 2px;">0,870</td> <td style="text-align: center; padding: 2px;">1800</td> <td style="text-align: center; padding: 2px;">20</td> </tr> </tbody> </table>	Naziv građevinskog sloja	δ [cm]	λ [W/mK]	ρ [kg/m ³]	μ [-]	1.AB - ZID	40,0	2,330	2800	90	2.PRODUŽENI KREČNI MALTER	2,0	0,870	1800	20
Naziv građevinskog sloja	δ [cm]	λ [W/mK]	ρ [kg/m ³]	μ [-]												
1.AB - ZID	40,0	2,330	2800	90												
2.PRODUŽENI KREČNI MALTER	2,0	0,870	1800	20												
Skica sklopa ¹⁷⁰	 <p style="text-align: right; margin-right: 100px;"> 1 AB-ZID 2 PRODUŽENI KREČNI MALTER </p>															
Ventilisanost sklopa	NIJE VENTILISAN															
Parametri ventilisanosti	-															

¹⁶⁸ Ukoliko ima više od jedne pozicije u okviru grupacije, u ovom slučaju „Spoljni zidovi“, potrebno ih je **sve** prikazati i obraditi

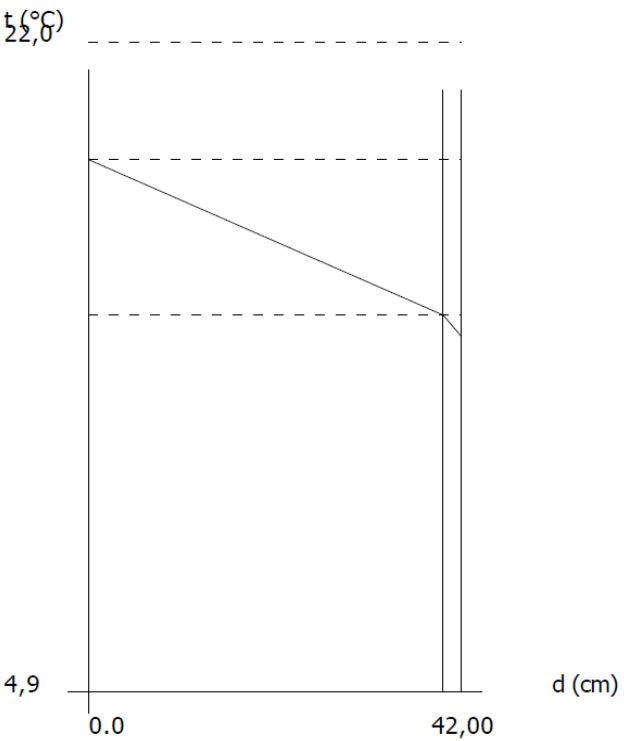
¹⁶⁹ Ova opcija nije obavezna

¹⁷⁰ Ovde je prikazana ilustracija (veličina, orijentacija i oprema crteža se može razlikovati)

3.1.6.2 Prolaz toplote i polje temperature

Tabelarni prikaz

	Opis	λ [W/mK]	R [(m ² ·K)/W]	$\Delta\theta$ [°C]	θ [°C]
Unutra					22,00
Prelaženje			0,1300	4,88	17,12
1.AB - ZID	2,330	0,1717	6,43	10,69	
2.KREĆNI MALTER	0,870	0,0230	0,86	9,83	
Prelaženje topline		0,1300	4,88	9,83	
Spolja					4,95
Ukupni otpor		0,455			

Grafik temperatura ¹⁷¹	 <p>The diagram illustrates the temperature profile t in degrees Celsius ($^{\circ}\text{C}$) as a function of distance d in centimeters (cm). The vertical axis represents temperature, with values 22,0 and 4,9 marked. The horizontal axis represents distance, with values 0,0 and 42,0 marked. A straight line starts at the point (0, 22,0) and ends at the point (42, 4,9), representing a linear decrease in temperature over the distance.</p>
Površinski koeficijenat prolaza topline U [W/(m ² K)]	2,199

¹⁷¹ Ovde je prikazana ilustracija (veličina, orientacija i oprema crteža se može razlikovati)

3.1.6.3 Difuzija vodene pare i isušenje

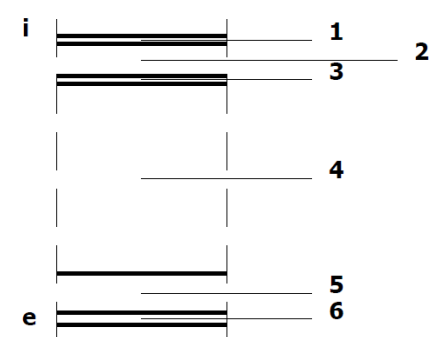
Tabelarni prikaz	<table border="1"> <thead> <tr> <th>Opis</th><th>μ [-]</th><th>$\Delta\theta$ [°C]</th><th>θ [°C]</th><th>p' [Pa]</th><th>p_s [Pa]</th></tr> </thead> <tbody> <tr> <td>Unutra</td><td></td><td></td><td>22,00</td><td>2640</td><td></td></tr> <tr> <td>Prelaženje</td><td></td><td>3,86</td><td>18,14</td><td>2079</td><td>1452</td></tr> <tr> <td>1.AB - ZID</td><td>90</td><td>5,10</td><td>13,04</td><td>1500</td><td>1003</td></tr> <tr> <td>2.KREČNI MALTER</td><td>20</td><td>0,68</td><td>12,36</td><td>1435</td><td>998</td></tr> <tr> <td>Prelaženje topline</td><td></td><td>3,86</td><td>12,36</td><td>1435</td><td>998</td></tr> <tr> <td>Spolja</td><td></td><td></td><td>8,50</td><td>1109</td><td></td></tr> </tbody> </table>	Opis	μ [-]	$\Delta\theta$ [°C]	θ [°C]	p' [Pa]	p_s [Pa]	Unutra			22,00	2640		Prelaženje		3,86	18,14	2079	1452	1.AB - ZID	90	5,10	13,04	1500	1003	2.KREČNI MALTER	20	0,68	12,36	1435	998	Prelaženje topline		3,86	12,36	1435	998	Spolja			8,50	1109	
Opis	μ [-]	$\Delta\theta$ [°C]	θ [°C]	p' [Pa]	p_s [Pa]																																						
Unutra			22,00	2640																																							
Prelaženje		3,86	18,14	2079	1452																																						
1.AB - ZID	90	5,10	13,04	1500	1003																																						
2.KREČNI MALTER	20	0,68	12,36	1435	998																																						
Prelaženje topline		3,86	12,36	1435	998																																						
Spolja			8,50	1109																																							
Grafik ¹⁷²	<p>Diagram illustrating pressure distribution (p in kPa) versus distance (r in m). The vertical axis ranges from 0.0 to 2.0 kPa, and the horizontal axis ranges from 0.0 to 36.40 m. Two curves are shown: a solid line for p' and a dashed line for p_i. Both curves show a decreasing trend as r increases.</p> <table border="1"> <caption>Data points estimated from the graph</caption> <thead> <tr> <th>r (m)</th> <th>p' (kPa)</th> <th>p_i (kPa)</th> </tr> </thead> <tbody> <tr> <td>0.0</td> <td>2.0</td> <td>1.4</td> </tr> <tr> <td>10.0</td> <td>1.8</td> <td>1.2</td> </tr> <tr> <td>20.0</td> <td>1.6</td> <td>1.0</td> </tr> <tr> <td>30.0</td> <td>1.4</td> <td>0.9</td> </tr> <tr> <td>36.40</td> <td>1.4</td> <td>0.9</td> </tr> </tbody> </table>	r (m)	p' (kPa)	p_i (kPa)	0.0	2.0	1.4	10.0	1.8	1.2	20.0	1.6	1.0	30.0	1.4	0.9	36.40	1.4	0.9																								
r (m)	p' (kPa)	p_i (kPa)																																									
0.0	2.0	1.4																																									
10.0	1.8	1.2																																									
20.0	1.6	1.0																																									
30.0	1.4	0.9																																									
36.40	1.4	0.9																																									
Proračun kondenzacije ¹⁷³	U konstrukciji ne dolazi do kondenzacije																																										
Vreme isušenja	-																																										

¹⁷² Ovde je prikazana ilustracija (veličina, orijentacija i oprema crteža se može razlikovati)

¹⁷³ U skladu sa poglavljem 3.3 Pravilnika o energetskoj efikasnosti zgrada

3.1.6 Međuspratna konstrukcija iznad otvorenog prolaza – ERKER

3.1.6.1 Sastav, ilustracija

Broj	6																																			
Oznaka	ERK-1																																			
Ilustracija položaja u zgradji ¹⁷⁴	 <p style="text-align: center;">OSNOVA PRVOG SPRATA ERK-1</p>																																			
Površina [m ²]	81,35 m ²																																			
Sastav sklopa	<table border="1" style="width: 100%; border-collapse: collapse;"> <thead> <tr> <th>Naziv građevinskog sloja</th> <th>δ [cm]</th> <th>λ [W/mK]</th> <th>ρ [kg/m³]</th> <th>μ [-]</th> </tr> </thead> <tbody> <tr> <td>1.VINFLEX</td> <td>1,00</td> <td>0,160</td> <td>950</td> <td>10000</td> </tr> <tr> <td>2.FLORBIT</td> <td>4,00</td> <td>0,050</td> <td>50</td> <td>1</td> </tr> <tr> <td>3.PLUTAFON</td> <td>1,00</td> <td>0,050</td> <td>160</td> <td>10</td> </tr> <tr> <td>3.TM-5</td> <td>16,0</td> <td>0,800</td> <td>1450</td> <td>28</td> </tr> <tr> <td>4.MINERALNEA VUNA</td> <td>5,00</td> <td>0,039</td> <td>130</td> <td>1</td> </tr> <tr> <td>5.LAMPERIJA</td> <td>1,50</td> <td>0,140</td> <td>520</td> <td>15</td> </tr> </tbody> </table>	Naziv građevinskog sloja	δ [cm]	λ [W/mK]	ρ [kg/m ³]	μ [-]	1.VINFLEX	1,00	0,160	950	10000	2.FLORBIT	4,00	0,050	50	1	3.PLUTAFON	1,00	0,050	160	10	3.TM-5	16,0	0,800	1450	28	4.MINERALNEA VUNA	5,00	0,039	130	1	5.LAMPERIJA	1,50	0,140	520	15
Naziv građevinskog sloja	δ [cm]	λ [W/mK]	ρ [kg/m ³]	μ [-]																																
1.VINFLEX	1,00	0,160	950	10000																																
2.FLORBIT	4,00	0,050	50	1																																
3.PLUTAFON	1,00	0,050	160	10																																
3.TM-5	16,0	0,800	1450	28																																
4.MINERALNEA VUNA	5,00	0,039	130	1																																
5.LAMPERIJA	1,50	0,140	520	15																																
Skica sklopa ¹⁷⁵	 <p style="text-align: center;"> i 1 3 2 4 e 5 6 </p> <p style="text-align: right;"> 1 VINFLEX 2 FLORBIT 3 PLUTAFON 4 TM-5 5 TVRDE PLOČE MINERALNE VUNE 6 LAMPERIJA </p>																																			
Ventilisanost sklopa	NIJE VENTILISAN																																			
Parametri ventilisanosti	-																																			

¹⁷⁴ Ova opcija nije obavezna

¹⁷⁵ Ovde je prikazana ilustracija (veličina, orijentacija i oprema crteža se može razlikovati)

3.1.6.2 Prolaz topline i polje temperature

Tabelarni prikaz	Opis	λ [W/mK]	R [(m ² ·K)/W]	$\Delta\theta$ [°C]	θ [°C]
Unutra					22,00
Prelaženje			0,1700	1,96	20,04
1.VINFLEX	0,160	0,0625	0,72	19,32	
2.FLORBIT	0,050	0,8000	9,21	10,11	
3.PLUTAFON	0,050	0,2000	2,30	7,81	
3.TM-5	0,800	0,3000	3,45	4,36	
4.MINERALNEA VUNA	0,039	1,2821	14,77	-10,41	
5.LAMPERIJA	0,140	0,1071	1,23	-11,64	
Prelaženje topline			0,400	0,46	-11,64
Spolja					-12,10
Ukupni otpor			2,962		

Grafik temperatura ¹⁷⁶	<p style="text-align: center;">t (°C)</p>
Površ. koeficijenat prolaza topline U [W/(m ² K)]	0,338

¹⁷⁶ Ovde je prikazana ilustracija (veličina, orijentacija i oprema crteža se može razlikovati)

3.1.6.3 Difuzija vodene pare i isušenje

Tabelarni prikaz	<table border="1"> <thead> <tr> <th>Opis</th><th>μ [-]</th><th>$\Delta\theta$ [°C]</th><th>θ [°C]</th><th>p' [Pa]</th><th>p_s [Pa]</th></tr> </thead> <tbody> <tr> <td>Unutra</td><td></td><td></td><td>22,00</td><td>2640</td><td></td></tr> <tr> <td>Prelaženje</td><td></td><td>1,55</td><td>20,45</td><td>2401</td><td>1452</td></tr> <tr> <td>1.VINFLEX</td><td>10000</td><td>0,57</td><td>19,88</td><td>2318</td><td>434</td></tr> <tr> <td>2.FLORBIT</td><td>1</td><td>7,29</td><td>12,59</td><td>1456</td><td>434</td></tr> <tr> <td>3.PLUTAFON</td><td>10</td><td>1,83</td><td>10,76</td><td>1291</td><td>432</td></tr> <tr> <td>3.TM-5</td><td>28</td><td>2,73</td><td>8,03</td><td>1074</td><td>364</td></tr> <tr> <td>4.MINERALNEA VUNA</td><td>1</td><td>11,69</td><td>-3,66</td><td>450</td><td>363</td></tr> <tr> <td>5.LAMPERIJA</td><td>15</td><td>0,98</td><td>-4,64</td><td>414</td><td>361</td></tr> <tr> <td>Prelaženje toplote</td><td></td><td>0,36</td><td>-4,64</td><td>414</td><td>361</td></tr> <tr> <td>Spolja</td><td></td><td></td><td>-5,00</td><td>401</td><td></td></tr> </tbody> </table>	Opis	μ [-]	$\Delta\theta$ [°C]	θ [°C]	p' [Pa]	p_s [Pa]	Unutra			22,00	2640		Prelaženje		1,55	20,45	2401	1452	1.VINFLEX	10000	0,57	19,88	2318	434	2.FLORBIT	1	7,29	12,59	1456	434	3.PLUTAFON	10	1,83	10,76	1291	432	3.TM-5	28	2,73	8,03	1074	364	4.MINERALNEA VUNA	1	11,69	-3,66	450	363	5.LAMPERIJA	15	0,98	-4,64	414	361	Prelaženje toplote		0,36	-4,64	414	361	Spolja			-5,00	401	
Opis	μ [-]	$\Delta\theta$ [°C]	θ [°C]	p' [Pa]	p_s [Pa]																																																														
Unutra			22,00	2640																																																															
Prelaženje		1,55	20,45	2401	1452																																																														
1.VINFLEX	10000	0,57	19,88	2318	434																																																														
2.FLORBIT	1	7,29	12,59	1456	434																																																														
3.PLUTAFON	10	1,83	10,76	1291	432																																																														
3.TM-5	28	2,73	8,03	1074	364																																																														
4.MINERALNEA VUNA	1	11,69	-3,66	450	363																																																														
5.LAMPERIJA	15	0,98	-4,64	414	361																																																														
Prelaženje toplote		0,36	-4,64	414	361																																																														
Spolja			-5,00	401																																																															
Grafik ¹⁷⁷	<p>The graph illustrates the variation of pressure p (kPa) along a distance r (m). The vertical axis (p) has major ticks at 0.0, 0.5, 1.0, 1.5, and 2.0. The horizontal axis (r) has major ticks at 0.0 and 107,15. A solid line represents P', starting at approximately 2.0 kPa at $r=0$ and decreasing to about 0.4 kPa at $r=107,15$. A dashed line represents P_i, also starting at approximately 2.0 kPa at $r=0$ and decreasing more rapidly, reaching about 0.4 kPa at $r \approx 100$ m.</p>																																																																		
Proračun kondenzacije ¹⁷⁸	U KONSTRUKCIJI NE DOLAZI DO KONDENZACIJE																																																																		
Vreme isušenja	-																																																																		

3.1.6.4 Letnja stabilnost¹⁷⁹

	Vrednost	Minimum	Zadovoljava
Faktor prigušenja amplitudne oscilacije temperature v [-]	347,357	15	Da
Faktor kašnjenja oscilacije temperature η [h]	$v > 35$	7	Da

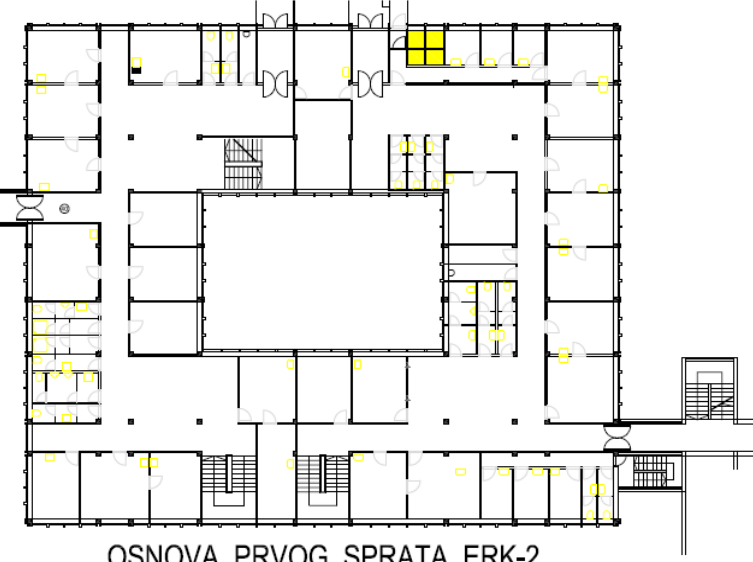
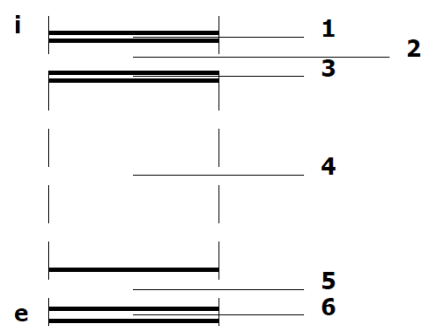
¹⁷⁷ Ovde je prikazana ilustracija (veličina, orijentacija i oprema crteža se može razlikovati)

¹⁷⁸ U skladu sa poglavljem 3.3 Pravilnika o energetskoj efikasnosti zgrada

¹⁷⁹ Prema poglavlju 3.2 Pravilnika o energetskoj efikasnosti zgrada

3.1.7 Međuspratna konstrukcija iznad otvorenog prolaza – ERKER

3.1.7.1 Sastav, ilustracija

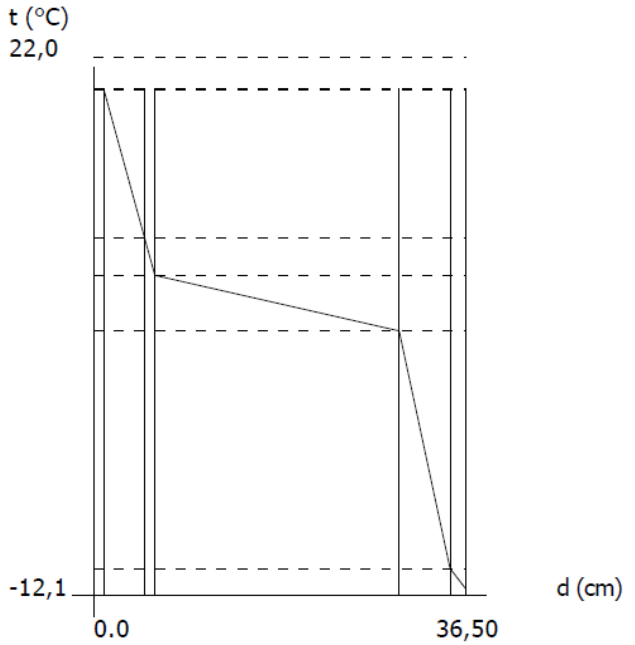
Broj	7																																			
Oznaka	ERK-2																																			
Ilustracija položaja u zgradi ¹⁸⁰	 <p style="text-align: center;">OSNOVA PRVOG SPRATA ERK-2</p>																																			
Površina [m ²]	81,35 m ²																																			
Sastav sklopa	<table border="1"> <thead> <tr> <th>Naziv građevinskog sloja</th> <th>δ [cm]</th> <th>λ [W/mK]</th> <th>ρ [kg/m³]</th> <th>μ [-]</th> </tr> </thead> <tbody> <tr> <td>1.KERAMIČKE PLOČICE</td><td>1,00</td><td>1,280</td><td>2300</td><td>200</td></tr> <tr> <td>2.FLORBIT</td><td>4,00</td><td>0,050</td><td>50</td><td>1</td></tr> <tr> <td>3.PLUTAFON</td><td>1,00</td><td>0,050</td><td>160</td><td>10</td></tr> <tr> <td>3.TM-5</td><td>16,0</td><td>0,800</td><td>1450</td><td>28</td></tr> <tr> <td>4.MINERALNEA VUNA</td><td>5,00</td><td>0,039</td><td>130</td><td>1</td></tr> <tr> <td>5.LAMPERIJA</td><td>1,50</td><td>0,140</td><td>520</td><td>15</td></tr> </tbody> </table>	Naziv građevinskog sloja	δ [cm]	λ [W/mK]	ρ [kg/m ³]	μ [-]	1.KERAMIČKE PLOČICE	1,00	1,280	2300	200	2.FLORBIT	4,00	0,050	50	1	3.PLUTAFON	1,00	0,050	160	10	3.TM-5	16,0	0,800	1450	28	4.MINERALNEA VUNA	5,00	0,039	130	1	5.LAMPERIJA	1,50	0,140	520	15
Naziv građevinskog sloja	δ [cm]	λ [W/mK]	ρ [kg/m ³]	μ [-]																																
1.KERAMIČKE PLOČICE	1,00	1,280	2300	200																																
2.FLORBIT	4,00	0,050	50	1																																
3.PLUTAFON	1,00	0,050	160	10																																
3.TM-5	16,0	0,800	1450	28																																
4.MINERALNEA VUNA	5,00	0,039	130	1																																
5.LAMPERIJA	1,50	0,140	520	15																																
Skica sklopa ¹⁸¹	 <p style="text-align: right;"> 1 KERAMIČKE PLOČICE-PODNE 2 FLORBIT 3 PLUTAFON 4 TM-5 5 TVRDE PLOČE MINERALNE VUNE 6 LAMPERIJA </p>																																			
Ventilisanost sklopa	NIJE VENTILISAN																																			
Parametri ventilisanosti	-																																			

¹⁸⁰ Ova opcija nije obavezna

¹⁸¹ Ovde je prikazana ilustracija (veličina, orientacija i oprema crteža se može razlikovati)

3.1.7.2 Prolaz topline i polje temperature

Tabelarni prikaz	Opis	λ [W/mK]	R [(m ² ·K)/W]	$\Delta\theta$ [°C]	θ [°C]
Unutra					22,00
Prelaženje			0,1700	1,99	20,01
1.KERAMIČKE PLOČICE	1,280	0,0078	0,10	19,91	
2.FLORBIT	0,050	0,8000	9,38	10,53	
3.PLUTAFON	0,050	0,2000	2,35	8,18	
3.TM-5	0,800	0,3000	3,52	4,66	
4.MINERALNEA VUNA	0,039	1,2821	15,03	-10,37	
5.LAMPERIJA	0,140	0,1071	1,26	-11,63	
Prelaženje topline			0,400	0,47	-11,63
Spolja					-12,10
Ukupni otpor			2,907		

Grafik temperatura ¹⁸²	 <p>The diagram illustrates the temperature profile across a total thickness of 36,50 cm. The temperature starts at 22,0°C at the left boundary (d=0) and decreases to -12,1°C at the right boundary (d=36,50 cm). The curve is smooth between the vertical segments, indicating a linear temperature gradient through each layer.</p>
Površ. koeficijenat prolaza topline U [W/(m ² K)]	0,344

¹⁸² Ovde je prikazana ilustracija (veličina, orijentacija i oprema crteža se može razlikovati)

3.1.7.3 Difuzija vodene pare i isušenje

Tabelarni prikaz	<table border="1"> <thead> <tr> <th>Opis</th><th>μ [-]</th><th>$\Delta\theta$ [°C]</th><th>θ [°C]</th><th>p' [Pa]</th><th>p_s [Pa]</th></tr> </thead> <tbody> <tr> <td>Unutra</td><td></td><td></td><td>22,00</td><td>2640</td><td></td></tr> <tr> <td>Prelaženje</td><td></td><td>1,58</td><td>20,42</td><td>2396</td><td>1452</td></tr> <tr> <td>1.KERAMIČKE PLOČICE</td><td>200</td><td>0,07</td><td>20,35</td><td>2386</td><td>1214</td></tr> <tr> <td>2.FLORBIT</td><td>1</td><td>7,43</td><td>12,92</td><td>1488</td><td>1208</td></tr> <tr> <td>3.PLUTAFON</td><td>10</td><td>1,86</td><td>11,06</td><td>1317</td><td>1196</td></tr> <tr> <td>3.TM-5</td><td>28</td><td>2,79</td><td>8,27</td><td>1092</td><td>396</td></tr> <tr> <td>4.MINERALNEA VUNA</td><td>1</td><td>11,9</td><td>-3,63</td><td>451</td><td>388</td></tr> <tr> <td>5.LAMPERIJA</td><td>15</td><td>1,00</td><td>-4,63</td><td>414</td><td>361</td></tr> <tr> <td>Prelaženje toplote</td><td></td><td>0,37</td><td>-4,63</td><td>414</td><td>361</td></tr> <tr> <td>Spolja</td><td></td><td></td><td>-5,00</td><td>401</td><td></td></tr> </tbody> </table>	Opis	μ [-]	$\Delta\theta$ [°C]	θ [°C]	p' [Pa]	p_s [Pa]	Unutra			22,00	2640		Prelaženje		1,58	20,42	2396	1452	1.KERAMIČKE PLOČICE	200	0,07	20,35	2386	1214	2.FLORBIT	1	7,43	12,92	1488	1208	3.PLUTAFON	10	1,86	11,06	1317	1196	3.TM-5	28	2,79	8,27	1092	396	4.MINERALNEA VUNA	1	11,9	-3,63	451	388	5.LAMPERIJA	15	1,00	-4,63	414	361	Prelaženje toplote		0,37	-4,63	414	361	Spolja			-5,00	401	
Opis	μ [-]	$\Delta\theta$ [°C]	θ [°C]	p' [Pa]	p_s [Pa]																																																														
Unutra			22,00	2640																																																															
Prelaženje		1,58	20,42	2396	1452																																																														
1.KERAMIČKE PLOČICE	200	0,07	20,35	2386	1214																																																														
2.FLORBIT	1	7,43	12,92	1488	1208																																																														
3.PLUTAFON	10	1,86	11,06	1317	1196																																																														
3.TM-5	28	2,79	8,27	1092	396																																																														
4.MINERALNEA VUNA	1	11,9	-3,63	451	388																																																														
5.LAMPERIJA	15	1,00	-4,63	414	361																																																														
Prelaženje toplote		0,37	-4,63	414	361																																																														
Spolja			-5,00	401																																																															
Grafik ¹⁸³																																																																			
Proračun kondenzacije ¹⁸⁴	U KONSTRUKCIJI NE DOLAZI DO KONDENZACIJE																																																																		
Vreme isušenja	-																																																																		

3.1.7.4 Letnja stabilnost¹⁸⁵

	Vrednost	Minimum	Zadovoljava
Faktor prigušenja amplitude oscilacije temperature v [-]	347,357	15	Da
Faktor kašnjenja oscilacije temperature η [h]	$v > 35$	7	Da

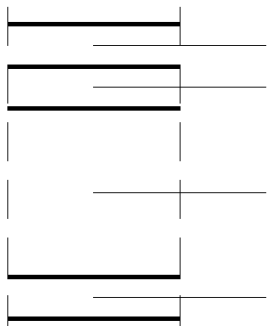
¹⁸³ Ovde je prikazana ilustracija (veličina, orijentacija i oprema crteža se može razlikovati)

¹⁸⁴ U skladu sa poglavljem 3.3 Pravilnika o energetskoj efikasnosti zgrada

¹⁸⁵ Prema poglavљу 3.2 Pravilnika o energetskoj efikasnosti zgrada

3.1.8 POD NA TLU PNT-1

3.1.8.1 Sastav, ilustracija

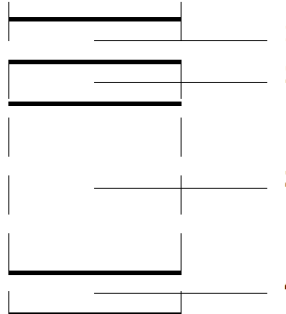
Broj	8																																																
Oznaka	PNT-1																																																
Ilustracija položaja u zgradji ¹⁸⁶	 <p style="text-align: center;">OSNOVA PRIZEMLJA PNT-1</p>																																																
Površina [m ²]	773,95 m ²																																																
Skica sklopa ¹⁸⁷	 <p style="text-align: right;"> 1 VINFLEX 2 PLUTAFON 3 CEMENTNI MALTER 4 HIDROIZOLACIJA </p>																																																
Sastav sklopa	<table border="1"> <thead> <tr> <th>Naziv građevinskog sloja</th> <th>δ [cm]</th> <th>λ [W/mK]</th> <th>ρ [kg/m³]</th> <th>μ [-]</th> <th>R [(m².K)/W]</th> </tr> </thead> <tbody> <tr> <td>Prelaženje toplote</td> <td></td> <td></td> <td></td> <td></td> <td>0,1700</td> </tr> <tr> <td>1.VINFLEX</td> <td>1,00</td> <td>0,160</td> <td>950</td> <td>10000</td> <td>0,0625</td> </tr> <tr> <td>2.PLUTAFON</td> <td>1,00</td> <td>0,050</td> <td>160</td> <td>10</td> <td>0,2000</td> </tr> <tr> <td>2.CEMENTNI MALTER</td> <td>4,00</td> <td>1,400</td> <td>2100</td> <td>30</td> <td>0,0286</td> </tr> <tr> <td>3.HIDROIZOLACIJA</td> <td>1,00</td> <td>0,190</td> <td>1000</td> <td>14000</td> <td>0,0526</td> </tr> <tr> <td>Prelaženje toplote</td> <td></td> <td></td> <td></td> <td></td> <td>0,0000</td> </tr> <tr> <td>Ukupni otpor</td> <td></td> <td></td> <td></td> <td></td> <td>0,514</td> </tr> </tbody> </table>	Naziv građevinskog sloja	δ [cm]	λ [W/mK]	ρ [kg/m ³]	μ [-]	R [(m ² .K)/W]	Prelaženje toplote					0,1700	1.VINFLEX	1,00	0,160	950	10000	0,0625	2.PLUTAFON	1,00	0,050	160	10	0,2000	2.CEMENTNI MALTER	4,00	1,400	2100	30	0,0286	3.HIDROIZOLACIJA	1,00	0,190	1000	14000	0,0526	Prelaženje toplote					0,0000	Ukupni otpor					0,514
Naziv građevinskog sloja	δ [cm]	λ [W/mK]	ρ [kg/m ³]	μ [-]	R [(m ² .K)/W]																																												
Prelaženje toplote					0,1700																																												
1.VINFLEX	1,00	0,160	950	10000	0,0625																																												
2.PLUTAFON	1,00	0,050	160	10	0,2000																																												
2.CEMENTNI MALTER	4,00	1,400	2100	30	0,0286																																												
3.HIDROIZOLACIJA	1,00	0,190	1000	14000	0,0526																																												
Prelaženje toplote					0,0000																																												
Ukupni otpor					0,514																																												
Površinski kokoeficijenat prolaza topline U [W/(m ² K)]	1,947																																																

¹⁸⁶ Ova opcija nije obavezna

¹⁸⁷ Ovde je prikazana ilustracija (veličina, orientacija i oprema crteža se može razlikovati)

3.1.9 POD NA TLU PNT-2

3.1.9.1 Sastav, ilustracija

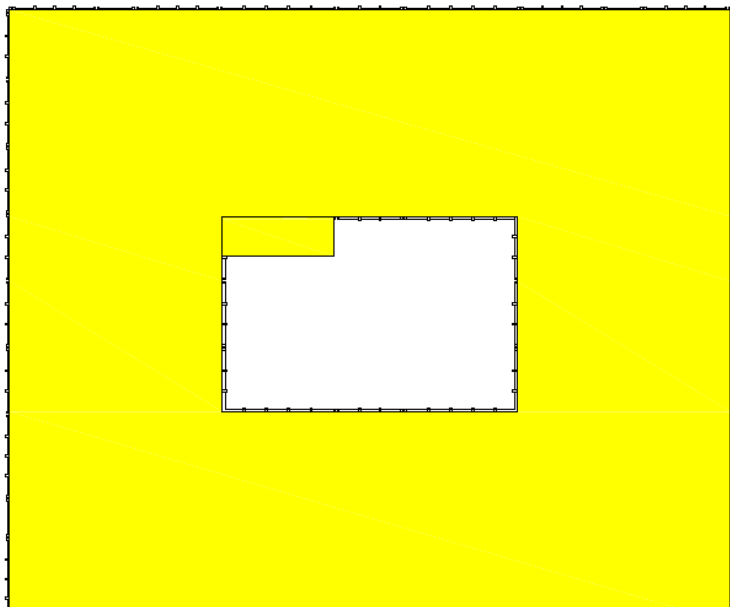
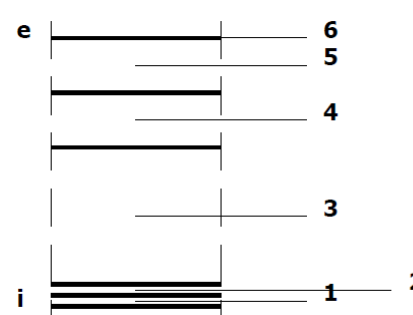
Broj	6																																																
Oznaka	PNT-2																																																
Ilustracija položaja u zgradi ¹⁸⁸	 <p style="text-align: center;">OSNOVA PRIZEMLJA PNT-2</p>																																																
Površina [m ²]	82,96 m ²																																																
Skica sklopa ¹⁸⁹	 <p style="text-align: right;"> 1 KERAMIČKE PLOČICE-PODNE 2 PLUTAFON 3 CEMENTNI MALTER 4 HIDROIZOLACIJA </p>																																																
Sastav sklopa	<table border="1"> <thead> <tr> <th>Naziv građevinskog sloja</th> <th>δ [cm]</th> <th>λ [W/mK]</th> <th>ρ [kg/m³]</th> <th>μ [-]</th> <th>R [(m².K)/W]</th> </tr> </thead> <tbody> <tr> <td>Prelaženje topline</td> <td></td> <td></td> <td></td> <td></td> <td>0,1700</td> </tr> <tr> <td>1.KERAMIČKE PLOČICE</td> <td>1,00</td> <td>1,280</td> <td>2300</td> <td>200</td> <td>0,0078</td> </tr> <tr> <td>2.PLUTAFON</td> <td>1,00</td> <td>0,050</td> <td>160</td> <td>10</td> <td>0,2000</td> </tr> <tr> <td>3.CEMENTNI MALTER</td> <td>4,00</td> <td>1,400</td> <td>2100</td> <td>30</td> <td>0,0286</td> </tr> <tr> <td>4.HIDROIZOLACIJA</td> <td>1,00</td> <td>0,190</td> <td>1000</td> <td>14000</td> <td>0,0526</td> </tr> <tr> <td>Prelaženje topline</td> <td></td> <td></td> <td></td> <td></td> <td>0,0000</td> </tr> <tr> <td>Ukupni otpor</td> <td></td> <td></td> <td></td> <td></td> <td>0,459</td> </tr> </tbody> </table>	Naziv građevinskog sloja	δ [cm]	λ [W/mK]	ρ [kg/m ³]	μ [-]	R [(m ² .K)/W]	Prelaženje topline					0,1700	1.KERAMIČKE PLOČICE	1,00	1,280	2300	200	0,0078	2.PLUTAFON	1,00	0,050	160	10	0,2000	3.CEMENTNI MALTER	4,00	1,400	2100	30	0,0286	4.HIDROIZOLACIJA	1,00	0,190	1000	14000	0,0526	Prelaženje topline					0,0000	Ukupni otpor					0,459
Naziv građevinskog sloja	δ [cm]	λ [W/mK]	ρ [kg/m ³]	μ [-]	R [(m ² .K)/W]																																												
Prelaženje topline					0,1700																																												
1.KERAMIČKE PLOČICE	1,00	1,280	2300	200	0,0078																																												
2.PLUTAFON	1,00	0,050	160	10	0,2000																																												
3.CEMENTNI MALTER	4,00	1,400	2100	30	0,0286																																												
4.HIDROIZOLACIJA	1,00	0,190	1000	14000	0,0526																																												
Prelaženje topline					0,0000																																												
Ukupni otpor					0,459																																												
Površinski kokoeficijenat prolaza topline U [W/(m ² K)]	2,179																																																

¹⁸⁸ Ova opcija nije obavezna

¹⁸⁹ Ovde je prikazana ilustracija (veličina, orijentacija i oprema crteža se može razlikovati)

3.1.10 RAVAN KROV IZNAD GREJANOG PROSTORA

3.1.10.1 Sastav, ilustracija

Broj	10																														
Oznaka	RK																														
Ilustracija položaja u zgradji ¹⁹⁰	 <p style="text-align: center;">OSNOVA RAVNOG KROVA</p>																														
Površina [m ²]	1120,63 m ²																														
Sastav sklopa	<table border="1" style="width: 100%; border-collapse: collapse;"> <thead> <tr> <th>Naziv građevinskog sloja</th> <th>δ [cm]</th> <th>λ [W/mK]</th> <th>ρ [kg/m³]</th> <th>μ [-]</th> </tr> </thead> <tbody> <tr> <td>1.PRODUŽENI KREČNI MALTER</td> <td>2,00</td> <td>0,870</td> <td>1800</td> <td>20</td> </tr> <tr> <td>2.TM-5</td> <td>24,0</td> <td>0,800</td> <td>1450</td> <td>28</td> </tr> <tr> <td>3.POLIURETAN</td> <td>4,00</td> <td>0,035</td> <td>40</td> <td>50</td> </tr> <tr> <td>4.PERLIT MALTER</td> <td>7,50</td> <td>0,130</td> <td>500</td> <td>4</td> </tr> <tr> <td>5.POLIZABITOL</td> <td>0,15</td> <td>0,260</td> <td>1600</td> <td>300000</td> </tr> </tbody> </table>	Naziv građevinskog sloja	δ [cm]	λ [W/mK]	ρ [kg/m ³]	μ [-]	1.PRODUŽENI KREČNI MALTER	2,00	0,870	1800	20	2.TM-5	24,0	0,800	1450	28	3.POLIURETAN	4,00	0,035	40	50	4.PERLIT MALTER	7,50	0,130	500	4	5.POLIZABITOL	0,15	0,260	1600	300000
Naziv građevinskog sloja	δ [cm]	λ [W/mK]	ρ [kg/m ³]	μ [-]																											
1.PRODUŽENI KREČNI MALTER	2,00	0,870	1800	20																											
2.TM-5	24,0	0,800	1450	28																											
3.POLIURETAN	4,00	0,035	40	50																											
4.PERLIT MALTER	7,50	0,130	500	4																											
5.POLIZABITOL	0,15	0,260	1600	300000																											
Skica sklopa ¹⁹¹	 <p style="text-align: right; margin-right: 100px;"> 1.PRODUŽENI KREČNI MALTER 2.TM-5 3.POLIURETAN 4.PERLIT MALTER 5.POLIAZBITOL </p>																														
Ventilisanost sklopa	NIJE VENTILISAN																														
Parametri ventilisanosti	-																														

¹⁹⁰ Ova opcija nije obavezna

¹⁹¹ Ovde je prikazana ilustracija (veličina, orijentacija i oprema crteža se može razlikovati)

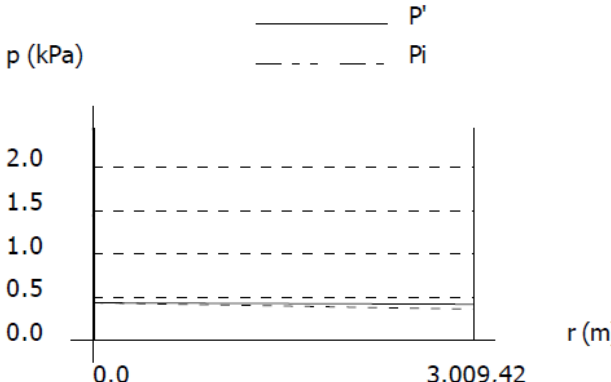
3.1.10.2 Prolaz topote i polje temperature

Tabelarni prikaz					
	Opis	λ [W/mK]	R [(m ² ·K)/W]	$\Delta\theta$ [°C]	θ [°C]
Unutra					22,00
Prelaženje			0,1000	1,54	20,46
1.PRODUŽENI KREČNI MALTER	0,870	0,0230	0,35	20,11	
2.TM-5	0,800	0,3000	4,60	15,51	
3.POLIURETAN	0,035	1,1429	17,55	-2,04	
4.PERLIT MALTER	0,130	0,5769	8,86	-10,90	
5.POLIZABITOL	0,260	0,0385	0,59	-11,49	
Prelaženje topote			0,0400	0,61	-11,49
Spolja					-12,10
Ukupni otpor			2,221		
Grafik temperatura ¹⁹²	t (°C)	22,0		d (cm)	-12,1
				0,0	38,50
Površ. koeficijenat prolaza topote U [W/(m ² K)]			0,450		

3.1.10.3 Difuzija vodene pare i isušenje

Tabelarni prikaz						
	Opis	μ [-]	$\Delta\theta$ [°C]	θ [°C]	p' [Pa]	p_s [Pa]
Unutra				22,00	2640	
Prelaženje			1,22	20,78	2451	1452
1.PRODUŽENI KREČNI MALTER	20	0,27	20,51	2409	1452	
2.TM-5	28	3,65	16,86	1918	1449	
3.POLIURETAN	50	13,89	2,97	756	1449	
4.PERLIT MALTER	4	7,02	-4,05	435	1449	
5.POLIZABITOL	300000	0,46	-4,51	418	361	
Prelaženje topote			0,49	-4,51	418	361
Spolja				-5,00	401	

¹⁹² Ovde je prikazana ilustracija (veličina, orientacija i oprema crteža se može razlikovati)

Grafik ¹⁹³	
Proračun kondenzacije ¹⁹⁴	<p>Na unutrašnjoj površini nema orošavanja – pri $\Theta_e = -12,1^\circ\text{C}$ i $\Theta_i = 22^\circ\text{C}$ kondenzacija na unutrašnjoj površini će se pojaviti pri vlažnosti od 91,0%</p> <ul style="list-style-type: none"> -Temperatura na unutrašnjoj površini $\Theta_1 = 20,5^\circ\text{C}$ - Minimalna dozvoljena temperatura na unutrašnjoj površini $\Theta_d = 12,5^\circ\text{C}$
Vreme isušenja	<p>Do pojave kondenzacije dolazi u zoni 4</p> <ul style="list-style-type: none"> - Gustina difuzijskog toka vodene pare koji ulazi u konstrukciju $0,051 \text{ g/m}^2\text{h}$ - Gustina difuzijskog toka vodene pare koji izlazi iz konstrukcije $0,000 \text{ g/m}^2\text{h}$ - Količina kondenzovane vodene pare $0,051 \text{ g/m}^2$ - Količina kondenzata posle 60 dana vlaženja $73,647 \text{ g/m}^2$ - Potrebno vreme za isušenje $75,039$ dana - Najveće dozvoljeno vreme isušenja 90 dana <p>KONSTRUKCIJA NE ZADOVOLJAVA</p>

3.1.10.4 Letnja stabilnost¹⁹⁵

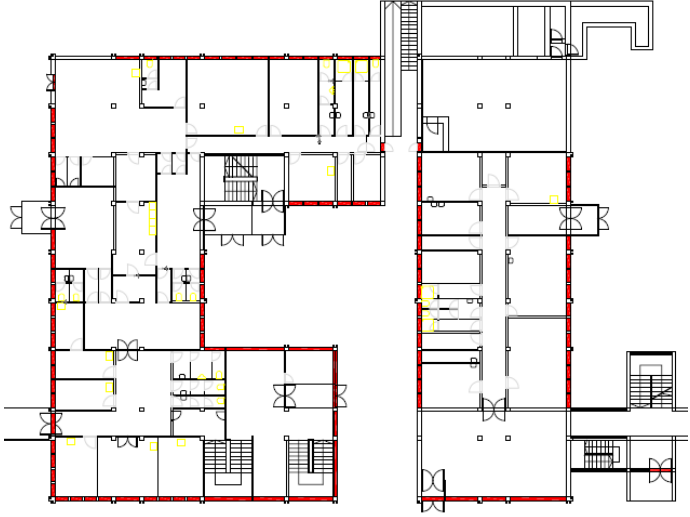
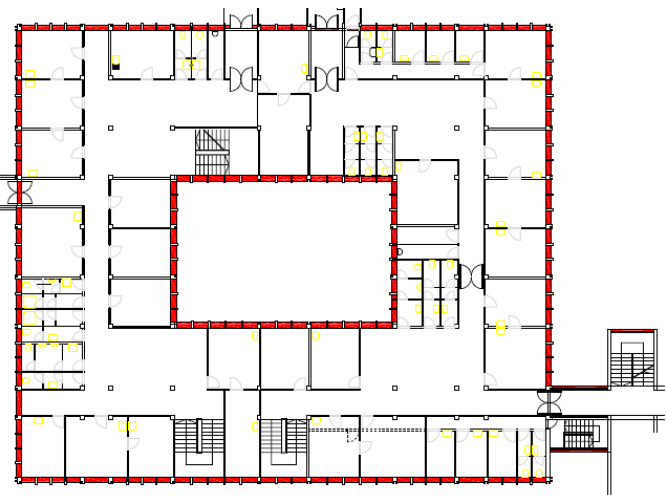
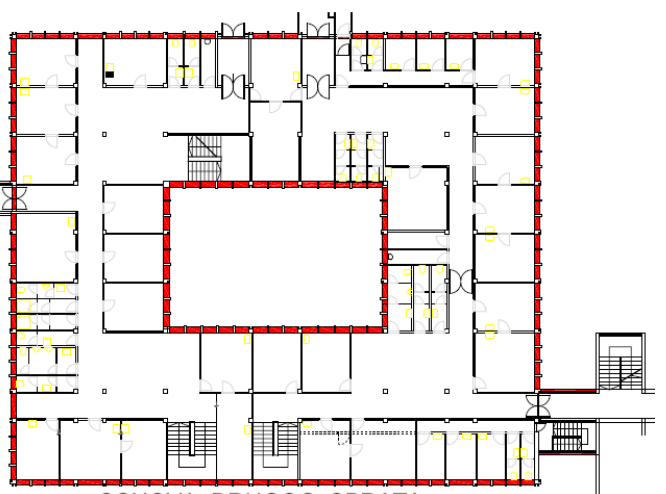
	Vrednost	Minimum	Zadovoljava
Faktor prigušenja amplitude oscilacije temperature v [-]	127,472	25	Da
Faktor kašnjenja oscilacije temperature η [h]	$v > 45$	7	Da

¹⁹³ Ovde je prikazana ilustracija (veličina, orientacija i oprema crteža se može razlikovati)

¹⁹⁴ U skladu sa poglavljem 3.3 Pravilnika o energetskoj efikasnosti zgrada

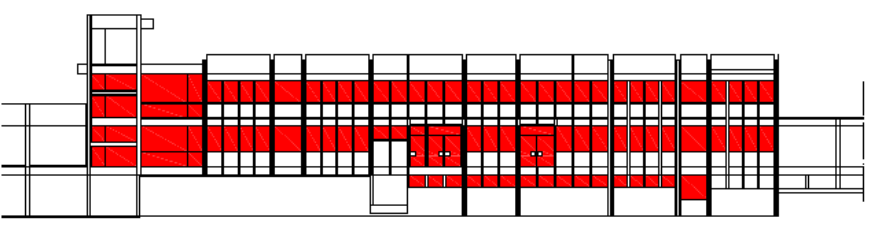
¹⁹⁵ Prema poglavlu 3.2 Pravilnika o energetskoj efikasnosti zgrada

3.1.11 Prozori ,ulazna vrata

Broj	8
Oznaka	PS i VS
Ilustracija položaja u zgradici ¹⁹⁶	 <p>OSNOVA PRIZEMLJA</p>  <p>OSNOVA PRVOG SPRATA</p>  <p>OSNOVA DRUGOG SPRATA</p>
Površina (m ²)	817,95

¹⁹⁶ Ova opcija nije obavezna

Opis	Al ram sa termičkim prekidom i zastakljenjem sa dvostrukim niskoemisionim stakлом d= 4+12 mm punjeno vazduhom
Koficijenat prolaza toplove $U [W/(m^2K)]$	2,2

Segmenti pozicije u odnosu na orijentaciju prema stranama sveta ¹⁹⁷		
	Površina [m ²]	Ilustracija ¹⁹⁸
Ka severu	220,88	 SEVEROZAPDNA FASADA
Ka istoku	165,76	 SEVEROISTOČNA FASADA
Ka jugu	267,38	 JUGOISTOČNA FASADA
Ka zapadu	163,93	 JUGOZAPADNA FASADA

¹⁹⁷ Podela izvršena zbog izračunavanja solarnih dobitaka

¹⁹⁸ Ova opcija nije obavezna

3.4 Pregled koeficijenata prolaza toplote kroz termički omotač zgrade¹⁹⁹

Položaj	oznaka	U [W/(m ² K)]	U_{max} [W/(m ² K)]	Ispunjeno DA / NE
Spoljni zidovi	SFZ-1	0,873	0,400	NE
Spoljni zidovi	SFZ-2	1,616	0,400	NE
Spoljni zidovi	SFZ-3	2,742	0,400	NE
Spoljni zidovi	SFZ-4	1,835	0,400	NE
Zid prema negrejanim prostorima	ZNP	2,199	0,550	NE
Među sp.konstrukcija iznad otvorenog prolaza	ERK-1	0,338	0,300	NE
Među sp.konstrukcija iznad otvorenog prolaza	ERK-2	0,344	0,300	NE
Pod na tlu	PNT-1	1,947	0,400	NE
Pod na tlu	PNT-2	2,179	0,400	NE
Ravan krov	RK	0,450	0,200	NE
Prozori spoljna vrata i portali grajanih prostorija	PS,VS,P	1,80	1,500	NE

4.8 PODACI O TERMOTEHNIČKIM SISTEMIMA

4.9 Izvod iz tehničkog opisa

4.9.1 Sistem grejanja²⁰⁰

Za nadoknadu toplotnih gubitaka izvedeno je daljinsko grejanje.

Za sistem grejanja projektovan je dvocevni rednjatorski sistem grejanja. Temperaturski režim grejanja je 90-70 °C. Cevna mreža u toplotnoj podstanici izrađena je od čelični bešavnih cevi prema SRPS EN10 220: 2005. Sistem grejanja je preko toplotne podstanice povezan na sistem daljinskog grejanja.

Unutar objekta cevna mreža je izrađena od bešavnih čeličnih cevi. Cevi se vode vidno neposredno uz zidove. Kao grejna tela postavljeni su člankasti aluminijumski radijatori.

Hidrauličko uravnoteživanje vrši se postavljanjem kosih regulacionih ventila na povratne vodove na sabirniku i njihovim postavljanjem u određeni položaj.

Grejana tela se na cevnu mrežu povezuju pomoću radijatorskih ventila i radijatirskih navijaka.

Na svakom grejnom telu ugrađena je odzračna slavina kako bi se radijatori mogli odzračiti pri pojavi vazduha u instalaciji.

4.1.2 Sistem klimatizacije²⁰¹

Projektom je predviđena klimatizacija lokalnim klimatizacionim uređajem.. Spoljne jedinice se postavlja na fasadi objekta. Unutrašnje jedinice su zidnog tipa. Odvod kondenzata predviđen je plastičnim cevima koje su utopljene u zid do oluka.

Upravljanje sistemom klimatizacije se vrši preko daljinskih upravljača koji se isporučuju sa klima uređajima.

¹⁹⁹ Maksimalne vrednosti koeficijenta prolaza toplote koji su prikazani u tabeli odgovaraju vrednostima za nove zgrade datim u Tabeli 3.4.1.3. Pravilnika o energetskoj efikasnosti zgrada

²⁰⁰ Sa osvrtom na minimalne tehničke zahteve sadržane u članu 13 Pravilnika o energetskoj efikasnosti zgrada za nove zgrade i prilikom rekonstrukcija sistema grejanja postojećih zgrada

²⁰¹ Sa osvrtom na minimalne tehničke zahteve sadržane u članu 14 i prilogu 7 Pravilnika o energetskoj efikasnosti zgrada za nove zgrade i prilikom rekonstrukcija sistema klimatizacije postojećih zgrada

4.1.3 Sistem za pripremu STV²⁰²

Projektom je za pripremu STV predviđen lokalni sistem – ugradnja električnih bojlera .Bojleri kao energet za zagrevanje sanitarnе tople vode koriste električnu energiju. .

Podaci o termotehničkim sistemima u zgradи	
Sistem za grejanje (lokalni, etažni, centralni, daljinski)	Daljinski
Toplotni izvor	Fosilno gorivo
Sistem za pripremu STV (lokalni, centralni, daljinski)	Lokalni
Toplotni izvor za STV	El.energija
Sistem za hlađenje (lokalni, etažni, centralni, daljinski)	lokalni
Izvor energije koji se koristi za hlađenje	Električna energija
Ventilacija (prirodna, mehanička, mehanička sa rekuperacijom)	Prirodna
Izvor energije za ventilaciju	-
Vrsta i način korišćenja sistema sa obnovljivim izvorima	-
Udeo OIE u potreboj topлоти za grejanje i STV [%]	-

4.10 Gubici toplote

4.10.1 Faktor oblika zgrade i udeo transparentnih površina

Podaci o zgradи	
Neto površina grejanog dela zgrade A_f [m ²]	2999,94
Zapremina grejanog dela zgrade V_e [m ³]	10012,10
Faktor oblika f_0 [m ⁻¹]	0,41
Udeo transparentnih površina [%]	19,9

4.10.2 Transmisioni gubici toplote zgrade H_T [W/K]

4.10.2.1 Površinski transmisioni gubici H_{TS} [W/K]

Opis građ.elementa	Oznaka	U (W/m ² K)	A(m ²)	Fx	U * A * Fx
Spoljni zidovi	SFZ-1	0,873	717,2	1,0	626,12
Spoljni zidovi	SFZ-2	1,616	511,17	1,0	826,05
Spoljni zidovi	SFZ-3	2,742	47,66	1,0	130,68
Spoljni zidovi	SFZ-4	1,835	36,47	1,0	66,92
Zid prema negrejanim prostorima	ZNP	2,199	29,15	0,5	32.05
Među sp.konstrukcija iznad otvorenog prolaza	ERK-1	0,338	81,35	1,0	27,49
Među sp.konstrukcija iznad otvorenog prolaza	ERK-2	0,344	7,11	1,0	2,45
Pod na tlu	PNT-1	1,947	773,95	0,5	753,44
Pod na tlu	PNT-2	2,179	82,96	0,5	90,38
Ravan krov	RK	0,450	1120,63	1,0	560,32
Prozori spoljna vrata i portalni grajanih prostorija	PS,VS,P	2,20	817,95	1,0	1799,49
			4225,6		

$$H_{TS}=4912,49 \text{ W/K}$$

²⁰² Sa osvrtom na minimalne tehničke zahteve sadržane u članu 15 Pravilnika o energetskoj efikasnosti zgrada za nove zgrade i prilikom rekonstrukcija sistema za pripremu STV postojećih zgrada

4.10.2.2 Linijski transmisioni gubici H_{TB} [W/K]

$$H_{TB} = 0.1 * \Sigma A = 0.1 * 4225,6 = 4225,6$$

$$H_{TB} = 422,56 \text{ W/K}$$

4.10.2.3 Ukupni transmisioni gubici H_T [W/K]

$$H_T = H_{TS} + H_{TB} = 4912,49 + 422,56 = 5335,05$$

$$H_T = 5335,05 \text{ W/K}$$

4.10.2.4 Specifični transmisioni gubitak topote zgrade H'_T [W/(m²K)]²⁰³

$$H'_T = H_T / A = 5335,05 / 4225,6 = 1,26$$

H'_T [W/(m ² K)]	H'_{Tmax} [W/(m ² K)] ²⁰⁴	Ispunjeno DA / NE
1,38	0,67	NE

4.10.3 Ventilacioni gubici topote zgrade H_v [W/K]

$$H_v = 0.33 * V * n = 0.33 \text{ Wh/m}^3\text{K} * 8499,82 \text{ m}^3 * 0,5\text{h}^{-1} = 1402,5\text{W/K}$$

Zapremina grejanog prostora V [m ³]	8499,82
Zaptivenost prozora	dobra
Broj izmena vazduha n [h ⁻¹]	0,5
Koeficijent ventilacionog gubitka [kW/K]	1,40

4.10.4 Ukupni gubici topote

Podaci o gubicima topote	[kW]
Transmisioni gubici kroz netransparentni deo omotača zgrade	120,56
Transmisioni gubici kroz prozore i vrata	61,36
Ventilacioni gubici kroz prozore i vrata	47,82
Ukupni gubici topote	229,74

4.11 Ulazni podaci za proračun dobitaka topote

4.11.1 Orijentacija i površina pozicija

A(m ²)	SFZ-1	SFZ-2	SFZ-3	SVZ-4,	ERK-1	ERK-2	RK	PS,VS,P
Sever	191,31	160,23	-	-	11,47	7,11	-	220,88
Istok	146,91	84,19	23,83	36,74	-	-	-	165,76
Jug	198,49	134,89	-	-	69,88	-	-	267,38
Zapad	180,49	131,86	23,83	-	-	-	-	163,93
Horiz.							1124,63	

²⁰³ Određuje se prema odeljku 3.4.2.3. Pravilnika o energetskoj efikasnosti.

²⁰⁴ Maksimalne dozvoljene vrednosti specifičnog transmisionog gubitka topote zgrede ili dela zgrade H'_T [W/(m²K)] date su u tabeli 3.4.2.3.1. Pravilnika o energetskoj efikasnosti zgrada

4.11.2 Ulagni podaci za proračun dobitaka od Sunčevog zračenja

SEVERNA FASADA

Faktor osenčenosti ²⁰⁵ F_{sh}	1,0
Faktor propustljivosti Sunčevog zračenja za staklo $g_{,gl}$	0,63
Faktor rama F_{fr}	0,12
Emisivnost spoljne površine zida $\alpha_{,sc}$	0,6
Otpor prelaza topline za spoljnu stranu zida $R_{s,c}$	0,04

ISTOČNA FASADA

Faktor osenčenosti ²⁰⁶ F_{sh}	0,90
Faktor propustljivosti Sunčevog zračenja za staklo $g_{,gl}$	0,63
Faktor rama F_{fr}	0,12
Emisivnost spoljne površine zida $\alpha_{,sc}$	0,6
Otpor prelaza topline za spoljnu stranu zida $R_{s,c}$	0,04

JUŽNA FASADA

Faktor osenčenosti ²⁰⁷ F_{sh}	1,0
Faktor propustljivosti Sunčevog zračenja za staklo $g_{,gl}$	0,63
Faktor rama F_{fr}	0,12
Emisivnost spoljne površine zida $\alpha_{,sc}$	0,6
Otpor prelaza topline za spoljnu stranu zida $R_{s,c}$	0,04

ZAPADNA FASADA

Faktor osenčenosti ²⁰⁸ F_{sh}	0,90
Faktor propustljivosti Sunčevog zračenja za staklo $g_{,gl}$	0,63
Faktor rama F_{fr}	0,12
Emisivnost spoljne površine zida $\alpha_{,sc}$	0,6
Otpor prelaza topline za spoljnu stranu zida $R_{s,c}$	0,04

4.3.3 Ulagni podaci za proračun dobitaka topline od unutrašnjih izvora²⁰⁹

Odavanje topline ljudi Q_{lj} [W/m ²]	2,7
Dobitak od el.uredaja q_{el} [kWh/m ²]	30
Prisutnost tokom dana [h]	16

²⁰⁵ Na osnovu tabele 6.6 iz Pravilnika o Energetskoj efikasnosti

²⁰⁶ Na osnovu tabele 6.6 iz Pravilnika o Energetskoj efikasnosti

²⁰⁷ Na osnovu tabele 6.6 iz Pravilnika o Energetskoj efikasnosti

²⁰⁸ Na osnovu tabele 6.6 iz Pravilnika o Energetskoj efikasnosti

²⁰⁹ Podaci za proračun dobitaka topline od unutrašnjih izvora dati su u tabeli 6.5. Pravilnika o Energetskoj efikasnosti:

5.0 PODACI O SISTEMU GREJANJA I NAČINU REGULACIJE

Podaci o sistemu grejanja	
Uredaj koji se koristi kao izvor (kotao, topotna podstanica, topotna pumpa)	Topotna podstanica
Instalisani kapacitet [kW]	250 kW
Efikasnost, stepen korisnosti [%]	92
Godina ugradnje	-
Energent	Fosilno gorivo (daljinsko grejanje)
Donja topotna moc [kWh/kg] [kWh/m ³]	-
Emisija CO ₂ [kg/m ² a]	14 329

Podaci o načinu regulacije	
Automatska regulacija rada kotla/izvora (da / ne)	DA
Centralna regulacija topotnog učinka (da / ne)	DA
Lokalna regulacija topotnog učinka (da / ne)	DA
Dnevni prekid u radu sistema (sati u danu)	8
Nedeljni prekid u radu sistema (dana u nedelji)	0
Sezonski prekid u radu sistema (dana u sezoni)	0
Ukupno trajanje grejne sezone (časova)	4200
Broj radnih sati tokom grejne sezone	2800
Prosečan broj osoba u zgradici	50

6.ENERGETSKE POTREBE ZGRADE

6.1 Proračun godišnje potrebne finalne energije za grejanje

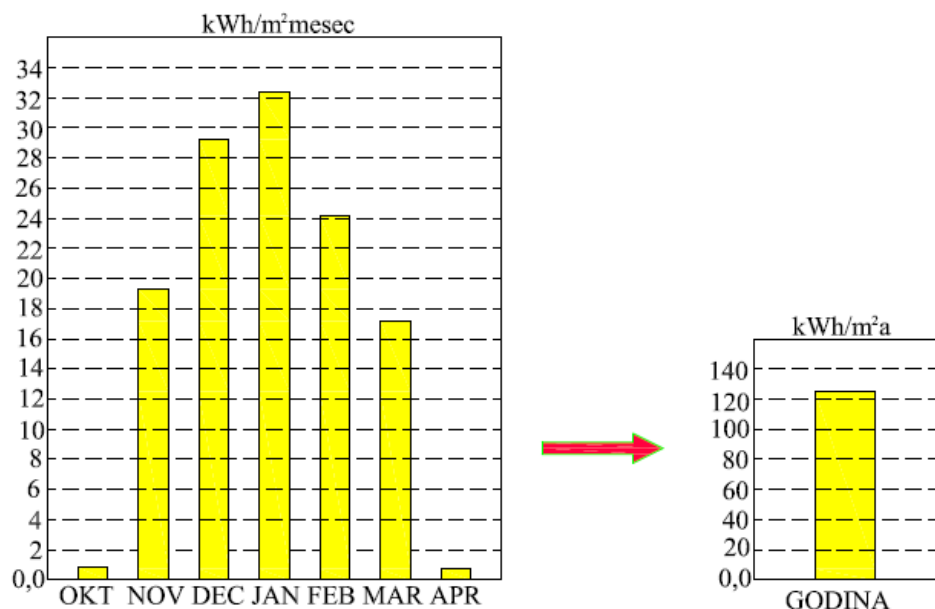
Mesec	Q _{H,ht}	Q _{sol, gl}	Q _{sol,c}	Q _{sol}	Q _{lj}	Q _{el}	Q _{int}	Q _{H,gn}	Q _{H,nd}
Okt	9797	2155	1206	3361	1088	2812	3900	7260.8	2681
Nov	72362	2437	1357.8	3795	1920	5624	7544	11338.8	61250
Dec	103014	1874.7	1042.7	2917	1984	5624	7608	10525.4	92699
Jan	113490	2326.4	1296	3622	1984	5624	7608	11230.4	102484
Feb	88852	3277.1	1861.9	5139	1792	5624	7416	12555	76548
Mar	71780	4419	2602.4	7021	1984	5624	7608	14629.4	57443
Apr	9894	2351.4	1451	3803	1088	2812	3900	7702.5	2346
	469189							75242.3	395452

gamaH 0.160
 fH,hr 0.666667
 aH,red 0.946545

Q_{h,nd, interm} = 374313 kWh/a
 q_{h,nd, interm} = 125 kWh/m²a
 q_{h,nd,rel} = 104.0 %

$$a_{H,red} = 1 - 3 \left(\frac{\tau_{H,0}}{\tau} \right) \cdot \gamma_H \cdot (1 - f_{H,hr})$$

Dijagram potrebne toplove za grejanje po mesecima:



Godišnja potrebna energija i energetski razred zgrade, prema Pravilniku o uslovima, sadržaju i postupku izdavanja sertifikata o energetkim svojstvima zgrada:

Zgrade namenjene zdravstvu i socijalnoj zaštiti		nove	postojeće
Energetski razred	Q _{H,nd,rel} [%]	Q _{H,nd} [kWh/(m²a)]	Q _{H,nd} [kWh/(m²a)]
A+	≤ 15	≤ 15	≤ 18
A	≤ 25	≤ 25	≤ 30
B	≤ 50	≤ 50	≤ 60
C	≤ 100	≤ 100	≤ 120
D	≤ 150	≤ 150	≤ 180
E	≤ 200	≤ 200	≤ 240
F	≤ 250	≤ 250	≤ 300
G	> 250	> 250	> 300

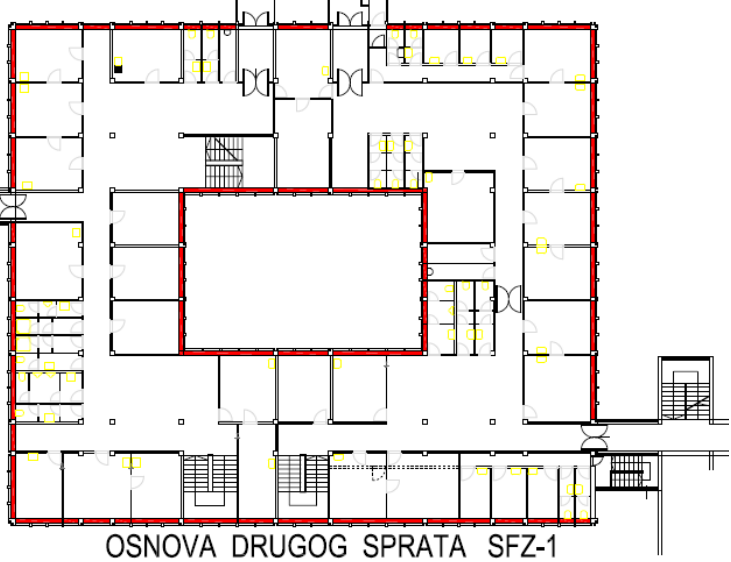
Q _{H,nd,interm} =	374313	kWh/a
q _{H,nd,interm} =	125	kWh/m²a
Q _{H,nd,rel} =	104	%
Razred:	D	

7.0 MERE ZA UNAPREĐENJE ENERGETSKE EFIKASNOSTI ZGRADE

Predložena mera za unapređenje energetske efikasnosti zgrade je postavljanje izolacije od tvrdo presovane mineralne vune debljine 5 cm na SFZ-1,postavljanje tvrdo presovane mineralne vune debljine 7,5 cm u konstrukciju ERK-1 i ERK-2,postavljanje tvrdo presovane mineralne debljine 7,5cm + 7,5cm u konstrukciju ravan krov,zamena Al drađevinske stolarije novom čestokomornom PVC stolarijom sa zastakljenjem Clima Guard Solar 4+16Argon+4 flotj

3.1.1 SPOLJNI ZID

3.1.1.1. Sastav, ilustracija Spoljni zidovi²¹⁰

Broj	1																														
Oznaka	SFZ-1A																														
	 <p>OSNOVA PRVOG SPRATA SFZ-1</p>  <p>OSNOVA DRUGOG SPRATA SFZ-1</p>																														
Površina [m ²]	717,2m ²																														
Sastav sklopa	<table border="1"> <thead> <tr> <th>Naziv građevinskog sloja</th> <th>δ [cm]</th> <th>λ [W/mK]</th> <th>ρ [kg/m³]</th> <th>μ [-]</th> </tr> </thead> <tbody> <tr> <td>1.ČELIČNI LIM</td> <td>0,10</td> <td>58,500</td> <td>7800</td> <td>600000</td> </tr> <tr> <td>2.POLISTIREN</td> <td>4,00</td> <td>0,041</td> <td>30</td> <td>45</td> </tr> <tr> <td>3.ČELIČNI LIM</td> <td>0,10</td> <td>58,500</td> <td>7800</td> <td>600000</td> </tr> <tr> <td>4.MINERALNA VUNA</td> <td>5,00</td> <td>0,036</td> <td>120</td> <td>1</td> </tr> <tr> <td>5.GIPS KARTONSKE PLOČE</td> <td>1,25</td> <td>0,210</td> <td>900</td> <td>12</td> </tr> </tbody> </table>	Naziv građevinskog sloja	δ [cm]	λ [W/mK]	ρ [kg/m ³]	μ [-]	1.ČELIČNI LIM	0,10	58,500	7800	600000	2.POLISTIREN	4,00	0,041	30	45	3.ČELIČNI LIM	0,10	58,500	7800	600000	4.MINERALNA VUNA	5,00	0,036	120	1	5.GIPS KARTONSKE PLOČE	1,25	0,210	900	12
Naziv građevinskog sloja	δ [cm]	λ [W/mK]	ρ [kg/m ³]	μ [-]																											
1.ČELIČNI LIM	0,10	58,500	7800	600000																											
2.POLISTIREN	4,00	0,041	30	45																											
3.ČELIČNI LIM	0,10	58,500	7800	600000																											
4.MINERALNA VUNA	5,00	0,036	120	1																											
5.GIPS KARTONSKE PLOČE	1,25	0,210	900	12																											

²¹⁰ Ukoliko ima više od jedne pozicije u okviru grupacije, u ovom slučaju „Spoljni zidovi“, potrebno ih je sve prikazati i obraditi

Skica sklopa ²¹¹	<p>1.ČELIČNI LIM 2.PILISTIREN 3.ČELIČNI LIM 4.MINERALNA VUNA 5.GIPS KARTONSKE PLOČE</p>
Ventilisanost sklopa	NIJE VENTILISAN
Parametri ventilisanosti	-

Segmenti pozicije u odnosu na orijentaciju prema stranama sveta ²¹²		
	Površina [m ²]	Ilustracija ²¹³
Ka severu	191,31	<p>SEVEROZAPDNA FASADA</p>
Ka istoku	146,91	<p>SEVEROISTOČNA FASADA</p>
Ka jugu	198,49	<p>JUGOISTOČNA FASADA</p>

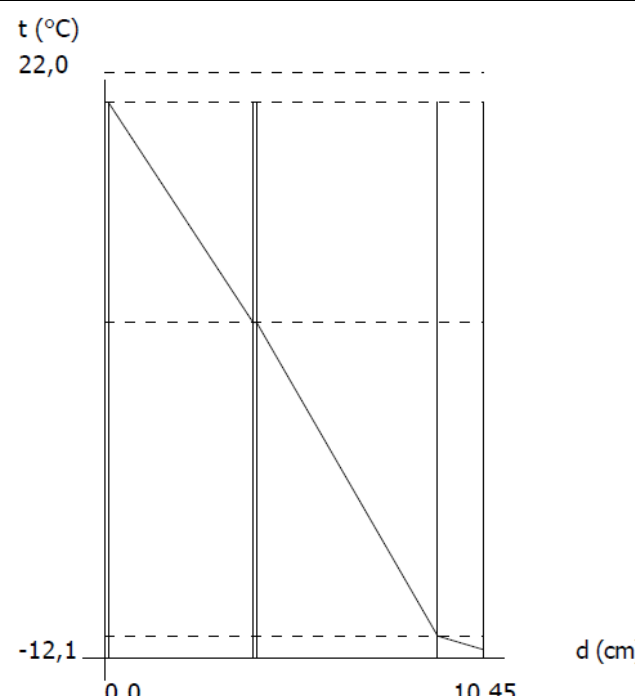
²¹¹ Ovde je prikazana ilustracija (veličina, orijentacija i oprema crteža se može razlikovati)

²¹² Podela izvršena zbog izračunavanja solarnih dobitaka

²¹³ Ova opcija nije obavezna

Ka zapadu	180,49	
-----------	---------------	--

3.1.1.2 Prolaz toplove i polje temperature

Tabelarni prikaz	<table border="1"> <thead> <tr> <th>Opis</th><th>λ [W/mK]</th><th>R [(m².K)/W]</th><th>$\Delta\theta$ [°C]</th><th>θ [°C]</th></tr> </thead> <tbody> <tr> <td>Unutra</td><td></td><td></td><td></td><td>22,00</td></tr> <tr> <td>Prelaženje</td><td></td><td>0,1300</td><td>1,71</td><td>20,29</td></tr> <tr> <td>1.ČELIČNI LIM</td><td>58,500</td><td>0,0000</td><td>0,00</td><td>20,29</td></tr> <tr> <td>2.POLISTIREN</td><td>0,041</td><td>0,9756</td><td>12,82</td><td>7,47</td></tr> <tr> <td>3.ČELIČNI LIM</td><td>58,500</td><td>0,0000</td><td>0,00</td><td>7,47</td></tr> <tr> <td>4.MINERALNA VUNA</td><td>0,036</td><td>1,3889</td><td>18,26</td><td>-10,79</td></tr> <tr> <td>5.GIPS KARTONSKЕ PLOČE</td><td>0,210</td><td>0,0595</td><td>0,96</td><td>-11,75</td></tr> <tr> <td>Prelaženje toplove</td><td></td><td>0,0400</td><td>0,35</td><td>-11,75</td></tr> <tr> <td>Spolja</td><td></td><td></td><td></td><td>-12,10</td></tr> <tr> <td>Ukupni otpor</td><td></td><td>2,594</td><td></td><td></td></tr> </tbody> </table>	Opis	λ [W/mK]	R [(m ² .K)/W]	$\Delta\theta$ [°C]	θ [°C]	Unutra				22,00	Prelaženje		0,1300	1,71	20,29	1.ČELIČNI LIM	58,500	0,0000	0,00	20,29	2.POLISTIREN	0,041	0,9756	12,82	7,47	3.ČELIČNI LIM	58,500	0,0000	0,00	7,47	4.MINERALNA VUNA	0,036	1,3889	18,26	-10,79	5.GIPS KARTONSKЕ PLOČE	0,210	0,0595	0,96	-11,75	Prelaženje toplove		0,0400	0,35	-11,75	Spolja				-12,10	Ukupni otpor		2,594		
Opis	λ [W/mK]	R [(m ² .K)/W]	$\Delta\theta$ [°C]	θ [°C]																																																				
Unutra				22,00																																																				
Prelaženje		0,1300	1,71	20,29																																																				
1.ČELIČNI LIM	58,500	0,0000	0,00	20,29																																																				
2.POLISTIREN	0,041	0,9756	12,82	7,47																																																				
3.ČELIČNI LIM	58,500	0,0000	0,00	7,47																																																				
4.MINERALNA VUNA	0,036	1,3889	18,26	-10,79																																																				
5.GIPS KARTONSKЕ PLOČE	0,210	0,0595	0,96	-11,75																																																				
Prelaženje toplove		0,0400	0,35	-11,75																																																				
Spolja				-12,10																																																				
Ukupni otpor		2,594																																																						
Grafik temperatura ²¹⁴	 <p>t (°C)</p> <p>22,0</p> <p>-12,1</p> <p>d (cm)</p> <p>0,0</p> <p>10,45</p>																																																							
Površinski koeficijenat prolaza toplove U [W/(m ² K)]	0,385																																																							

²¹⁴ Ovde je prikazana ilustracija (veličina, orijentacija i oprema crteža se može razlikovati)

3.1.1.3 Difuzija vodene pare i isušenje

Tabelarni prikaz	<table border="1"> <thead> <tr> <th>Opis</th><th>μ [-]</th><th>$\Delta\theta$ [°C]</th><th>θ [°C]</th><th>p' [Pa]</th><th>p_s [Pa]</th></tr> </thead> <tbody> <tr> <td>Unutra</td><td></td><td></td><td>22,00</td><td>2640</td><td></td></tr> <tr> <td>Prelaženje</td><td></td><td>1,35</td><td>20,65</td><td>2430</td><td>1452</td></tr> <tr> <td>1.ČELIČNI LIM</td><td>600000</td><td>0,00</td><td>20,65</td><td>2430</td><td>907</td></tr> <tr> <td>2.POLISTIREN</td><td>45</td><td>10,16</td><td>10,49</td><td>1268</td><td>906</td></tr> <tr> <td>3.ČELIČNI LIM</td><td>600000</td><td>0,00</td><td>10,49</td><td>1268</td><td>361</td></tr> <tr> <td>4.MINERALNA VUNA</td><td>1</td><td>14,45</td><td>-3,96</td><td>438</td><td>361</td></tr> <tr> <td>5.GIPS KARTONSKE PLOČE</td><td>12</td><td>0,62</td><td>-4,58</td><td>416</td><td>361</td></tr> <tr> <td>Prelaženje toplove</td><td></td><td>0,42</td><td>-4,58</td><td>416</td><td>361</td></tr> <tr> <td>Spolja</td><td></td><td></td><td>-5,00</td><td>401</td><td></td></tr> </tbody> </table>	Opis	μ [-]	$\Delta\theta$ [°C]	θ [°C]	p' [Pa]	p_s [Pa]	Unutra			22,00	2640		Prelaženje		1,35	20,65	2430	1452	1.ČELIČNI LIM	600000	0,00	20,65	2430	907	2.POLISTIREN	45	10,16	10,49	1268	906	3.ČELIČNI LIM	600000	0,00	10,49	1268	361	4.MINERALNA VUNA	1	14,45	-3,96	438	361	5.GIPS KARTONSKE PLOČE	12	0,62	-4,58	416	361	Prelaženje toplove		0,42	-4,58	416	361	Spolja			-5,00	401	
Opis	μ [-]	$\Delta\theta$ [°C]	θ [°C]	p' [Pa]	p_s [Pa]																																																								
Unutra			22,00	2640																																																									
Prelaženje		1,35	20,65	2430	1452																																																								
1.ČELIČNI LIM	600000	0,00	20,65	2430	907																																																								
2.POLISTIREN	45	10,16	10,49	1268	906																																																								
3.ČELIČNI LIM	600000	0,00	10,49	1268	361																																																								
4.MINERALNA VUNA	1	14,45	-3,96	438	361																																																								
5.GIPS KARTONSKE PLOČE	12	0,62	-4,58	416	361																																																								
Prelaženje toplove		0,42	-4,58	416	361																																																								
Spolja			-5,00	401																																																									
Grafik ²¹⁵	<p>The diagram illustrates the pressure distribution across a wall. The vertical axis represents pressure p in kPa, ranging from 0.0 to 2.0. The horizontal axis represents distance r in meters, with a mark at 1.202,02. There are two horizontal lines: a solid line labeled p' and a dashed line labeled p_i. The p' line is positioned higher than the p_i line. A vertical line at $r = 1.202,02$ m separates the two regions, indicating the boundary between the interior and exterior of the wall.</p>																																																												
Proračun kondenzacije ²¹⁶	U KONSTRUKCIJI NE DOLAZI DO KONDENZACIJE																																																												
Vreme isušenja	-																																																												

3.1.1.4 Letnja stabilnost²¹⁷

	Vrednost	Minimum	Zadovoljava
Faktor prigušenja amplitude oscilacije temperature v [-]	17,4	15	Da
Faktor kašnjenja oscilacije temperature η [h]	0	0	Da

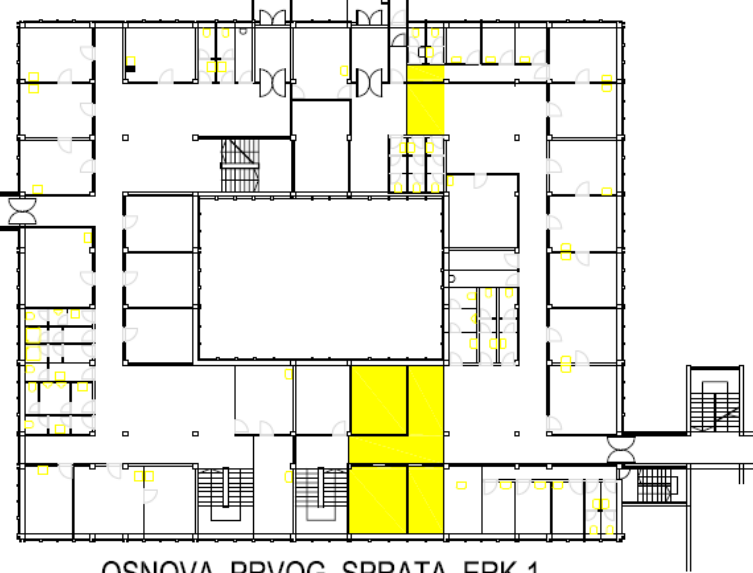
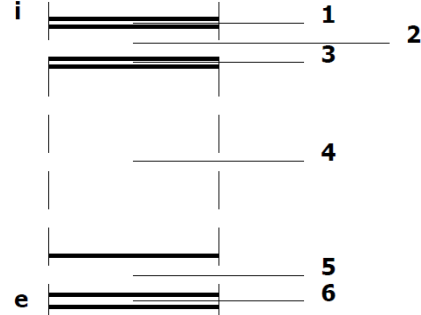
²¹⁵ Ovde je prikazana ilustracija (veličina, orijentacija i oprema crteža se može razlikovati)

²¹⁶ U skladu sa poglavljem 3.3 Pravilnika o energetskoj efikasnosti zgrada

²¹⁷ Prema poglavlu 3.2 Pravilnika o energetskoj efikasnosti zgrada

3.1.3 Međuspratna konstrukcija iznad otvorenog prolaza – ERKER

3.1.3.1 Sastav, ilustracija

Broj	3																																			
Oznaka	ERK-1A																																			
Ilustracija položaja u zgradi ²¹⁸	 <p style="text-align: center;">OSNOVA PRVOG SPRATA ERK-1</p>																																			
Površina [m ²]	81,35 m ²																																			
Sastav sklopa	<table border="1"> <thead> <tr> <th>Naziv građevinskog sloja</th> <th>δ [cm]</th> <th>λ [W/mK]</th> <th>ρ [kg/m³]</th> <th>μ [-]</th> </tr> </thead> <tbody> <tr> <td>1.VINFLEX</td><td>1,00</td><td>0,160</td><td>950</td><td>10000</td></tr> <tr> <td>2.FLORBIT</td><td>4,00</td><td>0,050</td><td>50</td><td>1</td></tr> <tr> <td>3.PLUTAFON</td><td>1,00</td><td>0,050</td><td>160</td><td>10</td></tr> <tr> <td>3.TM-5</td><td>16,0</td><td>0,800</td><td>1450</td><td>28</td></tr> <tr> <td>4.MINERALNEA VUNA</td><td>7,50</td><td>0,039</td><td>130</td><td>1</td></tr> <tr> <td>5.LAMPERIJA</td><td>1,50</td><td>0,140</td><td>520</td><td>15</td></tr> </tbody> </table>	Naziv građevinskog sloja	δ [cm]	λ [W/mK]	ρ [kg/m ³]	μ [-]	1.VINFLEX	1,00	0,160	950	10000	2.FLORBIT	4,00	0,050	50	1	3.PLUTAFON	1,00	0,050	160	10	3.TM-5	16,0	0,800	1450	28	4.MINERALNEA VUNA	7,50	0,039	130	1	5.LAMPERIJA	1,50	0,140	520	15
Naziv građevinskog sloja	δ [cm]	λ [W/mK]	ρ [kg/m ³]	μ [-]																																
1.VINFLEX	1,00	0,160	950	10000																																
2.FLORBIT	4,00	0,050	50	1																																
3.PLUTAFON	1,00	0,050	160	10																																
3.TM-5	16,0	0,800	1450	28																																
4.MINERALNEA VUNA	7,50	0,039	130	1																																
5.LAMPERIJA	1,50	0,140	520	15																																
Skica sklopa ²¹⁹	 <p style="text-align: right;"> 1 VINFLEX 2 FLORBIT 3 PLUTAFON 4 TM-5 5 TVRDE PLOČE MINERALNE VUNE 6 LAMPERIJA </p>																																			
Ventilisanost sklopa	NIJE VENTILISAN																																			
Parametri ventilisanosti	-																																			

²¹⁸ Ova opcija nije obavezna

²¹⁹ Ovde je prikazana ilustracija (veličina, orijentacija i oprema crteža se može razlikovati)

3.1.3.2 Prolaz topline i polje temperature

Tabelarni prikaz	Opis	λ [W/mK]	R [(m ² ·K)/W]	$\Delta\theta$ [°C]	θ [°C]
Unutra					22,00
Prelaženje			0,1700	1,61	20,39
1.VINFLEX	0,160	0,0625	0,59	19,80	
2.FLORBIT	0,050	0,8000	7,57	12,23	
3.PLUTAFON	0,050	0,2000	1,90	10,33	
3.TM-5	0,800	0,3000	2,84	7,49	
4.MINERALNEA VUNA	0,039	1,9231	18,2	-10,71	
5.LAMPERIJA	0,140	0,1071	1,01	-11,72	
Prelaženje topline			0,400	0,38	-11,72
Spolja					-12,10
Ukupni otpor			3,603		

Grafik temperatura ²²⁰	<p>The diagram illustrates the temperature profile across a total thickness of 39,00 cm. The temperature starts at 22,00 °C at the inner boundary (d=0) and decreases linearly to -12,1 °C at the outer boundary (d=39,00 cm).</p>
Površ. koeficijenat prolaza topline U [W/(m ² K)]	0,278

²²⁰ Ovde je prikazana ilustracija (veličina, orientacija i oprema crteža se može razlikovati)

3.1.3.3 Difuzija vodene pare i isušenje

Tabelarni prikaz	<table border="1"> <thead> <tr> <th>Opis</th><th>μ [-]</th><th>$\Delta\theta$ [°C]</th><th>θ [°C]</th><th>p' [Pa]</th><th>p_s [Pa]</th></tr> </thead> <tbody> <tr> <td>Unutra</td><td></td><td></td><td>22,00</td><td>2640</td><td></td></tr> <tr> <td>Prelaženje</td><td></td><td>1,27</td><td>20,73</td><td>2442</td><td>1452</td></tr> <tr> <td>1.VINFLEX</td><td>10000</td><td>0,47</td><td>20,26</td><td>2372</td><td>817</td></tr> <tr> <td>2.FLORBIT</td><td>1</td><td>6,00</td><td>14,26</td><td>1624</td><td>814</td></tr> <tr> <td>3.PLUTAFON</td><td>10</td><td>1,50</td><td>12,76</td><td>1473</td><td>808</td></tr> <tr> <td>3.TM-5</td><td>28</td><td>2,25</td><td>10,51</td><td>1270</td><td>382</td></tr> <tr> <td>4.MINERALNEA VUNA</td><td>1</td><td>14,41</td><td>-3,90</td><td>441</td><td>375</td></tr> <tr> <td>5.LAMPERIJA</td><td>15</td><td>0,80</td><td>-4,70</td><td>412</td><td>361</td></tr> <tr> <td>Prelaženje toplote</td><td></td><td>0,30</td><td>-4,70</td><td>412</td><td>361</td></tr> <tr> <td>Spolja</td><td></td><td></td><td>-5,00</td><td>401</td><td></td></tr> </tbody> </table>	Opis	μ [-]	$\Delta\theta$ [°C]	θ [°C]	p' [Pa]	p_s [Pa]	Unutra			22,00	2640		Prelaženje		1,27	20,73	2442	1452	1.VINFLEX	10000	0,47	20,26	2372	817	2.FLORBIT	1	6,00	14,26	1624	814	3.PLUTAFON	10	1,50	12,76	1473	808	3.TM-5	28	2,25	10,51	1270	382	4.MINERALNEA VUNA	1	14,41	-3,90	441	375	5.LAMPERIJA	15	0,80	-4,70	412	361	Prelaženje toplote		0,30	-4,70	412	361	Spolja			-5,00	401	
Opis	μ [-]	$\Delta\theta$ [°C]	θ [°C]	p' [Pa]	p_s [Pa]																																																														
Unutra			22,00	2640																																																															
Prelaženje		1,27	20,73	2442	1452																																																														
1.VINFLEX	10000	0,47	20,26	2372	817																																																														
2.FLORBIT	1	6,00	14,26	1624	814																																																														
3.PLUTAFON	10	1,50	12,76	1473	808																																																														
3.TM-5	28	2,25	10,51	1270	382																																																														
4.MINERALNEA VUNA	1	14,41	-3,90	441	375																																																														
5.LAMPERIJA	15	0,80	-4,70	412	361																																																														
Prelaženje toplote		0,30	-4,70	412	361																																																														
Spolja			-5,00	401																																																															
Grafik ²²¹																																																																			
Proračun kondenzacije ²²²	U KONSTRUKCIJI NE DOLAZI DO KONDENZACIJE																																																																		
Vreme isušenja	-																																																																		

3.1.3.4 Letnja stabilnost²²³

	Vrednost	Minimum	Zadovoljava
Faktor prigušenja amplitude oscilacije temperature v [-]	516,503	15	Da
Faktor kašnjenja oscilacije temperature η [h]	$v > 35$	7	Da

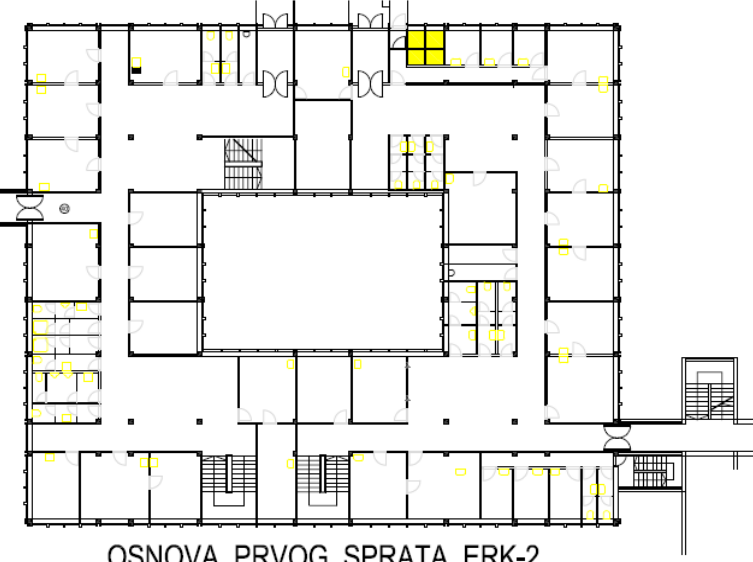
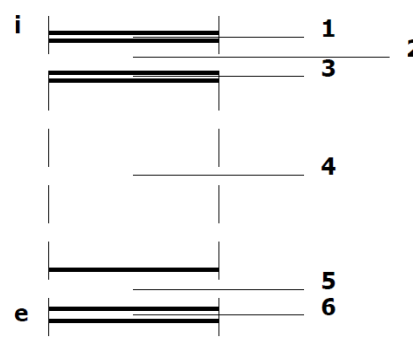
²²¹ Ovde je prikazana ilustracija (veličina, orijentacija i oprema crteža se može razlikovati)

²²² U skladu sa poglavljem 3.3 Pravilnika o energetskoj efikasnosti zgrada

²²³ Prema poglavlu 3.2 Pravilnika o energetskoj efikasnosti zgrada

3.1.34 Međuspratna konstrukcija iznad otvorenog prolaza – ERKER

3.1.4.1 Sastav, ilustracija

Broj	4																																			
Oznaka	ERK-2A																																			
Ilustracija položaja u zgradi ²²⁴	 <p style="text-align: center;">OSNOVA PRVOG SPRATA ERK-2</p>																																			
Površina [m ²]	81,35 m ²																																			
Sastav sklopa	<table border="1"> <thead> <tr> <th>Naziv građevinskog sloja</th> <th>δ [cm]</th> <th>λ [W/mK]</th> <th>ρ [kg/m³]</th> <th>μ [-]</th> </tr> </thead> <tbody> <tr> <td>1.KERAMIČKE PLOČICE</td><td>1,00</td><td>1,280</td><td>2300</td><td>200</td></tr> <tr> <td>2.FLORBIT</td><td>4,00</td><td>0,050</td><td>50</td><td>1</td></tr> <tr> <td>3.PLUTAFON</td><td>1,00</td><td>0,050</td><td>160</td><td>10</td></tr> <tr> <td>3.TM-5</td><td>16,0</td><td>0,800</td><td>1450</td><td>28</td></tr> <tr> <td>4.MINERALNEA VUNA</td><td>7,50</td><td>0,039</td><td>130</td><td>1</td></tr> <tr> <td>5.LAMPERIJA</td><td>1,50</td><td>0,140</td><td>520</td><td>15</td></tr> </tbody> </table>	Naziv građevinskog sloja	δ [cm]	λ [W/mK]	ρ [kg/m ³]	μ [-]	1.KERAMIČKE PLOČICE	1,00	1,280	2300	200	2.FLORBIT	4,00	0,050	50	1	3.PLUTAFON	1,00	0,050	160	10	3.TM-5	16,0	0,800	1450	28	4.MINERALNEA VUNA	7,50	0,039	130	1	5.LAMPERIJA	1,50	0,140	520	15
Naziv građevinskog sloja	δ [cm]	λ [W/mK]	ρ [kg/m ³]	μ [-]																																
1.KERAMIČKE PLOČICE	1,00	1,280	2300	200																																
2.FLORBIT	4,00	0,050	50	1																																
3.PLUTAFON	1,00	0,050	160	10																																
3.TM-5	16,0	0,800	1450	28																																
4.MINERALNEA VUNA	7,50	0,039	130	1																																
5.LAMPERIJA	1,50	0,140	520	15																																
Skica sklopa ²²⁵	 <p style="text-align: right;"> 1 KERAMIČKE PLOČICE-PODNE 2 FLORBIT 3 PLUTAFON 4 TM-5 5 TVRDE PLOČE MINERALNE VUNE 6 LAMPERIJA </p>																																			
Ventilisanost sklopa	NIJE VENTILISAN																																			
Parametri ventilisanosti	-																																			

²²⁴ Ova opcija nije obavezna

²²⁵ Ovde je prikazana ilustracija (veličina, orientacija i oprema crteža se može razlikovati)

3.1.4.2 Prolaz toplote i polje temperature

Tabelarni prikaz	Opis	λ [W/mK]	R [(m ² ·K)/W]	$\Delta\theta$ [°C]	θ [°C]
Unutra					22,00
Prelaženje			0,1700	1,63	20,37
1.KERAMIČKE PLOČICE	1,280	0,0078	0,08	20,29	
2.FLORBIT	0,050	0,8000	7,69	12,60	
3.PLUTAFON	0,050	0,2000	1,92	10,68	
3.TM-5	0,800	0,3000	2,88	7,80	
4.MINERALNEA VUNA	0,039	1,9231	18,49	-10,69	
5.LAMPERIJA	0,140	0,1071	1,03	-11,72	
Prelaženje topline			0,400	0,38	-11,72
Spolja					-12,10
Ukupni otpor			3,548		

Grafik temperatura ²²⁶	<p style="text-align: center;">t (°C)</p>
Površ. koeficijenat prolaza topline U [W/(m ² K)]	0,282

²²⁶ Ovde je prikazana ilustracija (veličina, orijentacija i oprema crteža se može razlikovati)

3.1.4.3 Difuzija vodene pare i isušenje

Tabelarni prikaz	<table border="1"> <thead> <tr> <th>Opis</th><th>μ [-]</th><th>$\Delta\theta$ [°C]</th><th>θ [°C]</th><th>p' [Pa]</th><th>p_s [Pa]</th></tr> </thead> <tbody> <tr> <td>Unutra</td><td></td><td></td><td>22,00</td><td>2640</td><td></td></tr> <tr> <td>Prelaženje</td><td></td><td>1,29</td><td>20,71</td><td>2439</td><td>1452</td></tr> <tr> <td>1.KERAMIČKE PLOČICE</td><td>200</td><td>0,06</td><td>20,65</td><td>2430</td><td>1214</td></tr> <tr> <td>2.FLORBIT</td><td>1</td><td>6,09</td><td>14,56</td><td>1656</td><td>1209</td></tr> <tr> <td>3.PLUTAFON</td><td>10</td><td>1,52</td><td>13,04</td><td>1500</td><td>1197</td></tr> <tr> <td>3.TM-5</td><td>28</td><td>2,29</td><td>10,75</td><td>1290</td><td>399</td></tr> <tr> <td>4.MINERALNEA VUNA</td><td>1</td><td>14,63</td><td>-3,88</td><td>441</td><td>388</td></tr> <tr> <td>5.LAMPERIJA</td><td>15</td><td>0,82</td><td>-4,70</td><td>412</td><td>361</td></tr> <tr> <td>Prelaženje toplote</td><td></td><td>0,30</td><td>-4,70</td><td>412</td><td>361</td></tr> <tr> <td>Spolja</td><td></td><td></td><td>-5,00</td><td>401</td><td></td></tr> </tbody> </table>	Opis	μ [-]	$\Delta\theta$ [°C]	θ [°C]	p' [Pa]	p_s [Pa]	Unutra			22,00	2640		Prelaženje		1,29	20,71	2439	1452	1.KERAMIČKE PLOČICE	200	0,06	20,65	2430	1214	2.FLORBIT	1	6,09	14,56	1656	1209	3.PLUTAFON	10	1,52	13,04	1500	1197	3.TM-5	28	2,29	10,75	1290	399	4.MINERALNEA VUNA	1	14,63	-3,88	441	388	5.LAMPERIJA	15	0,82	-4,70	412	361	Prelaženje toplote		0,30	-4,70	412	361	Spolja			-5,00	401	
Opis	μ [-]	$\Delta\theta$ [°C]	θ [°C]	p' [Pa]	p_s [Pa]																																																														
Unutra			22,00	2640																																																															
Prelaženje		1,29	20,71	2439	1452																																																														
1.KERAMIČKE PLOČICE	200	0,06	20,65	2430	1214																																																														
2.FLORBIT	1	6,09	14,56	1656	1209																																																														
3.PLUTAFON	10	1,52	13,04	1500	1197																																																														
3.TM-5	28	2,29	10,75	1290	399																																																														
4.MINERALNEA VUNA	1	14,63	-3,88	441	388																																																														
5.LAMPERIJA	15	0,82	-4,70	412	361																																																														
Prelaženje toplote		0,30	-4,70	412	361																																																														
Spolja			-5,00	401																																																															
Grafik ²²⁷	<p>The diagram illustrates the pressure difference p' (in kPa) across a wall of thickness 9.19 meters. The vertical axis (p (kPa)) has tick marks at 0.0, 0.5, 1.0, 1.5, and 2.0. The horizontal axis (r (m)) has tick marks at 0.0 and 9.19. A solid line represents p', starting at approximately 1.8 kPa at $r=0$ and decreasing to near zero at $r=9.19$. A dashed line represents p_i, also starting at approximately 1.8 kPa at $r=0$ and decreasing more sharply than the solid line, reaching near zero at $r \approx 4.5$ m.</p>																																																																		
Proračun kondenzacije ²²⁸	U KONSTRUKCIJI NE DOLAZI DO KONDENZACIJE																																																																		
Vreme isušenja	-																																																																		

3.1.4.4 Letnja stabilnost²²⁹

	Vrednost	Minimum	Zadovoljava
Faktor prigušenja amplitudne oscilacije temperature v [-]	516,503	15	Da
Faktor kašnjenja oscilacije temperature η [h]	$v > 35$	7	Da

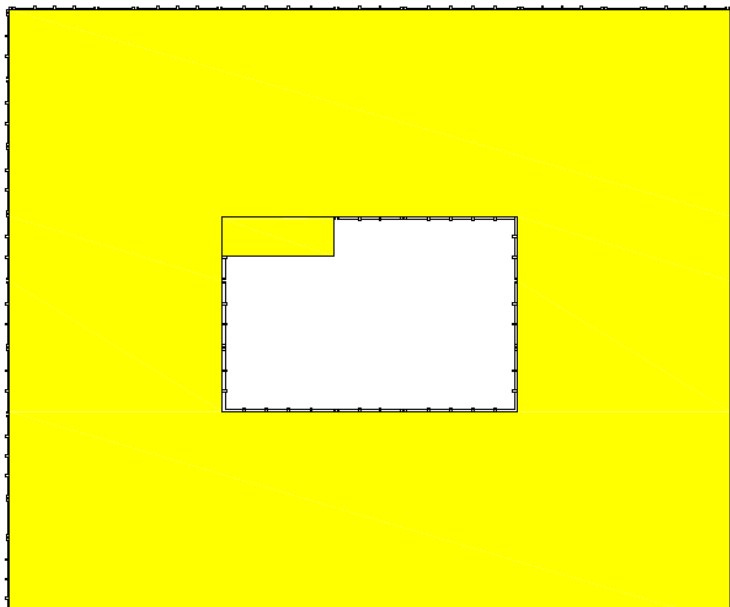
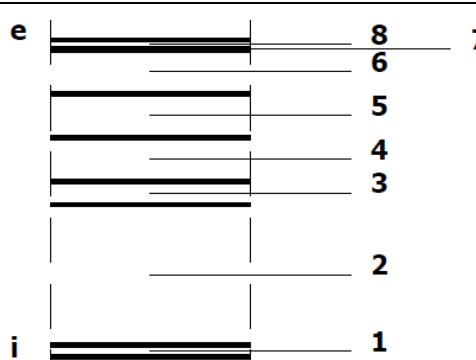
²²⁷ Ovde je prikazana ilustracija (veličina, orijentacija i oprema crteža se može razlikovati)

²²⁸ U skladu sa poglavljem 3.3 Pravilnika o energetskoj efikasnosti zgrada

²²⁹ Prema poglavlju 3.2 Pravilnika o energetskoj efikasnosti zgrada

3.1.7 RAVAN KROV IZNAD GREJANOG PROSTORA

3.1.7.1 Sastav, ilustracija

Broj	7																																													
Oznaka	RK																																													
Ilustracija položaja u zgradi ²³⁰	 <p style="text-align: center;">OSNOVA RAVNOG KROVA</p>																																													
Površina [m ²]	1120,63 m ²																																													
Sastav sklopa	<table border="1"> <thead> <tr> <th>Naziv građevinskog sloja</th> <th>δ [cm]</th> <th>λ [W/mK]</th> <th>ρ [kg/m³]</th> <th>μ [-]</th> </tr> </thead> <tbody> <tr> <td>1.PRODUŽENI KREČNI MALTER</td><td>2,00</td><td>0,870</td><td>1800</td><td>20</td></tr> <tr> <td>2.TM-5</td><td>24,0</td><td>0,800</td><td>1450</td><td>28</td></tr> <tr> <td>3.POLIURETAN</td><td>4,00</td><td>0,035</td><td>40</td><td>50</td></tr> <tr> <td>4.PERLIT MALTER</td><td>7,50</td><td>0,130</td><td>500</td><td>4</td></tr> <tr> <td>5.MINERALNA VUNA</td><td>7,50</td><td>0,039</td><td>150</td><td>1</td></tr> <tr> <td>6.MINERALNA VUNA</td><td>7,50</td><td>0,039</td><td>150</td><td>1</td></tr> <tr> <td>7.GEOTEKSTIL</td><td>0,20</td><td>0,100</td><td>100</td><td>1</td></tr> <tr> <td>8.MEMBRANSKA IZOLACIJA</td><td>1,50</td><td>0,190</td><td>1200</td><td>140000</td></tr> </tbody> </table>	Naziv građevinskog sloja	δ [cm]	λ [W/mK]	ρ [kg/m ³]	μ [-]	1.PRODUŽENI KREČNI MALTER	2,00	0,870	1800	20	2.TM-5	24,0	0,800	1450	28	3.POLIURETAN	4,00	0,035	40	50	4.PERLIT MALTER	7,50	0,130	500	4	5.MINERALNA VUNA	7,50	0,039	150	1	6.MINERALNA VUNA	7,50	0,039	150	1	7.GEOTEKSTIL	0,20	0,100	100	1	8.MEMBRANSKA IZOLACIJA	1,50	0,190	1200	140000
Naziv građevinskog sloja	δ [cm]	λ [W/mK]	ρ [kg/m ³]	μ [-]																																										
1.PRODUŽENI KREČNI MALTER	2,00	0,870	1800	20																																										
2.TM-5	24,0	0,800	1450	28																																										
3.POLIURETAN	4,00	0,035	40	50																																										
4.PERLIT MALTER	7,50	0,130	500	4																																										
5.MINERALNA VUNA	7,50	0,039	150	1																																										
6.MINERALNA VUNA	7,50	0,039	150	1																																										
7.GEOTEKSTIL	0,20	0,100	100	1																																										
8.MEMBRANSKA IZOLACIJA	1,50	0,190	1200	140000																																										
Skica sklopa ²³¹	 <p>1.PRODUŽENI KREČNI MALTER 2.TM-5 3.POLIURETAN 4.PERLIT MALTER 5.MINERALNA VUNA 6.MINERALNA VUNA 7.GEOTEKSTIL 8.MEMBRANSKA IZOLACIJA</p>																																													

²³⁰ Ova opcija nije obavezna

²³¹ Ovde je prikazana ilustracija (veličina, orientacija i oprema crteža se može razlikovati)

Ventilisanost sklopa	NIJE VENTILISAN
Parametri ventilisanosti	-

3.1.7.2 Prolaz topline i polje temperature

Tabelarni prikaz	<table border="1"> <thead> <tr> <th>Opis</th><th>λ [W/mK]</th><th>R [(m²·K)/W]</th><th>$\Delta\theta$ [°C]</th><th>θ [°C]</th></tr> </thead> <tbody> <tr> <td>Unutra</td><td></td><td></td><td></td><td>22,00</td></tr> <tr> <td>Prelaženje</td><td></td><td>0,1000</td><td>0,56</td><td>21,44</td></tr> <tr> <td>1.PRODUŽENI KREĆNI MALTER</td><td>0,870</td><td>0,0230</td><td>0,12</td><td>21,32</td></tr> <tr> <td>2.TM-5</td><td>0,800</td><td>0,3000</td><td>1,67</td><td>19,65</td></tr> <tr> <td>3.POLIURETAN</td><td>0,035</td><td>1,1429</td><td>6,36</td><td>13,29</td></tr> <tr> <td>4.PERLIT MALTER</td><td>0,130</td><td>0,5769</td><td>3,21</td><td>10,08</td></tr> <tr> <td>5.MINERALNA VUNA</td><td>0,039</td><td>1,9213</td><td>10,71</td><td>-0,63</td></tr> <tr> <td>6.MINERALNA VUNA</td><td>0,039</td><td>1,9213</td><td>10,7</td><td>-11,33</td></tr> <tr> <td>7.GEOTEKSTIL</td><td>0,100</td><td>0,0200</td><td>0,11</td><td>-11,44</td></tr> <tr> <td>8.MEMBRANSKA IZOLACIJA</td><td>0,190</td><td>0,0789</td><td>0,44</td><td>-11,88</td></tr> <tr> <td>Prelaženje topline</td><td></td><td>0,0400</td><td>0,22</td><td>-11,88</td></tr> <tr> <td>Spolja</td><td></td><td></td><td></td><td>-12,10</td></tr> <tr> <td>Ukupni otpor</td><td></td><td>6,128</td><td></td><td></td></tr> </tbody> </table>	Opis	λ [W/mK]	R [(m ² ·K)/W]	$\Delta\theta$ [°C]	θ [°C]	Unutra				22,00	Prelaženje		0,1000	0,56	21,44	1.PRODUŽENI KREĆNI MALTER	0,870	0,0230	0,12	21,32	2.TM-5	0,800	0,3000	1,67	19,65	3.POLIURETAN	0,035	1,1429	6,36	13,29	4.PERLIT MALTER	0,130	0,5769	3,21	10,08	5.MINERALNA VUNA	0,039	1,9213	10,71	-0,63	6.MINERALNA VUNA	0,039	1,9213	10,7	-11,33	7.GEOTEKSTIL	0,100	0,0200	0,11	-11,44	8.MEMBRANSKA IZOLACIJA	0,190	0,0789	0,44	-11,88	Prelaženje topline		0,0400	0,22	-11,88	Spolja				-12,10	Ukupni otpor		6,128		
Opis	λ [W/mK]	R [(m ² ·K)/W]	$\Delta\theta$ [°C]	θ [°C]																																																																			
Unutra				22,00																																																																			
Prelaženje		0,1000	0,56	21,44																																																																			
1.PRODUŽENI KREĆNI MALTER	0,870	0,0230	0,12	21,32																																																																			
2.TM-5	0,800	0,3000	1,67	19,65																																																																			
3.POLIURETAN	0,035	1,1429	6,36	13,29																																																																			
4.PERLIT MALTER	0,130	0,5769	3,21	10,08																																																																			
5.MINERALNA VUNA	0,039	1,9213	10,71	-0,63																																																																			
6.MINERALNA VUNA	0,039	1,9213	10,7	-11,33																																																																			
7.GEOTEKSTIL	0,100	0,0200	0,11	-11,44																																																																			
8.MEMBRANSKA IZOLACIJA	0,190	0,0789	0,44	-11,88																																																																			
Prelaženje topline		0,0400	0,22	-11,88																																																																			
Spolja				-12,10																																																																			
Ukupni otpor		6,128																																																																					
Grafik temperaturna ²³²	<p style="text-align: center;">t (°C)</p> <p style="text-align: center;">d (cm)</p>																																																																						
Površ. koeficijenat prolaza topline U [W/(m ² K)]	0,163																																																																						

²³² Ovde je prikazana ilustracija (veličina, orijentacija i oprema crteža se može razlikovati)

3.1.7.3 Difuzija vodene pare i isušenje

Tabelarni prikaz	<table border="1"> <thead> <tr> <th>Opis</th><th>μ [-]</th><th>$\Delta\theta$ [°C]</th><th>θ [°C]</th><th>p' [Pa]</th><th>p_s [Pa]</th></tr> </thead> <tbody> <tr> <td>Unutra</td><td></td><td></td><td>22,00</td><td>2640</td><td></td></tr> <tr> <td>Prelaženje</td><td></td><td>0,44</td><td>21,56</td><td>2570</td><td>1452</td></tr> <tr> <td>1.PRODUŽENI KREČNI MALTER</td><td>20</td><td>0,10</td><td>21,46</td><td>2554</td><td>1452</td></tr> <tr> <td>2.TM-5</td><td>28</td><td>1,32</td><td>20,14</td><td>2355</td><td>1448</td></tr> <tr> <td>3.POLIURETAN</td><td>50</td><td>5,04</td><td>15,10</td><td>1714</td><td>1447</td></tr> <tr> <td>4.PERLIT MALTER</td><td>4</td><td>2,54</td><td>12,56</td><td>1454</td><td>1447</td></tr> <tr> <td>5.MINERALNA VUNA</td><td>1</td><td>8,47</td><td>4,09</td><td>818</td><td>1447</td></tr> <tr> <td>6.MINERALNA VUNA</td><td>1</td><td>8,48</td><td>-4,39</td><td>423</td><td>1447</td></tr> <tr> <td>7.GEOTEKSTIL</td><td>1</td><td>0,09</td><td>-4,48</td><td>420</td><td>1447</td></tr> <tr> <td>8.MEMBRANSKA IZOLACIJA</td><td>140000</td><td>0,34</td><td>-4,82</td><td>407</td><td>361</td></tr> <tr> <td>Prelaženje topote</td><td></td><td>0,18</td><td>-4,82</td><td>407</td><td>361</td></tr> <tr> <td>Spolja</td><td></td><td></td><td>-5,00</td><td>401</td><td></td></tr> </tbody> </table>	Opis	μ [-]	$\Delta\theta$ [°C]	θ [°C]	p' [Pa]	p_s [Pa]	Unutra			22,00	2640		Prelaženje		0,44	21,56	2570	1452	1.PRODUŽENI KREČNI MALTER	20	0,10	21,46	2554	1452	2.TM-5	28	1,32	20,14	2355	1448	3.POLIURETAN	50	5,04	15,10	1714	1447	4.PERLIT MALTER	4	2,54	12,56	1454	1447	5.MINERALNA VUNA	1	8,47	4,09	818	1447	6.MINERALNA VUNA	1	8,48	-4,39	423	1447	7.GEOTEKSTIL	1	0,09	-4,48	420	1447	8.MEMBRANSKA IZOLACIJA	140000	0,34	-4,82	407	361	Prelaženje topote		0,18	-4,82	407	361	Spolja			-5,00	401	
Opis	μ [-]	$\Delta\theta$ [°C]	θ [°C]	p' [Pa]	p_s [Pa]																																																																										
Unutra			22,00	2640																																																																											
Prelaženje		0,44	21,56	2570	1452																																																																										
1.PRODUŽENI KREČNI MALTER	20	0,10	21,46	2554	1452																																																																										
2.TM-5	28	1,32	20,14	2355	1448																																																																										
3.POLIURETAN	50	5,04	15,10	1714	1447																																																																										
4.PERLIT MALTER	4	2,54	12,56	1454	1447																																																																										
5.MINERALNA VUNA	1	8,47	4,09	818	1447																																																																										
6.MINERALNA VUNA	1	8,48	-4,39	423	1447																																																																										
7.GEOTEKSTIL	1	0,09	-4,48	420	1447																																																																										
8.MEMBRANSKA IZOLACIJA	140000	0,34	-4,82	407	361																																																																										
Prelaženje topote		0,18	-4,82	407	361																																																																										
Spolja			-5,00	401																																																																											
Grafik ²³³																																																																															
Proračun kondenzacije ²³⁴	<p>Na unutrašnjoj površini nema orošavanja – pri $\Theta_e = -12,1^\circ\text{C}$ i $\Theta_i = 22^\circ\text{C}$ kondenzacija na unutrašnjoj površini će se pojaviti pri vlažnosti od 96,7%</p> <ul style="list-style-type: none"> -Temperatura na unutrašnjoj površini $\Theta_1 = 21,4^\circ\text{C}$ - Minimalna dozvoljena temperatura na unutrašnjoj površini $\Theta_d = 12,5^\circ\text{C}$ 																																																																														
Vreme isušenja	<p>Do pojave kondenzacije dolazi u zoni 6 i 7</p> <ul style="list-style-type: none"> - Gustina difuzijskog toka vodene pare koji ulazi u konstrukciju $0,045 \text{ g/m}^2\text{h}$ - Gustina difuzijskog toka vodene pare koji izlazi iz konstrukcije $0,000 \text{ g/m}^2\text{h}$ - Količina kondenzovane vodene pare $0,045 \text{ g/m}^2$ - Količina kondenzata posle 60 dana vlaženja $64,220 \text{ g/m}^2$ - Potrebno vreme za isušenje $68,238 \text{ dana}$ - Najveće dozvoljeno vreme isušenja 90 dana <p>KONSTRUKCIJA NE ZADOVOLJAVA</p>																																																																														

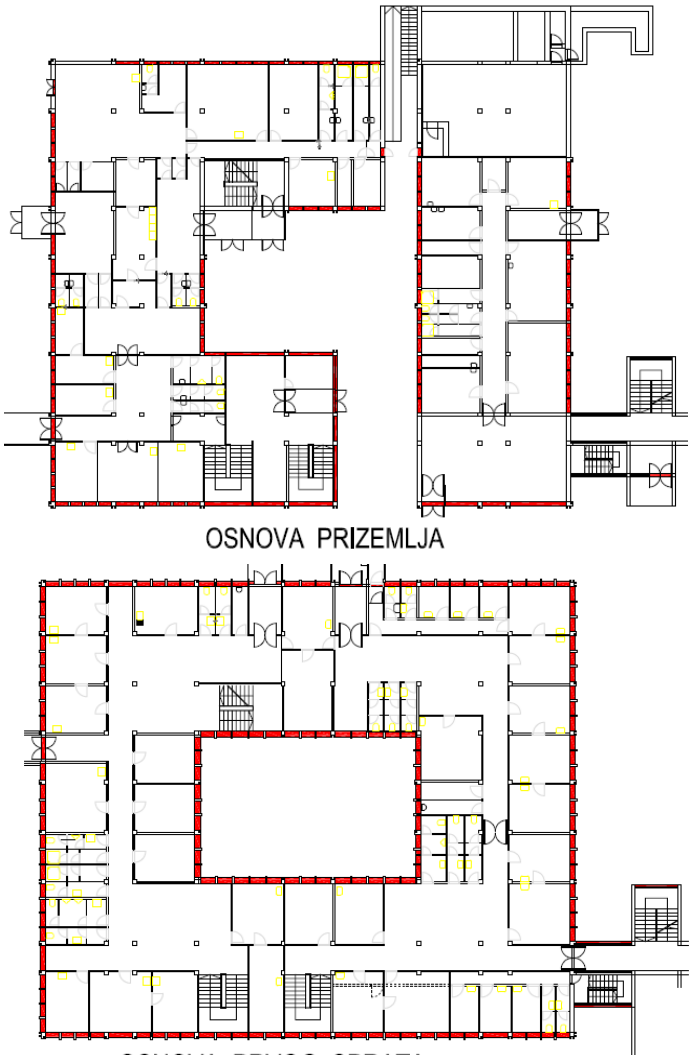
²³³ Ovde je prikazana ilustracija (veličina, orijentacija i oprema crteža se može razlikovati)

²³⁴ U skladu sa poglavljem 3.3 Pravilnika o energetskoj efikasnosti zgrada

3.1.7.4 Letnja stabilnost²³⁵

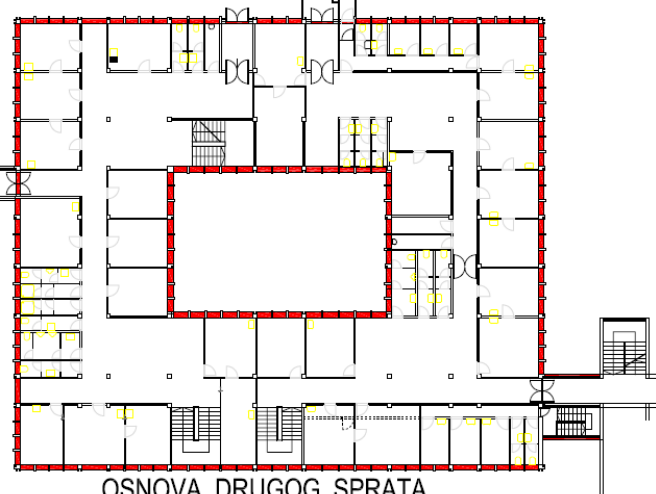
	Vrednost	Minimum	Zadovoljava
Faktor prigušenja amplitude oscilacije temperature v [-]	127,472	25	Da
Faktor kašnjenja oscilacije temperature η [h]	$v > 45$	7	Da

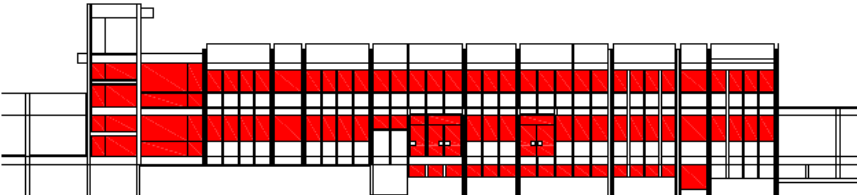
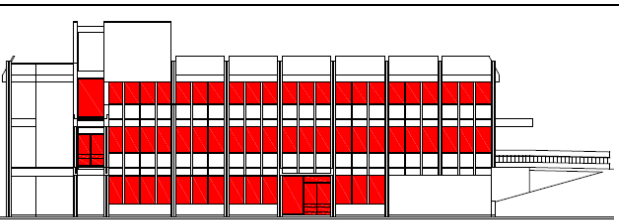
3.1.11 Prozori ,ulazna vrata

Broj	11
Oznaka	PS ,VS i P
Ilustracija položaja u zgradi ²³⁶	 <p>OSNOVA PRIZEMLJA</p> <p>OSNOVA PRVOG SPRATA</p>

²³⁵ Prema poglaviju 3.2 Pravilnika o energetskoj efikasnosti zgrada

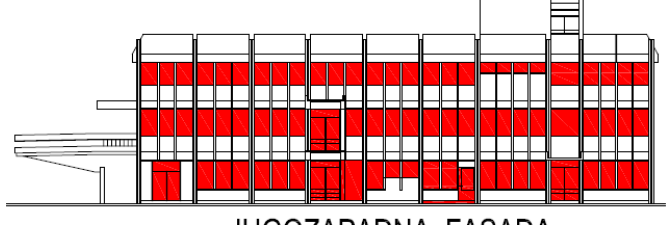
²³⁶ Ova opcija nije obavezna

	 <p style="text-align: center;">OSNOVA DRUGOG SPRATA</p>
Površina (m ²)	817,95
Opis	PVC ram šestokomorni sa zastakljenjem Clima Guard Solar 4+16Argon+4 flot
Koficijenat prolaza topote U [W/(m ² K)]	1,4

Segmenti pozicije u odnosu na orijentaciju prema stranama sveta ²³⁷		
	Površina [m ²]	Ilustracija ²³⁸
Ka severu	220,88	 <p style="text-align: center;">SEVEROZAPDNA FASADA</p>
Ka istoku	165,76	 <p style="text-align: center;">SEVEROISTOČNA FASADA</p>

²³⁷ Podela izvršena zbog izračunavanja solarnih dobitaka

²³⁸ Ova opcija nije obavezna

Ka jugu	267,38	 JUGOISTOČNA FASADA
Ka zapadu	163,93	 JUGOZAPADNA FASADA

3.1 Pregled koeficijenata prolaza toplote kroz termički omotač zgrade²³⁹

Položaj	oznaka	U [W/(m ² K)]	U_{max} [W/(m ² K)]	Ispunjeno DA / NE
Spoljni zidovi	SFZ-1	0,385	0,400	DA
Spoljni zidovi	SFZ-2	1,616	0,400	NE
Spoljni zidovi	SFZ-3	2,742	0,400	NE
Spoljni zidovi	SFZ-4	1,835	0,400	NE
Zid prema negrejanim prostorima	ZNP	2,199	0,550	NE
Među sp.konstrukcija iznad otvorenog prolaza	ERK-1	0,278	0,300	DA
Među sp.konstrukcija iznad otvorenog prolaza	ERK-2	0,282	0,300	DA
Pod na tlu	PNT-1	1,947	0,400	NE
Pod na tlu	PNT-2	2,179	0,400	NE
Ravan krov	RK	0,163	0,200	DA
Prozori spoljna vrata i portalni grajanih prostorija	PS,VS,P	1,40	1,500	DA

²³⁹ Maksimalne vrednosti koeficijenta prolaza toplote koji su prikazani u tabeli odgovaraju vrednostima za nove zgrade datim u Tabeli 3.4.1.3. Pravilnika o energetskoj efikasnosti zgrada

4.11.3 Transmisioni gubici topline zgrade H_T [W/K]

4.11.3.1 Površinski transmisioni gubici H_{TS} [W/K]

Opis građ. elementa	Oznaka	U (W/m ² K)	$A(m^2)$	Fx	$U * A * Fx$
Spoljni zidovi	SFZ-1	0,385	717,2	1,0	276,12
Spoljni zidovi	SFZ-2	1,616	491,17	1,0	793,73
Spoljni zidovi	SFZ-3	2,742	47,66	1,0	130,68
Spoljni zidovi	SFZ-4	1,835	36,47	1,0	66,92
Zid prema negrejanim prostorima	ZNP	2,199	29,15	0,5	32,05
Među sp.konstrukcija iznad otvorenog prolaza	ERK-1	0,278	81,35	1,0	22,62
Među sp.konstrukcija iznad otvorenog prolaza	ERK-2	0,282	7,11	1,0	2,00
Pod na tlu	PNT-1	1,947	773,95	0,5	753,44
Pod na tlu	PNT-2	2,179	82,96	0,5	90,38
Ravan krov	RK	0,163	1120,63	1,0	182,66
Prozori spoljna vrata i portali grajanih prostorija	PS,VS,P	1,40	817,95	1,0	1472,31
			4225,6		

$$H_{TS} = 3492,83 \text{ W/K}$$

4.11.3.2 Linijski transmisioni gubici H_{TB} [W/K]

$$H_{TB} = 0,1 * \Sigma A = 0,1 * 4225,6 = 422,56$$

$$H_{TB} = 422,56 \text{ W/K}$$

4.11.3.3 Ukupni transmisioni gubici H_T [W/K]

$$H_T = H_{TS} + H_{TB} = 3492,83 + 422,56 = 3915,39$$

$$H_T = 3915,39 \text{ W/K}$$

4.11.3.4 Specifični transmisioni gubitak topline zgrade H'_T [W/(m²K)]²⁴⁰

$$H'_T = H_T / A = 3915,39 / 4225,6 = 0,93$$

H'_T [W/(m ² K)]	H'_{Tmax} [W/(m ² K)] ²⁴¹	Ispunjeno DA / NE
0,93	0,67	NE

4.11.4 Ukupni gubici topline

Podaci o gubicima topline	[kW]
Transmisioni gubici kroz netransparentni deo omotača zgrade	94,46
Transmisioni gubici kroz prozore i vrata	50,20
Ventilacioni gubici kroz prozore i vrata	47,82
Ukupni gubici topline	192,48

²⁴⁰ Određuje se prema odeljku 3.4.2.3. Pravilnika o energetskoj efikasnosti.

²⁴¹ Maksimalne dozvoljene vrednosti specifičnog transmisionog gubitka topline zgrede ili dela zgrade H'_T [W/(m²K)] date su u tabeli 3.4.2.3.1. Pravilnika o energetskoj efikasnosti zgrada

6. ENERGETSKE POTREBE ZGRADE

6.1 Proračun godišnje potrebne finalne energije za grejanje

Mesec	$Q_{H,ht}$	$Q_{sol, gl}$	$Q_{sol,c}$	Q_{sol}	Q_{lj}	Q_{el}	Q_{int}	$Q_{H,gn}$	$Q_{H,nd}$
Okt	6464	2651.5	952	3604	1088	2812	3900	7503.5	
Nov	47744	3004.2	1070.1	4074	1920	5624	7544	11618.3	36358
Dec	67968	2313	821.2	3134	1984	5624	7608	10742.2	57441
Jan	74880	2868.7	1021.1	3890	1984	5624	7608	11497.8	63612
Feb	58624	4024.9	1472	5497	1792	5624	7416	12912.9	45969
Mar	47360	5418.6	2059	7478	1984	5624	7608	15085.6	32576
Apr	6528	2873.7	1150	4024	1088	2812	3900	7923.9	
	309568							77284.2	235956

gamaH 0.250

fH,hr 0.666667

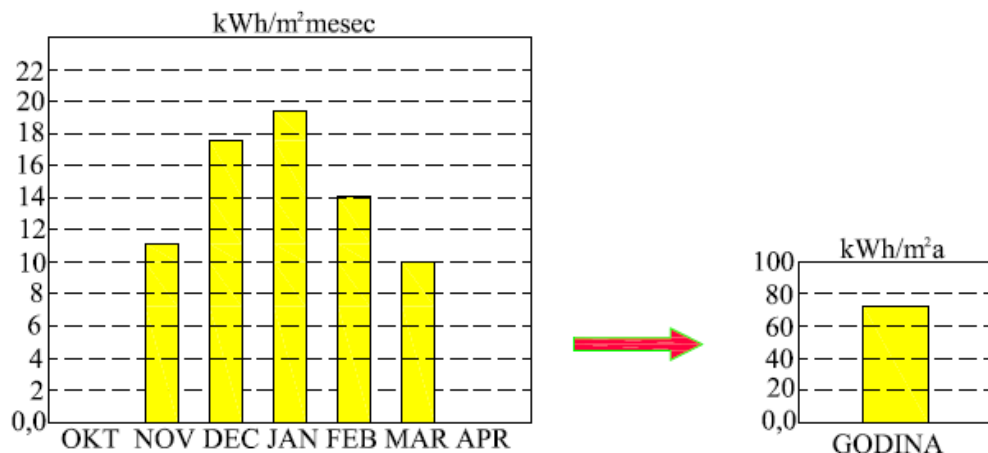
aH,red 0.916784

$Q_{h,nd, interm} = 216321 \text{ kWh/a}$

$q_{h,nd, interm} = 72 \text{ kWh/m}^2\text{a}$

$q_{h,nd,rel} = 60.1 \text{ %}$

$$a_{H,red} = 1 - 3 \left(\frac{\tau_{H,0}}{\tau} \right) \cdot \gamma_H \cdot (1 - f_{H,hr})$$



Godišnja potrebna energija i energetski razred zgrade, prema Pravilniku o uslovima, sadržaju i postupku izdavanja sertifikata o energetkim svojstvima zgrada:

Zgrade namenjene zdravstvu i socijalnoj zaštiti		nove	postojeće
Energetski razred	$Q_{H,nd,rel}$ [%]	$Q_{H,nd}$ [kWh/(m ² a)]	$Q_{H,nd}$ [kWh/(m ² a)]
A+	≤ 15	≤ 15	≤ 18
A	≤ 25	≤ 25	≤ 30
B	≤ 50	≤ 50	≤ 60
C	≤ 100	≤ 100	≤ 120
D	≤ 150	≤ 150	≤ 180
E	≤ 200	≤ 200	≤ 240
F	≤ 250	≤ 250	≤ 300
G	> 250	> 250	> 300

$Q_{H,nd,interm} =$	216321	kWh/a
$q_{H,nd,interm} =$	72	kWh/m ² a
$Q_{H,nd,rel} =$	60,1	%
Razred:		C

8.0 ZAKLJUČAK

Primenjenim merama za unapređenje energetske efikasnosti, energetski razred zgrade povećan je za jedan.

Odgovorni projektant



Milorad Ostojević dipl.maš.ing.
Licenca br.381 0634